

**UNIVERZITET U BEOGRADU  
TEHNOLOŠKO-METALURŠKI FAKULTET  
KATEDRA ZA METALURŠKO INŽENJERSTVO**

**Zoran M. Andić**

**SINTEROVANI SISTEMI NA BAZI  
NANO PRAHOVA TEŠKIH METALA I GLINICE**

**DOKTORSKA DISERTACIJA**

**Beograd, 2007. god.**

**UNIVERZITET U BEOGRADU  
TEHNOLOŠKO-METALURŠKI FAKULTET  
KATEDRA ZA METALURŠKO INŽENJERSTVO**

**Zoran M. Andić**

**SINTEROVANI SISTEMI NA BAZI  
NANO PRAHOVA TEŠKIH METALA I GLINICE**

**DOKTORSKA DISERTACIJA**

**Datum prijave doktorske disertacije:** \_\_\_\_\_

**Datum odbrane doktorske disertacije:** \_\_\_\_\_

**ČLANOVI KOMISIJE:**

---

**Dr Karlo Raić, red. profesor  
Tehnološko-metalurški fakultet Beograd**

---

**Akademik Momčilo M. Ristić  
Srpska akademija nauka i umetnosti Beograd**

---

**Dr Branka Jordović, red. profesor  
Tehnički fakultet Čačak**

---

**Dr Željko Kamberović, docent  
Tehnološko-metalurški fakultet Beograd**

---

**Dr ing. Miloš Tasić, viši naučni saradnik  
Naučnoistraživački centar Užice**

Ova doktorska disertacija, koja na izvestan način predstavlja nastavak započetih istraživanja u okviru magistarske teze "Uticaj  $\text{Al}_2\text{O}_3$  na svojstva sinterovanog sistema Cu-Al<sub>2</sub>O<sub>3</sub>", urađena je pod rukovodstvom Prof. dr Karla Raića, kome se ovom prilikom zahvaljujem na pruženim savetima, brižljivom usmeravanju i nesebičnoj pomoći.

Posebno se zahvaljujem Akademiku Momčilu M. Ristiću na velikom angažovanju, usmeravanju, kroz savete i sugestije, i stimulativnoj podršci i pomoći u toku istraživanja.

Prof. dr Branki Jordović se zahvaljujem na pruženim savetima i korisnim sugestijama, koje mi je pružala od početka do kraja izrade ove doktorske disertacije.

Veliku zahvalnost dugujem Doc. dr Željku Kamberoviću na velikom angažovanju, brižljivom usmeravanju, stalnoj i stimulativnoj podršci i pomoći, koji su mi bili od neprocenjivog značaja za realizaciju disertacije.

Na pruženim savetima, korisnim sugestijama, bezrezervnoj podršci i pomoći u najtežim trenutcima, kao i tokom čitave izrade rada, najsrdačnije se zahvaljujem Dr ing. Milošu Tasiću.

Za pruženu nesebičnu pomoć u toku realizacije eksperimenta, kao i na veoma korisnim sugestijama pri diskusiji dobijenih rezultata, posebno se zahvaljujem Mr Mariji Korać, dipl. ing.

Takođe, želim da izrazim zahvalnost Naučnoistraživačkom centru iz Užica, a posebno kolegi Spec ing. Aleksandru Vujoviću na podršci, pomoći i uloženom trudu u obezbeđivanju optimalnih uslova za uspešan završetak doktorske disertacije.

Veliku zahvalnost izražavam Prof. dr Velimiru Radmiloviću, koji mi je omogućio da se u laboratorijama Nacionalnog centra za elektronsku mikroskopiju Univerziteta u Berkliju izvede veliki broj eksperimentalnih istraživanja.

Ne mogu a da se ne zahvalim na izuzetnoj susretljivosti Prof. dr Katarini Gerić, redovnom profesoru Fakulteta tehničkih nauka u Novom Sadu, u čijim sam laboratorijama uradio veliki deo mikrostrukturnih ispitivanja. Takođe, u ovom delu eksperimentalnih istraživanja, veliku zahvalnost dugujem kolegama sa Elektronskog fakulteta u Nišu.

Na kraju, zahvaljujem se svojoj porodici, majci Milomirci, supruzi Jeleni i sinu Dimitriju, na velikom razumevanju, izuzetno značajnoj i bezrezervnoj pomoći, kao i na stimulativnoj podršci tokom izrade ovog rada.

## **IZVOD**

Ultra fini i nanokompozitni prahovi na bazi bakra, srebra i glinice mogu se vrlo uspešno koristiti za dobijanje disperzno ojačanih sinterovanih polikristalnih materijala sa submikronskom, odnosno nanokristalnom strukturom, koje karakteriše dobra kombinacija električna svojstva-mehanička svojstva, i koji nalaze široku primenu u oblasti elektronike i elektrotehnike.

U skladu sa tim, u okviru ove doktorske disertacije dat je prikaz rezultata istraživanja dobijenih pri izučavanju sinterovanih sistema na bazi ultra finih i nano prahova teških metala i glinice. Sinteza dvokomponentnog nanokompozitnog Cu-Al<sub>2</sub>O<sub>3</sub> praha izvršena je termohemijskim postupkom, polazeći od vodenih rastvora Cu(NO<sub>3</sub>)<sub>2</sub> i Al(NO<sub>3</sub>)<sub>3</sub>, kao i mehaničkim legiranjem komercijalnog praha bakra dobijenog elektrolitičkim postupkom i prethodno sintetisane glinice sol-gel metodom. Trokomponentni Cu-Ag-Al<sub>2</sub>O<sub>3</sub> prah dobijen je mehaničkim legiranjem prethodno sintetisanog nanokompozitnog Cu-Al<sub>2</sub>O<sub>3</sub> praha termohemijskim postupkom i praha srebra dobijenog hemijskim putem, odnosno Cu-Ag praha dobijenog termohemijskim postupkom. Nakon karakterizacije dobijenih prahova, koja je obuhvatila hemijsku analizu, diferencijalnotermijsku i termogravimetrijsku (DT/TG) analizu, rendgenostrukturnu analizu (RDA), određivanje specifične površine čestica, nasipne gustine, tečljivosti, oblika, veličine i raspodele veličine čestica, kao i mikrostruktturna ispitivanja skanirajućom elektronskom mikroskopijom (SEM) i analitičkom elektronskom mikroskopijom (AEM) povezanom sa energetskom disperzivnom spektroskopijom (EDS), vršeno je presovanje prahova pritiskom presovanja od 500MPa. Sinterovanje dobijenih uzoraka Cu-Al<sub>2</sub>O<sub>3</sub> sistema vršeno je u atmosferi vodonika u izoternskim uslovima u temperaturnom opsegu 800-1000°C u toku 15-120 minuta. Trokomponentni Cu-Ag-Al<sub>2</sub>O<sub>3</sub> sistem sinterovan je u atmosferi vodonika u temperaturnom

opsegu 600-800°C u toku 15-120 minuta. Karakterizacija dobijenih sinterovanih sistema obuhvatila je ispitivanja gustine, relativne promene zapremine, električnih i mehaničkih svojstava, kao i ispitivanja mikrostrukture skanirajućom elektronском mikroskopijom (SEM), energetskom disperzivnom spektroskopijom (EDS), transmisionom elektronском mikroskopijom (TEM) i transmisionom elektronском mikroskopijom visoke rezolucije (HRTEM), ispitivanja metodom fokusiranja snopa jona (FIB – Focused Ion Beam) i ispitivanja selktovanih difrakcionih polja (SADP – Selected Area Diffraction Pattern).

Dobijeni nanokompozitni prahovi, čija je struktura uz izvesne promene očuvana u strukturi krajnjeg proizvoda, obezbedili su dobijanje sinterovanih sistema sa homogenom raspodelom disperzoida, izuzetnim efektima ojačavanja i dobrom kombinacijom mehanička-električna svojstva. Uporednom analizom svojstava dobijenih sinterovanih sistema uočljivo je da su kod sistema na bazi Cu-Al<sub>2</sub>O<sub>3</sub> nanokompozitnog praha sintetisanog temohemijskim postupkom u odnosu na ostale ispitivane sisteme postignuti značajniji efekti ojačavanja uz strukturnu stabilizaciju sistema na nižim temperaturama i u toku kraćih vremena sinterovanja.

## **ABSTRACT**

Ultra fine and nanocomposite powders based on copper, silver and alumina can be very successfully used for obtaining dispersively reinforced sintered polycrystal materials with a submicron, i.e. nanocrystal structure, characterized by a good combination of electric properties-mechanical properties, and which are widely applied in the field of electronics and electrical engineering.

In accordance with that, within this doctoral dissertation, a survey is given of the research results obtained during studying the sintered systems based on ultra fine and nano powders of heavy metals and alumina. The synthesis of two-component nanocomposite Cu-Al<sub>2</sub>O<sub>3</sub> powder is performed by thermochemical procedure, starting from water solutions Cu(NO<sub>3</sub>)<sub>2</sub> and Al(NO<sub>3</sub>)<sub>3</sub>, as well as by mechanical alloying commercial powder of copper obtained by electrolytic procedure and previously synthesized alumina by the sol-gel method. Three-component Cu-Ag-Al<sub>2</sub>O<sub>3</sub> powder is obtained by mechanical alloying previously synthesized nanocomposite Cu-Al<sub>2</sub>O<sub>3</sub> powder by thermochemical procedure and silver powder obtained by chemical procedure, i.e. Cu-Ag powder obtained by thermochemical procedure. After characterization of the obtained powders, which comprised chemical analysis, differential-thermic and thermogravimetric (DT/TG) analysis, X-ray structural analysis (RDA), determining the particle specific area, pouring density, fluidness, particle shape, particle size and particle size distribution, microstructure examinations by the Scanning Electronic Microscopy (SEM) method and the Analytical Electron Microscopy (AEM) coupled with Energetic Dispersive Spectroscopy (EDS), the powders were compacted by compacting pressure of 500 MPa. Sintering of the obtained samples Cu-Al<sub>2</sub>O<sub>3</sub> systems is performed in the hydrogen atmosphere in isothermal conditions in the

temperature interval 800-1000°C during 15-120 minutes. Three-component Cu-Ag-Al<sub>2</sub>O<sub>3</sub> system is sintered in the hydrogen atmosphere in the temperature interval 600-800°C during 15-120 minutes. Characterization of the obtained sintered systems has comprised examinations of density, relative volume change, electric and mechanical properties, examinations of microstructure by the Scanning Electron Microscopy (SEM), the Energetic Dispersive Spectroscopy (EDS), the Transmission Elektron Microscopy (TEM) and the High-resolution Transmission Electron Microscopy (HRTEM), examinations by the Focused Ion Beam (FIB) method and examinations of the Selected Area Diffraction Pattern (SADP).

The obtained nanocomposite powders, which structure is preserved in final structure with certain changes, has provided sintered material with homogenous distribution of dispersoide in copper matrix, with exceptional effects of reinforcing and excellent combination of mechanical and electrical properties. By comparative analysis of the properties of the obtained sintered systems it is noticeable that the systems based on Cu-Al<sub>2</sub>O<sub>3</sub> nanocomposite powder synthesized by thermochemical procedure, compared to other examined systems, significant effects of reinforcing are achieved with structural stabilization of the system at lower temperatures and in less time of sintering.

# SADRŽAJ

## UVOD

TEORIJSKI DEO	6
---------------	---

### 1. LITERATURNI PREGLED SINTEZE

ULTRA FINIH I NANOKOMPOZITNIH PRAHOVA	7
1.1. Hemijski postupci sinteze nanostruktturnih prahova	9
1.1.1. Sinteza ultra finih i nano prahova glinice	12
1.1.2. Sinteza ultra finih i nanokompozitnih prahova na bazi bakra i srebra	16
1.2. Mehanički postupci sinteze nanostruktturnih prahova	20

### 2. SINTEROVANJE METALNIH MATERIJALA

2.1. Osnovni principi fizike sinterovanja	25
2.2. Kinetika sinterovanja realnih materijala	32
2.3. Sinterovanje ultradisperznih i nanostruktturnih prahova	37
2.4. Svojstva nanostruktturnih materijala	45

### 3. DISPERZNO OJAČAVANJE SINTEROVANIH SISTEMA

3.1. Osnovni principi disperznog ojačavanja	49
3.2. Postupci disperznog ojačavanja sinterovanih sistema	55

## EKSPERIMENTALNI DEO

65

### 4. SINTEZA ULTRA FINIH I NANOKOMPOZITNIH PRAHOVA I ODGOVARAJUĆIH SINTEROVANIH SISTEMA

4.1. Sinteza ultra finih i nanokompozitnih prahova	71
4.1.1. Sinteza nanokompozitnog Cu-Al <sub>2</sub> O <sub>3</sub> sistema postupkom mehaničkog legiranja	71
4.1.2. Sinteza nanokompozitnog Cu-Al <sub>2</sub> O <sub>3</sub> praha termohemijskim postupkom	76

<b>4.1.3. Sinteza nanokompozitnog Cu-Ag-Al<sub>2</sub>O<sub>3</sub> sistema</b>	<b>79</b>
<b>4.2. Presovanje i sinterovanje dobijenih nanokompozitnih prahova</b>	<b>82</b>
<b>5. REZULTATI</b>	<b>84</b>
<b>5.1. Karakterizacija dobijenih prahova</b>	<b>84</b>
<b>5.1.1. Nanokompozitni prah Cu-Al<sub>2</sub>O<sub>3</sub>         dobijen postupkom mehaničkog legiranja</b>	<b>84</b>
<b>5.1.2. Nanokompozitni prah Cu-Al<sub>2</sub>O<sub>3</sub>         dobijen termohemijskim postupkom</b>	<b>90</b>
<b>5.1.3. Nanokompozitni prah Cu-Ag-Al<sub>2</sub>O<sub>3</sub></b>	<b>96</b>
<b>5.2. Karakterizacija sinterovanih sistema</b>	<b>99</b>
<b>5.2.1. Sistem Cu-Al<sub>2</sub>O<sub>3</sub> nanokompozitnog praha dobijenog         mehaničkim legiranjem</b>	<b>101</b>
<b>5.2.2. Sistem Cu-Al<sub>2</sub>O<sub>3</sub> nanokompozitnog praha dobijenog         termohemijskim postupkom</b>	<b>109</b>
<b>5.2.3. Sistem nanokompozitnog Cu-Ag-Al<sub>2</sub>O<sub>3</sub> praha</b>	<b>123</b>
<b>5.3. Kinetička analiza procesa sinterovanja</b>	<b>132</b>
<b>DISKUSIJA</b>	<b>146</b>
<b>6. DISKUSIJA REZULTATA</b>	<b>147</b>
<b>6.1. Karakterizacija dobijenih prahova</b>	<b>147</b>
<b>6.1.1. Nanokompozitni praha Cu-Al<sub>2</sub>O<sub>3</sub> dobijen         postupkom mehaničkog legiranja</b>	<b>147</b>
<b>6.1.2. Nanokompozitni praha Cu-Al<sub>2</sub>O<sub>3</sub> dobijen         termohemijskim postupkom</b>	<b>149</b>
<b>6.1.3. Nanokompozitni prah Cu-Ag-Al<sub>2</sub>O<sub>3</sub></b>	<b>152</b>
<b>6.2. Karakterizacija sinterovanih sistema</b>	<b>153</b>
<b>6.2.1. Sistem Cu-Al<sub>2</sub>O<sub>3</sub></b>	<b>154</b>
<b>6.2.2. Sistem Cu-Ag-Al<sub>2</sub>O<sub>3</sub></b>	<b>176</b>
<b>ZAKLJUČAK</b>	<b>182</b>
<b>LITERATURA</b>	<b>189</b>

## **UVOD**

Postupcima hidrometalurgije i metalurgije praha uz prognozu fizičkohemijskih svojstava može se uspešno izvršiti sinteza novih poboljšanih vrsta materijala sa unapred zadatim svojstvima.

Legure na bazi bakra i srebra su, zbog svoje visoke električne i toplotne provodljivosti, izuzetno korišćeni materijali u industriji. U čistom stanju ovi metali se odlikuju relativno niskim mehaničkim svojstvima, koja se mogu poboljšati različitim postupcima, pri čemu se kao legirajući elementi dodaju oni čiji dodatak ne povećava električnu otpornost, a znatno doprinosi povećanju mehaničkih svojstava.

Poslednja istraživanja vezana za dobijanje disperzno ojačanih materijala, ukazuju na značaj svojstava polaznih prahova, odnosno na značaj polazne strukture, koja se, iako trpi izvesne promene tokom dalje prerade, u osnovi zadržava u strukturi krajnjeg proizvoda.

U okviru ove doktorske disertacije, predmet istraživanja je sinteza nano prahova teških metala i glinice, kao disperzoida, kombinacijom postupaka pogodnih za dobijanje sinterovanih polikristalnih materijala sa submikronskom, odnosno nanokristalnom strukturon i homogenom raspodelom disperzoida u matrici osnovnog metala i takvim svojstvima, koja ih čine superiornim u odnosu na druge, pri čemu se pre svega misli na dvojni Cu-Al<sub>2</sub>O<sub>3</sub> i trojni Cu-Ag-Al<sub>2</sub>O<sub>3</sub> sistem.

Disperzne faze, prisutne u metalnom materijalu pre deformacije, utiču na dizajniranje strukture, a samim tim i na ponašanje materijala pri zagrevanju. Deformisana struktura materijala stvorena u prisustvu sekundarnih faza zavisi od veličine i rastojanja čestica. Male fino dispergovane čestice, koje se nalaze na malom rastojanju prouzrokuju dobijanje velike gustine izuzetno ravnomerno raspoređenih dislokacija. Granice subzrna i pojedinačna subzrna su veoma slabo izražena, a zakrivljenost rešetke, odnosno razlika u orijentaciji susednih subzrna je mala da postanu klice novih rekristalisanih zrna, što prouzrokuje

smanjenje brzine stvaranja klica, odnosno brzine rekristalizacije, koja može biti i potpuno onemogućena. Fino dispergovane čestice na malom rastojanju blokiraju, odnosno smanjuju pokretljivost granica subzrna tako da se subzrna, koja bi mogla postati klice, veoma teško aktiviraju i pretvaraju u nova rekristalisana zrna. Drugim rečima, fino dispergovane čestice efikasno stabišu dislokacionu substrukturu, koja je stvorena pri deformaciji. Konačno, velika čvrstoća disperzno ojačanih legura na visokim temperaturama potiče, pored disperznog ojačavanja, i od potpune stabilizacije dislokacione substrukture, što se ostvaruje postizanjem što homogenije raspodele disperzoida u matrici osnovnog metala, odnosno dobijanjem sistema koji sadrži fino dispergovane čestice na malom rastojanju. Ovde se pre svega misli na dobijanje polikristalnih sinterovanih materijala čija je veličina kristala (zrna) ispod 1000nm, poznatih kao submikronski, odnosno nanokristalni materijali u čijoj se strukturi razlikuju dve komponente: kristalna komponenta, koju sačinjavaju svi atomi unutar zrna i međupovršinska komponenta, koju obrazuju svi atomi smešteni u granici zrna.

Nanostrukturne čestice i materijali mogu dovesti do potpuno novih materijala sa poboljšanim, pa i neočekivanim svojstvima. Osnovna gradivna jedinica kod nanostruktturnih materijala je nanočestica sa svojim specifičnostima, kao što su veličina, oblik, atomska struktura, kristaličnost, međufaze, homogenost/heterogenost strukture i hemijski sastav. Imajući u vidu veličinu nanočestice (100nm), površine/međupovršine su od velikog značaja, tako da broj površinskih atoma u nekim slučajevima prevazilazi broj atoma u unutrašnjosti zapremine. Hemijski identične čestice mogu biti gusto aranžirane i kompaktne sa granicama zrna između njih. Mešanjem čestica različitog hemijskog sastava nanostruktturnih materijala se značajno poboljšavaju. Takođe, čestice mogu biti rastvorene u hemijski različitim materijalima, pri čemu se formiraju kompoziti. U oba slučaja, moguće je dobiti široku lepezu novih materijala, od kojih većina nije još sintetizovana, a samim tim ni sistematski ispitana.

Kontrolisanjem parametara tehnološkog procesa (uslovi i način dobijanja nano prahova, koncentracija rastvora, temperatura razlaganja, atmosfera okoline, pritisak presovanja, temperatura i vreme sinterovanja itd.) uz prognozu fizičkohemijskih svojstava i dizajniranje mikrostrukture u cilju optimizacije efekata disperznog ojačavanja, moguće je dobiti nove materijale specifičnih namena na bazi nanokompozitnih prahova teških obojenih metala i glinice.

Dobijeni sinterovani polikristalni materijali sa submikronskom, odnosno nanokristalnom strukturom na bazi nano prahova teških metala i glinice, koje karakteriše dobra kombinacija električna svojstva-mehanička svojstva, našli su široku primenu u oblasti elektrotehnike. Koriste se kao elektrode za tačkasto zavarivanje, razni kontakti materijali, a od ovih sistema mogu se dobiti različiti prekidači, termički i električni provodnici, mikrotalasne cevi, komutatori za pokretanje motora helihoptera, releji i dr. Pored ovoga, značajna je i mogućnost primene ovih sistema kao katalizatora sa visokim stepenom konverzije, kao i prevlaka sa niskom poroznošću i visokim stepenom adhezije.

Primarni cilj istraživanja je izučavanje sinterovanih sistema, sa homogenom raspodelom disperzoida u matrici osnovnog metala ili legure, na bazi nano prahova teških metala i glinice sa veličinom kristala koja ih svrstava u kategoriju submikronskih, odnosno nano kompozitnih sintetisanih u funkciji dobijanja dobre kombinacije električna svojstva-mehanička svojstva, pri čemu bi struktura imala ulogu parametra, preko koga bi se izrazila veza svojstvo-tehnologija.

Takođe, cilj istraživanja je i izučavanje kinetike sinterovanja realnih sistema na bazi ultra finih i nano prahova teških metala i glinice kroz praćenje vrednosti relativne promene zapremine uzorka sinterovanih na različitim temperaturama i u toku različitih vremena i eksperimentalnu proveru postojećih fenomenoloških jednačina kinetike sinterovanja.

Disertacija je predstavljena kroz nekoliko hijerarhijski povezanih celina, koje kako u teorijskom, tako i u eksperimentalnom smislu daju prikaz

sinterovanih polikristalnih sistema sa submikronskom, odnosno nanokristalnom strukturu na bazi ultra finih i nano prahova teških metala i glinice.

Imajući u vidu presudan značaj polaznih prahova za dobijanje sinterovanih proizvoda zahtevanih svojstava, u prvom poglavlju ove disertacije dat je literaturni pregled dobijanja ultra finih i nanokompozitnih prahova, pri čemu je posebna pažnja posvećena dobijanju submikronskih i nanokompozitnih prahova na bazi bakra, srebra i glinice.

S obzirom da je sinterovanje izuzetno složen proces u toku koga se odvija kompleksno dejstvo više mehanizama prenosa materijala, kao i uređenje i promena oblika čestica, odnosno procesi koji su tesno povezani sa neravnotežnim stanjem kristalne rešetke i koji pokazuju značajan uticaj na svojstva dobijenih metalnih materijala, u drugom poglavlju predstavljeni su osnovni principi fizike sinterovanja sa kinetikom sinterovanja realnih materijala i posebnim osvrtom na sinterovanje ultradisperznih prahova.

Kako je osnovni cilj izrade ove disertacije izučavanje sinterovanih sistema, sa homogenim rasporedom disperzoida u matrici osnovnog metala na bazi nano prahova, u trećem poglavlju su opisani osnovni principi i do sada razvijeni postupci za dobijanje disperzno ojačanih legura.

U četvrtom poglavlju disertacije, a u okviru početne faze eksperimentalnih istraživanja, dat je prikaz sinteze ultra finih i nanokompozitnih prahova, pri čemu je predmet istraživanja bila sinteza ultra finog i nano praha glinice sol-gel metodom, sinteza nanokompozitnog Cu-Al<sub>2</sub>O<sub>3</sub> praha mehaničkim legiranjem komercijalnog praha bakra dobijenog elektrolitičkim postupkom i prethodno sintetisane glinice sol-gel metodom, sinteza nanokompozitnog Cu-Al<sub>2</sub>O<sub>3</sub> praha termohemijskom postupkom i sinteza trokomponentnog Cu-Ag-Al<sub>2</sub>O<sub>3</sub> praha mehaničkim legiranjem prethodno sintetisanog nanokompozitnog Cu-Al<sub>2</sub>O<sub>3</sub> praha termohemijskim postupkom i praha srebra dobijenog hemijskim putem, odnosno Cu-Ag praha dobijenog termohemijskim postupkom. Kako je primarni cilj istraživanja izučavanje nanokompozitnih sinterovanih sistema sa homogenom raspodelom disperzoida u matrici osnovnog metala ili legure, u okviru ovog poglavlja

predstavljeni su i osnovni parametri presovanja i sinterovanja pripremljenih sistema polaznih prahova.

Karakterizacija kako polaznih prahova, tako i sinterovanih sistema uz analizu kinetike sinterovanja realnih sistema prikazani su u petom poglavlju "Rezultati".

Rezultati istraživanja, dati u petom poglavlju, prikazani su u tri grupe. Prva grupa se odnosila na karakterizaciju sintetisanih polaznih prahova, koja je obuhvatila hemijsku analizu, diferencijalnotermijsku i temogravimetrijsku (DT/TG) analizu, rendgenostrukturnu analizu (RDA), određivanje specifične površine čestica, nasipne gustine, tečljivosti, oblika, veličine i raspodele veličine čestica, kao i mikrostrukturna ispitivanja skanirajućom elektronskom mikroskopijom (SEM) i analitičkom elektronskom mikroskopijom (AEM) povezanom sa energetskom disperzivnom spektroskopijom (EDS). Druga grupa eksperimentalnih rezultata se odnosila na karakterizaciju sinterovanih sistema na bazi prethodno sintetisanih sistema polaznih prahova, a obuhvatila je ispitivanje gustine, relativne promene zapremine, električnih i mehaničkih svojstava, kao i ispitivanja skanirajućom elektronskom mikroskopijom (SEM), energetskom disperzivnom spektroskopijom (EDS), ispitivanja metodom fokusiranja snopa jona (FIB – Focused Ion Beam), transmisionom elektronskom mikroskopijom (TEM), ispitivanja selektovanih difrakcionih polja (SADP – Selected Area Diffraction Pattern) i ispitivanja transmisionom elektronskom mikroskopijom visoke rezolucije (HRTEM). U trećoj grupi dat je prikaz rezultata kinetičke analize procesa sinterovanja realnih sistema na bazi ultra finih i nano prahova bakra i glinice izvršene primenom tri kinetička modela, i to: modela na bazi Arenijus-ove jednačine, paraboličnog zakona i Johnson-Mehl-ove jednačine.

Analiza i diskusija dobijenih rezultata eksperimentalnih istraživanja prikazani su u šestom poglavlju.

U sedmom poglavlju data su zaključna razmatranja, pri čemu su istaknuti rezultati istraživanja i njihov naučni doprinos u oblasti nauke o materijalima.

## **TEORIJSKI DEO**

## **1. LITERATURNI PREGLED SINTEZE ULTRA FINIH I NANOKOMPOZITNIH PRAHOVA**

Dobijanje prahova metala i legura predstavlja polaznu fazu pri proizvodnji sinterovanih metalnih materijala.

Za dobijanje sinterovanih proizvoda zahtevanih svojstava polazni materijal, prah metala ili legure, ima odlučujući značaj.

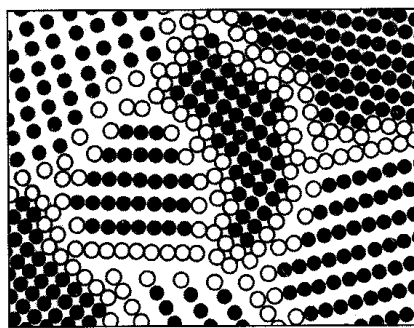
U zavisnosti od zadatih svojstava konačnog proizvoda polazni prahovi moraju da zadovolje različite zahteve. Pri tome se imaju u vidu fizička (veličina čestica, raspodela veličine čestica, oblik čestica, morfologija površine), hemijska (sadržaj osnovnog metala, sadržaj primesa, zagađenost gasovima u hemijskim vezama, adsorbovanom ili rastvorenom stanju) i tehnološka svojstva (nasipna gustina, tečljivost, kompresibilnost).

Nanostruktурне čestice i materijali, kao i fizička i hemijska kombinacija supstanci na nanometarskom i subnanometarskom nivou može dovesti do potpuno novih materijala sa poboljšanim ili čak neočekivanim svojstvima. Ovakvi materijali mogu imati primenu u oblasti katalize, tehničke keramike, membranske tehnologije, optoelektronike, u sistemima za konverziju i konzerviranje energije i sl.

Od konvencionalnih polikristalnih materijala nanostrukturi materijali razlikuju se veličinom kristalita. Kristali su ekstremno mali, nanoveličina. Tipični nanokristal je dimenzija  $10^{-6}$  cm i može biti keramički, metalni ili poluprovodni materijal.

Nanostrukturi materijali spadaju u grupu ultrafinih metastabilnih struktura koje sadrže veliku koncentraciju defekata (tačkasti defekti, dislokacije, granice zrna, međufazne granice itd.) [1, 2]. Ovi materijali se strukturno razlikuju od kristalnog i amorfognog stanja, s obzirom da granice zrna i međufaza predstavljaju specifično stanje čvrste materije, jer su atomi na granici podvrgnuti periodičnom potencijalnom polju kristala sa obe strane granice. U amorfnom stanju atomi nisu podvrgnuti periodičnim graničnim

uslovima kao atomi na međupovršini, dok se u kristalnom stanju atomi relaksiraju do strukture sa manjom slobodnom energijom, a što je sprečeno na međupovršini jer ona predstavlja prelaz između dva kristala različite orijentacije. Unutrašnjost granice karakteriše smanjena gustina atoma (od 10 - 30%) i modifikovana atomska struktura u poređenju sa idealnom rešetkom. Na taj način, gustina atoma u sredini granice je manja nego u amorfnom stanju. S druge strane, kako je granica zrna oblast kontakta dva kristala različite orijentacije, atomska struktura granice zavisi od odnosa orijentacija između oba kristala i inklinacije granične ravni. To znači da svaki put kada se promeni odnos orijentacije i/ili inklinacije granične ravni, dolazi do formiranja nove strukture unutrašnjosti granice zrna. To ima za rezultat različitu strukturu granice zrna i duž samo jedne granice. Tako, u različitim granicama polikristala, koja se sastoji od mnogih slučajno orijentisanih kristala, formiraju se različite strukture granice sa različitim međuatomskim rastojanjem. Ovi varijeteti strukture granice i smanjena gustina atoma granice nisu zabeleženi u krupnozrnim materijalima ( $>10\mu\text{m}$ <sup>s</sup>, s obzirom da je zapreminski udeo granice  $10^{-2}\%$  ili manji. Kada se zapreminski udeo granice poveća do oko 50% ili više, smanjenjem veličine kristala do nekoliko konstanti rešetke, tj. nekoliko nanometara, dobija se materijal koji se strukturno sastoji od dve komponente sličnih zapreminskih udela (sl.1).



Sl.1. Atomska struktura dvodimenzionalnih nanokristalnih materijala: atomi u centru kristala (●); atomi na granici kristala (○).

Kao što se vidi sa slike, veliki broj malih kristala sa različitom kristalografskom orijentacijom formiraju "kristalnu komponentu" i "graničnu komponentu", mrežu granica, sa strukturu koja se razlikuje od granice do granice. Pri tome, granična komponenta ima sledeća dva oblika:

- Prosečna atomska gustina u oblasti granice je redukovana za 10-30% u odnosu na gустину kristala, zavisno od tipa hemijske veze između atoma. Gustina granice atoma ne može se povećati ubacivanjem dodatnih atoma u granicu, jer je lokalna slobodna zapremina granice (tj. slobodna zapremina, raspodeljena između atoma granice) manja od atomske zapremine.
- Granice imaju širok spektar međuatomskih rastojanja, koja se kreću od gusto pakovanih atoma do široko rasprostranjenih (atomske gustine od 15-40%). Ovaj širok spektar međuatomskih rastojanja ne može biti uklonjen relaksacijom atoma.

Imajući u vidu da se polazna struktura, iako trpi izvesne promene tokom dalje prerade, u osnovnim crtama očuvava u strukturi krajnjeg proizvoda [1], nameće se neophodnost razrade većeg broja metoda za sintezu nanostrukturnih prahova.

Osnovne metode sinteze nanostrukturnih prahova na kontrolisan način zasnivaju se na hemijskim reakcijama, mehaničkom tretmanu, elektrolitičkom taloženju i atomizaciji tečnog metala.

### **1.1. Hemijski postupci sinteze nanostrukturnih prahova**

Hemijskim postupcima se mogu dobiti prahovi skoro svih metala, pri čemu treba razlikovati nekoliko varijanti hemijske sinteze: razlaganje čvrste faze gasom, hidrid-dehidrid postupak, postupak reakcione sinteze tipa čvrsto-čvrsto, taloženje iz tečne faze, taloženje iz gasne faze, termičko razlaganje (isparavanje-kondenzacija).

Jedan od načina dobijanja prahova je razlaganje čvrste faze gasom, čiji je karakterističan predstavnik redukcija oksida. Pre same redukcije potrebno je odgovarajući oksid metala prečistiti. Redukcija oksida se vrši termohemijском reakcijom koja uključuje redukujući gas, kao što je ugljen monoksid, vodonik, generatorski gas, voden gas ili prirodni gas [3, 4]. Gasna redukcija se primenjuje za dobijanje metalnih prahova, kao što su prahovi železa, nikla, molibdena, volframa, bakra. Ovako dobijeni prahovi nisu tečljivi i slabo se pakuju. Oblik i veličina čestica zavise od sastava i temperature gasa.

Reverzibilni hidrid-dehidrid proces sastoji se iz dve faze. Prvu fazu čini zasićenje metala vodonikom, što izaziva povećanje krtosti metala i na taj način omogućava njegovu kasniju mehaničku preradu mlevenjem. Druga faza se sastoji iz razlaganja hidrida metala zagrevanjem na pogodnim temperaturama, pri čemu se kao krajnji produkt dobijaju sitne čestice prahova odgovarajućih metala. Ovim postupkom se danas dobijaju prahovi titana i njegovih legura [4].

Prahovi intermetalnih jedinjenja dobijaju se postupkom reakcione sinteze tipa čvrsto-čvrsto, odnosno mešanjem elementarnih prahova komponenata. Intermetalna jedinjenja dobijena na ovaj način su porozne strukture. Dobri su električni provodnici i imaju visoku temperturnu stabilnost. Ovim postupkom mogu se dobiti intermetalna jedinjenja kao što su: NiTi, Ni<sub>3</sub>Al, Ni<sub>3</sub>Si, TiAl<sub>2</sub>, Ti<sub>5</sub>Si<sub>3</sub>, NbAl<sub>3</sub>, Fe<sub>3</sub>Al i TaAl<sub>3</sub>.

Iz rastvora soli metala, kao što su nitrati, hloridi ili sulfati mogu se određenim tretmanom proizvesti talozi metala iz kojih se relativno lako, mlevenjem mogu dobiti prahovi. Proces se sastoji iz dve faze. U prvoj fazi (taloženje metala), soli metala se rastvaraju u vodi i talože kao sekundarna komponenta [3, 4]. U drugoj fazi procesa, vrši se mlevenje taloga u prah. Ovim postupkom, dobijaju se prahovi čistoće 99,8% i veličine čestica oko 1µm. Pošto su čestice veoma sitne, pokazuju tendenciju da se aglomerišu. Prahovi metala dobijeni taloženjem iz rastvora soli metala, osim što su veoma čisti i sitni, različitog su oblika čestica (kubnog, nepravilnog i sunđerastog), netečljivi i sa malom gustinom pakovanja.

Hemijačka depozicija pare [2, 5] predstavlja metodu deponovanja filma različitih materijala, koji uključuje termički indukovani reakciju molekula koji sadrži metal, na zagrejanoj površini. Isparljiv prekursor se transportuje u reaktor, gde se adsorbuje na substrat, na kome dolazi do površinske reakcije. Metalni atom difunduje do formiranja stabilnog nukleusa i uskcesivnog rasta. Na ovaj način formiraju se metalne prevlake, ali je moguća reakcija u gasnoj fazi koja vodi ka dobijanju nanostrukturnog praha.

Reakcijama u gasnoj fazi proizvode se prahovi iz reaktivnih metala, pri čemu se talože čestice reda veličine nanometra [3]. Prah se dobija bez topljenja i kontakta sa sudom za topljenje, čime se izbegavaju glavni izvori kontaminacije. Hloridi, fluoridi i oksidi metala, kao što su V, Nb, W, Hf, Ti, Ag, Co, Ni ili Cr, su pogodni za gasnu precipitaciju.

Prahovi nekih metala se mogu dobiti kombinacijom razlaganja u gasovitom stanju i kondenzacije. Najčešći primer su prahovi železa i nikla, koji se mogu dobiti iz njihovih karbonila. Na ovaj način moguće je dobiti i prahove metala kao što su Cu, Cr, Pt, Rh, Au i Co. Međutim, velika količina energije koja je prisutna u ovom procesu, kao i opasnost od molekula karbonila po zdravlje, ne dozvoljavaju veće korišćenje ovog postupka, osim kod železa i nikla. Čestice prahova ovih metala su veoma sitne (10-1000nm), čiste, najčešće u obliku sunđera, mada se mogu dobiti i sferni, polikristalni aglomerati.

Razvoj nove generacije savremenih materijala i u okviru njih posebno nanostruktura, uključuje i vrlo specifične tehnologije kakva je kriotehnologija, odnosno, sublimaciono sušenje [2, 6]. Ona se u osnovi bazira na faznom dijagramu vode i uslovima kada rastvarač sublimiše. Ova metoda omogućava dobijanje širokog spektra materijala, uključujući okside, neokside i metale. Takođe, kao hemijska metoda sinteze ona obezbeđuje mešanje na nivou rastvora, homogenost dobijenog praha, stabišće fizičkohemijske uslove sinteze i obezbeđuje da se nukleacija kristalne faze u mikrozapremini odigrava na identičan način. Pored toga, obezbeđuje i veliku reproduktivnost svojstva. Veličine sintetisanih kristalita nalaze se u nanometarskom opsegu.

Reakcijama u aerosolu [2, 7] moguća je sinteza širokog spektra struktura i u okviru njih i nanostruktura. U osnovi metode je reakcija gas-tečno u disperznom sistemu (aerosolu), čijom kontrolom je moguće dirigovati veličinu, morfologiju, oblik i strukturu dobijenog praha. S obzirom na korelaciju koja je uspostavljena između morfologije čestica i parametara procesa, nanostrukture mogu biti sintetizovane na kontrolisan način primenom ove metode ili direktnom sintezom praha nanodimensija, ili pak sintezom submikronskih čestica praha koje se sastoje od agregata nanočestica.

### **1.1.1. Sinteza ultra finih i nano prahova glinice**

Glinica je jedan od najinteresantnijih keramičkih materijala. Nanokristalni prah  $\alpha\text{-Al}_2\text{O}_3$  ima izuzetan potencijal sa širokim opsegom primene, uključujući materijale sa visokim mehaničkim svojstvima, elektronsku keramiku, katalizatore, kao i materijale za proizvodnju satova i druge precizne opreme. Posebnu primenu  $\alpha\text{-Al}_2\text{O}_3$  ima pri proizvodnji disperzno ojačanih legura različitim postupcima [8, 9, 10].

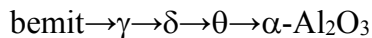
Za dobijanje praha nano glinice mogu se koristiti različite metode, kao što su: sol-gel metoda, hidrotermalna sinteza, metoda koprecipitacije, itd. [1].

Treba naglasiti da se veliki broj istraživača bavio postupcima sinteze  $\alpha\text{-Al}_2\text{O}_3$ , pri čemu je zajedničko za sve da stepen konverzije od prekursora do strukture  $\alpha\text{-Al}_2\text{O}_3$  zavisi, pre svega, od temperature i vremena termičkog tretmana.

Ramanathan i sar. [11] su dobili  $\alpha\text{-Al}_2\text{O}_3$  prah korišćenjem uree i  $\text{AlCl}_3$  kao prekursora uz termički tretman na  $1400^\circ\text{C}$ . Sintezu finog praha  $\alpha\text{-Al}_2\text{O}_3$  iz gasne faze prekursora vršili su Borsella i sar. [12], pri čemu su radili seriju eksperimenata sa temičkim tretmanom u temperaturnom opsegu  $1200\text{-}1400^\circ\text{C}$ . Ding i sar. [13] su sintetizovali  $\alpha\text{-Al}_2\text{O}_3$  korišćenjem reakcije  $2\text{AlCl}_3 + 3\text{CaO} \rightarrow \text{Al}_2\text{O}_3 + 3\text{CaCl}_2$  na temperaturi od  $1250^\circ\text{C}$ . U radu [14] prikazan je postupak sinteze ultra finog praha  $\alpha\text{-Al}_2\text{O}_3$  sol-gel metodom na temperaturi od  $1100^\circ\text{C}$ .

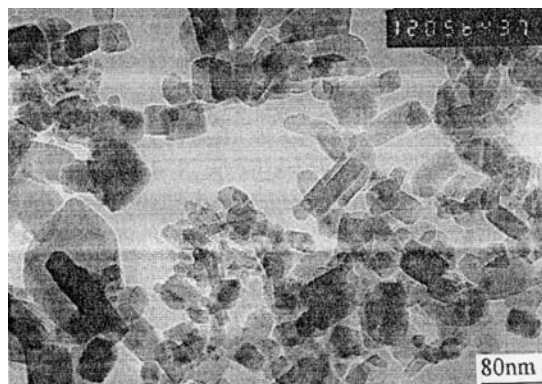
Hayashi i sar. [15] su sintetizovali fini prah  $\alpha$ -Al<sub>2</sub>O<sub>3</sub> na temperaturi od 1050°C, korišćenjem amonijum aluminijum karbonat hidroksida kao prekurosra.

Najčešći prekursor za dobijanje  $\alpha$ -Al<sub>2</sub>O<sub>3</sub> je bemit (AlO(OH)). Tokom termičkog tretmana bemit prolazi kroz sledeće fazne transformacije:



Transformacija  $\theta$  u  $\alpha$ -Al<sub>2</sub>O<sub>3</sub> se odvija mehanizmom nukleacije i rasta kristala. Ovaj mehanizam se sastoji iz tri faze: primarna kristalizacija, rast zrna i sekundarna kristalizacija [16, 17]. Kod disperznih sistema najznačajnije su prva i druga faza. Mehanizam ove transformacije je ispitivan sa i bez dodatka  $\alpha$ -Al<sub>2</sub>O<sub>3</sub> čestica kao centara nukleacije [18-21]. U ovim radovima je zaključeno da prisustvo inicijalnih centara nukleacije smanjuje energiju aktivacije transformacije i potrebnu temperaturu. Takođe, greške u strukturi  $\theta$ -Al<sub>2</sub>O<sub>3</sub> utiču na stvaranje, osobine i rast  $\alpha$ -Al<sub>2</sub>O<sub>3</sub> nukleusa.

U radu [22] prikazan je postupak sinteze neaglomerisanog nano praha glinice sol-gel metodom, odnosno metodom dobijanja koloidnog gela dodavanjem NH<sub>3</sub>×H<sub>2</sub>O u rastvor Al(NO<sub>3</sub>)<sub>3</sub>×9H<sub>2</sub>O uz intenzivno mešanje i korišćenje polietilenglikola za deaglomeraciju. Nakon odgovarajućih termičkih tretmana, iz koloidnog gela se taloži  $\alpha$ -Al<sub>2</sub>O<sub>3</sub>. Na sl. 2 dat je prikaz mikrostrukture  $\alpha$ -Al<sub>2</sub>O<sub>3</sub> praha dobijenog prethodno opisanim sol-gel postupkom.

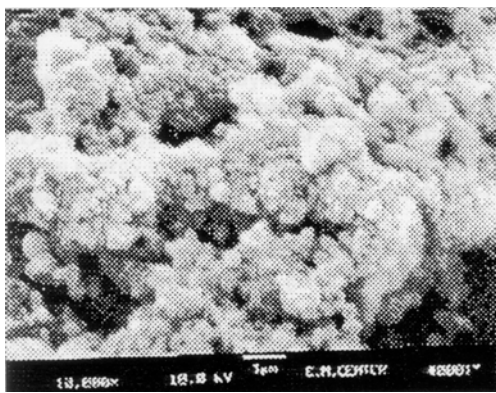


Sl. 2. Mikrostruktura  $\alpha$ -Al<sub>2</sub>O<sub>3</sub> praha dobijenog sol-gel metodom (TEM)

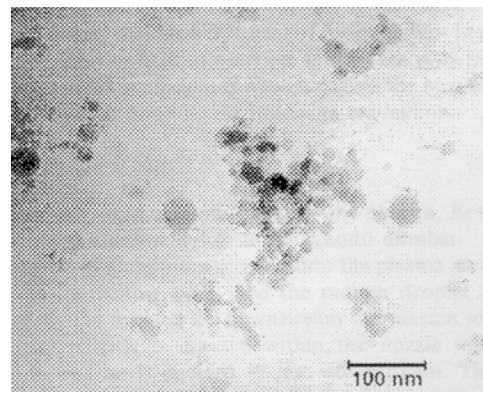
U radu [23] prikazan je hemijski postupak sinteze  $\alpha$ -Al<sub>2</sub>O<sub>3</sub>, pri čemu se kao polazne hemikalije koriste Al(NO<sub>3</sub>)<sub>3</sub>×9H<sub>2</sub>O, trietanolamin, saharoza i HNO<sub>3</sub>. U početnoj fazi postupka, mešaju se jednake količine Al(NO<sub>3</sub>)<sub>3</sub>×9H<sub>2</sub>O i dejonizovane vode, tako da se dobija masa poput paste. Da bi se dobio viskozni rastvor, pasti se dodaje trietanolamin. Na početku trietanolamin formira talog (usled formiranja Al<sup>3+</sup>-hidroksida) sa metalnim jonima. Ovako dobijeni talog se rastvara i dobija se bistar rastvor zagrevanjem na oko 150°C. Nakon rastvaranja taloga, rezultujućem rastvoru se dodaje rastvor saharoze. Da bi pH vrednost bila 3-4, dobijenoj mešavini se dodaje nekoliko kapljica HNO<sub>3</sub>. Kontinuirano zagrevanje dobijenog rastvora na temperaturi od 180°C izaziva stvaranje pene i mehurića. Kada se izvrši kompletna dehidratacija, sami nitrati se razlažu razvojem braon para azot dioksida, koji iza sebe ostavlja crne pufnaste prahove velike zapremine, tj. prethodnike prahova. Ovako dobijeni prekursor se, nakon mlevenja, termički obrađuje na različitim temperaturama, pri čemu se dobija fini prah Al<sub>2</sub>O<sub>3</sub>. Termički tretman prekursora odvijao se na vazduhu u toku 1 časa pri temperaturama od 800, 900, 1000, 1100 i 1150°C i brzini zagrevanja od 8°C/min. Karakterizacija prahova dobijenih prethodno opisanim postupkom ukazuje da su dobijeni neaglomerisani nanokristalni prahovi  $\alpha$ -Al<sub>2</sub>O<sub>3</sub> sa veličinom čestica od oko 20nm.

Kao što je rečeno, jedan od načina dobijanja nano čestica glinice je metod hidrotermalne sinteze. Ovaj metod je predstavio T. Tsuchida u svom radu [24]. Hidrotermalna sinteza omogućava niske temperature dobijanja submikronskih oksidnih prahova sa ujednačenom veličinom čestica izbegavajući fazu kalcinacije koja je neophodna u procesu dobijanja oksida preko gela. Bemit se hidrotermalnom sintezom dobija iz hidralgilita ili amorfног hidratnог gela alumine. Sirovine za dobijanje  $\alpha$ -Al<sub>2</sub>O<sub>3</sub>×H<sub>2</sub>O se smeštaju u Ag ili teflonsku cev zajedno sa različitim rastvorima (H<sub>2</sub>O, NaOH, KOH, NH<sub>4</sub>OH i KI) i stavljuju u autoklav na temperaturu od 200-300°C u trajanju od 0-48h.

U radu [25] prikazan je postupak sinteze ultra finog i nano praha alumine u plazma reaktoru “in flight” metodom (metodom “unutrašnjeg leta”). Sklop reaktora je modularne konstrukcije sa plazma gorionikom postavljenim na deo glave gorionika, koji vodi do glavnog segmenta, odnosno cilindričnog suda sa duplim zidom hlađenim vodom. Prečnik cilindričnog suda je 300mm, a njegova dužina 600mm. Postupak se sastoji iz ubrizgavanja metalnog, odnosno keramičkog praha u mlaz plazme kroz bočni otvor, koji se nalazi na anodi plazma gorionika, i ubrizgavanja komprimovanog vazduha (reaktivni gas) niz mlaz plazme, 10mm od mlaznice, pomoću ubrizgivača postavljenog na delu glave gorionika. Kao mlaz plazme koristi se mešavina argona i azota. Metalni, odnosno keramički prah se prenosi mlazom plazme pomoću punjača praha. Brzina punjenja praha i brzina tečenja nosača gasa su strogo kontrolisani. Pri sintezi ultrafinog i nano praha alumine, aluminijumski prah se ubrizgava u plazmu, a komprimovan vazduh niz mlaz plazme. Čestice aluminijumskog praha se tope i isparavaju, a istopljene kapljice i pare aluminijuma reaguju sa kiseonikom obrazujući, usled visoko neuravnotežene prirode procesa, nano prah  $\gamma$ -Al<sub>2</sub>O<sub>3</sub>, koji se prikuplja na zidovima reaktora. Visoka temperatura plazma medijuma uz visoko egzotermnu prirodu reakcije oksidacije dovodi do razlaganja aluminijum oksida na negove sub-okside, aluminijum i kiseonik, koji se potom ponovo kombinuju u hladnim zonama zida reaktora obrazujući nano prah  $\gamma$ -Al<sub>2</sub>O<sub>3</sub>, čija je veličina čestica ispod 30nm [25].



*Sl. 3. SEM praha alumine  
sintetizovanog u plazma reaktoru*



*Sl. 4. TEM praha alumine  
sintetizovanog u plazma reaktoru*

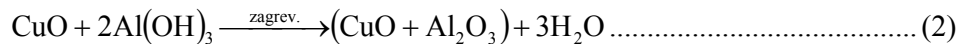
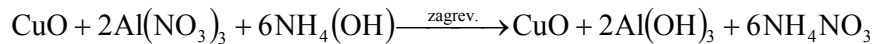
### **1.1.2. Sinteza ultra finih i nanokompozitnih prahova na bazi bakra i srebra**

Iako dobijanje prahova hemijskim putem, taloženjem iz tečne faze, nije novi postupak, u poslednje vreme je, zbog razvoja savremenih materijala sa unapred zadatim svojstvima, došlo do intenzivnog interesovanja za ovaj način dobijanja, pre svega nano prahova. Pri ovome se misli na dobijanje prahova disperzno ojačanih i kompozitnih materijala na bazi nano prahova sa homogenom raspodelom disperzoida u matrici osnovnog metala [22, 26-29].

Pored konvencionalnih načina dobijanja kompozita na bazi Cu-Al<sub>2</sub>O<sub>3</sub>, u radu [26] dat je prikaz dobijanja ovih kompozita hemijskim putem, taloženjem iz tečne faze, uz uporednu analizu svojstava dobijenih sinterovanih uzoraka. Prema [26], poznata količina Al(NO<sub>3</sub>)<sub>3</sub> se rastvara u određenoj količini destilovane vode, čemu se dodaje zahtevana količina CuO. Dobijena smeša se zagreva na temperaturi od 400-450°C, a potom na 850°C kako bi se dobila smeša prahova CuO i Al<sub>2</sub>O<sub>3</sub>, direktno upotrebljiva za presovanje i sinterovanje.

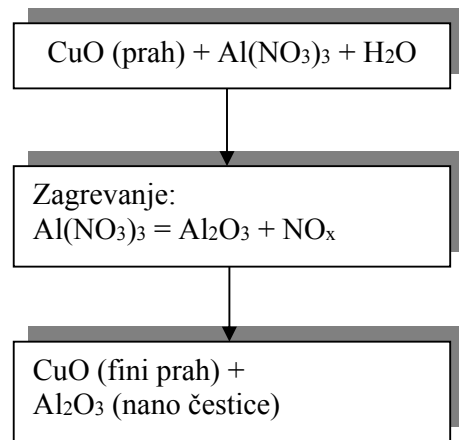


U drugom slučaju, prema [26], smeši CuO i Al(NO<sub>3</sub>)<sub>3</sub> u zahtevanoj proporciji dodaje se destilovana voda, kako bi se napravio rastvor CuO u Al(NO<sub>3</sub>)<sub>3</sub>. Stehiometrijska količina NH<sub>4</sub>OH dodaje se prethodnom rastvoru kako bi hidrolizovala Al(NO<sub>3</sub>)<sub>3</sub> potpuno u Al(OH)<sub>3</sub>. Rastvor CuO i Al(OH)<sub>3</sub> se filtrira, a čvrsta smeša zagreva na 850°C, kako bi se Al(OH)<sub>3</sub> razložio do Al<sub>2</sub>O<sub>3</sub>.

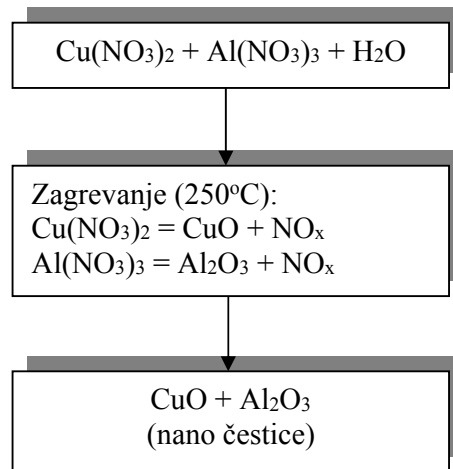


Ovako formirane smeše CuO i Al<sub>2</sub>O<sub>3</sub> nano prahova presuju se na sobnoj temperaturi i sinteruju u atmosferi vodonika na određenoj temperaturi i u toku određenog vremena.

Na sl. 5 i 6 dat je šematski prikaz postupka dobijanja nanokompozitnih prahova hemijskim putem, taloženjem iz tečne faze, pogodnih za dalju konsolidaciju i sinterovanje u cilju dobijanja disperzno ojačanog sistema Cu-Al<sub>2</sub>O<sub>3</sub> [28].



*Sl. 5. Dobijanje mešavine CuO (finog praha) i Al<sub>2</sub>O<sub>3</sub> (nano čestica)  
taloženjem iz tečne faze*



*Sl. 6. Dobijanje nanokompozitnog praha Cu+Al<sub>2</sub>O<sub>3</sub> taloženjem iz tečne faze*

U prvom slučaju, polaznu osnovu predstavlja rastvor CuO u Al(NO<sub>3</sub>)<sub>3</sub> (sl. 5), a u drugom vodenim rastvori Cu(NO<sub>3</sub>)<sub>2</sub> i Al(NO<sub>3</sub>)<sub>3</sub> (sl. 6), koji se, u cilju postizanja zahtevanog hemijskog sastava, nanometarske veličine čestica i homogene raspodele disperzoida, podvrgavaju odgovarajućem hemijskom i termičkom tretmanu.

Za poboljšanje mehaničkih i električnih svojstava elektroda za tačkasto zavarivanje, Cu-Al<sub>2</sub>O<sub>3</sub> nanokompozitni prahovi su dobijeni termohemijskim postupkom, koji se sastojao iz četiri faze[27]:

- dobijanje vodenog rastvora u kome su Cu(NO<sub>3</sub>)<sub>2</sub> i Al(NO<sub>3</sub>)<sub>3</sub>×9H<sub>2</sub>O rastvoreni do postizanja zahtevanog sastava Cu-Al<sub>2</sub>O<sub>3</sub> nanokompozitnog sistema,
- suvo raspršivanje rastvora u cilju dobijanja polaznih prahova za sintezu Cu-Al<sub>2</sub>O<sub>3</sub> nanokompozita,
- proces termičkog tretmana (odsoljavanje) u atmosferi vazduha u cilju uklanjanja isparljivih komponenata (NO<sub>x</sub>, vlaga) i, simultano, sinteza Cu-Al<sub>2</sub>O<sub>3</sub> kompozita oksidacijom korespondentnih metalnih komponentni,
- redukcija CuO termičkim tretmanom u atmosferi vodonika na temperaturama od 150 i 200°C u toku 30 i 60 min.

Imajući u vidu izuzetnu električnu i topotnu provodljivost, nisku kontaktnu otpornost, sposobnost oblikovanja deformacijom, kao i mogućnost lemljenja i zavarivanja, srebro, u poslednje vreme, nalazi sve veću primenu u razvoju novih poboljšanijih vrsta materijala sa unapred zadatim svojstvima, pre svega disperzno ojačanih i kompozitnih materijala, koji imaju širok spektar primene kao kontaktni materijali u oblasti elektrotehnike.

Ag-Cu i Ag-Ni kontaktni materijali se odlikuju dobrom otpornošću na električno habanje i kontaktno zavarivanje, koja raste sa sadržajem bakra, odnosno nikla. Sadržaj bakra i nikla u niskim koncentracijama, kod ovih kontaktnih materijala, znatno poboljšava mehanička svojstva i otpornost na električno habanje, bez redukovana električne provodljivosti i povećanja

kontaktne otpornosti. Ag-Cu i Ag-Ni kontaktni materijali se odlikuju dobrom sposobnošću oblikovanja deformacijom i koriste se za lemljenje i zavarivanje.

Pored ovih, dobro su poznati kontaktni materijali tipa Ag-SnO<sub>2</sub>, Ag-CdO, Ag-W, Ag-WC, Ag-grafit, Ag-Mo, dobijeni postupcima metalurgije praha [30].

U radu [31] dat je prikaz istraživanja usmerenih ka sintezi srebro-bakar (II) oksid kompozitnog praha, koji sadrži 60-95 zap. % Ag, postupkom sprej pirolize na 1000°C. Polaznu osnovu predstavljaju vodeni rastvori srebro i bakar nitrata pomešani u količinama neophodnim za dobijanje odgovarajućeg odnosa srebra i CuO u dobijenom kompozitnom prahu. Srebro nitrat se tokom termohemijskog postupka razlaže na metalno srebro, dok bakar nitrat daje stehiometrijsku količinu bakar (II) oksida kada se podvrgne sprej pirolizi na vazduhu pri dovoljno visokim temperaturama. Rastvori su atomizirani korišćenjem modifikovanog ultrazvučnog ovlaživača, kao aerosolnog generatora. Kapljice aerosola su nošene strujom vazduha određene brzine kroz trozonsku Lindbergovu peć sa mulitnom cevi, a dobijeni prahovi su sakupljeni na filteru određenih karakteristika. Vreme zadržavanja struje aerosola u peći, posle korekcije usled temperaturnih promena, bilo je ~9-10s.

Kompozitni Ag-CuO prah, koji sadrži 60-95 zap. % Ag, uspešno je sintetizovan sprej pirolizom vodenih rastvora srebro i bakar nitrata na 1000°C. Dobijen je prah sa submikronskom veličinom čestica i dobro dispergovanim fazama. Morfologija površine čestica, viđena skanirajućom elektronском mikroskopijom, znatno je varirala sa sadržajem srebra u dobijenom kompozitnom prahu. Površinska glatkoća i sferičnost čestica su se znatno povećavali sa povećanjem sadržaja Ag, a interne morfologije, posmatrane TEM-om, su bile slične za sve sastave [31].

Takođe, u radu [32] dat je prikaz sinteze nanokompozitnih prahova Ag-ZnO i Fe-SiO<sub>2</sub> postupkom sprej pirolize iz rastvora njihovih prekursora. Pri sintezi nanokompozitnog praha Ag-ZnO rastvor prekursora je dobijen rastvaranjem komercijalnih prahova ZnO i Ag<sub>2</sub>O u NH<sub>4</sub>OH sa dodatkom NH<sub>4</sub>HCO<sub>3</sub> i NH<sub>4</sub>NO<sub>3</sub>. Karakterizacija sintetisanih prahova ukazuje da su tokom

eksperimentalnih istraživanja dobijeni nanokompozitni prahovi sa dobro dispergovanim fazama.

U radovima [33, 34] dat je prikaz karakterizacije i sinteze nanokompozitnih Cu-Ag prahova postupkom mehaničkog legiranja.

Mehaničko legiranje vršeno je u SPEX8000 mešaču, pri čemu su prahovi bakra i srebra pomešani prema zahtevanom sastavu  $Cu_{50}Ag_{50}$  nanokompozitnog sistema. U radu [33], temperatura mlevenja je bila blizu temperature tečnog azota, dok je u radu [34] varirala od sobne temperature do  $230^{\circ}\text{C}$ . Proces mlevenja vršen je u atmosferi argona. Prahovi su bili najpre predlegirani mlevenjem na sobnoj temperaturi u trajanju od 24 časa, a potom mleveni 5 časova na odgovarajućoj temperaturi.

Dobijeni rezultati istraživanja, prikazani u radovima [33, 34], ukazuju na mogućnost sinteze  $Cu_{50}Ag_{50}$  nanokompozitnih prahova odgovarajućih svojstava mlevenjem na povišenim temperaturama. Razlaganje polaznog čvrstog rastvora prethodi rekristalizaciji jako deformisanog inicijalnog praha. Na dovoljno niskoj temperaturi mlevenja ( $120^{\circ}\text{C}$ ) ili tokom dovoljno kratkog vremenskog intervala (1h,  $230^{\circ}\text{C}$ ) razlaganje se odigrava na skali od 10nm. Na višoj temperaturi ili pri dužim vremenskim intervalima odigravaju se dinamička, odnosno staticka rekristalizacija, a nanokompozitni prahovi nastali kao njihov rezultat su izuzetno homogeni sa skalom razlaganja u opsegu od 30nm posle dinamičke rekristalizacije, do 75nm posle staticke rekristalizacije, u direktnom odnosu sa ostvarenom veličinom zrna, 20 odnosno 40nm.

## 1.2. Mehanički postupci sinteze nanostrukturnih prahova

Sinteza različitih tipova materijala, od metalnih do jonskih (legure, jedinjenja, kompoziti) sa raznolikošću strukture (kvazikristalna, amorfna, kristalna) može se dobiti u postupku mehanosinteze [2, 35]. U osnovi ove sinteze je dovođenje čvrste materije u neuređeno stanje, dovođenjem energije mlevenja u visokoenergetskim vibracionim i planetarnim mlinovima i

indukovanje ili aktiviranje fazne transformacije ili reakcije. Ovim postupkom moguća je sinteza kristalnih materijala sa zrnima nanometarske veličine, kao i jedinjenja od elementarnih prahova. Visokoenergetskim mlevenjem smeše metala i grafita formirani su stabilni i metastabilni karbidi na bazi TiC, SiC, WC, zatim njihove smeše i novi karbidi sa veličinama kristala 10-20nm. Takođe, mlevenjem metala i silicijuma ostvarena je direktna sinteza silicida na sobnoj temperaturi sa veličinom kristala od 9-15nm, sastava  $MSi_2$  ( $M=Fe, Co, Ni\dots$ ). Osim toga, sintetizovani su nanostrukturni aluminidi i germanidi. Mehaničko legiranje i njegova evolucija u različite procese, kao što je mehanosinteza, pogodna je metoda za dobijanje različitih keramičkih i kompozitnih materijala sa nanofaznom strukturu u većim količinama.

Mehaničke metode dobijanja prahova zasnivaju se na usitnjavanju polaznog materijala dejstvom spoljašnjih sila, pri čemu treba razlikovati četiri osnovna načina mehaničkog usitnjavanja: udarnim dejstvom, atritiranjem, sečenjem i pritiskanjem [3, 4].

Prvi način se sastoji iz brzog i trenutnog drobljenja materijala, dok se u procesu atritiranja materijal usitjava trenjem. Sečenje, odnosno smicanje se primenjuje kod materijala koji su ekstremno tvrdi. Četvrti način dobijanja prahova mehaničkim usitnjavanjem se zasniva na razgradnji materijala dejstvom sile pritiska. Često se, pri dobijanju prahova, ova četiri načina međusobno kombinuju.

Pored dobijanja prahova od tvrdih i ktrih materijala, postupak mlevenja se koristi i za dobijanje prahova disperzno ojačanih i kompozitnih materijala, i to tehnikom mehaničkog legiranja.

Mehaničko legiranje predstavlja visokoenergetski proces mlevenja, kojim se proizvode prahovi različitog sastava sa homogenom i sitnozrnom strukturu. Suština ovog procesa je legiranje u čvrstom stanju hladnim, uzastopnim zavarivanjem i lomom čestica prahova odgovarajućih materijala. Razvojem tehnike mehaničkog legiranja, omogućena je izrada disperzno ojačanih materijala, koji u sebi sadrže čestice disperzoida submikronske veličine sa homogenom raspodelom u osnovnom materijalu [4, 36, 37].

Proces mehaničkog legiranja može da se vrši u različitim mlinovima: atritorima, vibracionim mlinovima ili konvencionalnim mlinovima sa kuglama. Stalnim udarima, hladnim zavarivanjem i lomom čestica dobijaju se prahovi zahtevanih svojstava [4].

Za dobijanje finih prahova, obično se koriste mlinovi sa kuglama, kod kojih mlevenje vrše kugle (čelične, od čvrste legure, keramičke).

Udarno naprezanje,  $\sigma$ , koje je potrebno primeniti da bi došlo do loma krktog materijala u mlinu, zavisi od defekata u strukturi i osetljivosti na rast loma [3]:

gde je:

E - modul elastičnosti,

r - poluprečnik defekta ili postojeće pukotine,

D - prečnik čestice.

Saglasno jednačini (3), veće čestice zahtevaju manje udarno naprezanje za lom. Sa smanjenjem veličine čestica u toku mlevenja, povećava se naprezanje neophodno za njihovo dalje usitnjavanje, što rezultuje u produžavanju vremena mlevenja i smanjenju produktivnosti.

Za izračunavanje relativne energije, potrebne za mlevenje praha, koristi se sledeća empirijska jednačina:

gde je:

$D_i$  - početna veličina čestice,

$D_f$  - konačna veličina čestice.

$g$  - konstanta, koja zavisi od materijala, kugli, oblika mlinja i operacije mlevenja.

a - eksponent koji ima vrednost između 1 i 2

Mehanizam mlevenja zavisi od nekoliko faktora [4, 36, 37]: geometrije mline, težine kugli, brzine okretanja bubenja, zapremine materijala, dužine mlevenja i sredine u kojoj se proces mlevenja vrši, pri čemu je jedan od glavnih faktora brzina okretanja mline. Povećanjem brzine obrtanja mline povećava se visina padanja kugli, a tim i udeo mlevenja za račun udarnog dejstva. Suviše mala brzina obrtanja usporava kugle i one se vraćaju unazad. Međutim, sa daljim povećanjem brzine obrtanja može se doći u situaciju da se kugle, usled dejstva centrifugalne sile, prilepe uz zidove mline i okreću zajedno sa njim, tako da ne dolazi do mlevenja materijala. Ovakva brzina bubenja naziva se kritičnom i određuje se, za datu geometriju mline, prema sledećoj jednačini:

gde je:

$\omega_{kr}$  - kritična brzina obrtanja mlini,

$r_b$  - poluprečnik bubenja,

g - ubrzanje zemljine teže.

Konačno, vreme potrebno da se ostvari homogeno mehaničko legiranje zavisi od primenjene sile, promene veličine čestica, geometrije mlina i brzine rotacije mlina.

Za optimalno mlevenje, prečnik kugli treba da je približno 30 puta veći od prečnika čestica materijala koji se melje. Zapremina kugli je oko 50% od zapremine mlina, dok je zapremina popunjeneog materijala oko 25% od zapremine mlina. Pošto uneti materijal ispunjava prostor između kugli, aktivna zapremina je 50% od zapremine mlina [3].

Proces mlevenja se obično ne koristi za duktilne materijale, pošto se oni lako ne lome. U ovom slučaju, često se prethodno vrši proces hidriranja duktilnih materijala koji, kao hidridi postaju krti i mogu lako da se usitnjavaju. U procesu dehidriranja, iz čestica prahova se oslobađa vodonik, tako da materijal postaje ponovo duktilan [3, 4].

U mlinovima sa kuglama najpogodnije je vršiti mlevenje tvrdih i krtih matrijala. Na ovaj način dobijeni prahovi odlikuju se velikom nasipnom gustinom, a oblik čestica je nepravilan [38] (sl. 7). Često se, radi intenziviranja procesa mlevenja upotrebljava tečna sredina, koja treba da bude inertna kako u odnosu na materijal koji se melje, tako i u odnosu na materijal od koga su izrađene kugle i zidovi bubenja.



Sl.7. Prah disperzno ojačanog bakra proizveden mlevenjem

Pri mlevenju nekog materijala potrebno je vršiti strogu kontrolu procesa, odnosno preduzeti odgovarajuće mere protiv kontaminacije praha. Problem kontaminacije može biti umanjen korišćenjem kugli i posude za mlevenje od istog materijala od koga je prah koji se melje. Ravnoteža između mlevenja i zavarivanja postiže se upotrebom organskih fluida, kao što su alkohol ili heptan.

Iako ova tehnika nije posebno energetski efikasna, mogu se dobiti specijalne vrste legura sa strukturom koja u sebi sadrži metastabilne faze, zrna submikronske i nanoveličine ispod 100nm, amorfne faze, itd.

## **2. SINTEROVANJE METALNIH MATERIJALA**

### **2.1. Osnovni principi fizike sinterovanja**

Tokom zagrevanja disperzne smeše kristalnih (ili nekristalnih) materijala odigrava se proces sinterovanja. Pri tome se dobijaju polikristalni materijali, isto kao i tokom očvršćavanja rastopa materijala. Prilikom sinterovanja dobijaju se više ili manje porozni materijali, mada se specijalnim tretmanom mogu dobiti visokoporozni, ali i neporozni materijali [39].

Mnogobrojni pokušaji sveobuhvatnog opisivanja pojma sinterovanja nisu, do danas, rezultovali u jasnoj definiciji. Uglavnom se uočavaju dva prilaza, bilo opisivanjem fizičkih fenomena koji se odvijaju u toku procesa, bilo opisivanjem tehničkih i industrijskih procesa koji se koriste. Prvi način je znatno teži, s obzirom na još uvek nepotpuno razumevanje fizičkih i hemijskih procesa koji se odvijaju, uglavnom simultano u materijalu.

Danas su dobro razvijeni principi fizike sinterovanja na osnovu pojave difuzije, kripa i rekristalizacije, tj. na atomskom nivou, ne vodeći računa o specifičnostima elektronske strukture kristala. Međutim, očigledno je da su procesi difuzije, kripa i rekristalizacije, kao i površinska svojstva materijala, uslovjeni elektronskom građom materije. S obzirom na to, na osnovama elektronske građe jedino može da bazira opšta teorija sinterovanja [40-43].

Poseban značaj imaju proučavanja sinterovanja kao simultanog procesa smanjenja poroznosti sistema i rasta zrna [44-45], odnosno redukcije specifične površine za vreme sinterovanja i uticaja raspodele veličine čestica na kinetiku procesa [46]. Pri tome se u poslednje vreme pažnja poklanja i problemima simultanog određivanja aktivacione energije sinterovanja i kinetike sinterovanja u neizotermским uslovima [47-50].

Značajan doprinos poznавању суštine procesa sinterovanja pružaju istraživanja sinterovanja ultradisperznih čestica [51, 52].

U osnovi, sinterovanje prahova obuhvata dva fenomena [4]:

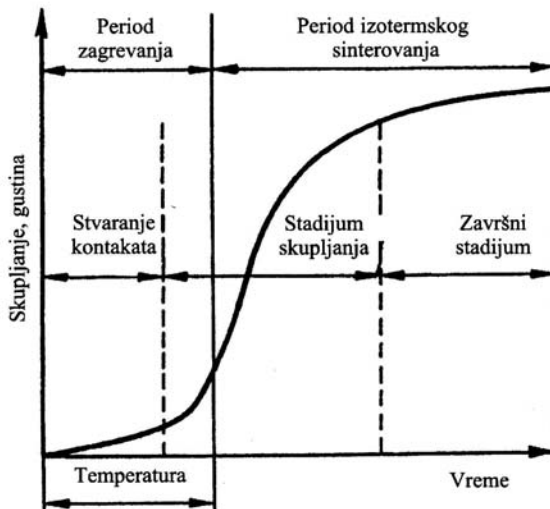
- a) adheziju ili zavarivanje površina čestica,
- b) promenu oblika čestica.

Bez adhezije nema sinterovanja, a bez promene oblika nema zgušnjavanja.

Pokretačku silu sinterovanja predstavlja slobodna energija sistema, koji se sa termodinamičke tačke gledišta nalazi u neravnotežnom stanju. Ovo je posledica velike razvijenosti slobodne površine čestica praha, prisustva ravnotežnih (tačkastih) i neravnotežnih defekata (dislokacija) [39, 53-56].

Sinterovanje je izuzetno složen proces u toku koga se odvija kompleksno dejstvo više mehanizama prenosa materijala, kao i uređenje i promena oblika čestica, tj. procesi koji su tesno povezani sa neravnotežnim stanjem kristalne rešetke i koji pokazuju značajan uticaj na svojstva dobijenih metalnih materijala.

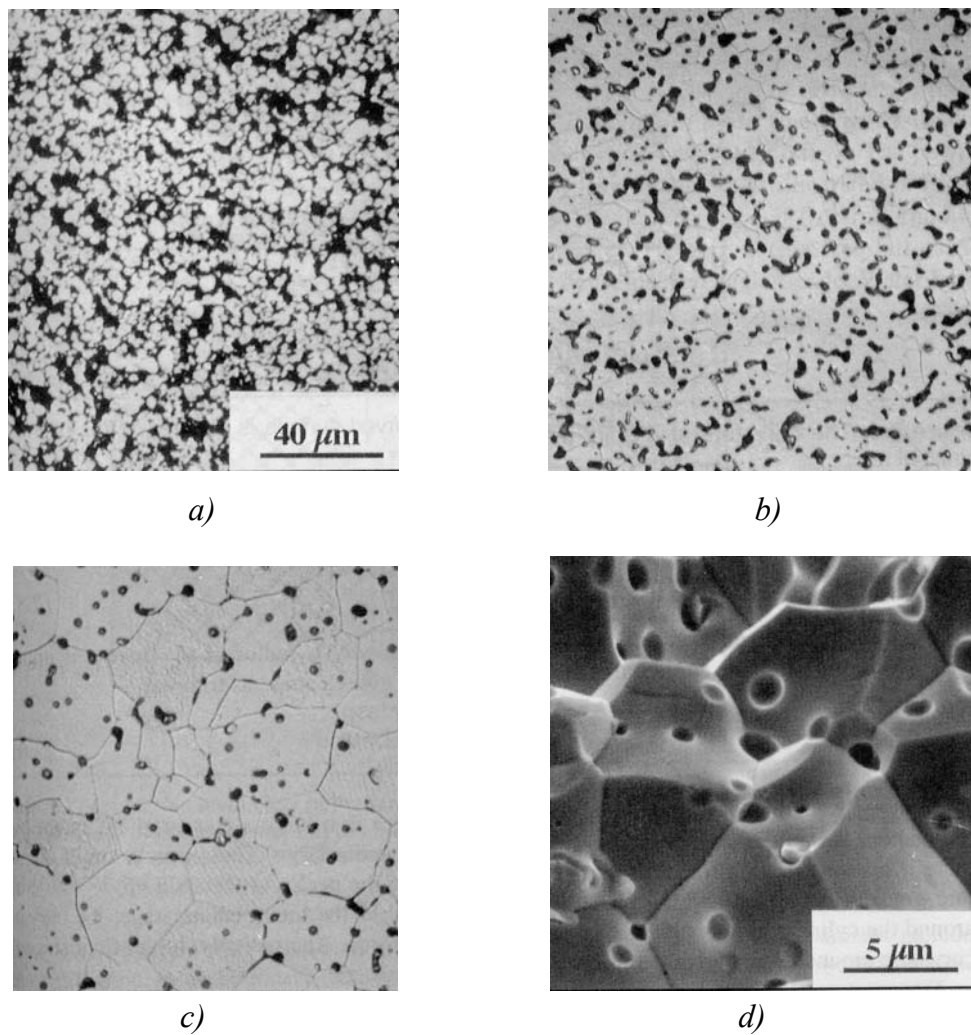
Proces sinterovanja se, uslovno, može podeliti na tri stadijuma, pri čemu se vodi računa uglavnom o geometrijskim promenama tokom procesa (sl. 8) [36].



Sl. 8. Šematski prikaz stadijuma sinterovanja

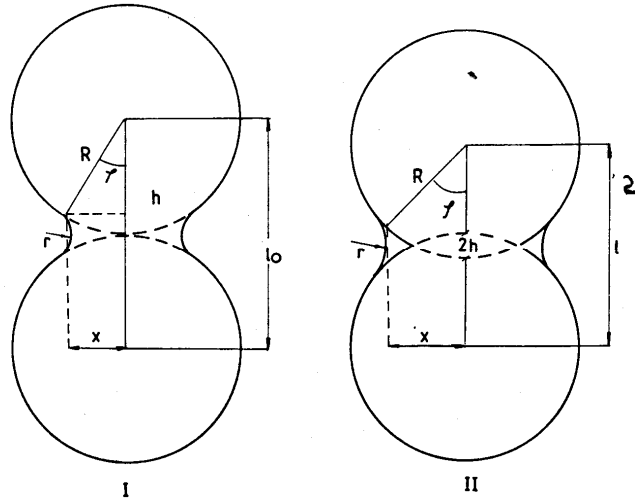
U početnom stadijumu ostvaruje se kontakt između pojedinih čestica, dok istovremeno čestice zadržavaju strukturnu individualnost. U srednjem

stadijumu počinje obrazovanje zatvorenih pora, pri čemu čestice gube svoju individualnost. Završni stadijum karakteriše postojanje zatvorenih pora i rast zrna. Međutim, treba napomenuti da u realnim uslovima nije moguće jasno razdvojiti granice između odgovarajućih stadijuma [39]. Na sl. 9 (a, b, c) prikazane su karakteristične mikrostrukture za svaki od navedenih stadijuma sinterovanja. Mikrofotografija na sl. 9 (d) pokazuje lom duž granice zrna uzorka sinterovanog do završnog stadijuma. Sferične pore su prisutne na lomu duž granice zrna, što je pogodno za nastavljanje zgušnjavanja materijala u završnom stadijumu [3].



*Sl. 9. Mikrostrukture karakteristične za određene stadijume sinterovanja  
a) početni, b) srednji, c) završni d) lom duž granice zrna uzorka sinterovanog  
do završnog stadijuma*

Velika složenost procesa koji se odigravaju tokom sinterovanja realnih disperznih materijala i nemogućnost neposrednog posmatranja kompleksnog delovanja svih mehanizama odgovornih za ovaj proces, uslovili su proučavanje delovanja pojedinih mehanizama na modelima (Ja. I. Frenkelj - 1946, B. Ja. Pines - 1946, G. C. Kučinski - 1949, itd.).



Sl. 10. Model prirastanja dve čestice [34]

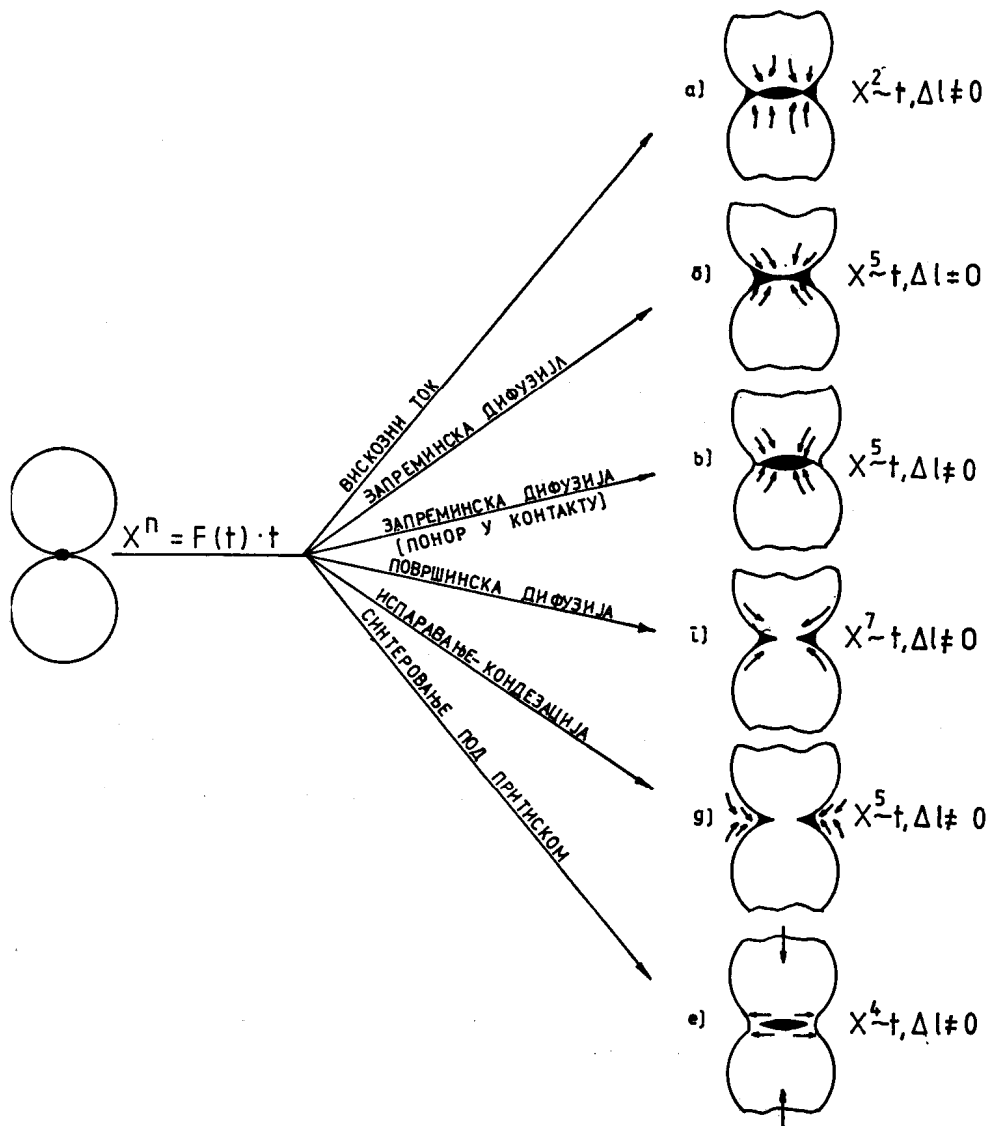
(I - rastojanje između centara sfera se ne menja;

II - rastojanje između centara sfera se smanjuje)

Obično se kao model za proučavanje procesa sinterovanja koriste dve kugle. Posmatra se njihovo prirastanje, odnosno povećanje površine njihovog dodira (vrata), pri čemu dolazi do relativnog smanjenja linearnih dimenzija modela [39, 57, 58].

U oblasti viših temperatura, kada su difuziona pokretljivost atoma i napon para materijala dovoljno veliki, rast površine kontakta može biti posledica sledećih elementarnih mehanizama (sl. 11) [39]:

1. viskoznog toka,
2. zapreminske difuzije,
3. difuzije po granicama zrna,
4. površinske difuzije,
5. transporta mase kroz gasnu fazu.

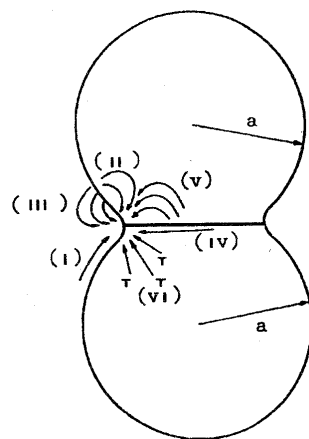


Sl. 11. Šema sinterovanja dve sferne čestice različitim mehanizmima [39]

Kao što je rečeno, proces sinterovanja realnih sistema uslovno se deli na tri stadijuma (početni, srednji i završni), u okviru kojih se u principu mogu odvijati svi mehanizmi transporta mase. Zbog toga se, da bi se dobila kompletna i realna slika o procesu sinterovanja nekog disperznog sistema, mora uzeti u obzir delovanje svih mehanizama (tab. I i sl. 12) [39, 59].

Tabela I. Difuzioni mehanizmi transporta mase tokom procesa sinterovanja

Oznaka	Mehanizam transporta mase	Izvor toka	Ponor toka
<b>I</b>	površinska difuzija	površina	vrat
<b>II</b>	zapreminska difuzija	površina	vrat
<b>III</b>	transport mase kroz gasnu fazu	površina	vrat
<b>IV</b>	difuzija po granicama zrna	granica zrna	vrat
<b>V</b>	zapreminska difuzija	granica zrna	vrat
<b>VI</b>	zapreminska difuzija	dislokacija	vrat



Sl. 12. Šematski prikaz puteva transportnih mehanizama tokom sinterovanja

Svojstva sinterovanih materijala zavise kako od sastava i strukture prisutnih faza, tako i od njihove međusobne uređenosti ili mikrostrukture.

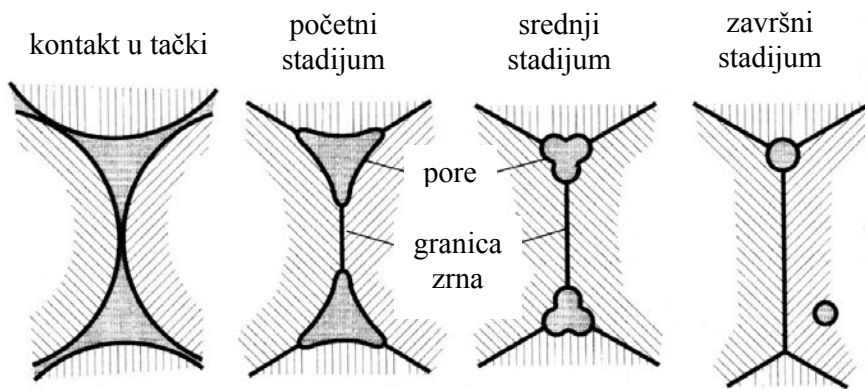
Sa geometrijske tačke gledišta mikrostrukturu karakteriše veličina, oblik i orijentacija zrna [39].

Karakterističnu osobenost polikristalnih materijala predstavljaju unutrašnje granice između pojedinih zrna polikristala. Nezavisno od toga da li su to granice između različito orijentisanih zrna jedne faze ili između zrna različitih faza, one predstavljaju oštре promene unutrašnje strukture svih materijala. S obzirom na to, unutrašnje granice značajno utiču na svojstva polikristalnih materijala [39].

Pore su isto tako mikrostrukturni konstituenti polikristalnih materijala i imaju veliki uticaj na ponašanje materijala. Tako, na primer, one mogu izazvati

koncentraciju naprezanja, koja je veća od čvrstoće na smicanje ili naprezanja na razaranje. Poroznost, isto tako, utiče na magnetna svojstva [39].

Opšti izgled promene strukture pora u toku sinterovanja prikazan je na sl. 13 [3]. Posle početnog stadijuma, granice zrna i konfiguracija pora kontrolišu brzinu sinterovanja. Na početku srednjeg stadijuma, pore se savijaju i zauzimaju položaje na mestima preseka granica zrna. Sa produžavanjem vremena sinterovanja, oblik pora se približava cilindričnom obliku, pri čemu se zgušnjavanje materijala odigrava na račun smanjenja prečnika pora.



Sl. 13. Šematski prikaz strukturalnih promena pora u toku sinterovanja

U kasnijem stadijumu sinterovanja, interakcija između pora i granica zrna može imati tri forme: usporavanje rasta, pore mogu ometati kretanje granica zrna u toku rasta zrna ili pore mogu biti izolovane u unutrašnjosti zrna. Na uobičajenoj temperaturi sinterovanja, mnogi materijali pokazuju umerenu do visoku brzinu rasta zrna. Sa povećanjem temperature, brzina kretanja granica zrna se povećava. Do razdvajanja pora i granica zrna dolazi usled sporijeg kretanja pora u odnosu na kretanje granica zrna [3].

Pore mogu zauzeti položaj na ivicama zrna ili u unutrašnjosti zrna. S obzirom da pore smanjuju ukupnu granicu zrna, a samim tim i energiju, to je energija sistema manja za slučaj kada pore zauzimaju položaj na ivicama zrna. Kada se pora i granica zrna razdvoje, povećava se energija sistema srazmerno sa veličinom novonastale površine. Razdvajanje pora i granica zrna limitira

konačnu gustinu, koju je moguće dobiti sinterovanjem. U sistemima kod kojih se zahteva visoka gustna sinterovanih proizvoda, veoma je važno kontrolisanjem temperature smanjiti razdvajanje pora i granica zrna [3].

## 2.2. Kinetika sinterovanja realnih materijala

U velikom broju naučnih radova razmatraju se fundamentalne predstave o mehanizmu i kinetici sinterovanja [60-64], koje su omogućile suštinski doprinos teoriji i tehnologiji sinterovanja, kao i razvoj mnogih tehnoloških procesa proizvodnje različitih keramičkih i metalokeramičkih materijala.

Kinetika sinterovanja dve kugle može biti opisana opštom jednačinom [1]:

gde je:

$x(t)$  - poluprečnik kružne površine kontakta dve kugle,

$n$  - konstanta koja zavisi od mehanizama transporta mase,

$A(T)$  - funkcija koja zavisi od temperature, geometrije i

karakterističnih parametara transporta mase,

T - temperatura,

t - vreme.

Kinetiku sinterovanja sistema realnih čestica sa atomističke tačke gledišta nemoguće je opisati prostim korišćenjem zakonitosti koje važe za model dve kugle. Međutim, fenomenološka analiza omogućava proučavanje procesa sinterovanja realnih sistema na osnovu kriterijuma koji se ponekad svode na kriterijume opšte kinetike hemijskih procesa.

Postojeće fenomenološke jednačine sinterovanja dozvoljavaju manji ili veći stepen aproksimacije. Postavljanje opšte teorije sinterovanja na fizičkim osnovama zahteva fenomenološko opisivanje procesa i povezivanje empirijskih konstanti sa fizičkim veličinama.

V. A. Ivensen [65] zasniva opisivanje kinetike sinterovanja realnih disperznih sistema na pretpostavci o konstantnosti relativnog smanjenja zapremine pora pri sinterovanju ispresa u toku određenog vremena nezavisno od polazne poroznosti ispresa.

Relativno smanjenje zapremine pora karakteriše parametar  $k$ :

$$k = \frac{v_s}{v_0} = \frac{d_0(d_t - d_s)}{d_s(d_t - d_0)} = \text{const.} \quad \dots \quad (7)$$

pri čemu su:

$v_0$  i  $v_s$  - zapremina pora na početku i na kraju sinterovanja,

d<sub>0</sub> - gustina ispresa,

$d_s$  - gustina sinterovanog materijala,

$d_t$  - teorijska gustina materijala.

Parametar  $k$  ima konstantnu vrednost samo pri sinterovanju prahova kristalnih materijala, znači, kada u toku procesa dolazi do sniženja koncentracije strukturnih defekata. Ovo ne važi za sinterovanje prahova amorfnih materijala.

Eksperimentalno je utvrđeno da za sinterovanje prahova kristalnih materijala važi sledeći odnos brzina smanjenja zapremina pora:

$$\left(\frac{dV}{dt}\right)_1 = \left(\frac{V_1}{V_2}\right)^n. \dots \quad (8)$$

Relativna brzina smanjenja zapremine se jasno menja sa vremenom. Tok promena je u svim telima jednak, ako im je ista početna gustina i  $v_s / v_0 = \text{const.}$

Ako se u jednačini (8) uvede brzina relativnog smanjenja zapremine pora u početku izoternskog zagrevanja, brzina relativnog smanjenja zapremine pora posle smanjenja njihove zapremine do veličine  $v$  će biti:

gde je  $q = dv / (v_0 dt)$  - brzina relativnog smanjenja zapremine pora u početku izoternskog procesa ( $t_0 = 0$ ),  $m = n - 1$ .

Integracijom ove jednačine dolazimo do zavisnosti promene zapremine pora u funkciji vremena izoternskog sinterovanja:

$$v = v_0 (qmt + 1)^{1/m}, \dots \quad (10)$$

pri čemu je  $v_0$  - zapremina pora u početku izoternskog dela procesa,  $t$  - vreme,  $q, m$  - konstante koje zavise od temperature sinterovanja i svojstva ispresa.

Konstanta  $q$  ima vrednost brzine relativnog smanjenja zapremine pora u početku izoternskog sinterovanja. Ova vrednost zavisi od izbora tačke koja se uzima za početak izoternskog smanjenja zapremine pora i povećava se sa porastom temperature sinterovanja.

Konstanta  $m$  karakteriše intenzitet smanjenja brzine smanjivanja zapremine pora sa vremenom sinterovanja i smanjuje se sa porastom temperature.

V. A. Ivensen smatra da je proces nastajanja defekata kristalne rešetke linearna zavisnost viskoziteta kristalnih materijala od vremena. Tečenje kristalnih materijala je termički aktivirani proces. Zavisnost brzine smanjivanja pora od viskoziteta se može definisati kao:

$$\frac{dv}{dt} = -bN \exp\left(-\frac{E_b}{RT}\right)v \dots \quad (11)$$

pri čemu je:  $b$  - koeficijent proporcionalnosti,  $N$  - koncentracija defekata,  $E_b$  - energija aktivacije tečenja.

Viskozitet, a time i koncentracija defekata, menjaju se sa vremenom saglasno kinetici drugog reda. Kinetiku procesa nastajanja defekata definiše jednačina:

$$\frac{dN}{dt} = -a \exp\left(-\frac{E_a}{RT}\right)N^2 \dots \quad (12)$$

gde je: a - koeficijent proporcionalnosti,  $E_a$  - energija aktivacije procesa.

Ako se jednačina (12) integrali i njena vrednost zameni u jednačini (11), a zatim dobijena jednačina integrali, dobija se osnovna kinetička jednačina izoternskog smanjenja zapremine pora:

$$\ln\left(\frac{V}{V_0}\right) = -\frac{b}{a} \exp\left(-\frac{E_b - E_a}{RT}\right) \ln\left[aN_n \exp\left(-\frac{E_a}{RT}\right)t + 1\right] \dots \quad (13)$$

Ova jednačina opisuje zavisnost zapremine pora od vremena za različite temperature izoternskog sinterovanja. Na konstantnoj temperaturi ona se svodi na oblik prethodno izvedene empirijske jednačine (10). Ova jednačina je, takođe, pogodna za opis temperaturne zavisnosti smanjenja zapremine pora posle istog vremena izoternskog sinterovanja na različitim temperaturama.

Ako se jednačina (13) uporedi sa empirijski izvedenom jednačinom, ustanovljava se veza između konstanti  $q$  i  $m$  sa kinetičkim parametrima jednačine (13), pri čemu je dato fizičko tumačenje ovih parametara:

$$q = bN_0 \exp\left(-\frac{E_b}{RT}\right) \dots \quad (14)$$

$$m = \left(\frac{a}{b}\right) \exp\left(\frac{E_b - E_a}{RT}\right)$$

Ristić i Jovanović su kinetiku sinterovanja analizirali sa aspekta primene opšte kinetičke jednačine [66, 67]:

$$\frac{\Delta V}{V_0} = k_s t^n \dots \quad (15)$$

pri čemu je  $\Delta V/V_0$  - relativno zapreminske skupljanje,  $k_s$  - konstanta brzine sinterovanja,  $n$  - konstanta koja zavisi od mehanizma procesa.

Tokom izoternskog skupljanja za odigravanje procesa ne može isključivo biti odgovoran jedan mehanizam sinterovanja. Za realne disperzne sisteme, parametri iz prethodne jednačine su funkcije i temperature i vremena:

To znači da je  $K^*$  - funkcija temperature i vremena, s - parametar normiranja, n - funkcija temperature i vremena, kao karakteristika mehanizma procesa.

Parametar  $K^*$  karakteriše izotermu sinterovanja i funkcija je vremena sa obzirom da su različiti mehanizmi odgovorni za tok procesa:

$$K^* = K\phi(st) \dots \quad (17)$$

pri čemu je  $\varphi(st)$  - mera stepena sinterovanja, koja se može prikazati odnosom efektivnih površina na kraju i u toku procesa

Takođe, može se uzeti da je brzina njene promene proporcionalna relativnoj razlici efektivnih površina u toku i na kraju procesa:

$$\frac{d\phi}{dt} \approx \frac{S - S_F}{S} = 1 - \phi(st) \dots \quad (19)$$

Rešenjem ove diferencijalne jednačine dobija se:

pri čemu je:  $B$  - parametar procesa koji karakteriše efektivnu razliku površina na početku i kraju procesa.

Konstanta brzine procesa može se definisati kao:

$$K = K_0 \exp\left(-\frac{E}{RT}\right), \dots \quad (21)$$

gde je:  $K_0$  - konstanta,  $E$  - energija aktivacije,  $R$  - gasna konstanta,  $T$  - temperatura.

Funkcija  $n$ , kao karakteristika mehanizma sinterovanja na osnovu opšte teorijske analize, može biti predstavljena u obliku:

pri čemu je  $p=1/t_0$ ,  $t_0$  - vreme početka preovladivanja procesa sinterovanja,  $t$  - vreme.

Ako se u početnu jednačinu zamene svi definisani parametri, fenomenološka jednačina sinterovanja Ristić-Jovanović ima sledeći oblik [61, 62]:

$$\frac{\Delta V}{V_0} = K_0 \exp\left(-\frac{E}{RT}\right) (1 - b e^{st}) (st)^{\exp[-1/2(p^2 t^2 - 1)]} \quad \dots \quad (23)$$

### **2.3. Sinterovanje ultradisperznih i nanostrukturnih prahova**

Osnovni put u proizvodnji nanostruktturnih materijala leži u ideji konsolidacije nanoprahova sa neznatnom promenom veličine zrna. Tehnologija uključuje sledeće faze:

- proizvodnju nanostrukturnih prahova,
  - kompaktiranje prahova do visokih gustina,
  - dobijanje materijala visokotemperaturnim sinterovanjem u kome je sprečen proces rasta zrna.

Veliki broj autora ističe da sprečavanje rasta zrna zahteva sledeća dva uslova: veliku gustinu ispresa i sinterovanje na nižim temperaturama. Na primeru sinteze TiO<sub>2</sub> i ZnO keramike sa zrnima ispod 20nm pokazano je da keramički materijali poseduju superplastičnost i neka druga poboljšana svojstva, što je posledica smanjenja veličine zrna [2, 68]. Pri tome, ova keramika je kompaktirana do 75-80% teorijske gustine konvencionalnim metodama izostatskog ili uniaksijalnog presovanja pri  $p=1\text{GPa}$ . Konvencionalno hladno kompaktiranje ne dozvoljava kompaktiranje

nanoprahova tvrde keramike kao što je na npr.,  $\text{Al}_2\text{O}_3$  mikrotvrdoće  $>10\text{GPa}$ . U tom slučaju primenjuju se tehnike impulsnog kompaktiranja.

Potencijali nanostruktturnih materijala zavise od razumevanja i kontrole razvoja mikrostrukture. Kod nanostruktturnih materijala evidentna je tendencija zrna ka ukrupnjavanju tokom sinterovanja usled velike površinske energije. Dok je uniforman nano prah moguće dobiti, ostaju i dalje izazovi vezani za dobijanje gustog nanostruktturnog proizvoda. Neki od tih izazova posledica su aglomeracije i segregacije nanozrna tokom sinteze. Pokazano je da se primenom metoda koloidne hemije može uticati na pakovanje čestica i formiranje homogenog ispresa, rezultat čega je dobijanje gусте  $\text{BaTiO}_3$  keramike sa zrnima nanodimensija [2, 69].

Iako postoje literaturni podaci vezani za dobijanje gustih sinterovanih nanostruktura [2], specifičnost pojedinih materijala, zatim svojstva polaznog praha, kao i parametri sinterovanja (deo poroznosti, raspodela veličina pora i zrna, međupovršina zrno/pora, efekat faznih transformacija, uloga atmosfere sinterovanja) zahtevaju poseban pristup procesu konsolidacije. Takođe, određeni problemi tokom sinterovanja i dobijanje malih gustina mogu biti posledica zarobljavanja pora i vazduha u njima. Zbog velike gustine nanofaznih granica zrna zarobljen vazduh može da izazove dodatni negativni pritisak presovanja i da spreči uklanjanje zaostalih zatvorenih pora.

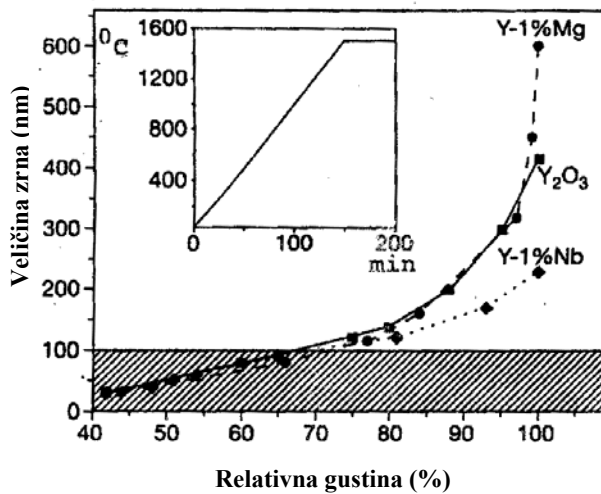
Osim toga, pokazano je da nanostruktturni prahovi poseduju veoma veliku kinetiku zgušnjavanja u početnim stadijumima sinterovanja. Ova pojava zahteva nekonvencionalni pristup procesu sinterovanja, koji će favorizovati eliminaciju pora i smanjiti rast zrna. Jedan od načina da se ovo postigne bazira se na uspostavljanju povratne veze između temperature sinterovanja i gustine, sa ciljem da brzina zgušnjavanja kontroliše rast zrna [70]. Na primeru sinterovanja nanostruktturnog praha Ni sa veličinama kristalita od 25nm pokazano je da ova metoda omogućava dobijanje gustih materijala sa veličinama zrna u nanoopsegu.

Ultradisperzni prahovi imaju nanokristalnu strukturu koja može biti i neposredno uslovljena genezom materijala u toku procesa kristalizacije pri

taloženju iz gasne ili tečne faze, tokom topohemijskih reakcija ili tokom očvršćavanja nanodisperznih kapljica rastopa [1, 71, 72, 73].

Sinterovanje ultradisperznih prahova veličina čestica 1-100nm može se vršiti klasičnom metodom “kompaktiranje praha - sinterovanje”, pri čemu se kompaktiranje često izvodi u specijalnim uređajima za toplo presovanje[74].

Dobijanje sinterovane keramike visoke gustine od ultardisperznih čestica, pri čemu u završnim stadijumima sinterovanja ne dolazi do rasta zrna, vršeno je na primeru sinterovanja  $\text{Y}_2\text{O}_3$  [75]. Polazni prah  $\text{Y}_2\text{O}_3$  imao je srednju veličinu čestica oko 25nm. Sinterovanjem prema režimu prikazanom na sl. 14 dobijen je praktično neporozan materijal, pri čemu veličina zrna sinterovanog  $\text{Y}_2\text{O}_3$  sa povećanjem gustine kontinualno raste. U zavisnosti od sadržaja  $\text{MgO}$  ili  $\text{Nb}_2\text{O}_5$  konačna veličina zrna varira između 200 i 600nm, pri čemu se najveće varijacije zapažaju kada je gustina iznad 80% teorijske gustine.



Sl. 14. Rast veličine zrna  $\text{Y}_2\text{O}_3$  sa gustinom tokom sinterovanja

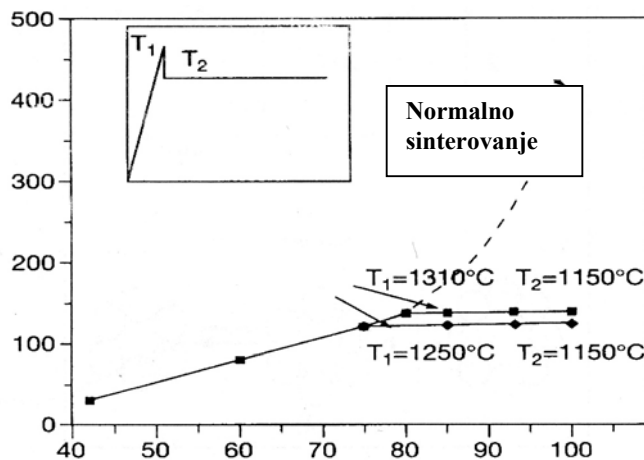
Međutim, metodom dvostepenog sinterovanja uzorak se prvo zagreva na višoj temperaturi da bi se dobila intermedijarna gustina, pa se potom hlađi na nižu temperaturu koja se održava do postizanja konačne gustine, tako da praktično ne dolazi do rasta zrna. Tako se čist  $\text{Y}_2\text{O}_3$  najpre greje do 1310, odnosno 1250°C, a konačna gustina dobija se potom grejanjem na 1150°C u toku 20 sati, u kojem vremenu nema rasta zrna (sl. 15).

Kinetika transporta mase, kao posledica procesa difuzije u zamrznutoj mikrostrukturi, može se odrediti merenjem brzine zgušnjavanja u drugom stadijumu (stupnju), saglasno jednačini

$$\frac{d\rho}{dt} = F(\rho) \frac{\gamma\Omega}{Gkt} \cdot \frac{\delta D}{G^3} \dots \quad (24)$$

gde je  $\gamma$  - površinska energija,  $\Omega$  - atomska zapremina,  $G$  - veličina zrna,  $\delta$  - debljina granice zrna,  $D$  - koeficijent difuzije po granicama zrna.

Izraz  $\frac{\gamma\Omega}{Gkt}$  predstavlja normalizovanu pokretačku silu, a  $\frac{\delta D}{G^3}$  je standardni kinetički faktor. Bezdimenzionalni faktor  $F$  je nezavisan od veličine zrna, ali zavisi od drugih karakterističnih parametara mikrostrukture, kao što su gustina i raspodela pora. Zato samo mikrostrukturni parametar  $F$  za vreme drugog stadijuma sinterovanja utiče na gustinu.

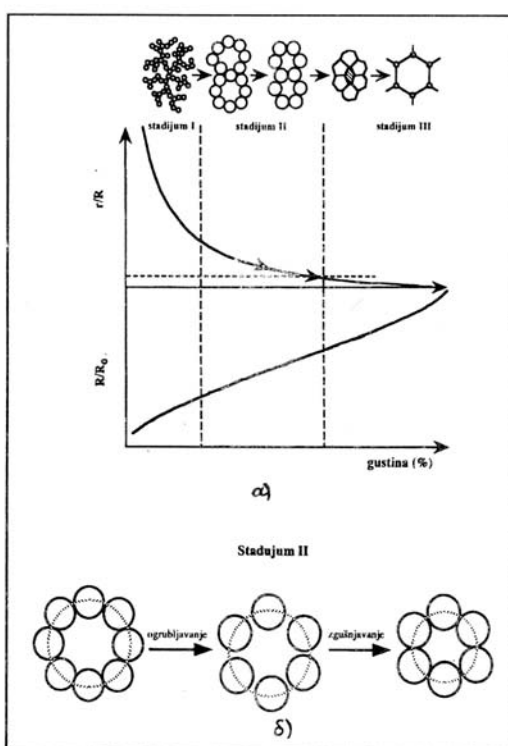


Sl. 15. Rast veličine zrna  $Y_2O_3$  tokom dvostepenog sinterovanja

Proučavanjem sinterovanja veoma finih prahova CeO<sub>2</sub> i Y<sub>2</sub>O<sub>3</sub>, čija je veličina čestica bila 15-20nm, utvrđeno je da se proces odigrava u tri stadijuma [76] (sl. 16).

U prvom stadijumu dolazi do homogenizacije i stohastičkog premeštanja čestica. Ogrubljivanje u ovom stadijumu korelisano je homogenizacijom i premeštanjem, ali bez zgušnjavanja. Odnos  $r/R$  u ovom stadijumu brzo konvergira, saglasno univerzalnoj zavisnosti

gde je  $\rho$  - gustina,  $r$  - poluprečnik pora,  $R$  - poluprečnik sferne čestice.



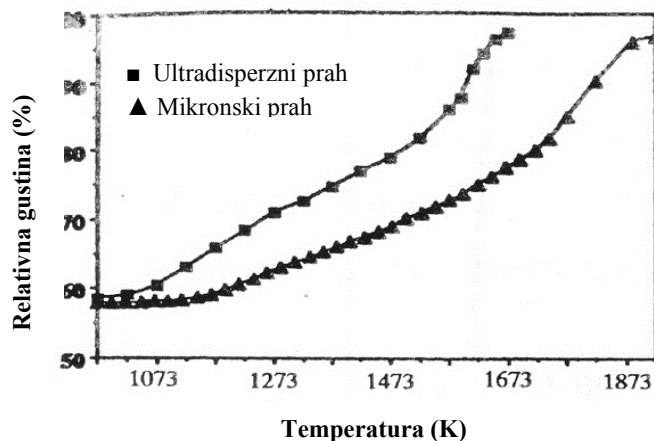
Sl. 16. Šematski prikaz sinterovanja u tri stadijuma (a - promena odnosa veličine pora i zrna, odnosno rast veličine zrna, b - mehanizam procesa u drugom stadijumu)

Glavni proces u drugom stadijumu je prepakivanje, usled čega dolazi do zgušnjavanja, koje je motivisano ogrubljavanjem, čiju kinetiku karakteriše površinska difuzija. Proces se dalje odigrava uz rearanžiranje čestica.

Zgušnjavanje u trećem stadijumu kontrolisano je transportom vakancija<sup>1</sup> kroz granicu zrna ili zapreminske difuzijom (sl. 16). U optimalnim uslovima sinteze praha  $\text{CeO}_2$  može se sinterovanjem postići gotovo teorijska gustina [77].

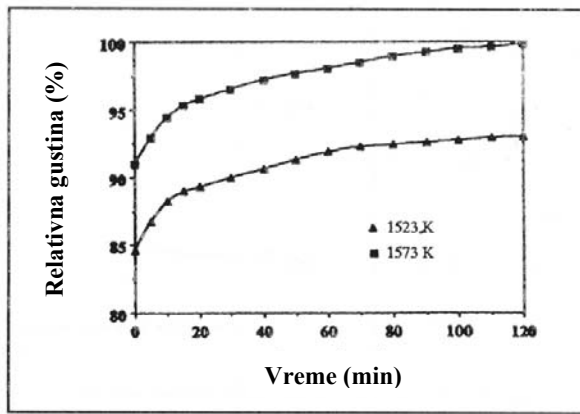
Proučavanjem sinterovanja submikronskog praha  $\text{Al}_2\text{O}_3$  utvrđeno je da pre formiranja izolovanih pora između aglomerata, mehanizam i kinetiku sinterovanja karakteriše transport mase [78]. Posle toga, proces karakterišu izolovane pore. Ukoliko početnu strukturu čine fina neaglomerisana zrna, onda se proces odigrava na nižim temperaturama i njega karakteriše aglomeracija i rast zrna.

Proučavanjem sinterovanja elektrohemski sintetisanog ultradisperznog praha  $\text{CeO}_2$ , čija je srednja veličina čestica iznosila 12 nm, utvrđeno je da se praktično teorijska gustina postiže na 1673 K, dok se za mikronski prah to postiže tek na 1823 K (sl. 17) [79]. Na sl. 18 prikazani su rezultati izoternog sinterovanja ultradisperznog praha  $\text{CeO}_2$  na 1523 i 1575 K.



Sl. 17. Krive sinterovanja nano- i mikroprahova  $\text{CeO}_2$  (brzina sinterovanja  $10^\circ\text{C}/\text{min}$ )

<sup>1</sup> U tekstu je korišćen termin vakancije, koji u prevodu na srpski jezik označava praznine.

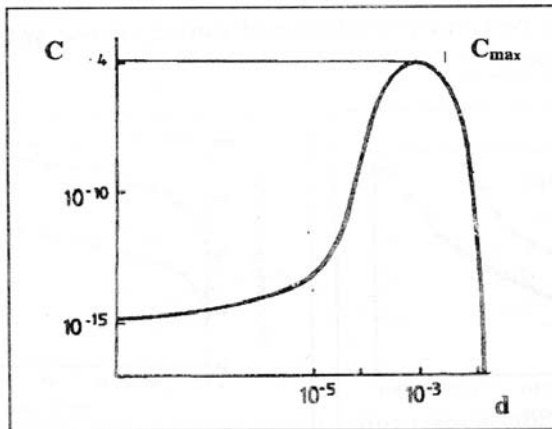


Sl. 18. Izotermno sinterovanje nanokristalnog praha  $CeO_2$  na 1250 i 1300°C

Sinterovanje ultradisperznih prahova, prema [80, 81], odigrava se zahvaljujući proklizavanju čestica po njihovim granicama, zatim dislokacionom mehanizmu koji je odgovoran za nastajanje viška vakancija. Koncentracija viška vakancija može dostići vrednost koja odgovara koncentraciji vakancija u oblasti temperatura bliskim temperaturama topljenja materijala. Na osnovu toga može se zaključiti da je difuziona aktivnost tokom sinterovanja ultradisperznih čestica u oblasti realno niskih temperatura ( $0,1-0,3T_t$ ) uslovljena prisustvom neravnotežnih "rekristalizacionih" vakancija. Visoke brzine rekristalizacije ultradisperznih čestica posledica su procesa samoaktivacije rekristalizacije.

Gustina rekristalizacionih vakancija tokom samoaktivacije iznosi

gde je:  $\gamma_1$  - verovatnoća generacije vakancija, a - konstanta rešetke malih čestica,  $v$  - brzina rekristalizacije,  $K=l/L$  ( $l$  - karakteristična veličina čestica,  $L$  - veličina klastera),  $D_v$  - koeficijent difuzije vakancija.



*Sl. 19. Zavisnost koncentracije neravnotežnih vakancija od veličine zrna u toku procesa migracije granica zrna*

Saglasno prethodnoj analizi, proces sinterovanja ultradisperznih čestica moguće je razmatrati, dakle, sa gledišta dva moguća mehanizma, koji dovode do skupljanja [80]. Najpre, višak vakancija uslovjava značajno sniženje difuzije po granicama zrna. Ovo dovodi do proklizavanja čestica uz nastajanje gusto pakovanih polikristalnih agregata. Jednovremeno protiče proces nedifuzione koalescencije praznina u zapremini uzorka koji se sinteruje. Brzina difuzionog transporta mase određuje se neravnotežnim koeficijentom samodifuzije, čija vrednost odgovara termodinamičkim parametrima sistema u oblasti temperatura bliskim temperaturama topljenja [82].

U prvom stadijumu aktivno protiče proces rekristalizacije samoaktivacionog karaktera, tokom kojeg se generiše dovoljno visoka stacionarna koncentracija viška vakancija ( $\approx 10^{-4}$ ). U takvim uslovima skupljanje može da bude posledica dva mehanizma - proklizavanja između zrna i koalescencije.

Na kraju prvog stadijuma (samoaktivacioni period) obrazuju se supermale pore (vakacioni klasteri) od deset i više monovakancija. Slični klasteri pojavljaju se u ultradisperznim česticama tokom aktivnog stadijuma rekristalizacije. U poređenju sa monovakancijama viševakacioni klasteri termički su stabilni.

Sinterovanje tokom drugog stadijuma procesa odigrava se mehanizmom proklizavanja zrna, koji je aktiviran procesom migracije granica.

Generacija neravnotežnih vakancija tokom rekristalizacije ultradisperznih čestica može aktivirati ne samo procese difuzionog transporta mase [83], već i usloviti suštinsko sniženje temperature faznih transformacija, koje su povezane sa obrazovanjem kristala i hemijskih jedinjenja tokom rekristalizacije.

## **2.4. Svojstva nanostrukturnih materijala**

Nanostrukturni materijali i nanokompoziti, koje karakteriše veličina zrna ispod 100nm, predstavljaju materijale od posebnog interesa s obzirom na jedinstvena i potpuno nova mehanička, električna, optička i magnetna svojstva.

Istraživanja nanokristalnih materijala poslednjih godina su intenzivna, pre svega zbog njihovih atraktivnih potencijala, odnosno svojstava koja su veoma izmenjena u poređenju sa krupnozrnim materijalima, a koja mogu biti specificirana na sledeći način [2]:

- Električna svojstva
  - povećana električna provodnost keramičkih i magnetnih nanokompozita,
  - veća električna otpornost materijala,
- Magnetna svojstva
  - Povećanje magnetne koercitivnosti do kritične veličine kristala,
  - Opadanje koercitivnosti ispod kritične veličine kristala, superparamagnethno ponašanje,
- Mehanička svojstva
  - Povećanje tvrdoće i čvrstoće metala i legura,
  - Povećanje duktilnosti, žilavosti i mogućnosti ka oblikovanju keramike,

- Optička svojstva
- Izmenjena svojstva i pomeranje optičkog spektra,
- Povećanje luminescencije.

Pri ovome, povećana atomska difuzija i velika rastvorljivost nanostrukturnih materijala posledica su velikog zapreminskog udela međufaza.

Mehanička svojstva nanokristalnih materijala poseduju tipičnu niskotemperaturnu duktilnost. Pri tome je saopšteno da je konvencionalno krta keramika  $TiO_2$  postala duktilna dozvoljavajući veliku, čak 100% plastičnu deformaciju na niskim temperaturama, ukoliko se polikristalna keramika sastoji od zrna veličine nekoliko nanometara [2]. Takvo ponašanje može se objasniti difuzionim tokom atoma duž interkristalne međupovršine, tj. Koblovim puzanjem.

Takođe, nanokristalni materijali često poseduju mali, ili čak, negativni Hal-Pečov nagib [84], koji daje odnos granice tečenja i veličine zrna polikristala, koji se ne može objasniti mehaničkom teorijom dislokacija. Naime, kada zrno postane dovoljno malo, nije moguća koegzistencija dve dislokacije na istoj kliznoj ravni u okviru jednog zrna. S obzirom na proračune izvedene na primeru površinski centriranih kubičnih kristala, kritične vrednosti veličine zrna za koji se mehanizam kretanja dislokacija ne može uzeti u obzir iznosi 8,4, 8,2, 5,8 i 11,6 nm respektivno za nanokristale Al, Cu, Ni i Pb [84]. Na taj način potreban je novi pristup interpretiranju fenomena povećane duktilnosti i on uključuje posmatranje nanokristala sa aspekta modela kompozita, koji se bazira na geometrijskom razmatranju zapreminskog udela kristalne i granične komponente. Novije studije su pokazale da sadržaj ove granične komponente pokazuje veoma veliki uticaj na variranje veličine zrna (kristalita) za vrednosti ispod 100 nm. Zbog toga, mehanička svojstva nanokristalnih materijala razmatraju se sa gledišta transporta mase defektima rešetke. Difuzivnost nanokristalnih materijala veća je od difuzivnosti granice zrna, što pokazuje da postoje kraći putevi preko kojih atomi difunduju.

Poslednjih godina postignut je takav nivo nanostruktura kod kojih su dimenzije i energetska skala takvi da dominiraju kvantni efekti [85]. Kao rezultat toga, moderna fizika kondenzovanog stanja sve se više fokusira na ispitivanje uticaja redukovanih dimenzija na različita svojstva. Ideja o "kvantnom dizajnu" ima za rezultat posmatranje niza značajnih novih pojava, kao što je kvantni Halov efekat, tunelovanje elektrona i Kulonove blokade, rezonantno tunelovanje, kvantni efekti u superrešetkama itd.

Magnetna svojstva ultrafinih čestica razlikuju se od svojstava u kompaktu i to ih čini ekstremno značajnim sa naučnog i tehnološkog pogleda. Tako, ultrafine Fe čestice su tvrdi magneti sa koercitivnošću nekoliko redova veličine većom od koercitivnosti Fe u kompaktu [86]. Na primeru nanokompozita pokazana je pojava paramagnetenog ili superparamagnetenog stanja malih čestica, kao i magnetna viskoznost [86].

Disperzno ojačani sinterovani sistemi na bazi nanostrukturnih prahova teških metala i glinice sa submikronskom, odnosno nanokristalnom strukturom i homogenom raspodelom disperzoida u matrici osnovnog metala karakteriše dobra kombinacija električnih i mehaničkih svojstava [26-28].

Enormna plastičnost nanostrukturne keramike, atraktivna magnetna svojstva nanogvozdenih legura, poboljšana mehanička svojstva i superplastičnost nanokompozita, izmenjena svojstva submikronskih poluprovodničkih materijala, povećana atomska difuzija ili rastvorljivost i poboljšano ponašanje pri sinterovanju, mogu se interpretirati isključivo različitošću strukture nanomaterijala, odnosno velikim zapreminskim udelom međufaza kristalita [2].

Do danas su sintetizovani mnogi tipovi keramičkih, metalnih, poluprovodničkih, kompozitnih materijala i legura sa nanokristalnom strukturom (oksidna, karbidna i nitridna keramika, legure na bazi gvožđa i nikla, poluprovodnici na bazi silicijuma, cink-sulfida i kadmijum-selenida, kao i nanokompozitni polimeri). Iako se nanostrukturni materijali proizvode i u obliku prahova, nanofazne mikrostrukture takođe mogu biti dobijene u obliku veoma gustih prevlaka ili kompakata. Najveći izazov pri tome predstavlja

kontrola procesa sinterovanja sa ciljem dobijanja materijala sa velikom gustom i ultrafinom veličinom zrna. Pokazano je da korišćenje nanokristalnog praha uz kontrolisano kompaktiranje, utiče na povećanje brzine i niže temperature sinterovanja, veću pouzdanost i poboljšana mehanička i fizička svojstva [2].

### **3. DISPERZNO OJAČAVANJE SINTEROVANIH SISTEMA**

#### **3.1. Osnovni principi disperznog ojačavanja**

Legure na bazi bakra i srebra su, zbog svoje visoke električne i toplotne provodljivosti, izuzetno korišćeni matrijali u industriji. U čistom stanju ovi metali se odlikuju relativno niskim mehaničkim svojstvima, koja se mogu poboljšati različitim postupcima, pre svega taložnim i disperznim ojačavanjem, pri čemu se kao legirajući elementi dodaju oni čiji dodatak ne povećava električnu otpornost, a znatno doprinosi povećanju električnih svojstava [4, 87, 89].

Kada je u jednoj metalnoj matrici dispergovana druga faza, povećava se otpornost materijala prema plastičnoj deformaciji (tvrdoča čestica, čvrstoča). Ova mehanička svojstva poboljšavaju se taložnim i disperznim ojačavanjem matrice [88-93].

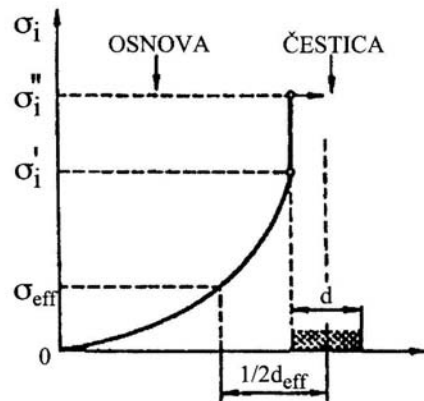
U slučaju taložnog ojačavanja, disperzoid nastaje kada se iz presičenog čvrstog rastvora taloži druga faza, koja na određenoj temperaturi sa matricom stoji u stabilnoj ili metastabilnoj ravnoteži. Kod disperznog ojačavanja, u osnovnu metalnu fazu se uvodi druga faza, tako izabrana da je nerastvorna u osnovnoj fazi. Zahtev za potpunom nerastvorljivošću dispergovane faze se često ne može zadovoljiti. Najbliži ovim uslovima su oksidi sa visokom tačkomtopljenja ili neki od metala, koji se dodaju matrici, a ne rastvaraju se u njoj (Ni ili Ag) [94-97].

Uslov međusobne nerastvorljivosti obe faze u disperzno ojačanim legurama je izuzetno važan s obzirom da obezbeđuje [88, 98]:

- da se raspodela disperzoida ne menja pri porastu temperature,
- da ne dođe do aglomeracije čestica disperzoida u matrici, i
- da ne nastaje transport materijala difuzijom sa jedne čestice disperzoida na drugu.

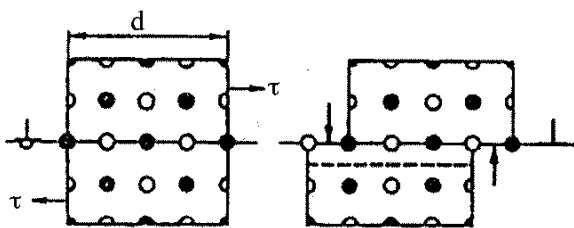
Pojava sekundarne faze u leguri može imati značajan uticaj na prirodu dislokacione strukture koja se obrazuje u sistemu. Ovaj efekat je naročito izražen ako su čestice sekundarne faze veoma tvrde, a njihov broj veliki. Osim toga, pri kretanju dislokacija, njihova gustina brže raste u legurama koje sadrže čestice sekundarne faze. Ove ne služe samo kao barijera za kretanje dislokacija, već mogu i da generišu dislokacije pri procesima termičke obrade (grejanje, hlađenje, termocikliranje) usled razlike u termičkoj ekspanziji i veličini jedinične zapremine čestica sekundarne faze i matrice. Dislokacije pri svom kretanju nailaze na čestice (prepreke), koje putem smicanja ili obilaženja mogu da savladaju [99].

U slučaju koherentnosti međupovršine čestica i matrice, dislokacija na svojoj ravni klizanja može "proći" kroz česticu. Ovom procesu smicanja doprinose različite vrste naprezanja uz različiti ideo za svaku tehničku leguru, a u zavisnosti od primjenjenog termomehaničkog režima. Sa smanjenjem stepena koherentnosti polje naprezanja oko čestice se povećava. Dislokacija mora da obide česticu, pri čemu potrebno naprezanje za savladivanje barijere mora da se poveća za  $\sigma_i' - \sigma_{eff}$ , (sl. 20). Efekat uticaja polja naprezanja na dislokaciju isti je kao kad bi se geometrijski prečnik čestice uvećao na realnu vrednost  $d_{eff}$ .



Sl. 20. Veličina unutrašnjih naprezanja potrebnih za savlađivanje koherentnih naprezanja oko čestice ( $\sigma_i$  - napon pri kome se dislokacija kreće;  $\sigma_{eff}$  - efektivni napon kretanja dislokacija) [88, 100, 101]

Za tvrde čestice,  $Gb$  ( $G$  - modul smicanja,  $b$  - Burgersov vektor) ima veću vrednost nego za matricu. Da bi dislokacija mogla da prodre u rešetku čestice, primenjeno naprezanje mora ponovo da poraste za vrednost koja odgovara skoku naprezanja  $\sigma_i^*$  -  $\sigma_{eff}$ . Površina granice čestica-matrica se povećava kao posledica procesa smicanja, (sl. 21), a u slučaju sređenih čestica se pojavljuje i u njima samim antifazna granica. Potrebna energija za obrazovanje ovakvih granica se, u oba slučaja mora dovesti spolja. Pojava smicanja je česta u materijalima sa izdvojenim talozima srednje strukture (čelici, superlegure) i karakteriše se obrazovanjem parova dislokacija (sl. 22).



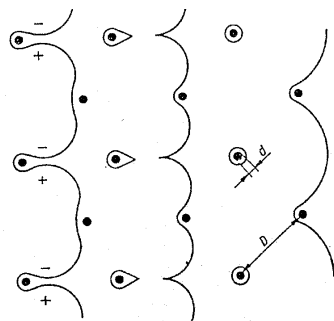
Sl. 21. Obrazovanje nove granične površine čestica/matrica (strelica) i unutrašnje površine antifazne granice (isprekidano) pri smicanju sredenih čestica [88, 100, 101]



*Sl. 22. Obrazovanje i dejstvo para dislokacija [88, 100, 101]*

Po Orowan-u, dislokaciona linija zaobilazi čestice koje se ne mogu preseći i proteže se uvek između dve čestice, sve dok antiparalelne linije dislokacija ne dođu u međusobni položaj kada se privlače i mogu se poništiti, a dislokacija je iza sebe ostavila jedan dislokacioni prsten, sl. 23. Rezultujuće maksimalno povećanje naprezanja u prvoj aproksimaciji je :

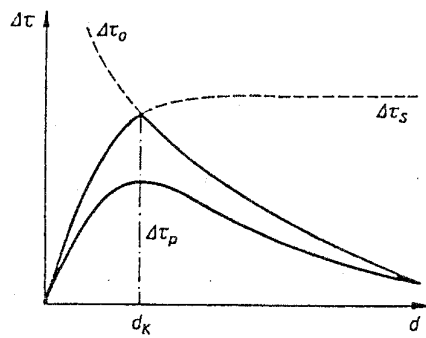
gde je  $G_m$  - modul smicanja matrice,  $D$  - srednje rastojanje između čestica.



Sl. 23. Stadijumi Orowan-ovog mehanizma [88, 100, 101]

Ukoliko energija aktivacije procesa poprečnog klizanja u opadajućem polju naprezanja nije dovoljna (posebno pri porastu temperature), dolazi do međusobnog privlačenja i anihilacije dislokacija čak i bez prethodnog obrazovanja Orowan-ovih petlji. Isto tako, treba uzeti u obzir da fazne granice takođe mogu da budu izvori dislokacija. Ovo dovodi do obrazovanja velikih gustina dislokacija, čak i pri malim deformacijama u njihovoј blizini (blizu fazne granice). Svim pomenutim procesima je zajedničko umnožavanje dislokacija.

Ispitivanja na elektronskom transmisionom mikroskopu su ukazala na postojanje nekog kritičnog prečnika čestice  $d_k$  (sl. 24) na nižim temperaturama [102].



Sl. 24. Zavisnost napona smicanja pri smicanju ( $\Delta\tau_s$ ), smicanju uz obrazovanje dislokacionog para ( $\Delta\tau_p$ ) i obilaženju ( $\Delta\tau_o$ ), u zavisnosti od prečnika čestica [88, 100, 101]

Ako je prečnik čestice manji od kritičnog, dislokacije seku čestice, dok za prečnik veći od  $d_k$ , dislokacije čestice zaobilaze. Kritična vrednost prečnika čestice data je preko izraza:

gde je  $\tau_{kt}$  - potreban kritični napon za smicanje disperzoida. Većina nekoherenthih čestica oksidnog i karbidnog tipa ima  $d_k = 10^{-6}\text{mm}$ , ređe  $10^{-5}\text{mm}$ , dok za koherentne čestice iznosi  $10^{-3}\text{mm}$ , češće  $10^{-4}\text{mm}$ .

Značaj ispitivanja prirode dislokacione strukture, koja se obrazuje u sistemu, ogleda se u procesu rekristalizacije, koji ima veliki uticaj na formiranje strukture i svojstava sinterovanog materijala.

S obzirom da se rekristalizacija odigrava stvaranjem klica (nukleacija) i rastom zrna, eksperimentalno je dokazano da se klice stvaraju u područjima u kojima je gustina dislokacija najveća [103, 104]. Pri manjem stepenu deformacije to su zone uz granice zrna. Sa povećanjem stepena deformacije, klice se stvaraju u blizini prelaznih traka, linija klizanja, dvojnika i čestica sekundarnih faza [105].

Kada su u pitanju nukleacija i rast primarnih kristala u praškastom kompaktu, važe iste zakonitosti teorije relevantne za metale. Rekristalizacija uglavnom započinje u delovima kompakta koji su podvrgnuti deformaciji, ali tačna mesta (granice, uključci, defekti rešetke) sigurno da zavise od slučaja do slučaja, odnosno uslova pod kojim je kompakt tretiran, mada se granice zrna u najvećem broju slučajeva uzimaju kao mesta sa najvećom verovatnoćom. Uslovi za nukleaciju i brzinu rekristalizacije zavise od svih faktora, počev od čistoće metala, načina dobijanja praha, naprezanja uslovljenih presovanjem, veličine i prirode kontakata između čestica i međusobne orijentacije susednih zrna [106].

Iako postoje podaci o rekristalizaciji velikog broja legura, učinjeno je nekoliko pokušaja da se postavi opšta kvantitativna hipoteza, koja bi obuhvatila promene kinetike ili mehanizama rekristalizacije u funkciji parametara disperzije. Međutim, jedino je izvesno da prisustvo disperznih čestica pre-

deformacije ubrzava ili usporava proces rekristalizacije. Povećanje brzine rekristalizacije prouzrokuju krupne čestice na velikom rastojanju. Usporavanje je posledica prisustva finih, blisko raspoređenih čestica. Tačna podela između velikih i malih čestica i velikog i malog rastojanja nije precizno određena [105].

Pri deformaciji legura koje sadrže velike čestice na velikom rastojanju obrazuje se izražena čelijska substruktura, naglašeno zakrivljenje rešetke u osnovi i povećana gustina dislokacija u blizini čestica. Time se znatno povećava broj subzrna koja mogu da postanu klice novih rekristalisanih zrna, što ubrzava rekristalizaciju i smanjuje konačnu veličinu zrna. Disperzne faze mnogo manje utiču na kretanje granice u toku primarne rekristalizacije nego na kretanje granica, odnosno brzinu rasta u procesu normalnog i abnormalnog rasta zrna [105].

Pri deformaciji materijala koji sadrži male fino dispergovane čestice na malom rastojanju, ostvaruje se veća gustina dislokacija, u odnosu na prethodni slučaj, ali su one ravnomerne raspoređene. Granice subzrna su slabo izražene uz malu razliku u orijentaciji susednih subzrna. Zbog toga samo mali broj subzrna ispunjava uslove da postanu klice novih zrna. Na ovaj način se izrazito smanjuje brzina nukleacije, odnosno brzina rekristalizacije, koja čak može izostati. Tome treba dodati da se i subzrna, kao potencijalne klice, teško aktiviraju, jer fino dispergovane čestice smanjuju ili blokiraju pokretljivost njihovih granica. Drugim rečima, ovakve disperzne čestice efikasno stabilizuju dislokacionu substrukturu stvorenu pri deformaciji [105].

Povećanje brzine rekristalizacije u prisustvu velikih čestica na velikom rastojanju i potpuno sprečavanje rekristalizacije pod uticajem malih čestica na malom rastojanju su samo dva ekstremna slučaja jedne šire pojave. Na primer, u legurama koje sadrže velike čestice na malom rastojanju, rekristalizacija je sasvim usporena, mada su u strukturi prisutna brojna subzrna koja ispunjavaju uslove da postanu klice. Razlog je u otežanom aktiviranju klica, jer čestice otežavaju ili blokiraju kretanje subgranica i granica zrna. U slučaju prisustva

malih čestica na velikom rastojanju, rekristalizacija je takođe usporena, jer je zakriviljenje rešetke i obrazovanje klica otežano [105].

Svi pokušaji kvantifikacije uticaja parametara disperzije (zapreminske ideo, veličina čestica, međučestično rastojanje) na proces rekristalizacije se zasnivaju na raznim aproksimacijama. Obično se polazi od nepromenljivog zapreminskog udela čestica, a variraju međučestično rastojanje za konstantnu veličinu čestica ili obrnuto. Međutim, realni uslovi zahtevaju mnogo složenije sagledavanje ovih uticaja s obzirom da, u velikom broju slučajeva, postoji manja ili veća promena svih parametara disperzije.

### **3.2. Postupci disperznog ojačavanja sinterovanih sistema**

Disperzno ojačavanje izazvalo je u poslednje vreme veliko interesovanje kako u teorijskom, tako i u praktičnom smislu. Ovaj tip ojačavanja ima za posledicu zadržavanje visoke jačine na povišenim temperaturama uz očuvanje mehaničkih svojstava na sobnoj temperaturi posle izlaganja materijala visokim temperaturama. Poboljšanje mehaničkih svojstava postiže se bez značajnjeg gubitka u električnoj i topotnoj provodljivosti. Poznato je da je provodljivost proporcionalna srednjem slobodnom putu elektrona. Pošto supstitucijski atomi obrazuju "centre nereda" u osnovi, smanjuju se srednje slobodne putanje, što prouzrokuje smanjenje provodljivosti materijala. Međutim, kod disperzno ojačanih legura, nekoherentne fine čestice ne utiču bitno na provodljivost, pošto su srednje slobodne putanje znatno manje od rastojanja između disperzoida. Ova kombinacija visoke električne i topotne provodljivosti i dobrih mehaničkih svojstava nije dostižna kod taložno ojačanih ili legura ojačanih čvrstim rastvorima [4, 41].

Disperzno ojačane legure uglavnom imaju nizak sadržaj (od 1 do 5 vol.%) dispergovanih čestica: aluminijum-oksida, cirkonijum-oksida, berilijum-oksida, titan-oksida, torijum-oksida ili itrijum-oksida. Koje će se legure upotrebiti i u kakvom obliku, zavisi u prvom redu od svojstava koja se

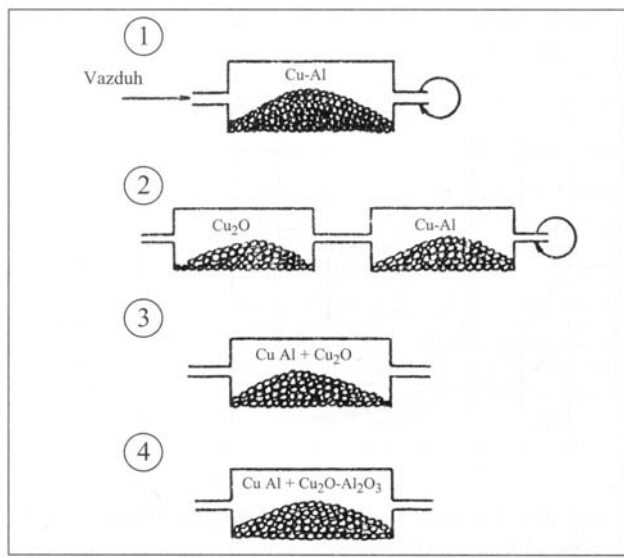
od materijala traže, pošto su uslovi primene i zahtevi koje oni pri eksploraciji moraju da ispune veoma složeni [4, 41].

Najpoznatija disperzno ojačana legura bakra je bakar-aluminijum trioksid. Komercijalana primena ovih materijala je postignuta kod elektroda za tačkasto zavarivanje, komutatora za pokretanje motora kod helihoptera, relej lopatica i kontakt držača. Potencijalna primena ove grupe legura je kod sistema cevi za rad u morskoj vodi (usled koroziono-erozione otpornosti), kapaciteta koji amortizuju akustična prigušenja (pogodni za kontrolu buke i vibracija emitovanih od uređaja za rad u morskoj vodi), komore za pritisak kod raketa (visoka topotna provodnost i otpornost na termo-mehanički zamor). Veliku primenu mogu da imaju i kod kontaktnih i provodnih materijala u elektrotehnici.

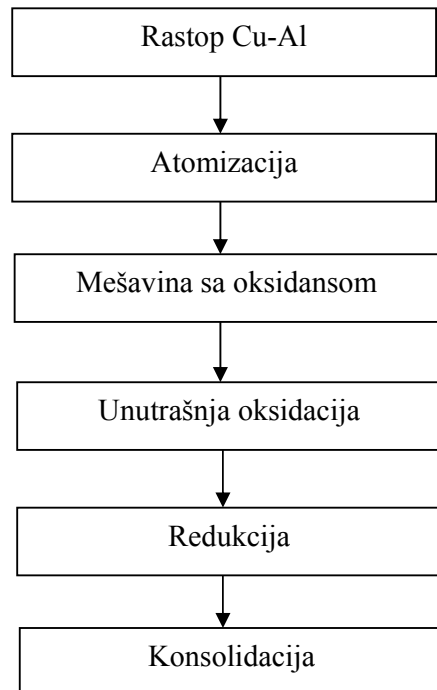
Razvijeni su različiti postupci za dobijanje disperzno ojačanih legura bakra, kao što su: unutrašnja oksidacija [107], mehaničko legiranje [94, 108], hemijska koprecipitacija [26-29, 109].

Uopšteno govoreći, postupkom unutrašnje oksidacije legura bakra i aluminijuma oksidiše se u kontrolisanoj atmosferi, pri čemu se aluminijum oksidiše in-situ i ostaje u osnovi bakra. Pošto ovo zahteva difuziju kiseonika unutar osnove, upotreba legure Cu-Al u obliku praha smanjuje difuziona rastojanja, tj. potreban put za difuziju kiseonika, tako da se skraćuje vreme potrebno za unutrašnju oksidaciju, što je povoljno sa praktične i ekonomске tačke gledišta.

Na sl. 25 prikazani su različiti postupci unutrašnje oksidacije, a na sl. 26 postupak “GlidCop” po kome SEM korporacija proizvodi unutrašnjom oksidacijom različite kvalitete Cu-Al<sub>2</sub>O<sub>3</sub> legura.



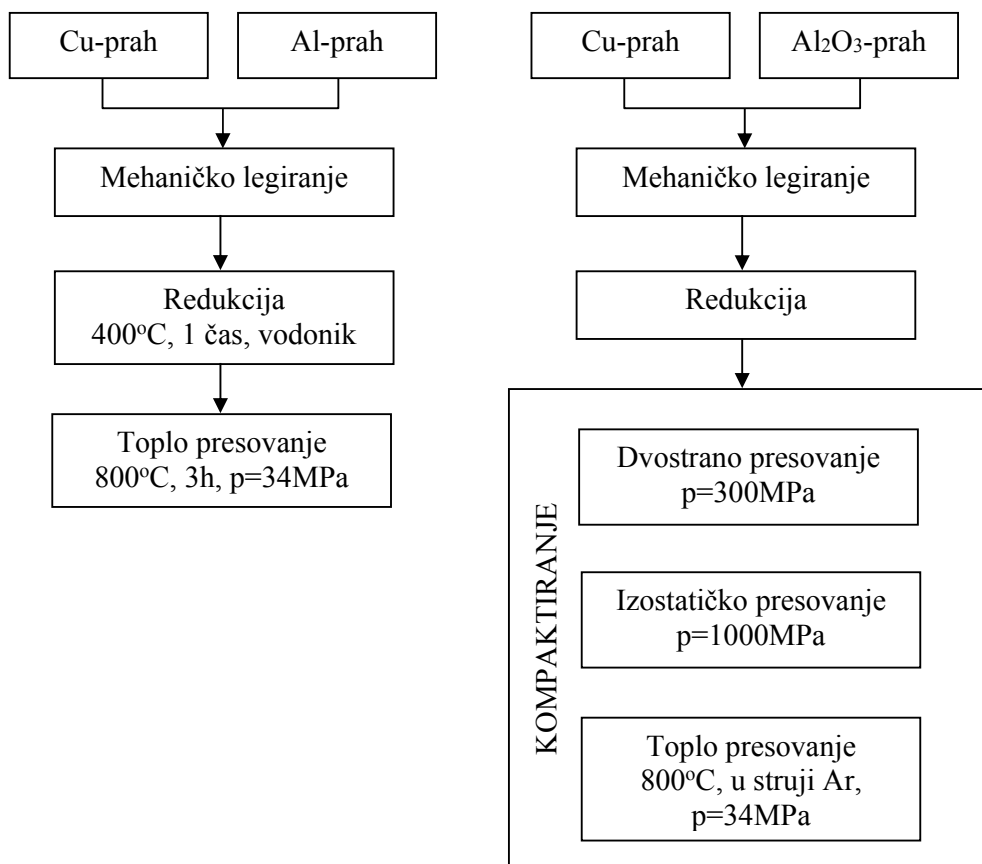
Sl. 25. Različiti postupci unutrašnje oksidacije (1 - oksidacija površine, 2 - dvokomorni proces, 3 - mešanje i separacija, 4 - mešanje) [4, 88]



Sl. 26. Šematski prikaz dobijanja disperzno ojačanog bakra unutrašnjom oksidacijom [97]

Prah koji je bio podvrgnut unutrašnjoj oksidaciji redukuje se na temperaturi od  $850^{\circ}\text{C}$ , da bi se uklonio višak kiseonika koji je prisutan kao  $\text{Cu}_2\text{O}$ . Dispergovane čestice  $\text{Al}_2\text{O}_3$  su veličine 0,1 do  $0,5\mu\text{m}$ .

Pored procesa unutrašnje oksidacije, za dobijanje disperzno ojačane legure  $\text{Cu}-\text{Al}_2\text{O}_3$  često se koristi i proces mehaničkog legiranja. Za efikasno ojačavanje koristi se veličina oksidnih disperzoida u nanometrima, pri čemu se uvođenje disperzoida u matricu bakra vrši na dva načina. Prvi način se sastoji u direktnom korišćenju sitnih čestica  $\text{Al}_2\text{O}_3$  koje se u mlinovima dodatno usitnjavaju, dok se u drugom postupku vrši mlevenje amorfognog praha  $\text{Al}(\text{OH})_3$  i praha bakra, pri čemu dolazi do dekompozicije "in situ" u  $\text{Al}_2\text{O}_3$  za vreme zagrevanja na temperaturi sinterovanja. Na sl. 27 dat je uporedni prikaz dva postupka dobijanja disperzno ojačanog sistema  $\text{Cu}-\text{Al}_2\text{O}_3$  tehnikom mehaničkog legiranja [110, 111].



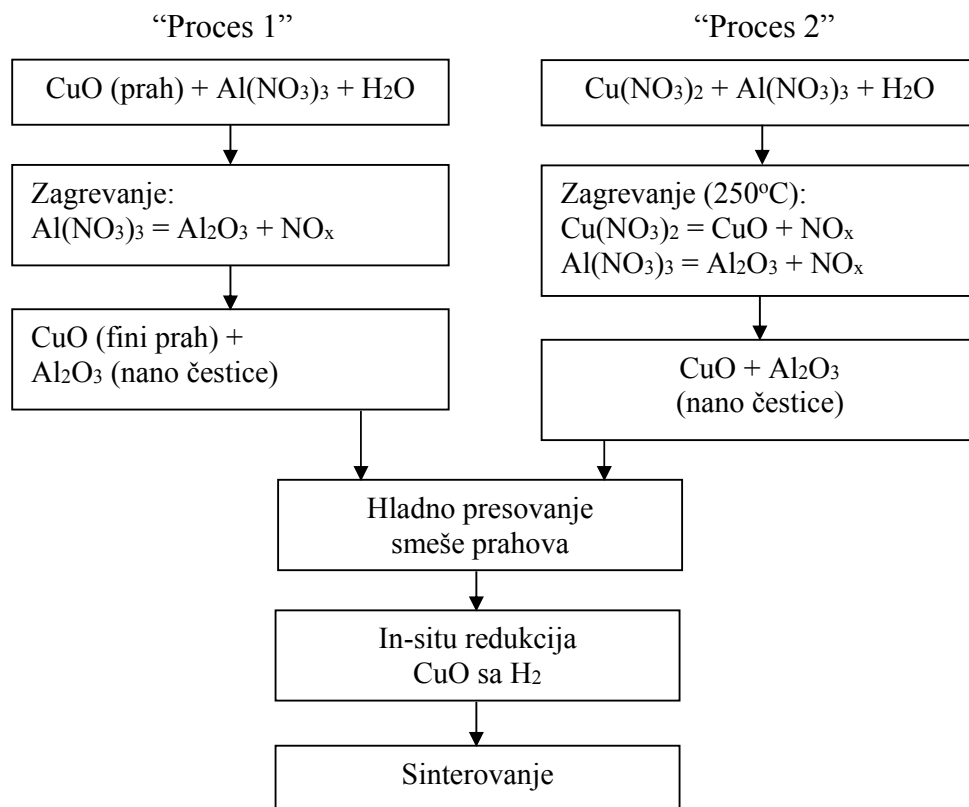
Sl. 27. Šematski prikaz dobijanja  $\text{Cu}-\text{Al}_2\text{O}_3$  sistema postupkom mehaničkog legiranja

Kod procesa unutrašnje oksidacije, naročito kod viših koncentracija aluminijuma, može da dođe do obrazovanja  $\text{Al}_2\text{O}_3$  filma, što sprečava potpunu difuziju legirajućih elemenata. Kako je čvrstoća legure zavisna i od zapremine disperzoida, na ovaj način se ograničava i stepen ojačavanja materijala.

S druge strane, kod mehaničkog legiranja često dolazi do slepljivanja čestica praha, stvaraju se aglomerati, koji ostaju prisutni i u kasnijoj fazi procesa, što negativno utiče na svojstva finalnog proizvoda.

Usled navedenih nedostataka koje sadrže u sebi i proces unutrašnje oksidacije i proces mehaničkog legiranja, u poslednje vreme se vrše određeni pokušaji da se  $\text{Cu-Al}_2\text{O}_3$  legura dobije hemijskim putem, taloženjem iz tečne faze [26-29].

Na sl. 28 dat je uporedni prikaz dva postupka disperznog ojačavanja legure  $\text{Cu-Al}_2\text{O}_3$ , na bazi nanokompozitnih prahova, dobijenih hemijskim putem, taloženjem iz tečne faze [28].



Sl. 28. Šematski prikaz dva postupka dobijanja  $\text{Cu-Al}_2\text{O}_3$  nanokompozita hemijskim putem

Metalografska ispitivanja sistema dobijenih prikazanim postupcima ukazuju na prisustvo treće faze  $Cu_xAl_yO_z$  na Cu-Al dodirnim površinama.

Prema [112, 113], formiranje treće faze je, sa termodinamičkog aspekta, moguće, a sam proces obrazovanja se odvija kroz sledeće reakcije:



i/i



Formirana treća faza, prema [114, 115], ima značajan uticaj na prirodu dislokacione strukture, koja se obrazuje u sistemu, a samim tim na poboljšanje mehaničkih svojstava i postizanje dobre kombinacije mehanička svojstva - električna svojstva.

Pored toga, rezultati istraživanja, prikazani u [28], ukazuju na homogeniji raspored treće faze u slučaju sistema dobijenog postupkom označenim kao "proces 2" (sl. 28).

U radu [116] ispitivane su međupovršinske reakcije između bakra i  $\text{Al}_2\text{O}_3$ , koje se dešavaju u toku eutektičkog procesa sjedinjavanja. Termodinamička analiza fazne ravnoteže u sistemu Cu–Al–O pokazuje da postoji petofazna ravnoteža između čvrstog Cu sa kiseonikom u rastvoru, tečnim Cu sa kiseonikom u rastvoru, čvrstim  $\text{CuAlO}_2$ ,  $\text{Al}_2\text{O}_3$  i gasovitim kiseonikom u invarijantnom stanju  $T=1075^\circ\text{C}$ ,  $P_{\text{O}_2}=5,6 \times 10^{-7}\text{ atm}$  (0,055 Pa). U toku eutektičkog vezivanja obrazuje se jedinjenje  $\text{CuAlO}_2$  na međupovršini između Cu i  $\text{Al}_2\text{O}_3$  u uzorcima koji sadrže čvrst bakar i to jedino na temperaturama nižim od  $1075\pm3^\circ\text{C}$ . Na temperaturama višim od temperature invarijantnog stanja dešavaju se dve četvorofazne ravnoteže: jedna uključuje gasoviti kiseonik i kondenzovane faze tečnog Cu,  $\text{CuAlO}_2$  i  $\text{Al}_2\text{O}_3$ , a druga uključuje gasoviti kiseonik, kondenzovane faze čvrstog Cu, tečni bakar i  $\text{Al}_2\text{O}_3$ . Na temperaturama manjim od temperature invarijantnog stanja takođe se

uspostavljaju dve četvorofazne ravnoteže: gasoviti kiseonik sa kondenzovanim fazama čvrstog Cu, tečnim Cu i CuAlO<sub>2</sub>, i gasoviti kiseonik sa kondenzovanim fazama čvrstog Cu, CuAlO<sub>2</sub> i Al<sub>2</sub>O<sub>3</sub>. U ovim eksperimentima raspored čvrstog i tečnog bakra na Al<sub>2</sub>O<sub>3</sub> na temperaturi nižoj od temperature invarijantnog stanja prouzrokuje ireverzibilnu reakciju pri kojoj se dobija CuAlO<sub>2</sub> na račun Al<sub>2</sub>O<sub>3</sub> postupkom prema ravnoteži između kondenzovanih faza čvrstog bakra, tečnog Cu i CuAlO<sub>2</sub>. U prikazanoj studiji [116] ova reakcija se zaustavlja pre nego što se Al<sub>2</sub>O<sub>3</sub> u potpunosti potroši.

Detalje oko direktnog vezivanja metala i keramike prvi su objavili Burgess i sar. [117]. Preduslovi za direktno vezivanje metala gas-eutektičkom metodom su sledeći: a) eutektička tačka mora postojati između metala i protočnog gasa u reakcionoj peći, b) koncentracija gasne komponente u eutektičkom rastopu mora biti niska i/ili pak da se gas može lako ukloniti nakon sjedinjavanja, c) eutektička temperatura mora biti bar 10°C niža od temperature topljenja metala da bi se ostvario realan opseg temperature za vezivanje, d) metal mora da bude savitljiv na temperaturi vezivanja da bi se dobro prilagodio površini keramike. Burgess i sar. opisali su proces kao primenu kod vezivanja Cu za Al<sub>2</sub>O<sub>3</sub>. Sistem Cu–O sadrži eutektičku ravnotežu na 1065°C pri kojoj eutektički rastop sadrži 0,39 mas. % kiseonika. Temperatura topljenja bakra je 1083°C tako da pod pogodnim oksidacionim uslovima tanak sloj koji autori predstavljaju kao “rastopljena Cu-O eutektička smeša”, može biti stvoren na površini čvrstog Cu u temperaturnom intervalu od 1065 do 1083°C. Kada se na vlažan supstrat Al<sub>2</sub>O<sub>3</sub> stavi tanak sloj vlažnog “Cu-O eutektikuma”, bakar i keramika formiraju jaku vezu. Hlađenjem ispod 1065°C tečna faza se razlaže dajući eutektičku strukturu Cu-Cu<sub>2</sub>O, pri čemu Cu<sub>2</sub>O može biti redukovani vodonikom na niskim temperaturama bez ikakvog smanjenja kvaliteta veze između metala i keramike. Burgess i saradnici nisu primetili obrazovanje intermedijernih jedinjenja na međupovršini za vreme eutektičkog sjedinjavanja bakra i Al<sub>2</sub>O<sub>3</sub>.

Chaklader i sar. [118] napravili su uzorke sastavljene od malih bakarnih cilindara visoke čistoće koji sadrže različite količine CuO ubaćene u izbušene

rupice na cilindrima i postavljene tako da su u kontaktu sa safirom visoke čistoće. Uzorci su zagrevani do  $1230^{\circ}\text{C}$  u vakuumu od  $10^{-5}\text{mm Hg}$  ( $1,3 \times 10^{-3} \text{ Pa}$ ). Iznad temperature topljenja bakra, CuO se rastapa proizvodeći tečan Cu koji sadrži do 6,7 mas. % rastvorenog kiseonika, koji je kvasio i formirao vezu sa safirom. Posle hlađenja očvrnsnuta kapljica koja je bila vezana za površinu safira, uklonjena je tretmanom sa  $\text{HNO}_3$ , otkrivajući pravilno obrazovane igličaste kristale radijalno urasle od kraja kapi do njenog centra. Ovi kristali koji se nisu mogli ukloniti sa safira, pri tretmanu kiselinom, identifikovani su difrakcijom X-zraka kao  $\text{CuAlO}_2$ . Pronađeno je da se ova međufaza formira na međupovršini pri bilo kojim dodacima kiseonika u Cu. O'Brien i Chaklader [119] ponovili su eksperimente koristeći mešavinu gasa CO-CO<sub>2</sub> kako bi kontrolisali parcijalni pritisak kiseonika u gasnoj fazi u opsegu vrednosti pritiska od  $10^{-16} - 10^{-3}$  atm ( $10^{-11} - 100 \text{ Pa}$ ), na  $1200^{\circ}\text{C}$ . Ovo je prouzrokovalo nastajanje sloja  $\text{CuAlO}_2$  na čvrsto-tečnoj međupovršini, kao i obrazovanje sloja  $\text{Cu}_2\text{O}$  na tečno-parnoj međupovršini.

Sun i Driscoll [120] drugačije su opisali "novu tehniku direktnog vezivanja bakra sa keramikom korišćenjem Cu-CuO eutektičkog rastopa". Ovaj opis se razlikuje od opisa Burgess-a i sar. po tome što je eutektički rastop, koji je formiran na  $1065^{\circ}\text{C}$ , nastao preoksidacijom Cu u oblik tankog sloja  $\text{Cu}_2\text{O}$  na bakarnoj površini. Debljina ovog sloja trebala bi biti takva da se obrazuje samo vrlo tanak omotač tečnosti, a preporučljiva debljina  $\text{Cu}_2\text{O}$  je od nekoliko hiljada angstrema. Ovi autori primetili su da kada se veza raskine, zrnca  $\text{Cu}_2\text{O}$  u eutektičkoj vezi, izvlače se iz bakarne prevlake, što ukazuje na to da je jačina veze ograničena Cu-Cu<sub>2</sub>O međupovršinom, a ne  $\text{Cu}_2\text{O}-\text{Al}_2\text{O}_3$  međupovršinom. Sun i Driscoll nisu primetili nijednu međufazu u vezi, i držeći se toga, ako bi se takva faza formirala njena debljina trebala bi biti manja od rezolucije SEM-a (100 Å).

Različita mišljenja su od velike važnosti za razmatranje kvašenja i termodinamike. Pask [121] je izneo da bilo koje dve faze mogu biti spojene hemijskom vezom ako su u hemijskoj termodinamičkoj ravnoteži na njihovoj međupovršini. Pa tako, pri eutektičkom sjedinjavanju bakra i  $\text{Al}_2\text{O}_3$ , eutektički

rastop koji je obrazovan zagrevanjem do eutektičke temperature, širi se i reaguje sa  $\text{Al}_2\text{O}_3$  stvarajući  $\text{CuAlO}_2$  na međupovršini, koji je kompatibilan sa obe faze. Suprotno tome, Loehman i Tomsia [122] tvrde da hemijska kompatibilnost, kvašenje i termodinamička ravnoteža ne mogu, same po sebi, da obezbede jake međupovršinske veze. Oni iznose da su mehanički, termomehanički i strukturni faktori takođe vrlo bitni. Na primer, metali i keramika imaju vrlo različite koeficijente toplotnog širenja koji mogu izazvati veliko naprezanje za vreme hlađenja. Takođe, razlike u modulu elastičnosti mogu prouzrokovati međipovršinska naprezanja pri spajanju.

Yoshino [123] je izneo mišljenje da nije siguran da li je nastajanje  $\text{CuAlO}_2$  za vreme eutektičkog vezivanja Cu i  $\text{Al}_2\text{O}_3$  nužno ili je jednostavno rezultat dobrog kvašenja. Kasnije je izneo da nije razjašnjeno i to da li je kiseonik potreban i posle očvršćavanja eutektičkog rastopa. Čestice oksida stvaraju mikropukotine u jezgrima, tako da prisustvo kiseonika može biti razlog smanjenja energije frakture. U studiji o uticaju kiseonika na eutektičko sjedinjavanje, pronašao je da na energiju veze Cu-Al<sub>2</sub>O<sub>3</sub> na međupovršini, koja je određena peel-testom, primarno utiče koncentracija kiseonika na međupovršini, pri čemu se energija veze povećava sa povećanjem koncentracije do maksimalne vrednosti pri nekoj kritičnoj koncentraciji. Kritična vrednost predstavlja graničnu rastvorljivost kiseonika u Cu na 850°C, što je jedna desetina granične vrednosti rastvorljivosti na eutektičkoj temperaturi. Zaključio je, prema tome, da dobijanje eutektičke tečnosti nije potrebno da bi se ostvarila jaka veza. Ispitivanjem njegovih uzoraka difrakcijom X-zraka i elektronskom mikroskopijom nije pronađen ni jedan dokaz reakcije na međupovršini.

Kim i Kim [124] su sproveli eksperiment eutektičkog sjedinjavanja na 1075°C u tečnom azotu, pri merenom parcijalnom pritisku kiseonika od  $10^{-4}$  atm (10 Pa), u vremenskom intervalu od 10 minuta do 24 časa. Posle 6h nastalo je vrlo malo  $\text{CuAlO}_2$  na međupovršini i bio je maskiran talogom  $\text{Cu}_2\text{O}$ . Međutim, posle neprekidnih 12h sloj  $\text{CuAlO}_2$  se obrazovao, pri čemu se njegova debljina povećavala linearno sa vremenom, brzinom od  $8 \times 10^{-11} \text{ m/s}$ . Prosečna jačina

savitljivosti takođe se povećavala od 35 MPa posle 10min sjedinjavanja na 250 MPa posle 20h sjedinjavanja, i ovo povećanje pripisano je porastu sloja CuAlO<sub>2</sub>. Opažanjem da su međupovršine Cu/CuAlO<sub>2</sub>, Cu<sub>2</sub>O/CuAlO<sub>2</sub> i Al<sub>2</sub>O<sub>3</sub>/CuAlO<sub>2</sub> jače nego Cu/Al<sub>2</sub>O<sub>3</sub> i Cu<sub>2</sub>O/Al<sub>2</sub>O<sub>3</sub> nagoveštava se da međupovršina ima dva vezivna mehanizma.

Rani radovi obuhvatili su studije faznih odnosa između bakar-oksida i Al<sub>2</sub>O<sub>3</sub> na pritisku kiseonika u intervalu od 0,21-1,0 atm (21-101 KPa). Misra i Chaklader [125] objavili su da je CuAlO<sub>2</sub> stabilan na vazduhu u opsegu temperaturna od 800 do 1000°C. CuAl<sub>2</sub>O<sub>4</sub> prelazi u CuAlO<sub>2</sub> na temperaturi od oko 1000°C.

Chaklader i sar. [118] i Kim i Kim [124] držali su svoje uzorke na temperaturi vezivanja u toku vremena koje je dovoljno dugo da se formira dovoljna količina CuAlO<sub>2</sub>. S druge strane, iako je Yoshino [123] koristio uslove pod kojima je CuAlO<sub>2</sub> stabilan, vezivanje na 1070°C u toku 4min ipak nije bilo dovoljno za obrazovanje količine CuAlO<sub>2</sub> koja bi bila detektovana. Takođe ni Burgess i sar. [117], kao ni Sun i Driscoll [120] nisu objavili vremena u toku kojih su svoje uzorke držali na temperaturi vezivanja, a to je verovatno zbog njihovog nepridržavanja formiranja CuAlO<sub>2</sub> pod termodinamičkim uslovima u kojima je ova faza stabilna, što je prouzrokovano suviše kratkim vremenima vezivanja.

## **EKSPERIMENTALNI DEO**

Primarni cilj istraživanja u okviru ove doktorske disertacije bio je izučavanje nanokompozitnih sinterovanih sistema sa homogenom raspodelom disperzoida u matrici osnovnog metala ili legure, na bazi ultra finih i nano prahova teških metala (bakra i srebra) i glinice, sintetisanih u funkciji dobijanja dobre kombinacije električna svojstva - mehanička svojstva.

Takođe, cilj istraživanja je i izučavanje kinetike sinterovanja realnih sistema na bazi ultra finih i nano prahova teških metala i glinice kroz praćenje vrednosti relativne promene zapremine uzoraka sinterovanih na različitim temperaturama i u toku različitih vremena i eksperimentalnu proveru postojećih fenomenoloških jednačina kinetike sinterovanja.

Tokom izvođenja eksperimenta, u skladu sa ciljem istraživanja, izučavani su sledeći sistemi:

- nanokompozitni Cu-Al<sub>2</sub>O<sub>3</sub> sistem sa 3 i 5 tež. % disperzoida (Al<sub>2</sub>O<sub>3</sub>), dobijen mehaničkim legiranjem komercijalnog praha bakra dobijenog elektrolitičkim postupkom i glinice sintetisane sol-gel metodom,
- nanokompozitni Cu-Al<sub>2</sub>O<sub>3</sub> sistem na bazi praha dobijenog termohemijskim postupkom, taloženjem iz tečne faze sa 3 i 5 tež. % Al<sub>2</sub>O<sub>3</sub>,
- nanokompozitni Cu-Ag-Al<sub>2</sub>O<sub>3</sub> sistem dobijen mehaničkim legiranjem prethodno sintetisanog nanokompozitnog Cu-Al<sub>2</sub>O<sub>3</sub> praha termohemijskim postupkom i praha srebra dobijenog hemijskim putem, odnosno Cu-Ag praha dobijenog termohemijskim postupkom.

U početnoj fazi izvođenja eksperimenta, predmet istraživanja je bila sinteza prahova, i to:

- sinteza neaglomerisanog ultra finog i nano praha glinice sol-gel metodom,

- sinteza nanokompozitnog Cu-Al<sub>2</sub>O<sub>3</sub> praha mehaničkim legiranjem komercijalnog praha bakra dobijenog elektrolitičkim postupkom i prethodno sintetisane glinice sol-gel metodom,
- sinteza nanokompozitnog Cu-Al<sub>2</sub>O<sub>3</sub> praha termohemijskom postupkom,
- sinteza trokomponentnog Cu-Ag-Al<sub>2</sub>O<sub>3</sub> praha mehaničkim legiranjem prethodno sintetisanog nanokompozitnog Cu-Al<sub>2</sub>O<sub>3</sub> praha termohemijskim postupkom i praha srebra dobijenog hemijskim putem, odnosno Cu-Ag praha dobijenog termohemijskim postupkom.

Nakon sinteze polaznih prahova izvršena je njihova karakterizacija, koja je obuhvatila hemijsku analizu, diferencijalnotermijsku i temogravimetrijsku (DT/TG) analizu, rendgenostrukturnu analizu (RDA), određivanje specifične površine čestica, nasipne gustine, tečljivosti, oblika, veličine i raspodele veličine čestica, kao i mikrostrukturna ispitivanja skanirajućom elektronskom mikroskopijom (SEM) i analitičkom elektronskom mikroskopijom (AEM) povezanom sa energetskom disperzivnom spektroskopijom (EDS).

Za dobijanje nanokompozitnog Cu-Al<sub>2</sub>O<sub>3</sub> sistema mehaničkim legiranjem kao polazni prahovi korišćeni su komercijalni prah elektrolitičkog bakra srednje veličine čestica -45µm i ultra fini i nano prah glinice sintetisan sol-gel metodom. Mehaničko legiranje navedenih prahova vršeno je u keramičkom mlinu sa kuglama od čiste alumine nakon čega je vršena redukcija dobijene smeše prahova vodonikom. Keramički mlin sa kuglama od alumine korišćen je i za sintezu trokomponentnog Cu-Ag-Al<sub>2</sub>O<sub>3</sub> sistema mehaničkim legiranjem.

DT/TG ispitivanje sintetisanih prahova je urađeno na uređaju marke NETZCH STA model 409EP koji postiže maksimalnu temperaturu od 1100°C. Termo par je izrađen od legure Pt-Pt-Rd S-tipa (10%Rd). Kao referntni materijal je korišćen α-Al<sub>2</sub>O<sub>3</sub>.

Kvalitativna rentgenostruktura analiza prahova izvršena je pomoću rentgenskog difraktometra marke Siemens D500 PC korišćenjem CuK $\alpha$  zračenja, u opsegu od  $2\theta = 0\text{--}100^\circ$  sa korakom od  $(2\theta) 0,02^\circ$ .

Određivanje specifične površine čestica rađeno je standardnom BET metodom. Jedan stakleni adsorpcioni sud napuni se uzorkom (merni sud), dok drugi iste zapremine ostaje prazan. Oba suda su punjena azotom na sobnoj temperaturi pri atmosferskom pritisku, a zatim hlađena u hladnom kupatilu do temperature tečnog azota. Adsorpcija azota prouzrokuje razliku pritisaka koji se meri diferencijalnim manometrom. Iz razlike pritisak i pomoću nomograma izračunava se specifična površina čestica.

Tečljivost i nasipna gustina su rađeni standardnom metodom, pomoću Hall-ovog uređaja. Tečljivost prahova se meri brzinom isticanja praha pod uticajem gravitacione sile kroz otvor određenih dimenzija, odnosno vreme za koje količina od 50 g praha istekne kroz određen kalibriran otvor (standard ASTM B13). Nasipna gustina se određuje tako što se količina od 100 g praha pusti da slobodno ističe iz konusne posude kroz kalibriran otvor  $\varnothing 2,54$  mm, a prah se prihvata u posudu kapaciteta  $25\text{cm}^3$ . Oštrom ivicom noža skida se višak praha sa posude, a zatim se izmeri masa praha, koji se zadržao u posudi (standard ASTM B212).

Pripremljeni sistemi polaznih prahova presovani su delovanjem sile pritiska na smešu sa obe strane (dvostrano presovanje), u alatu dimenzija  $8 \times 32\text{mm}$  na visinu  $h=2\text{mm}$ , pritiskom presovanja od  $500\text{MPa}$ . Za presovanje dobijenih nanokompozitnih sistema korišćena je laboratorijska hidraulična presa marke "ZIM", ruske proizvodnje. Osnovne karakteristike prese su:

- maksimalna sila presovanja -  $500\text{kN}$ ,
- tečni medijum - hidraulično ulje.

Korišćeni alat je konstruisan prema standardu JUS N.G3.090 za dobijanje uzoraka namenjenih za ispitivanje specifičnog električnog otpora otpresovanih i sinterovanih kontaktnih materijala.

Sinterovanje uzoraka Cu-Al<sub>2</sub>O<sub>3</sub> sistema vršeno je u atmosferi vodonika u temperaturnom opsegu 800-1000°C u toku 15-120 minuta. Trokomponentni Cu-Ag-Al<sub>2</sub>O<sub>3</sub> sistem sinterovan je u atmosferi vodonika u temperaturnom opsegu 600-800°C u toku 15-120 minuta.

Proces sinterovanja vršen je u laboratorijskoj cevnoj elektrootpornoj peći snage 3kW sa termoregulacijom  $\pm 1^{\circ}\text{C}$  u koju je smeštena kvarcna cev. Unutrašnji prečnik cevi iznosi 45mm, a dužina 100cm. Radna dužina cevi, tj. deo cevi smešten u peć iznosi 55cm. Maksimalana temperatura koja se može postići u radnom prostoru peći je  $1300 \pm 1^{\circ}\text{C}$ .

Karakterizacija sinterovanih sistema obuhvatila je ispitivanje gustine, relativne promene zapremine, električnih i mehaničkih svojstava, kao i ispitivanja skanirajućom elektronskom mikroskopijom (SEM), energetskom disperzivnom spektroskopijom (EDS), ispitivanja metodom fokusiranja snopa jona (FIB – Focused Ion Beam), transmisionom elektronskom mikroskopijom (TEM), ispitivanja selktovanih difrakcionih polja (SADP – Selected Area Diffraction Pattern) i ispitivanja transmisionom elektronskom mikroskopijom visoke rezolucije (HRTEM).

Vrednosti gustine sinterovanih uzoraka određene su iz odnosa mase i zapremine. Ispitivanje tvrdoće vršeno je po Rokvelu (skala B) sa primjenjenom silom od 40daN i prečnikom kuglice 10mm, na univerzalnom aparatu za merenje tvrdoće marke VOLPERT - Nemačka. Vrednosti specifičnog električnog otpora nakon sinterovanja određene su merenjem Vitsonovim mostom.

Za mikrostrukturna ispitivanja kako polaznih prahova, tako i sinterovanih sistema korišćeni su skanirajući elektronski mikroskopi tipa JEOL JSM-T20, odnosno JEOL 5300, kao i analitički elektronski mikroskop (AEM) tipa JEOL 200CX sa mogućnošću rada u TEM i STEM modu između 80 i 200kV. Energetskom disperzivnom spektroskopijom (EDS – JEOL Superprobe 733, 20kV) kvalitativno je određen sastav ispitivanih sistema.

Navedena SEM i EDS ispitivanja izvršena su na Tehnološko-metalurškom fakultetu u Beogradu, Fakultetu tehničkih nauka u Novom Sadu i

Elektronskom fakultetu u Nišu. Ispitivanja analitičkom elektronskom mikroskopijom (AEM), transmisionom elektronskom mikroskopijom (TEM), transmisionom elektronskom mikroskopijom visoke rezolucije (HRTEM), ispitivanja metodom fokusiranja snopa jona (FIB – Focused Ion Beam), kao i ispitivanja selektovanih difrakcionih polja (SADP – Selected Area Diffraction Pattern) izvršena su u Nacionalnom centru za elektronsku mikroskopiju Univerziteta u Berkliju (USA).

## **4. SINTEZA ULTRA FINIH I NANOKOMPOZITNIH PRAHOVA I ODGOVARAJUĆIH SINTEROVANIH SISTEMA**

### **4.1. Sinteza ultra finih i nanokompozitnih prahova**

#### **4.1.1. Sinteza nanokompozitnog Cu-Al<sub>2</sub>O<sub>3</sub> sistema**

##### **postupkom mehaničkog legiranja**

Poznato je da se uvođenjem fino dispergovanih čestica u metalnu osnovu postižu značajni efekti ojačavanja, koji se mogu zadržati i u uslovima povišenih temperatura. Za ovakvo ojačavanje pogodne su ultra fine i nano čestice oksida, koje zbog svoje tvrdoće, stabilnosti i nerastvorljivosti u metalnoj osnovi predstavljaju izuzetno dobre prepreke kretanju dislokacija i na povišenim temperaturama. Maksimalne efekte ojačavanja obezbeđuje ravnomerna raspodela čestica oksida na malom rastojanju, odnosno njihova fina disperzija u matrici osnovnog metala, što se postiže, između ostalog, i postupkom mehaničkog legiranja.

U ovom delu izvođenja eksperimenta, izvršena je sinteza nanokompozitnog Cu-Al<sub>2</sub>O<sub>3</sub> sistema sa 3 i 5 tež. % disperzoida postupkom mehaničkog legiranja komercijalnog praha bakra dobijenog elektrolitičkim postupkom i praha Al<sub>2</sub>O<sub>3</sub>. Ultra fini i nano prah glinice, korišćen u postupku mehaničkog legiranja, dobijen je termohemijskim putem, sol-gel metodom.

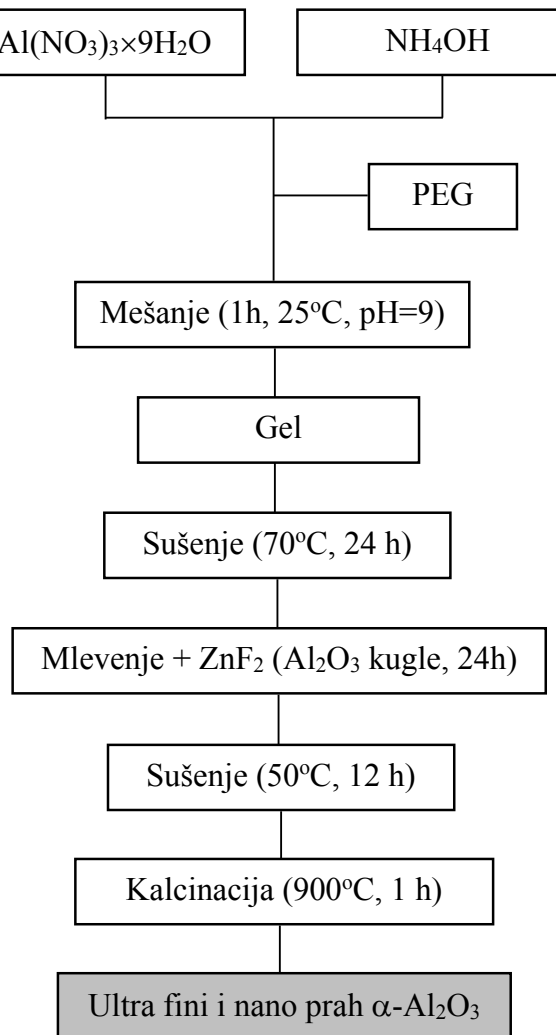
Pri sintezi ultra finog i nano praha glinice termohemijskim putem, sol-gel metodom, koloidni gel dobijen je intenzivnim mešanjem različitih koncentracija Al(NO<sub>3</sub>)<sub>3</sub>×9H<sub>2</sub>O i NH<sub>4</sub>OH do postizanja odgovarajuće pH vrednosti rastvora (pH=9), što je kontrolisano postepenim dodavanjem zahtevane količine amonijum-hidroksida.

Pored ovoga, tokom mešanja polaznih komponenti dodavan je polietilen glikol (PEG). PEG je dodavan u cilju sprečavanja aglomeracije dobijenih

čestica  $\alpha$ -Al<sub>2</sub>O<sub>3</sub>, do koje dolazi usled velike razvijenosti ukupne površine, odnosno velike površinske energije čestica dobijenog praha.

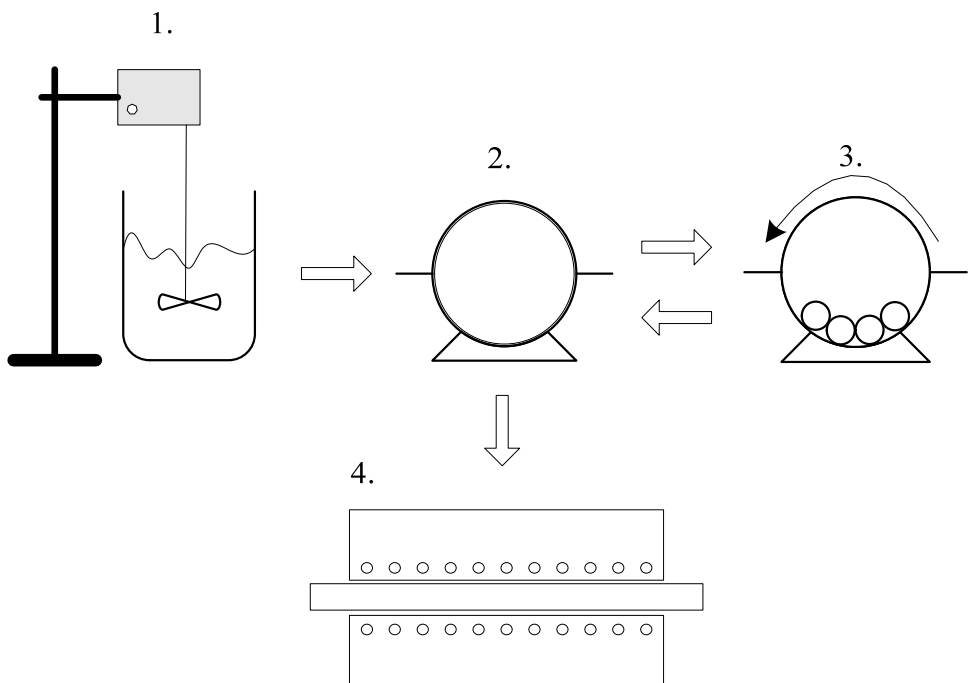
Proces mešanja vršen je pri broju obrtaja od 350min<sup>-1</sup> uz održavanje temperature rastvora na konstantnoj vrednosti od 25°C. Nakon dostizanja odgovarajuće pH vrednosti, proces intenzivnog mešanja je nastavljen u trajanju od jednog časa. Dobijeni gel je filtriran i bez naknadnog ispiranja sušen. Proces sušenja je vršen na temperaturi od 70°C u toku 24 časa. Osušeni gel je mleven u keramičkom mlinu sa kuglama od alumine ( $\geq 99\%$  Al<sub>2</sub>O<sub>3</sub>) uz dodatak alkohola i 2tež.% ZnF<sub>2</sub> u toku 24 časa. ZnF<sub>2</sub>, dobijen otapanjem ZnO u fluoridnoj kiselini, korišćen je radi smanjenja temperature transformacije  $\theta \rightarrow \alpha$ -Al<sub>2</sub>O<sub>3</sub> i modifikacije oblika dobijenih čestica  $\alpha$ -Al<sub>2</sub>O<sub>3</sub>. Nakon procesa mlevenja, vršeno je sušenje na temperaturi od 50°C u toku 12 časova. Proizvodi sušenja podvrgnuti su kalcinaciji na temperaturi od 900°C u toku 1 čas, nakon čega je dobijen ultra fini i nano prah  $\alpha$ -Al<sub>2</sub>O<sub>3</sub>.

Na sl. 29 dat je šematski prikaz sinteze ultra finog i nano praha glinice sol-gel metodom.



Sl. 29. Šematski prikaz sinteze ultra finog i nano praha glinice sol-gel metodom

Aparatura za sintezu ultrafinih i nano prahova  $\text{Al}_2\text{O}_3$  sastoji se od laboratorijske čaše, mešalice, sušnice, mlina sa kuglama i cilindričnim meljućim telima i peći za žarenje. Šematski prikaz ove aparature dat je na sl. 30.



1. Laboratorijska čaša sa mešalicom, 2. Sušnica,  
3. Keramički mlin sa kuglama, 4. Peć za kalcinaciju

Sl. 30. Aparatura za sintezu ultra finog i nano praha  $\text{Al}_2\text{O}_3$  sol-gel metodom

Sinteza koloidnog gela je izvođena u laboratorijskoj čaši zapremljene 1000mL uz intenzivno mešanje. Mešanje je vršeno u mešalici marke Heidolph RZR 2051 sa maksimalnim brojem obrtaja od  $2000 \text{ min}^{-1}$ . Radi uklanjanja vlage dobijeni gel je sušen u laboratorijskoj sušnici. Maksimalna temperatura sušenja iznosi  $200^\circ\text{C}$ . Takođe, na sušnici postoji termoregulacija koja omogućava održavanje konstantne radne temperature ( $\pm 2^\circ\text{C}$ ) unutar sušnice.

Za usitnjavanje je korišćen keramički mlin  $\varnothing 180\text{mm}$ , visine 160mm, sa ukupnom radnom zapreminom od  $4\text{dm}^3$ . Mlevenje je izvođeno preko kugli ( $d=30\text{mm}$ ) i cilindričnih meljućih tela ( $d=18\text{mm} \times h=20\text{mm}$ ) izrađenih od korunda čistoće  $\geq 99\%$   $\text{Al}_2\text{O}_3$ . Zapremina jedne kugle iznosi  $10\text{cm}^3$ , a cilindričnog medijuma  $3\text{cm}^3$ . Radi intenziviranja procesa, mlevenje se odvija u tečnoj sredini. Tečna sredina je neutralna u odnosu na materijal koji se melje i

materijal od kog je izrađen mlin. Mlevenje osušenog koloidnog gela se odvijalo uz dodatak alkohola. Korišćeni alkohol bio je 99,8% etanol,  $C_2H_5OH$ , gustine 0,79g/mol. Okretanje mlina je postignuto njegovim postavljanjem na valjke preko kojih se rotacija prenosi na sam mlin. Maksimalan broj obrtaja koji se može postići u ovom sistemu iznosi  $300\text{ min}^{-1}$ .

Samleveni gel je osušen radi uklanjanja alkohola, a potom kalcinisan u cilju postizanja finalne strukture.

Za kalcinaciju osušenog gela korišćena je laboratorijska cevna elektrootporna peć snage 3kW sa termoregulacijom  $\pm 1^\circ C$  u koju je smeštena kvarcna cev. Unutrašnji prečnik cevi iznosi 45mm, a dužina 100cm. Radna dužina cevi, tj. deo cevi smešten u peć iznosi 55cm. Maksimalana temperatura koja se može postići u radnom prostoru peći je  $1300 \pm 1^\circ C$ . Kalcinacija je izvođena u atmosferi vazduha.

Dobijeni ultra fini i nano prah glinice korišćen je za sintezu nanokompozitnog  $Cu-Al_2O_3$  sistema postupkom mehaničkog legiranja.

Postupak mehaničkog legiranja predstavlja jedan od načina kojim se postiže ravnomerana raspodela čvrstih čestica oksida u matrici osnovnog metala uz značajne efekte ojačavanja. Tokom ovog postupka dolazi do deformacije, lomljenja i zavarivanja uz usitnjavanje, pri čemu se čestice oksida ugrađuju u čestice osnovnog metala i na kraju statistički pravilno raspoređuju.

Za dobijanje nanokompozitnog  $Cu-Al_2O_3$  sistema mehaničkim legiranjem kao polazni prahovi korišćeni su komercijalni prah bakra dobijen elektrolitičkim postupkom srednje veličine čestica  $-45\mu m$  i ultra fini i nano prah glinice, sintetisan prethodno opisanom sol-gel metodom, veličine čestica 50-200nm. Mehaničko legiranje navedenih prahova vršeno je u keramičkom mlinu sa kuglama od čiste alumine ( $\geq 99\% Al_2O_3$ ), pri čemu je odnos smeše i kugli iznosio 1:35. Tehničke karakteristike mlina su iste kao kod mlina korišćenog za dekompoziciju sušenog gela  $Al_2O_3$ . Vreme mehaničkog legiranja u atmosferi vodonika je 300 min, nakon čega je vršena redukcija dobijene smeše prahova vodonikom na temperaturi od  $400^\circ C$  u toku 60 min.

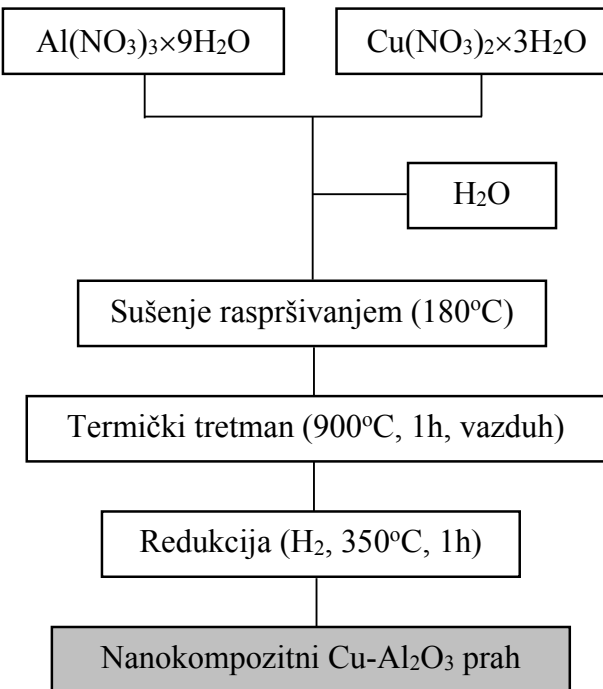
#### **4.1.2. Sinteza nanokompozitnog Cu-Al<sub>2</sub>O<sub>3</sub> praha termohemijskim postupkom**

Pored konvencionalnih načina dobijanja kompozita na bazi Cu-Al<sub>2</sub>O<sub>3</sub>, sinteza ovih materijala može biti vršena termohemijskim postupkom, taloženjem iz rastvora soli metala.

Za sintezu nanokompozitnog Cu-Al<sub>2</sub>O<sub>3</sub> praha temohemijskim postupkom, kao polazne komponente korišćeni su nitrati bakra i aluminijuma, Cu(NO<sub>3</sub>)<sub>2</sub>×3H<sub>2</sub>O i Al(NO<sub>3</sub>)<sub>3</sub>×9H<sub>2</sub>O. Proces sinteze odvijao se u četiri faze:

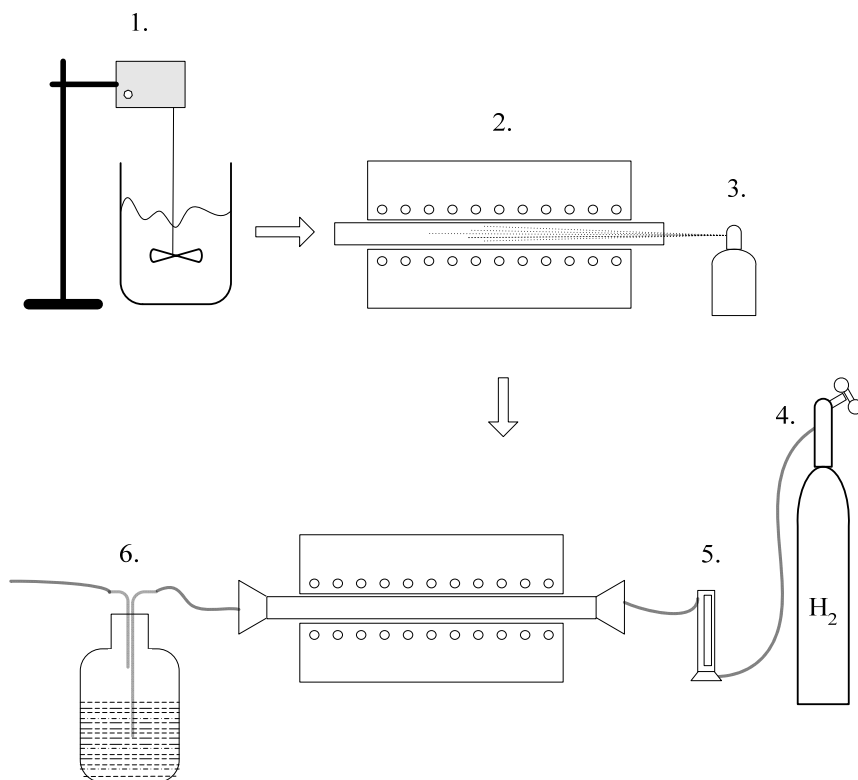
- dobijanje 50% vodenog rastvora u kome su Cu(NO<sub>3</sub>)<sub>2</sub> i Al(NO<sub>3</sub>)<sub>3</sub>×9H<sub>2</sub>O rastvoreni do postizanja zahtevanog sastava Cu-Al<sub>2</sub>O<sub>3</sub> nanokompozitnog sistema sa 3 i 5 tež. % glinice,
- suvo raspršivanje korišćenjem modifikovanog kućnog raspršivača na temperaturi od 180°C u cilju dobijanja rastresitog materijala,
- termički tretman dobijene rastresite smeše u atmosferi vazduha na temperaturi od 900°C u toku jednog časa u cilju formiranja oksida bakra i fazne transformacije Al<sub>2</sub>O<sub>3</sub> do dostizanja termodinamički stabilne α-Al<sub>2</sub>O<sub>3</sub> faze uz intenzivno izdvajanje vlage i žutosmeđih gasovitih oksida azota NO<sub>x</sub>,
- redukcija termički tretiranih prahova u atmosferi vodonika na temperaturi od 350°C u toku jednog časa, pri čemu se bakar-oksid redukuje do elementarnog bakra, a α-Al<sub>2</sub>O<sub>3</sub> ostaje u nepromenjenom obliku.

Na sl. 31 dat je šematski prikaz sinteze nanokompozitnog Cu-Al<sub>2</sub>O<sub>3</sub> sistema termohemijskim postupkom.



*Sl. 31. Šematski prikaz sinteze nanokompozitnog Cu-Al<sub>2</sub>O<sub>3</sub> sistema termohemijskim postupkom*

Aparatura za sintezu nanokompozitnog Cu-Al<sub>2</sub>O<sub>3</sub> praha termohemijskim postupkom (sl. 32) sastoji se od laboratorijske čaše sa mešalicom, raspršivača, peći i sistema za redukciju vodonikom.



1. Laboratorijska čaša sa mešalicom, 2. Peć sa kvarcnom cevi, 3. Modifikovani kućni ovlaživač, 4. Boca  $H_2$  sa manometrom, 5. Rotametar, 6. Ispiralica

*Sl. 32. Aparatura za sintezu nanokompozitnog Cu-Al<sub>2</sub>O<sub>3</sub> praha termohemijskim putem*

Sinteza nanokompozitnog Cu-Al<sub>2</sub>O<sub>3</sub> praha izvođena je u laboratorijskoj čaši zapremine 1000mL uz intenzivno mešanje. Korišćena mešalica je ista kao u slučaju sinteze ultra finog i nano ptaha Al<sub>2</sub>O<sub>3</sub> sol-gel metodom. Za proces sušenja raspršivanjem korišćen je modifikovani kućni ovlaživač. Preko ovlaživača sprej je raspršivan u kvarcnu cev smeštenu u prethodno opisanu cevnu elektrotopornu peć. Raspršivač se sastoji od rezervoara zapremine 800 mL u koji se smešta rastvor, tanke cevi za transport rastvora iz rezervoara i dizne preko koje se rastvor raspršuje direktno u cev smeštenu u peći. Materijal od koga je izrađen rezervoar, kao i ostali delovi raspršivača, je otporan na dejstvo azotne kiseline. Ovaj način sušenja omogućava da osušeni rastvor ne

bude u obliku kompaktnog taloga, već u obliku finih čestica. Za proces redukcije korišćena je ista peć kao i za kalcinaciju. Krajevi peći su zatvoreni gumenim čepovima kroz koje se sa jedne strane uvodi vodonik, a sa druge strane odvode prečišćeni gasovi. Pre početka uvođenja vodonika, kroz kvarcnu cev se propušta azot u cilju evakuacije radnog prostora i postizanja neutralne atmosfere unutar kvarcne cevi. Vodonik se uvodi u reakcioni prostor na niskim temperaturama i tek nakon toga se započinje sa njegovim zagrevanjem. Boca sa vodonikom je opremljena manometrom. Protok gasa je meren rotometrom smeštenim između boce i ulaska u cev. Odvodni gasovi su prečišćavani preko ispiralice postavljene iza izlaza iz cevi. Prečišćeni gasovi su zatim ispuštani u odvod gasova. Po završetku rada nastavlja se sa protokom vodonika dok se reakciona cev potpuno ne ohladi.

#### **4.1.3. Sinteza nanokompozitnog Cu-Ag-Al<sub>2</sub>O<sub>3</sub> sistema**

Imajući u vidu izuzetnu električnu i topotnu provodljivost, nisku kontaktnu otpornost i sposobnost oblikovanja deformacijom, kao dodatak kompozitnim materijalima na bazi bakra i glinice može se koristiti srebro.

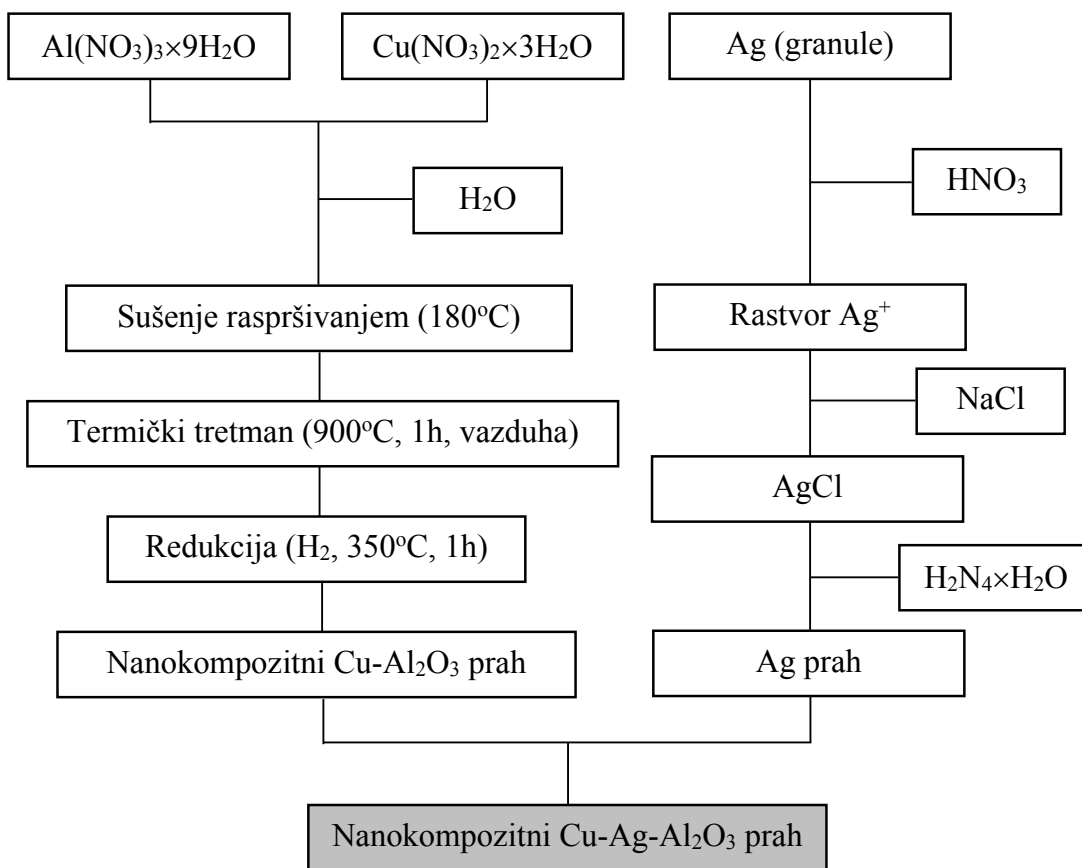
Zbog sličnosti temperature transformacije glinice iz  $\theta$  u  $\alpha$ -Al<sub>2</sub>O<sub>3</sub> (900°C) i temperature sinterovanja srebra (~400-900°C), nije bilo moguće da se ovaj prah dobije mešanjem nitrata sve tri komponente, tako da je sinteza Cu-Ag-Al<sub>2</sub>O<sub>3</sub> nanokompozitnog sistema vršena na sledeća dva načina:

- mehaničkim legiranjem prethodno sintetisanog nanokompozitnog Cu-Al<sub>2</sub>O<sub>3</sub> praha termohemijskim postupkom i praha srebra dobijenog hemijskim putem (sl. 33),
- mehaničkim legiranjem Cu-Al<sub>2</sub>O<sub>3</sub> i Cu-Ag sistema dobijenih termohemijskim postupkom (sl. 34).

U prvom slučaju, Cu-Al<sub>2</sub>O<sub>3</sub> nanokompozitni sistem dobijen je prethodno opisanim termohemijskim postupkom (sl. 31), u kome su polazne komponente rastvorene do postizanja zahtevanog sastava sa 5 tež. % aluminijum-oksida.

Prah srebra dobijen je tako što je u granule srebra dodavana azotna kiselina u cilju njegovog rastvaranja. Srebro iz rastvora je taloženo pomoću NaCl, pri čemu prelazi u beli nerastvorni talog. Čvrsti srebro-hlorid je tretiran hidrazin-hidratom ( $N_2H_4 \times H_2O$ ) radi redukcije srebra do elementarnog oblika.

Dobijeni prah Cu-Al<sub>2</sub>O<sub>3</sub> nanokompozitnog sistema i prah elementarnog srebra pomešani su u keramičkom mlinu sa kuglama od alumine tako da su dobijena dva sistema, sa 10 i 20 tež. % srebra.



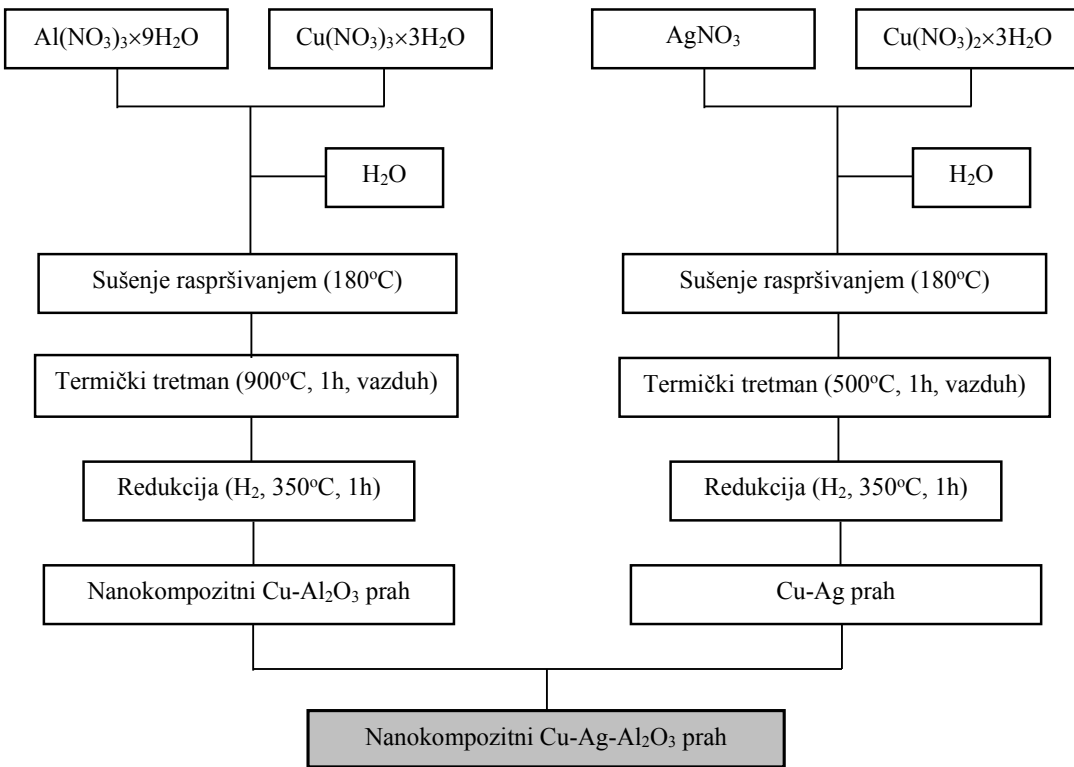
Sl. 33. Šematski prikaz sinteze Cu-Ag-Al<sub>2</sub>O<sub>3</sub> nanokompozitnog sistema mehaničkim legiranjem prethodno sintetisanog nanokompozitnog Cu-Al<sub>2</sub>O<sub>3</sub> praha termohemijskim postupkom i praha srebra dobijenog hemijskim putem

U drugom slučaju, nanokompozitni Cu-Ag-Al<sub>2</sub>O<sub>3</sub> sistem dobijen je mehaničkim legiranjem termohemijskim postupkom dobijenih Cu-Al<sub>2</sub>O<sub>3</sub> i Cu-Ag prahova.

Nanokompozitni Cu-Al<sub>2</sub>O<sub>3</sub> prah dobijen je prethodno opisanim termohemijskim postupkom (sl. 31).

Za sintezu Cu-Ag praha termohemijskim postupkom, kao polazne komponente korišćeni su nitrati srebra i bakra. Sinteza ovog praha je takođe obuhvatila sušenje raspršivanjem na 180°C, kao i u slučaju sinteze Cu-Al<sub>2</sub>O<sub>3</sub>, ali temperatura žarenje je postavljena na 500°C da bi se izbeglo sinterovanje srebra. Na ovoj temperaturi dolazi do isparavanja nitrata, tako da bakar-nitrat prelazi u bakar-oksid, dok srebro direktno prelazi u elementarni oblik. Nakon žarenja u strukturi su se nalazili oksid bakra i elementarno srebro. Da bi se dobio konačan oblik kompozitnog materijala, dobijeni prah je redukovana na 350°C u toku 1h radi prevodenja bakra u elementarni oblik. Ovako dobijeni prah je pomešan u keramičkom mlinu sa kuglama od čiste alumine ( $\geq 99\%$  Al<sub>2</sub>O<sub>3</sub>) u toku 1 časa sa prahom prethodno sintetizovanog kompozitnog materijala Cu-Al<sub>2</sub>O<sub>3</sub>. Odnos prahova je postavljen tako da konačna struktura sadrži 25 tež.% Ag i 5 tež.% Al<sub>2</sub>O<sub>3</sub>.

Za sintezu Cu-Ag-Al<sub>2</sub>O<sub>3</sub> nanokompozitnog sistema korišćena je ista aparatura kao za sintezu Cu-Al<sub>2</sub>O<sub>3</sub> nanokompozitnog praha termohemijskim postupkom.



*Sl. 34. Šematski prikaz sinteze Cu-Ag-Al<sub>2</sub>O<sub>3</sub> nanokompozitnog sistema mehaničkim legiranjem Cu-Al<sub>2</sub>O<sub>3</sub> i Cu-Ag prahova dobijenih termohemijskim postupkom*

#### 4.2. Presovanje i sinterovanje dobijenih nanokompozitnih prahova

Presovanje dobijenih nanokompozitnih sistema je obavljeno delovanjem sile pritiska na smešu sa obe strane (dvostrano presovanje), u alatu dimenzija 8×32mm na visinu h=2mm, pritiskom presovanja od 500MPa.

Sinterovanje uzoraka Cu-Al<sub>2</sub>O<sub>3</sub> sistema vršeno je u atmosferi vodonika u temperaturnom opsegu 800-1000°C u toku 15-120 minuta. Trokomponentni Cu-Ag-Al<sub>2</sub>O<sub>3</sub> sistem sinterovan je u atmosferi vodonika u temperaturnom opsegu 600-800°C u toku 15-120 minuta.

Kako vodonik u prisustvu kiseonika i na povišenim temperaturama obrazuje eksplozivnu gasnu smešu, to je njegova upotreba kao reducenta povezana sa neophodnošću preuzimanja posebnih mera bezbednosti.

Evakuisanje vazduha iz sistema vrši se tako što se pusti da kroz sistem protiče inertan gas (azot) ili gas reducent oko 15 minuta, isključivo na sobnoj temperaturi. Ukoliko je prođavavanje izvođeno azotom, nakon isteka tog vremena, pusti se da kroz sistem istovremeno protiče i vodonik, a zatim se zaustavi dalji protok azota, tako da u sistemu sada protiče samo vodonik. Tokom procesa sinterovanja mora se obezrediti potpuna hermetičnost aparature. Po završetku rada, uzorci se mogu izvaditi iz peći tek kada se dostigne sobna temperatura.

## **5. REZULTATI**

### **5.1. Karakterizacija dobijenih prahova**

#### **5.1.1. Nanokompozitni prah Cu-Al<sub>2</sub>O<sub>3</sub> dobijen postupkom mehaničkog legiranja**

Za dobijanje nanokompozitnog Cu-Al<sub>2</sub>O<sub>3</sub> sistema mehaničkim legiranjem kao polazni prahovi korišćeni su komercijalni prah bakra dobijen elektrolitičkim postupkom (“Pometon” RTB, Bor) i ultra fini i nano prah glinice, sintetisan prethodno opisanom sol-gel metodom. Mehaničko legiranje navedenih prahova vršeno je u keramičkom mlinu sa kuglama od čiste alumine ( $\geq 99\%$  Al<sub>2</sub>O<sub>3</sub>), pri čemu je odnos smeše i kugli iznosio 1:35. Vreme mehaničkog legiranja u atmosferi vodonika je 300 min, nakon čega je vršena redukcija dobijene smeše prahova vodonikom na temperaturi od 400°C u toku 60 min.

U skladu sa tehnološkim postupkom dobijanja nanokompozitnog praha Cu-Al<sub>2</sub>O<sub>3</sub> mehaničkim legiranjem, najpre je izvršena karakterizacija korišćenih polaznih prahova, a potom i karakterizacija dobijenog nanokompozitnog Cu-Al<sub>2</sub>O<sub>3</sub> sistema.

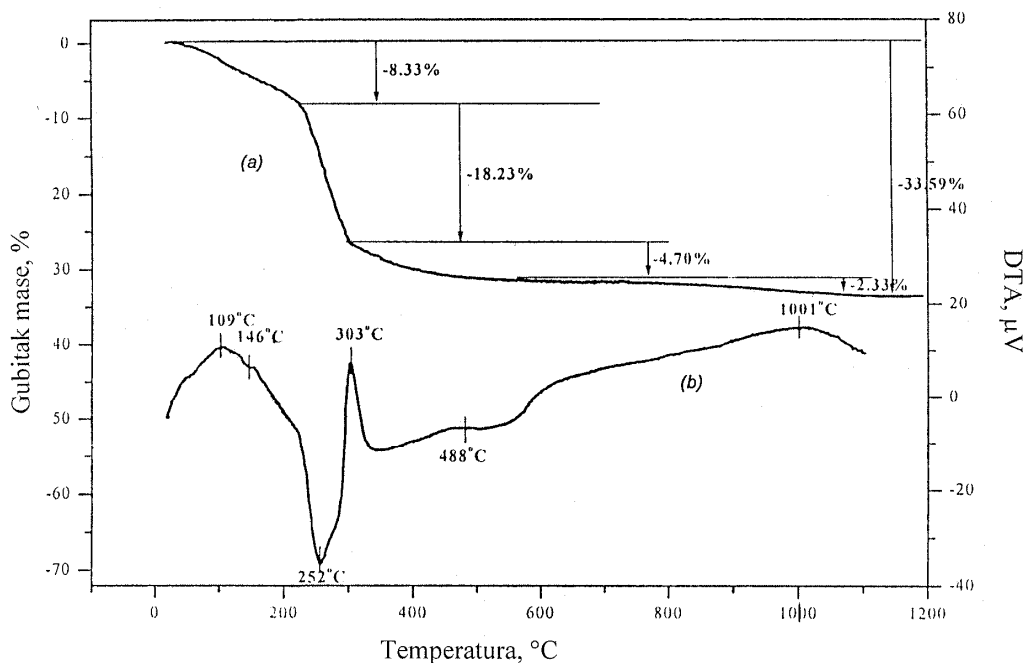
Karakterizacija praha glinice dobijenog termohemijskim postupkom, sol-gel metodom, obuhvatila je određivanje nasipne gustine, tečljivosti, specifične površine čestica, DTA-TG analizu, kao i analizu mikrostrukture skanirajućom elektronskom mikroskopijom.

U tabeli I dat je prikaz rezultata ispitivanja tečljivosti, nasipne gustine i specifične površine čestica praha glinice dobijenog termohemijskim postupkom, sol-gel metodom.

Tabela I. Tečljivost, nasipna gustina i specifična površina čestica praha  $\alpha\text{-Al}_2\text{O}_3$  dobijenog sol-gel metodom

Tečljivost	Nasipna gustina, g/cm <sup>3</sup> (srednja vrednost)	Specifična površina čestica, m <sup>2</sup> /g (srednja vrednost)
nije tečljiv	0,35	0,97

Na sl. 35 predstavljen je DT-TG dijagram za osušeni gel  $\text{Al}_2\text{O}_3$ . Osušeni gel je izabran za DTA-TG analizu u cilju provere odigravanja faznih transformacija u uzorku tokom kalcinacije.

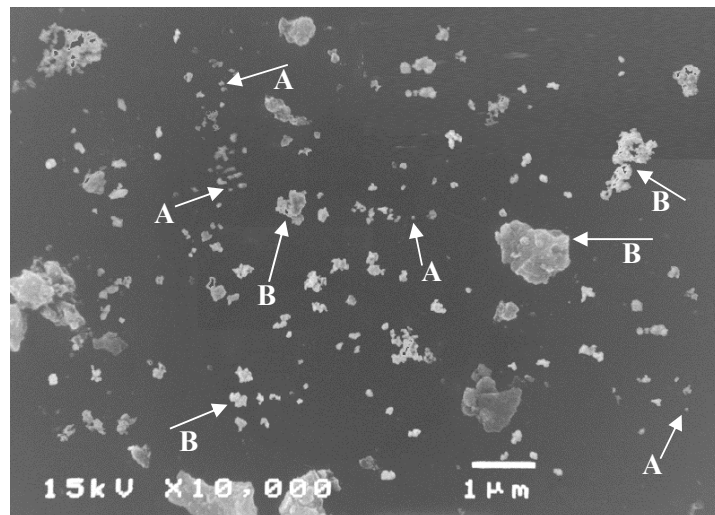


Sl. 35. DTA-TG analiza  $\text{Al}_2\text{O}_3$

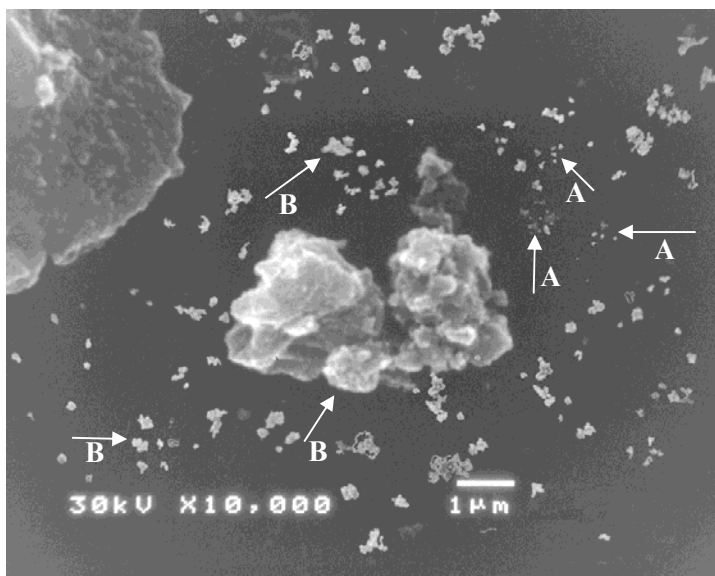
Uzorak za diferencijalno-termijsku i termo-gravimetrijsku analizu je gel osušen na 50°C u toku 12h. Osušeni gel je zagrevan konstantnom brzinom od 10 Kmin<sup>-1</sup>, od sobne temperature (20°) do 1100°C u atmosferi vazduha.

Karakterizacija dobijenog praha  $\text{Al}_2\text{O}_3$  obuhvatila je, pored navedenog, i ispitivanja skanirajućom elektronskom mikroskopijom, što je prikazano na sl. 36-38. Analiza mikrostrukture dobijenog praha ukazuje na mogućnost

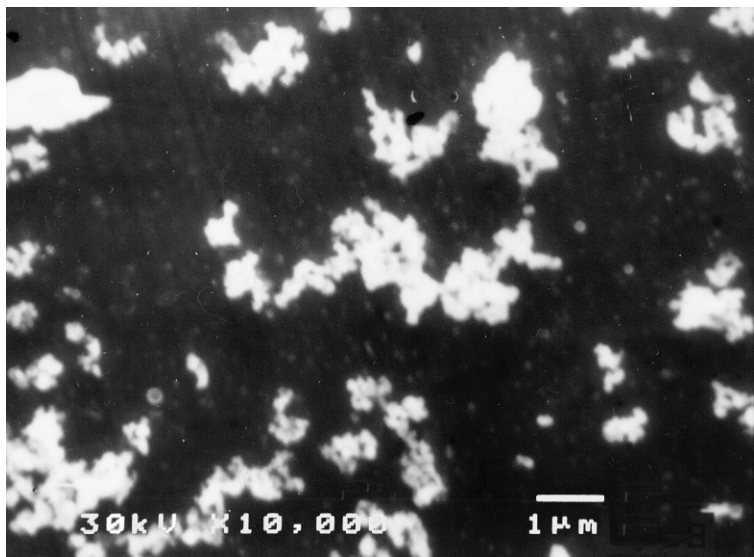
sinteze ultra fine i nano glinice postupkom dobijanja koloidnog gela dodavanjem  $\text{NH}_3 \times \text{H}_2\text{O}$  u rastvor  $\text{Al}(\text{NO}_3)_3 \times 9\text{H}_2\text{O}$ .



Sl. 36. SEM praha  $\alpha\text{-Al}_2\text{O}_3$   
(A – čestice sa veličinom manjom od 100nm, B – aglomerati)



Sl. 37. SEM praha  $\alpha\text{-Al}_2\text{O}_3$   
(A – čestice sa veličinom manjom od 100nm, B – aglomerati)



Sl. 38. SEM  $\alpha\text{-Al}_2\text{O}_3$

Kao polazni prah za dobijanje nanokompozitnog sistema Cu-Al<sub>2</sub>O<sub>3</sub> postupkom mehaničkog legiranja, kao što je rečeno, korišćen je komercijalni prah bakra dobijen elektrolitičkim postupkom (“Pometon” RTB, Bor). Rezultati hemijske analize praha su dati u tabeli II.

*Tabela II. Hemijska analiza praha bakra dobijenog elektrolitičkim postupkom*

Element	Cu	Sn	Pb	Fe	ostali elementi
Sadržaj (%)	99,9520	0,0023	0,0070	0,0030	u tragovima

Uopšteno, pri elektrolitičkom postupku dobijaju se veoma čisti prahovi. Međutim, treba istaći da prahovi dobijeni ovim postupkom relativno lako oksidišu na vazduhu, kao i da sami metali sadrže izvesnu količinu oksida. Merenje sadržaja oksida, odnosno gubitak vodonika, vršeno je prema standardu ASTM E 159. Gubitak vodonika, za korišćeni prah elektrolitičkog bakra, je 0,50%, na 875°C u toku 30 min.

Raspodela veličine čestica je određena tehnikom sitovne analize. Za čestice veće od 40  $\mu\text{m}$ , analiza se vrši (prema standardu ISO 565) na sitima montiranim na specijalnoj mašini sa mehaničkim pogonom, tako da sitnije

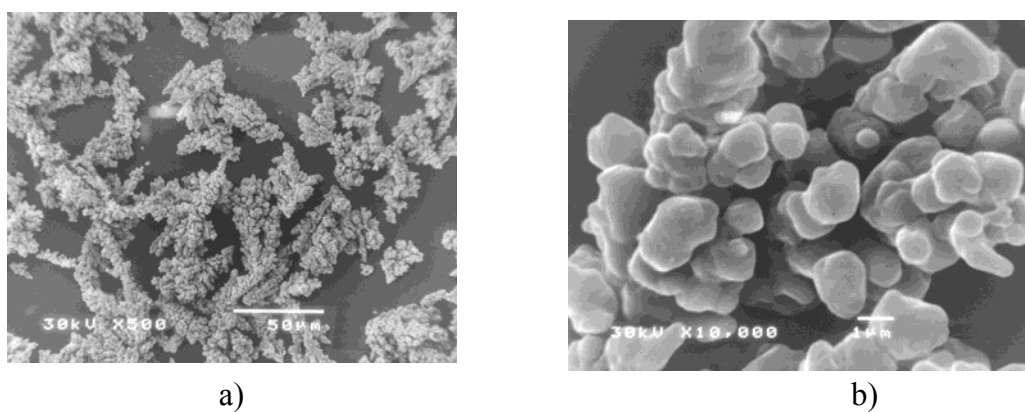
čestice propadaju na sledeće sito, odnosno sito sa najmanjim otvorima se stavlja na dno. Prah se sipa u početno sito, nakon čega započinje proces vibriranja poređanih sita oko 15 min. Posle ovog perioda meri se količina prosejanog praha iz svakog sita.

U Tabeli III dat je prikaz rezultata ispitivanja tečljivosti, nasipne gustine i raspodele veličine čestica komercijalnog praha bakra dobijenog elektrolitičkim postupkom.

*Tabela III. Nasipna gustina, tečljivost i raspodela veličine čestica praha bakra dobijenog elektrolitičkim postupkom (srednje vrednosti)*

Nasipna gustina (g/cm <sup>3</sup> )	Tečljivost	Raspodela veličine čestica, %			
		>104 µm	104-75 µm	75-43 µm	<43 µm
1,36	nije tečljiv	2	4	15	78

Na sl. 39. dat je prikaz mikrostrukture čestica korišćenog polaznog praha bakra dobijenog elektrolitičkim postupkom.



*Sl. 39. SEM čestica praha bakra dobijenog elektrolitičkim postupkom*

Karakterizacija nanokompozitnog Cu-Al<sub>2</sub>O<sub>3</sub> sistema dobijenog postupkom mehaničkog legiranja obuhvatila je određivanje nasipne gustine,

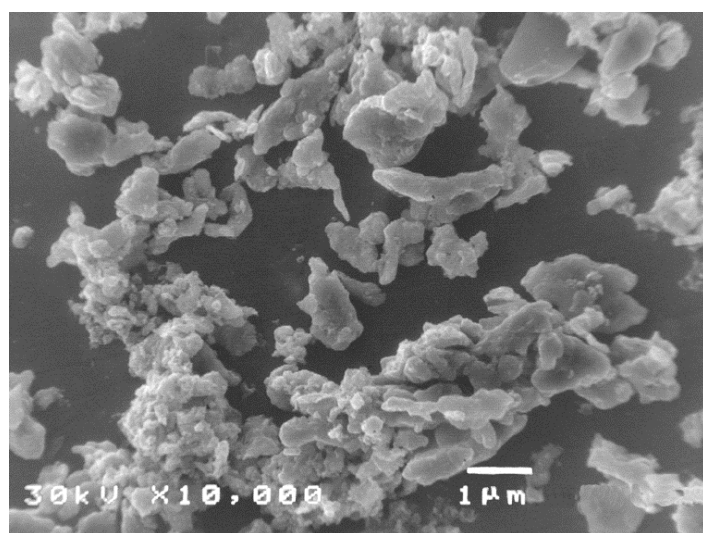
tečljivosti, specifične površine čestica, kao i analizu mikrostrukture skanirajućom elektronskom mikroskopijom.

U Tabeli IV dat je prikaz rezultata ispitivanja tečljivosti, nasipne gustine i specifične površine čestica dobijenog nanokompozitnog Cu-Al<sub>2</sub>O<sub>3</sub> praha sa različitim sadržajem disperzoida.

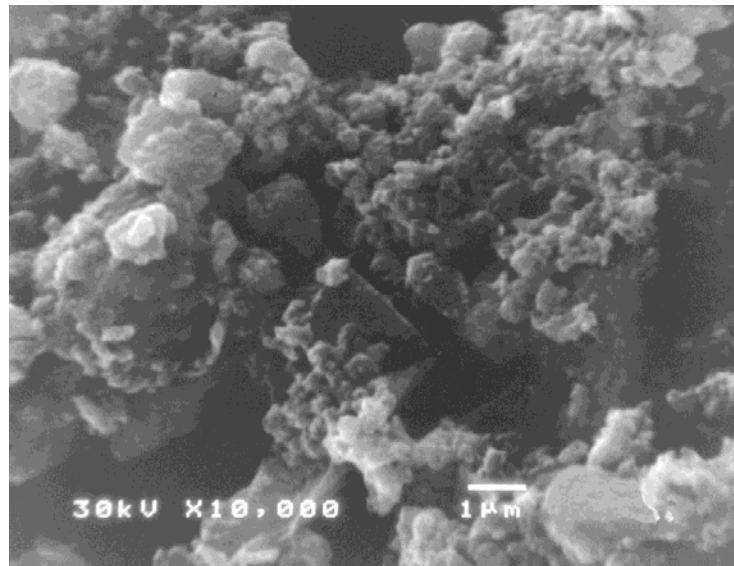
*Tabela IV. Tečljivost, nasipna gustina i specifična površina čestica nankompozitnog praha Cu-Al<sub>2</sub>O<sub>3</sub> dobijenog mehaničkim legiranjem (srednje vrednosti)*

Sadržaj Al <sub>2</sub> O <sub>3</sub> , tež. %	tečljivost	nasipna gustina, g/cm <sup>3</sup>	specifična površina, m <sup>2</sup> /g
3	nije tečljiv	1,18	0,45
5	nije tečljiv	1,12	0,40

Na sl. 40 i 41 dat je prikaz mikrostrukture (SEM) čestica praha Cu-Al<sub>2</sub>O<sub>3</sub> dobijenog postupkom mehaničkog legiranja za različite sadržaje disperzoida.



Sl. 40. SEM mehanički legiranog praha Cu-5 tež. % Al<sub>2</sub>O<sub>3</sub>



Sl. 41. SEM mehanički legiranog praha Cu-3 tež. %  $Al_2O_3$

### 5.1.2. Nanokompozitni prah Cu-Al<sub>2</sub>O<sub>3</sub>

#### dobijen termohemijskim postupkom

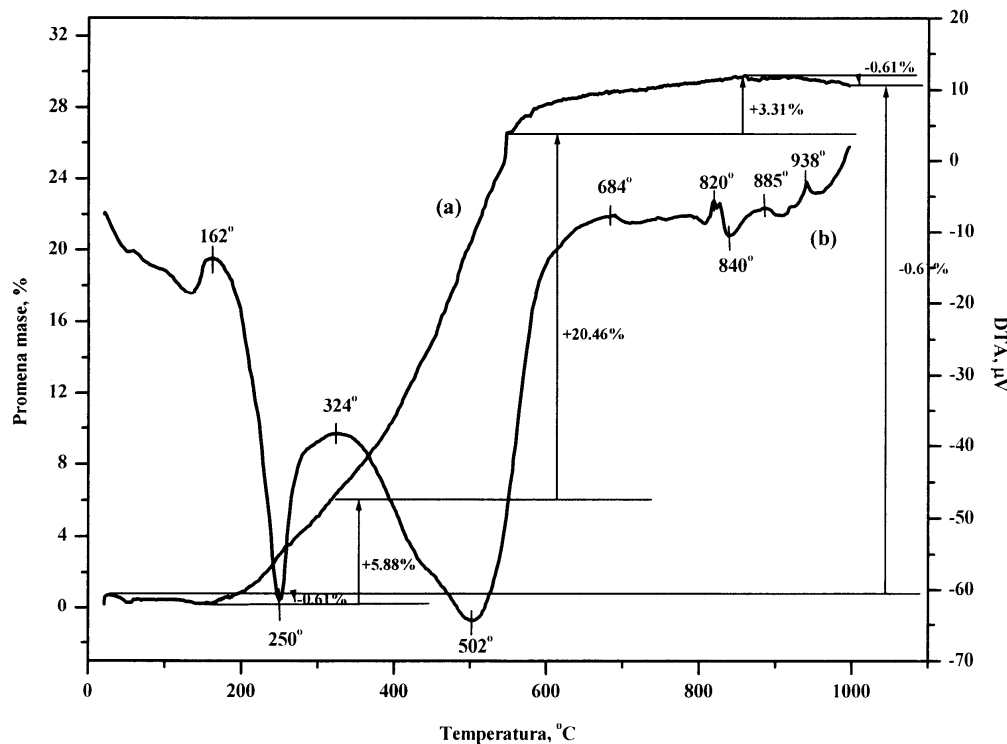
Karakterizacija nanokompozitnog praha Cu-Al<sub>2</sub>O<sub>3</sub> dobijenog termohemijskim postupkom, obuhvatila je određivanje nasipne gustine, tečljivosti, specifične površine čestica, DTA-TG analizu, rendgenostrukturnu analizu, kao i analizu mikrostrukture skanirajućom elektronskom mikroskopijom i analitičkom elektronskom mikroskopijom (AEM) povezanim sa energetskom disperzivnom spektroskopijom (EDS).

U tabeli V dat je prikaz rezultata ispitivanja tečljivosti, nasipne gustine i specifične površine čestica nanokompozitnog Cu-Al<sub>2</sub>O<sub>3</sub> praha, sa različitim sadržajem disperzoida, dobijenog termohemijskim postupkom.

Tabela V. Tečljivost, nasipna gustina i specifična površina čestica nanokompozitnog Cu-Al<sub>2</sub>O<sub>3</sub> praha dobijenog termohemijskim postupkom (srednje vrednosti)

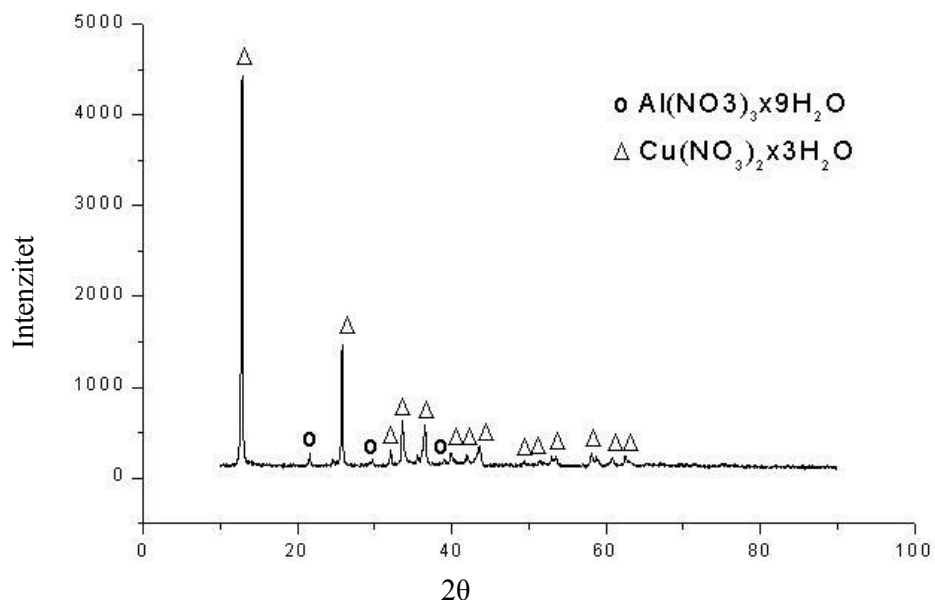
Sadržaj Al <sub>2</sub> O <sub>3</sub> , tež. %	tečljivost	nasipna gustina, g/cm <sup>3</sup>	specifična površina, m <sup>2</sup> /g
3	nije tečljiv	1,04	0,75
5	nije tečljiv	1,04	0,75

Na sl. 42 prikazan je DT-TG dijagram za nanokompozitni Cu-Al<sub>2</sub>O<sub>3</sub> prah sa sadržajem Al<sub>2</sub>O<sub>3</sub> od 5 tež.%, dobijenog termohemijskim postupkom.



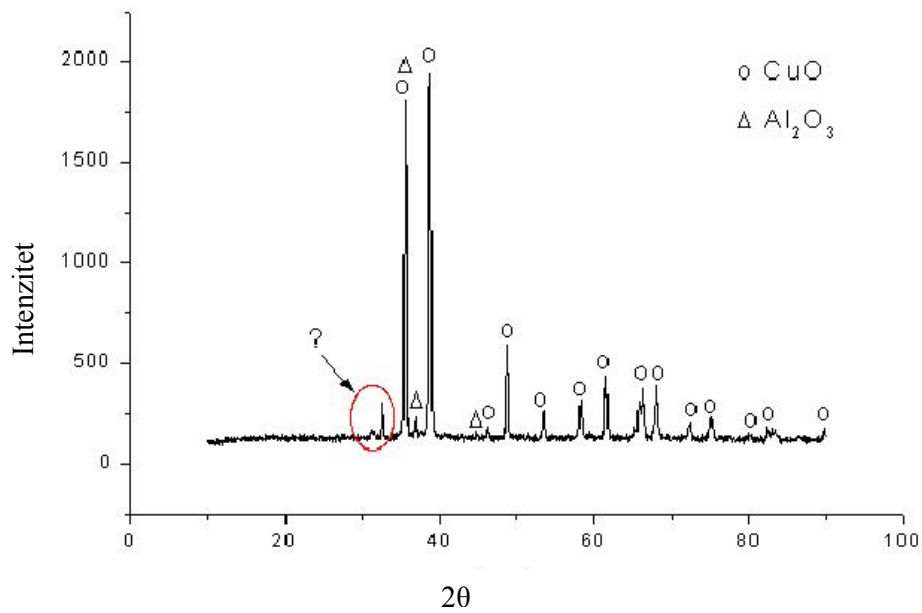
Sl. 42. DT-TGA za uzorak Cu-5tež. % Al<sub>2</sub>O<sub>3</sub> dobijen termohemijskim postupkom

Na sl. 43 prikazana je rendgenostrukturalna analiza Cu-Al<sub>2</sub>O<sub>3</sub> praha, sa tež. 3% disperzoida, dobijenog sušenjem raspršivanjem vodenog rastvora nitrata bakra i aluminijuma.



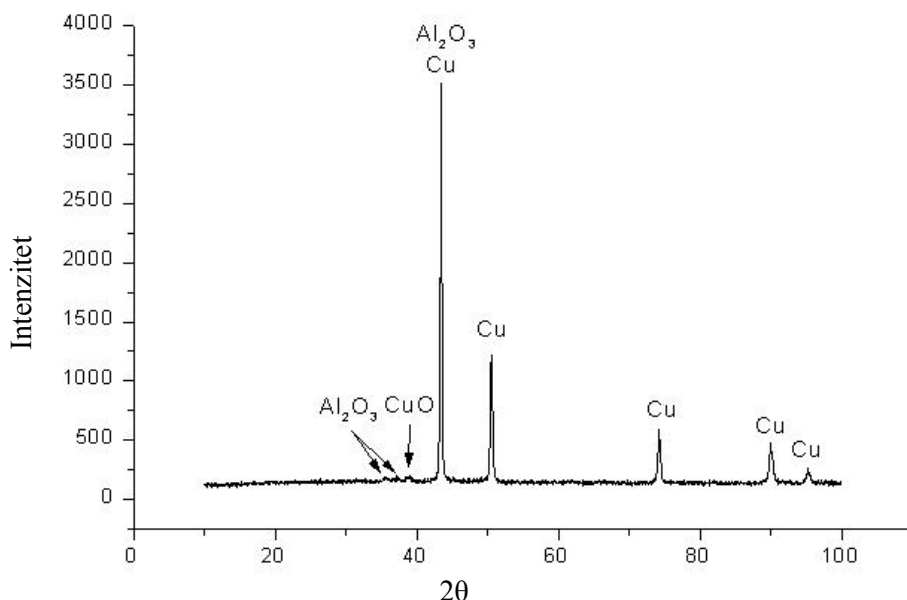
Sl. 43. Rendgenostruktturna analiza Cu-3 tež. %  $Al_2O_3$  praha nakon sušenja raspršivanjem

Rendgenostruktturna analiza nakon žarenja je prikazana na sl. 44.



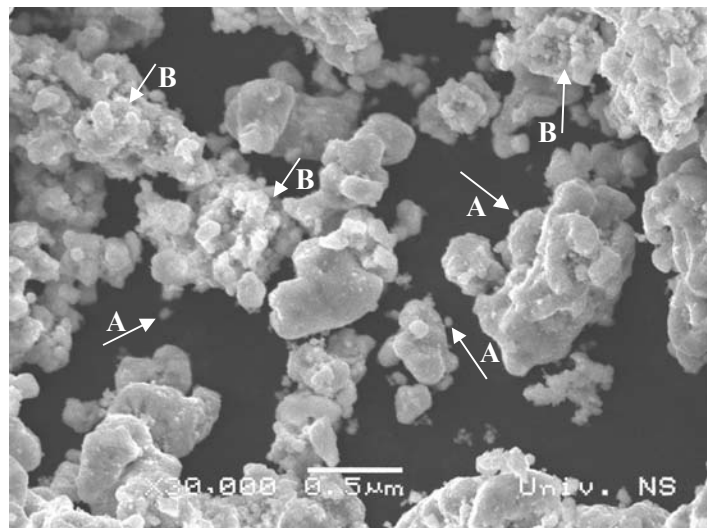
Sl. 44. Rendgenostruktturna analiza osušenog Cu-3 tež. %  $Al_2O_3$  praha nakon termičkog tretmana

Na sl. 45 prikazan je RDA dijagram Cu-3 tež. % Al<sub>2</sub>O<sub>3</sub> praha nakon procesa redukcije.

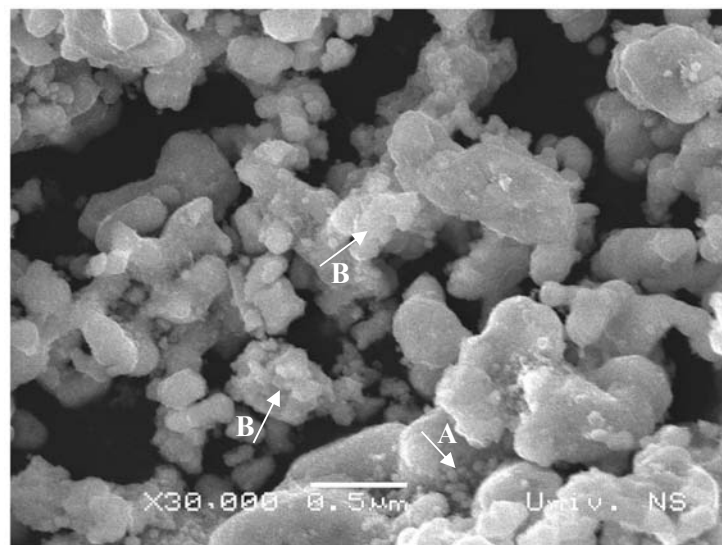


Sl. 45. Rendgenostruktturna analiza ožarenog Cu-3 tež. % Al<sub>2</sub>O<sub>3</sub> praha nakon procesa redukcije

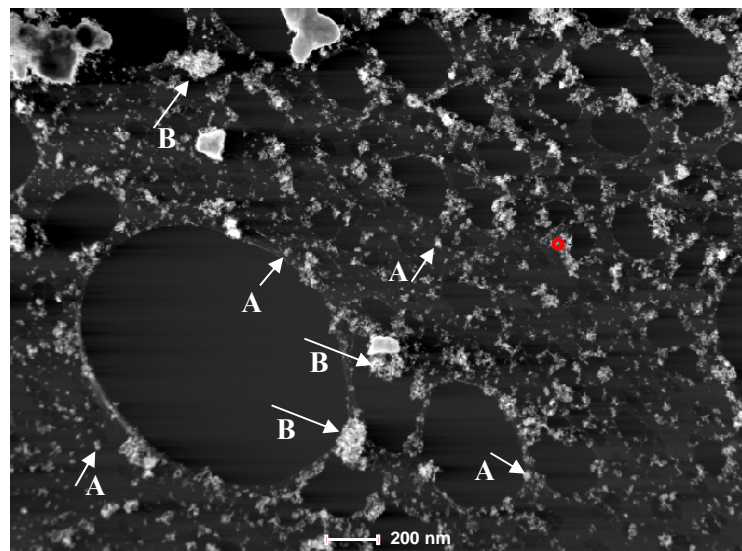
Karakterizacija nanokompozitnog Cu-Al<sub>2</sub>O<sub>3</sub> praha, dobijenog termohemijskim postupkom, obuhvatila je, pored navedenog, i ispitivanja skanirajućom elektronskom mikroskopijom (SEM), što je prikazano na sl. 46-47, kao i ispitivanja analitičkom elektronskom mikroskopijom (AEM) povezanom sa energetskom disperzivnom spektroskopijom (EDS), čiji su rezultati prikazani na sl. 48-50. Oblik čestica dobijenog praha određen je u skladu sa ISO standardom 3252.



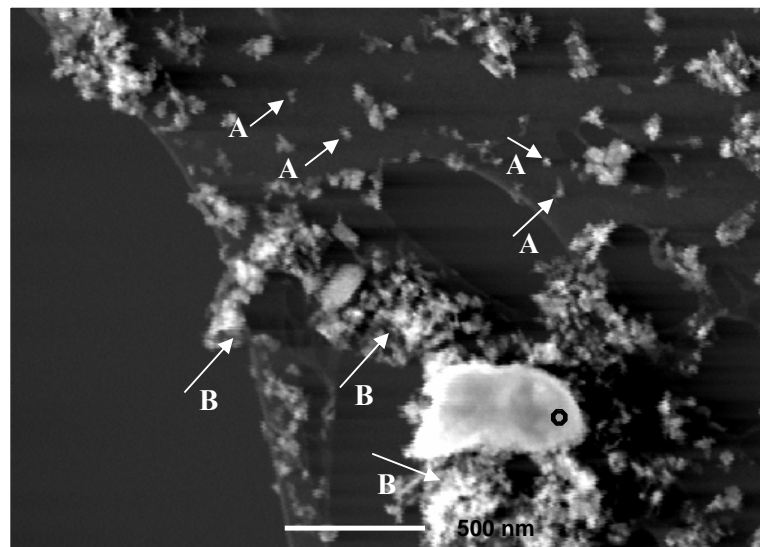
Sl. 46. SEM nanokompozitnog Cu-3 tež. %  $\text{Al}_2\text{O}_3$  praha  
(A – čestice sa veličinom manjom od 100nm, B – aglomerati)



Sl. 47. SEM nanokompozitnog Cu-5 tež. %  $\text{Al}_2\text{O}_3$  praha  
(A – čestice sa veličinom manjom od 100nm, B – aglomerati)

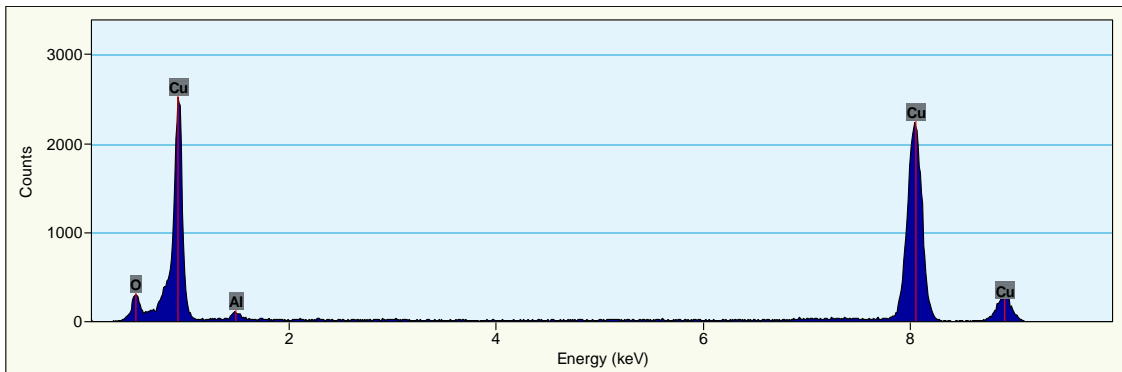


Sl. 48. AEM nanokompozitnog Cu-5 tež. %  $Al_2O_3$  praha  
(A – čestice sa veličinom manjom od 100nm, B – aglomerati)



Sl. 49. AEM nanokompozitnog Cu-5 tež. %  $Al_2O_3$  praha  
(A – čestice sa veličinom manjom od 100nm, B – aglomerati)

Na sl. 49 označeno je mesto na kome je vršena analiza energetskom disperzivnom spektroskopijom nanokompozitnog Cu-5 tež. % Al<sub>2</sub>O<sub>3</sub> praha. Rezultati EDS analize prikazani su na sl. 50, a statistički podaci u tabeli VI.



Sl. 50. EDS analiza nanokompozitnog Cu-5 tež. % Al<sub>2</sub>O<sub>3</sub> praha

Tabela VI. Statistički podaci EDS analize

Element	Tež.%	Atom. %	Greška merenja	Korekcija detekcije	k - faktor	Korekcija absorpcije
O	6,087	20,191	0,189	0,376	2,702	1,000
Al	1,224	2,408	0,047	0,952	1,044	1,000
Cu	92,687	77,399	0,502	0,996	1,743	1,000

### 5.1.3. Nanokompozitni prah Cu-Ag-Al<sub>2</sub>O<sub>3</sub>

Sinteza Cu-Ag-Al<sub>2</sub>O<sub>3</sub> nanokompozitnog sistema vršena je na sledeća dva načina:

- mehaničkim legiranjem prethodno sintetisanog nanokompozitnog Cu-Al<sub>2</sub>O<sub>3</sub> praha termohemijskim postupkom i praha srebra dobijenog hemijskim putem,
- mehaničkim legiranjem Cu-Al<sub>2</sub>O<sub>3</sub> i Cu-Ag sistema dobijenih termohemijskim postupkom.

Karakterizacija dobijenog nanokompozitnog praha Cu-Ag-Al<sub>2</sub>O<sub>3</sub> obuhvatila je određivanje nasipne gustine, tečljivosti, specifične površine čestica, kao i analizu mikrostrukture skanirajućom elektronskom mikroskopijom.

U tabeli VII dat je prikaz rezultata ispitivanja tečljivosti, nasipne gustine i specifične površine čestica nanokompozitnog Cu-Ag-Al<sub>2</sub>O<sub>3</sub> praha dobijenog mehaničkim legiranjem prethodno sintetisanog nanokompozitnog Cu-Al<sub>2</sub>O<sub>3</sub> praha termohemijskim postupkom i praha srebra dobijenog hemijskim putem.

*Tabela VII. Tečljivost, nasipna gustina i specifična površina čestica nanokompozitnog Cu-Ag-Al<sub>2</sub>O<sub>3</sub> praha dobijenog mehaničkim legiranjem prethodno sintetisanog nanokompozitnog Cu-Al<sub>2</sub>O<sub>3</sub> praha termohemijskim postupkom i praha srebra dobijenog hemijskim putem (srednje vrednosti)*

Cu, tež. %	Ag, tež. %	Al <sub>2</sub> O <sub>3</sub> , tež. %	tečljivost	nasipna gustina, g/cm <sup>3</sup>	specifična površina, m <sup>2</sup> /g
85,5	10	4,5	nije tečljiv	1,20	0,45
76	20	4	nije tečljiv	1,18	0,46

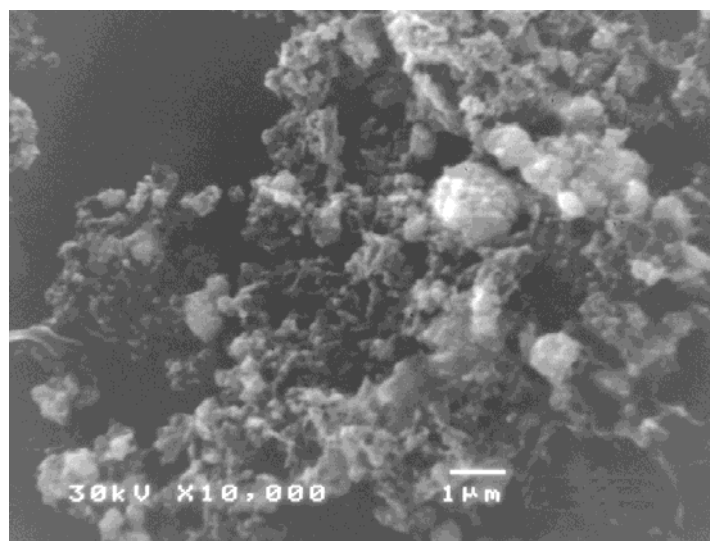
U tabeli VIII dat je prikaz rezultata ispitivanja tečljivosti, nasipne gustine i specifične površine čestica nanokompozitnog Cu-Ag-Al<sub>2</sub>O<sub>3</sub> praha dobijenog mehaničkim legiranjem Cu-Al<sub>2</sub>O<sub>3</sub> i Cu-Ag sistema, dobijenih termohemijskim postupkom.

*Tabela VIII. Tečljivost, nasipna gustina i specifična površina čestica nanokompozitnog Cu-Ag-Al<sub>2</sub>O<sub>3</sub> praha dobijenog mehaničkim legiranjem Cu-Al<sub>2</sub>O<sub>3</sub> i Cu-Ag sistema dobijenih termohemijskim postupkom (srednje vrednosti)*

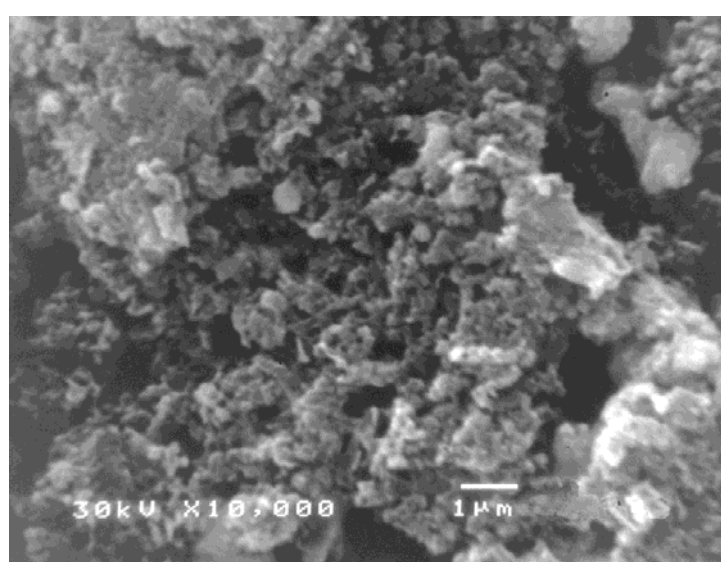
Cu, tež. %	Ag, tež. %	Al <sub>2</sub> O <sub>3</sub> , tež. %	tečljivost	nasipna gustina, g/cm <sup>3</sup>	specifična površina, m <sup>2</sup> /g
70	25	5	nije tečljiv	1,18	0,46

Na sl. 51 dat je prikaz mikrostrukture (SEM) čestica Cu-Ag-Al<sub>2</sub>O<sub>3</sub> praha dobijenog mehaničkim legiranjem prethodno sintetisanog nanokompozitnog Cu-Al<sub>2</sub>O<sub>3</sub> praha termohemijskim postupkom i praha srebra dobijenog hemijskim putem.

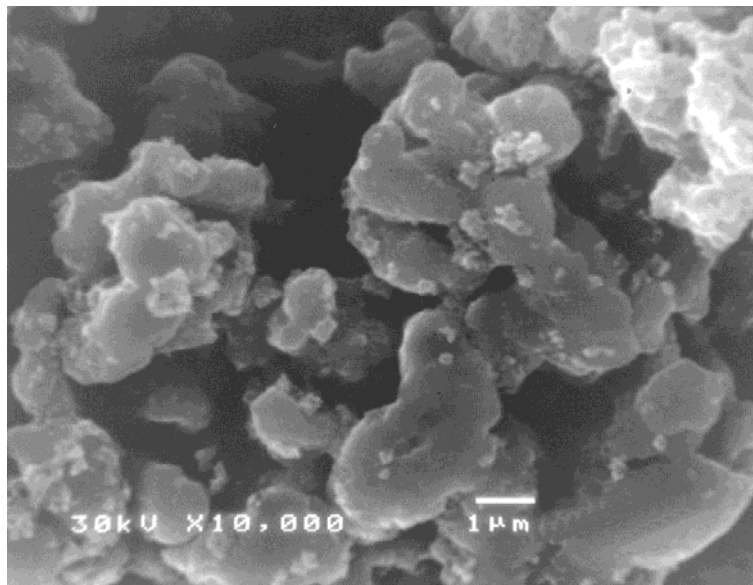
Na sl. 52 i 53 prikazane su SEM mikrofotografije nanokompozitnog Cu-Ag-Al<sub>2</sub>O<sub>3</sub> praha dobijenog mehaničkim legiranjem Cu-Al<sub>2</sub>O<sub>3</sub> i Cu-Ag sistema sintetisanih termohemijskim postupkom.



Sl. 51. SEM nanokompozitnog Cu-Ag-Al<sub>2</sub>O<sub>3</sub> praha



Sl. 52. SEM nanokompozitnog Cu-Ag-Al<sub>2</sub>O<sub>3</sub> praha



Sl. 53. SEM nanokompozitnog Cu-Ag-Al<sub>2</sub>O<sub>3</sub> praha

## 5.2. Karakterizacija sinterovanih sistema

Pripremljeni sistemi polaznih prahova najpre su presovani delovanjem sile pritiska na smešu sa obe strane (dvostrano presovanje), u alatu dimenzija 8×32mm na visinu h=2mm, pritiskom presovanja od 500MPa.

U tabeli IX date su srednje vrednosti gustine presovanih uzoraka, određene iz odnosa mase i zapremine.

*Tabela IX. Srednje vrednosti gustine presovanih uzoraka ispitivanih sistema*

Način sinteze	Uzorak	$d_p, \text{g/cm}^3$
Termohemijski postupak sinteze prahova	Cu-3%Al <sub>2</sub> O <sub>3</sub>	5,14
	Cu-5%Al <sub>2</sub> O <sub>3</sub>	5,08
Mehaničko legiranje	Cu-3%Al <sub>2</sub> O <sub>3</sub>	5,02
	Cu-5%Al <sub>2</sub> O <sub>3</sub>	4,99
Termohemijski postupak/Mehaničko legiranje	Cu-10%Ag-4,5%Al <sub>2</sub> O <sub>3</sub> *	4,98
	Cu-20%Ag-4%Al <sub>2</sub> O <sub>3</sub> *	4,71
	Cu-25%Ag-5%Al <sub>2</sub> O <sub>3</sub> **	4,99

\* Sistem dobijen mehaničkim legiranjem Cu-Al<sub>2</sub>O<sub>3</sub> praha dobijenog termohemijskim postupkom i hemijski dobijenog srebra

\*\* Sistem dobijen mehaničkim legiranjem prahova Cu-Al<sub>2</sub>O<sub>3</sub> i Cu-Ag dobijenih termohemijskim postupkom

Sinterovanje uzoraka Cu-Al<sub>2</sub>O<sub>3</sub> sistema vršeno je u atmosferi vodonika u temperaturnom opsegu 800-1000°C u toku 15-120 minuta. Trokomponentni Cu-Ag-Al<sub>2</sub>O<sub>3</sub> sistem sinterovan je u atmosferi vodonika u temperaturnom opsegu 600-800°C u toku 15-120 minuta.

Karakterizacija sinterovanih sistema obuhvatila je ispitivanje gustine, relativne promene zapremine, električnih i mehaničkih svojstava, kao i ispitivanja skanirajućom elektronskom mikroskopijom (SEM), energetskom disperzivnom spektroskopijom (EDS), ispitivanja metodom fokusiranja snopa jona (FIB – Focused Ion Beam), transmisionom elektronskom mikroskopijom (TEM), ispitivanja selktovanih difrakcionih polja (SADP – Selected Area Diffraction Pattern) i ispitivanja transmisionom elektronskom mikroskopijom visoke rezolucije (HRTEM).

### 5.2.1. Sistem Cu-Al<sub>2</sub>O<sub>3</sub> nanokompozitnog praha dobijenog mehaničkim legiranjem

U tabeli X prikazane su srednje vrednosti gustine, određene iz odnosa mase i zapremine, i relativne promene zapremine u zavisnosti od sadržaja Al<sub>2</sub>O<sub>3</sub>, temperature i vremena sinterovanja za uzorke sinterovanog Cu-Al<sub>2</sub>O<sub>3</sub> sistema na bazi prahova dobijenih mehaničkim legiranjem komercijalnog praha bakra dobijenog elektrolitičkim postupkom i praha Al<sub>2</sub>O<sub>3</sub> dobijenog termohemijskim postupkom, sol-gel metodom.

*Tabela X. Srednje vrednosti gustine i ΔV/V<sub>0</sub> uzorka sinterovanog Cu-Al<sub>2</sub>O<sub>3</sub> sistema na bazi prahova dobijenih mehaničkim legiranjem*

Temperatura, °C	Vreme, min	Gustina d <sub>s</sub> , g/cm <sup>3</sup>	ΔV/V <sub>0</sub> (srednja vrednost)
<b>Cu-3 tež. % Al<sub>2</sub>O<sub>3</sub></b>			
800	15	5,35	0,0988
	30	5,44	0,1144
	60	5,42	0,1168
	120	5,68	0,1324
900	15	5,78	0,1432
	30	5,90	0,1822
	60	5,98	0,1998
	120	5,97	0,1996
1000	15	6,10	0,1902
	30	6,18	0,2042
	60	6,21	0,2048
	120	6,19	0,2046
<b>Cu-5 tež. % Al<sub>2</sub>O<sub>3</sub></b>			
800	15	5,02	0,0494
	30	5,24	0,0832
	60	5,30	0,0988
	120	5,65	0,1094
900	15	5,74	0,1528
	30	5,72	0,1624
	60	5,86	0,1640
	120	5,98	0,1638
1000	15	5,94	0,1824
	30	5,98	0,1945
	60	5,99	0,1946
	120	5,98	0,1946

Rezultati merenja specifičnog električnog otpora uzoraka ispitivanih sinterovanih Cu-Al<sub>2</sub>O<sub>3</sub> sistema na bazi prahova dobijenih mehaničkim legiranjem u zavisnosti od sadržaja Al<sub>2</sub>O<sub>3</sub>, temperature i vremena sinterovanja prikazani su u tabeli XI.

*Tabela XI. Srednje vrednosti specifičnog električnog otpora sinterovanih Cu-Al<sub>2</sub>O<sub>3</sub> sistema na bazi prahova dobijenih mehaničkim legiranjem*

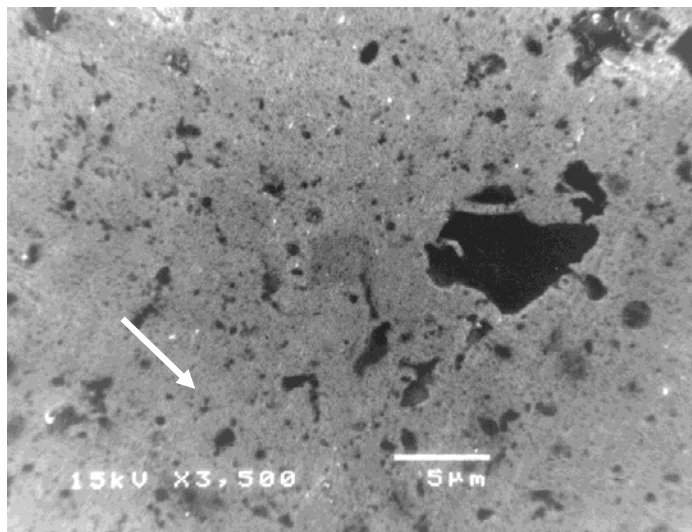
Temperatura, °C	Vreme, min	Specifični električni otpor, $\rho$ , ( $10^{-6}\Omega\text{m}$ )
<b>Cu-3 tež. %Al<sub>2</sub>O<sub>3</sub></b>		
800	15	0,09545
	30	0,09211
	60	0,08154
	120	0,08055
900	15	0,07976
	30	0,07178
	60	0,06957
	120	0,06805
1000	15	0,06438
	30	0,06211
	60	0,06210
	120	0,06216
<b>Cu-5 tež. % Al<sub>2</sub>O<sub>3</sub></b>		
800	15	0,09945
	30	0,09256
	60	0,09434
	120	0,08217
900	15	0,08147
	30	0,07547
	60	0,07323
	120	0,07145
1000	15	0,07188
	30	0,07011
	60	0,07010
	120	0,07012

U tabeli XII prikazani su rezultati merenja tvrdoće sinterovanih Cu-Al<sub>2</sub>O<sub>3</sub> sistema na bazi prahova dobijenih mehaničkim legiranjem u zavisnosti od sadržaja Al<sub>2</sub>O<sub>3</sub>, temperature i vremena sinterovanja.

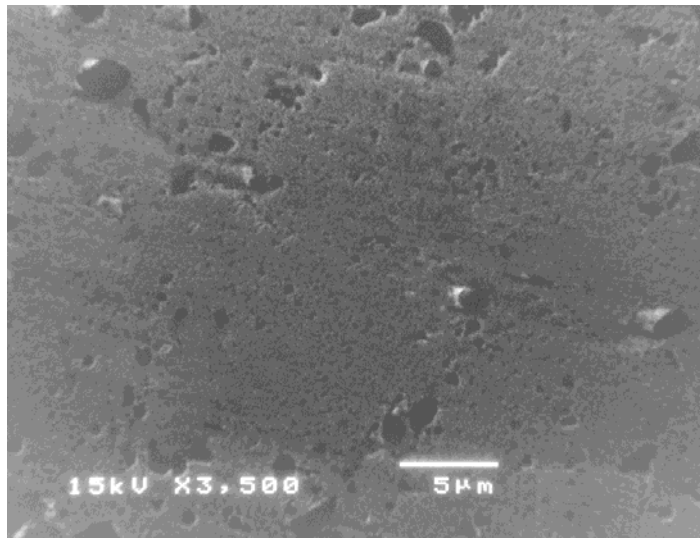
*Tabela XII. Srednje vrednosti tvrdoće sinterovanih Cu-Al<sub>2</sub>O<sub>3</sub> sistema na bazi prahova dobijenih mehaničkim legiranjem*

Temperatura, °C	Vreme, min	Tvrdoća, HRB 10/40 (srednja vrednost)
<b>Cu-3 tež. % Al<sub>2</sub>O<sub>3</sub></b>		
800	15	69,4
	30	74,7
	60	86,1
	120	88,1
900	15	87,1
	30	88,4
	60	89,4
	120	90,1
1000	15	95,1
	30	98,2
	60	98,4
	120	98,4
<b>Cu-5 tež. % Al<sub>2</sub>O<sub>3</sub></b>		
800	15	72,4
	30	74,2
	60	81,0
	120	82,4
900	15	81,4
	30	82,4
	60	90,7
	120	94,1
1000	15	94,4
	30	96,4
	60	96,8
	120	96,6

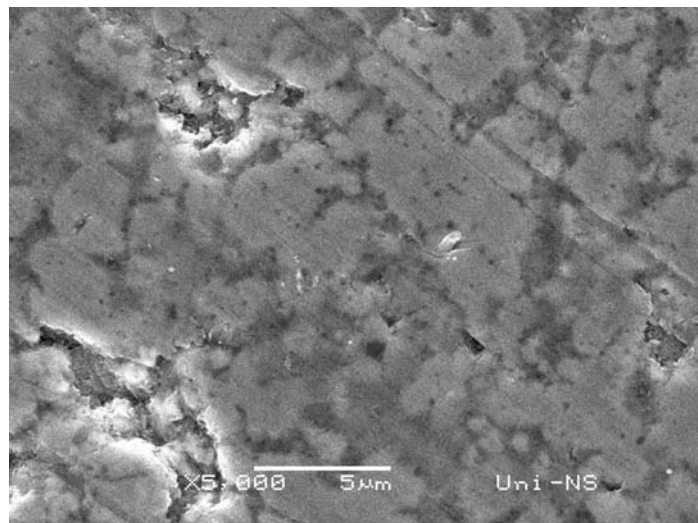
Karakterizacija dobijenog Cu-Al<sub>2</sub>O<sub>3</sub> sistema obuhvatila je, pored navedenog, i ispitivanja skanirajućom elektronskom mikroskopijom, što je prikazano na sl. 54-57 za sistem sa 3 tež. % Al<sub>2</sub>O<sub>3</sub>, odnosno na sl. 59-62 za sistem sa 5 tež. % Al<sub>2</sub>O<sub>3</sub>, kao i ispitivanja energetskom disperzivnom spektroskopijom, čiji su rezultati prikazani na sl. 58 i sl. 63.



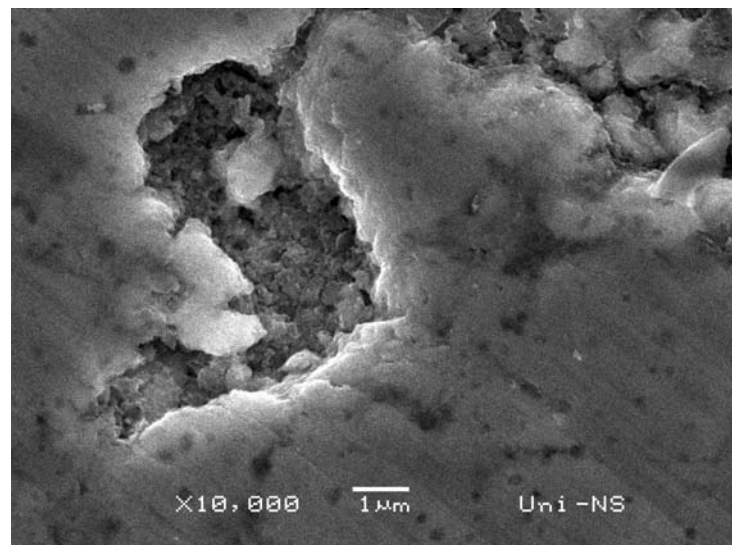
Sl. 54. SEM sinterovanog Cu-3 tež. %  $Al_2O_3$  sistema ( $800^{\circ}C/120min$ )



Sl. 55. SEM sinterovanog Cu-3 tež. %  $Al_2O_3$  sistema ( $900^{\circ}C/120min$ )

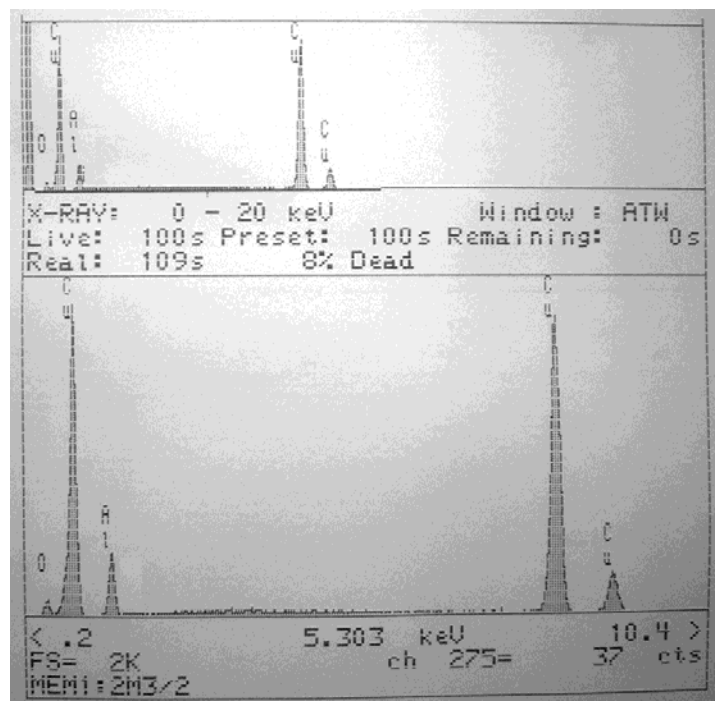


Sl. 56. SEM sinterovanog Cu-3 tež. % Al<sub>2</sub>O<sub>3</sub> sistema (1000°C/30min)

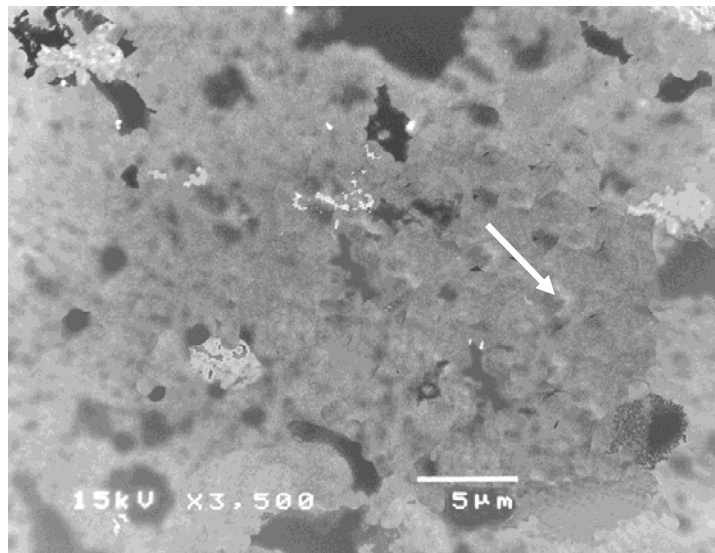


Sl. 57. SEM sinterovanog Cu-3 tež. % Al<sub>2</sub>O<sub>3</sub> sistema (1000°C/30min)

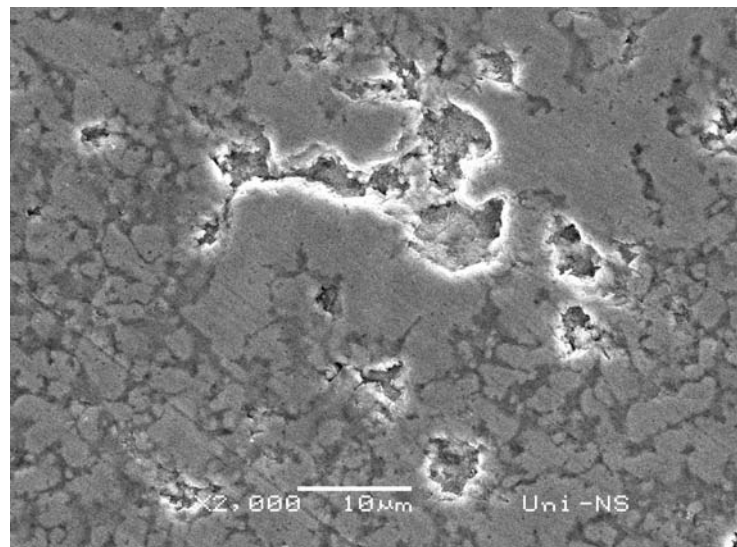
Na sl. 54 strelicom je označeno mesto na kome je vršena analiza energetskom disperzivnom spektroskopijom za sistem sa 3 tež. % Al<sub>2</sub>O<sub>3</sub>. Rezultati EDS analize prikazani su na sl. 58.



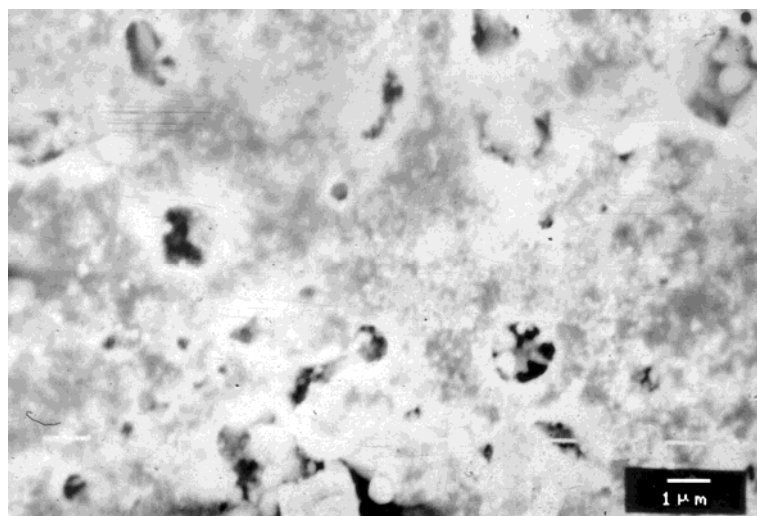
Sl. 58. EDS analiza u tački uzorka sinterovanog Cu-3 tež. %  $Al_2O_3$  sistema ( $800^{\circ}C/120min$ ) na bazi prahova dobijenih mehaničkim legiranjem



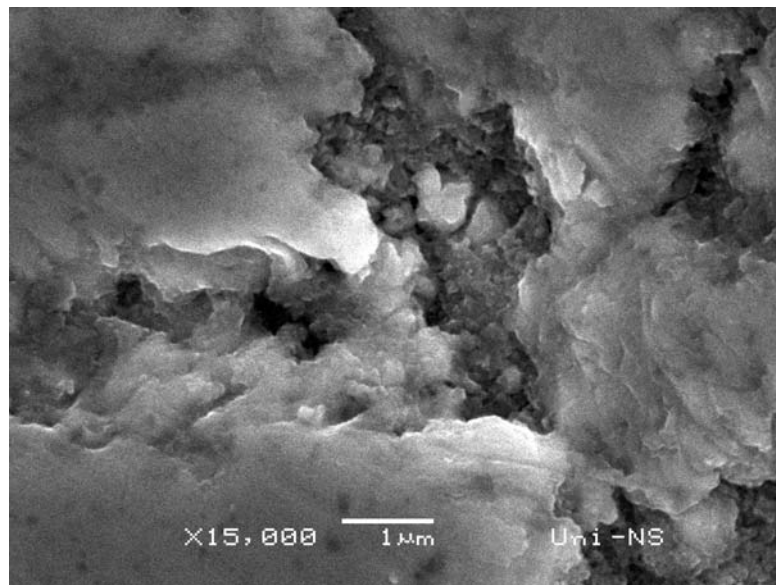
Sl. 59. SEM sinterovanog Cu-5 tež. %  $Al_2O_3$  sistema ( $800^{\circ}C/120min$ )



Sl. 60. SEM sinterovanog Cu-5 tež. %  $Al_2O_3$  sistema ( $900^{\circ}C/120min$ )

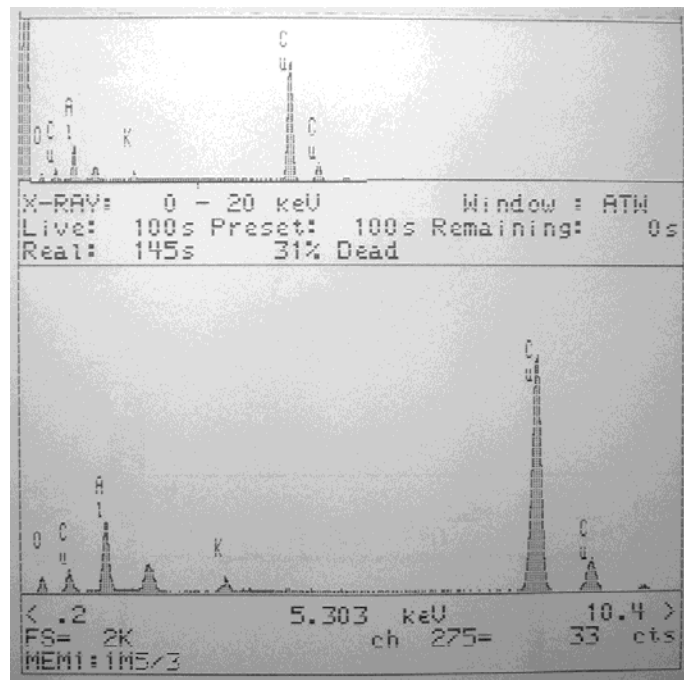


Sl. 61. SEM sinterovanog Cu-5 tež. %  $Al_2O_3$  sistema ( $1000^{\circ}C/30min$ )



Sl. 62. SEM sinterovanog Cu-5 tež. %  $Al_2O_3$  sistema ( $1000^\circ C/30\text{min}$ )

Na sl. 59 strelicom je označeno mesto na kome je vršena analiza energetskom disperzivnom spektroskopijom za sistem sa 5 tež. %  $Al_2O_3$ . Rezultati EDS analize prikazani su na sl. 63.



Sl. 63. EDS analiza u tački sinterovanog Cu-5 tež. %  $Al_2O_3$  sistema ( $800^\circ C/120\text{min}$ ) na bazi prahova dobijenih mehaničkim legiranjem

### 5.2.2. Sistem Cu-Al<sub>2</sub>O<sub>3</sub> nanokompozitnog praha dobijenog termohemijskim postupkom

Srednje vrednosti gustine, određene iz odnosa mase i zapremine, i relativne promene zapremine u zavisnosti od sadržaja Al<sub>2</sub>O<sub>3</sub>, temperature i vremena sinterovanja za uzorke Cu-Al<sub>2</sub>O<sub>3</sub> sinterovanog sistema na bazi nanokompozitnih prahova dobijenih termohemijskim postupkom prikazane su u tabeli XIII.

*Tabela XIII. Srednje vrednosti gustine i  $\Delta V/V_0$  uzorka sinterovanog Cu-Al<sub>2</sub>O<sub>3</sub> sistema na bazi prahova dobijenih termohemijskim postupkom*

Temperatura, °C	Vreme, min	Gustina d, g/cm <sup>3</sup>	$\Delta V/V_0$ (srednja vrednost)
<b>Cu-3 tež. % Al<sub>2</sub>O<sub>3</sub></b>			
800	15	5,58	0,1042
	30	5,62	0,1194
	60	5,70	0,1442
	120	5,68	0,1448
900	15	5,84	0,1821
	30	6,14	0,1932
	60	6,42	0,1933
	120	6,44	0,1929
<b>Cu-5 tež. % Al<sub>2</sub>O<sub>3</sub></b>			
800	15	5,28	0,0612
	30	5,34	0,0982
	60	5,52	0,1191
	120	5,58	0,1332
900	15	5,94	0,1763
	30	5,98	0,1824
	60	6,14	0,1894
	120	6,20	0,1888

U tabeli XIV prikazani su rezultati ispitivanja specifičnog električnog otpora uzorka sinterovanog Cu-Al<sub>2</sub>O<sub>3</sub> sistema na bazi prahova dobijenih termohemijskim postupkom u zavisnosti od sadržaja Al<sub>2</sub>O<sub>3</sub>, temperature i vremena sinterovanja.

*Tabela XIV. Srednje vrednosti specifičnog električnog otpora sinterovanog Cu-Al<sub>2</sub>O<sub>3</sub> sistema na bazi prahova Cu-Al<sub>2</sub>O<sub>3</sub> dobijenih termohemijskim postupkom*

Temperatura, °C	Vreme, min	Specifični električni otpor $\bar{\rho}$ , ( $10^{-6}\Omega\text{m}$ )
<b>Cu-3 tež. % Al<sub>2</sub>O<sub>3</sub></b>		
800	15	0,07413
	30	0,07128
	60	0,06581
	120	0,06232
900	15	0,06127
	30	0,04007
	60	0,03971
	120	0,03927
<b>Cu-5 tež. % Al<sub>2</sub>O<sub>3</sub></b>		
800	15	0,08941
	30	0,08827
	60	0,08146
	120	0,07725
900	15	0,07413
	30	0,06981
	60	0,06218
	120	0,06177

Rezultati merenja tvrdoće Cu-Al<sub>2</sub>O<sub>3</sub> sinterovanog sistema na bazi prahova dobijenih termohemijskim postupkom u zavisnosti od sadržaja Al<sub>2</sub>O<sub>3</sub>, temperature i vremena sinterovanja prikazani su u tabeli XV.

*Tabela XV. Srednje vrednosti tvrdoće sinterovanog Cu-Al<sub>2</sub>O<sub>3</sub> sistema na bazi prahova Cu-Al<sub>2</sub>O<sub>3</sub> dobijenih termohemijskim postupkom*

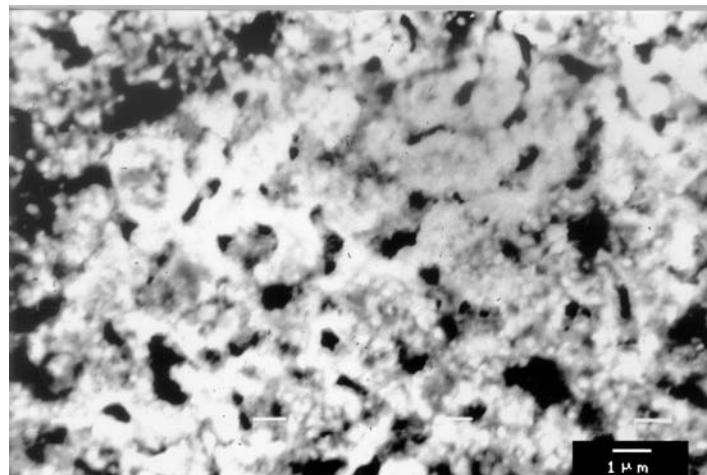
Temperatura, °C	Vreme, min	Tvrdoća, HRB 10/40 (srednja vrednost)
<b>Cu-3 tež. % Al<sub>2</sub>O<sub>3</sub></b>		
800	15	88,2
	30	92,1
	60	94,8
	120	96,9
900	15	94,4
	30	98,1
	60	98,4
	120	99,5
<b>Cu-5 tež. % Al<sub>2</sub>O<sub>3</sub></b>		
800	15	89,1
	30	93,1
	60	95,2
	120	96,1
900	15	95,1
	30	99,4
	60	99,9
	120	99,8

U cilju sagledavanja postignutih efekata ojačavanja, odnosno postizanja dobre kombinacije mehanička-električna svojstva kod sinterovanih Cu-Al<sub>2</sub>O<sub>3</sub> sistema na bazi prahova dobijenih termohemijskim postupkom, kroz uporednu analizu, u sledećoj tabeli prikazani su rezultati ispitivanja specifičnog električnog otpora i tvrdoće sinterovanog Cu-Al<sub>2</sub>O<sub>3</sub> sistema na bazi smeše prahova dobijene homogenizacijom komercijalnih prahova elektrolitičkim postupkom dobijenog bakra i glinice. Komercijalni prah bakra dobijen elektrolitičkim postupkom, većiće čestica -45µm, pomešan je u mešaču tipa "dupli konus" sa komercijalnim prahom Al<sub>2</sub>O<sub>3</sub>, srednje veličine čestica 0,8µm. Pripremljena smeša prahova presovana je pritiskom presovanja od 500MPa, a sinterovanje dobijenih uzoraka vršeno je u atmosferi vodonika u temperaturnom opsegu 800-1000°C u toku 15-120 min.

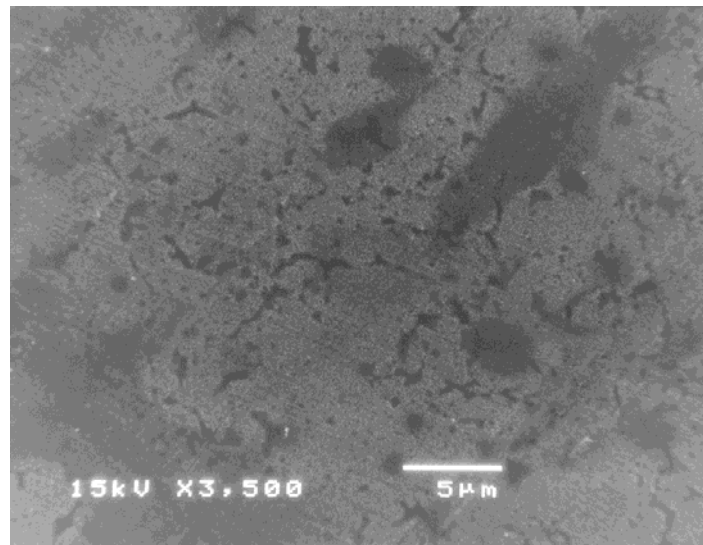
*Tabela XVI. Rezultati ispitivanja specifičnog električnog otpora i tvrdoće (srednje vrednosti) sinterovanog Cu-5tež.%Al<sub>2</sub>O<sub>3</sub> sistema na bazi smeše prahova dobijene homogenizacijom komercijalnih prahova*

Cu-5tež.%Al <sub>2</sub> O <sub>3</sub>			
Temperatura, °C	Vreme, min	Specifični električni otpor $\rho$ , ( $10^{-6}\Omega\text{m}$ )	Tvrdoća, HRB 10/40 (srednja vrednost)
800	15	0,1127	69,4
	30	0,1054	71,2
	60	0,1037	72,2
	120	0,1012	72,8
900	15	0,0983	72,6
	30	0,0957	72,8
	60	0,0951	72,6
	120	0,0950	75,5
1000	15	0,0829	78,6
	30	0,0823	76,4
	60	0,0822	84,2
	120	0,0823	90,0

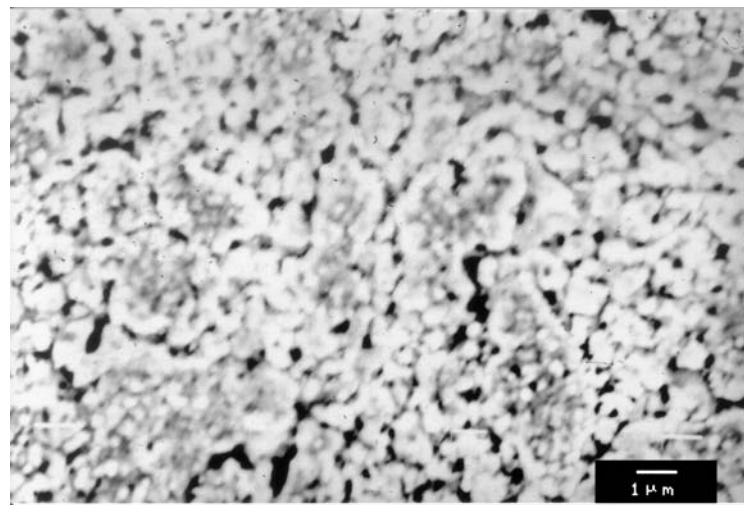
Kao i u prethodnom slučaju, karakterizacija dobijenog Cu-Al<sub>2</sub>O<sub>3</sub> sistema na bazi prahova dobijenih termohemiskim postupkom obuhvatila je, pored navedenog, i ispitivanja skanirajućom elektronskom mikroskopijom, što je prikazano na sl. 64-68 za sistem sa 3 tež. % Al<sub>2</sub>O<sub>3</sub>, odnosno na sl. 75-79 za sistem sa 5 tež. % Al<sub>2</sub>O<sub>3</sub>, kao i ispitivanja energetskom disperzivnom spektroskopijom (sl. 69-74 i sl. 80).



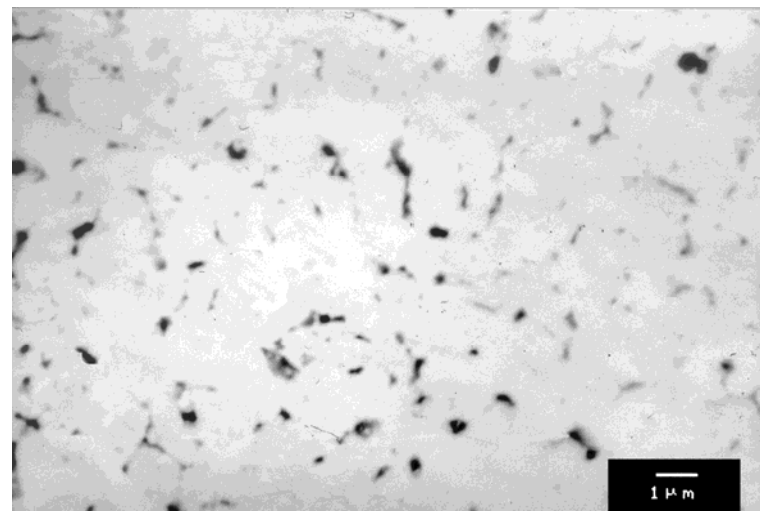
Sl. 64. SEM sinterovanog Cu-3 tež. %  $Al_2O_3$  sistema ( $800^\circ C$ , 30 minuta)



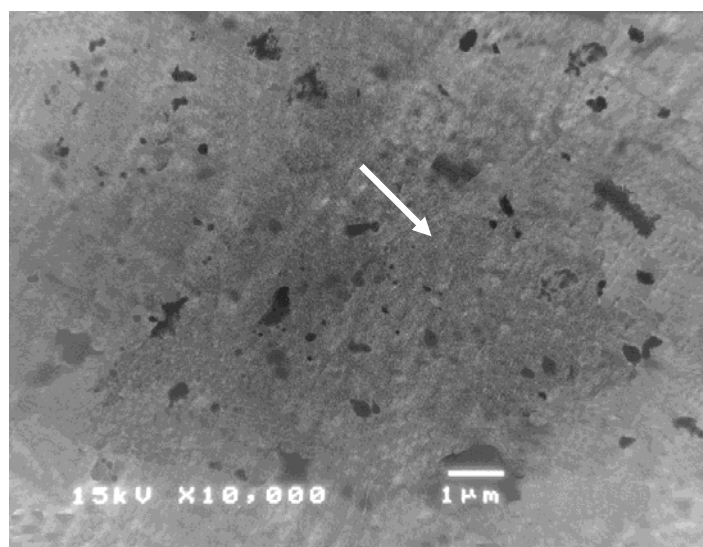
Sl. 65. SEM sinterovanog Cu-3 tež. %  $Al_2O_3$  sistema ( $800^\circ C$ , 120min)



Sl. 66. SEM sinterovanog Cu-3 mas %  $Al_2O_3$  sistema ( $900^{\circ}C$ , 15 minuta)

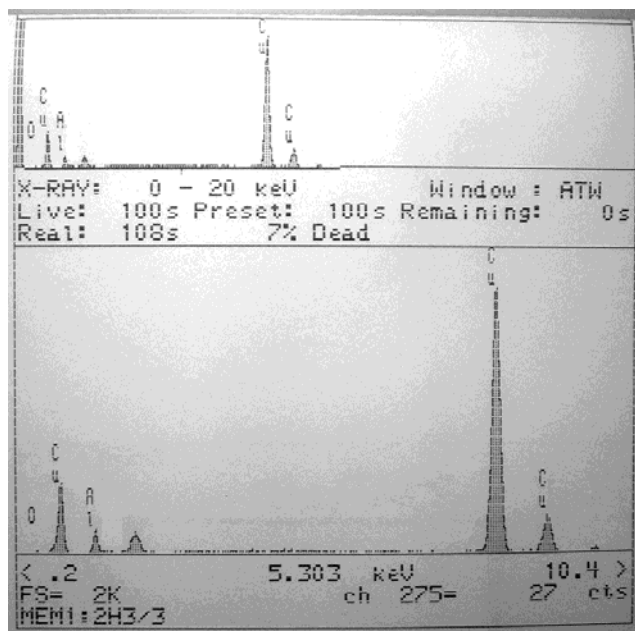


Sl. 67. SEM sinterovanog Cu-3 tež. %  $Al_2O_3$  sistema ( $900^{\circ}C$ , 30min)



Sl. 68. SEM sinterovanog Cu-3 tež. %  $\text{Al}_2\text{O}_3$  sistema ( $900^\circ\text{C}$ , 120min)

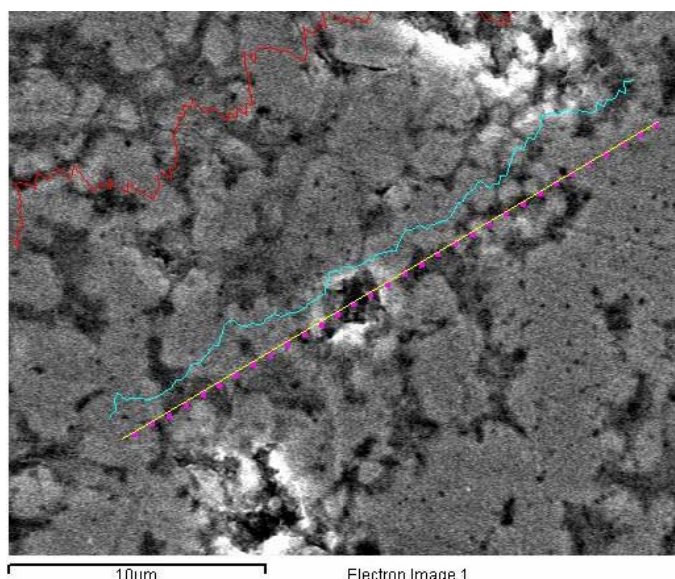
Na sl. 68 strelicom je označeno mesto na kome je vršena analiza energetskom disperzivnom spektroskopijom za sistem sa 3 tež. %  $\text{Al}_2\text{O}_3$ , čiji su rezultati prikazani na sl. 69.



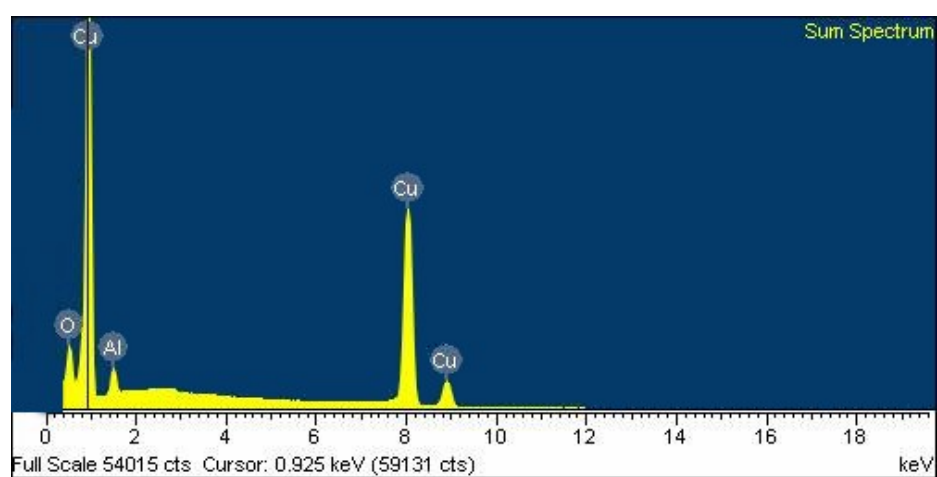
Sl. 69. EDS analiza u tački sinterovanog Cu-3 tež. %  $\text{Al}_2\text{O}_3$  sistema ( $900^\circ\text{C}$ , 120min) na bazi prahova dobijenih termohemiskim postupkom

Pored analize u tački, na uzorku sinterovanog Cu-3 tež. % Al<sub>2</sub>O<sub>3</sub> sistema na bazi prahova dobijenih termohemijskim postupkom urađene su linijska i površinska analiza energetskom disperzivnom spektroskopijom.

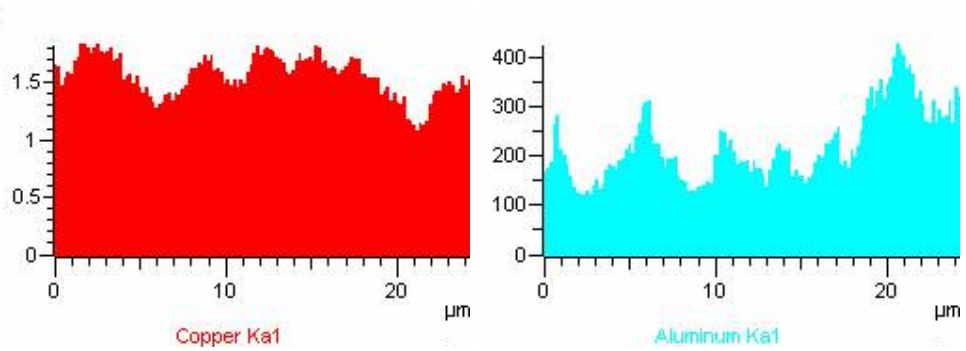
Na sl. 70 prikazan je SEM uzorka ispitivanog sistema sa ucertanom linijom po kojoj je rađena EDS analiza. Dobijeni spektogram prikazan je na sl. 71, a rezultati kvantitativne analize na sl. 72.



Sl. 70. SEM uzorka sinterovanog Cu-3 tež. % Al<sub>2</sub>O<sub>3</sub> sistema sa označenom linijom po kojoj je radena EDS analiza

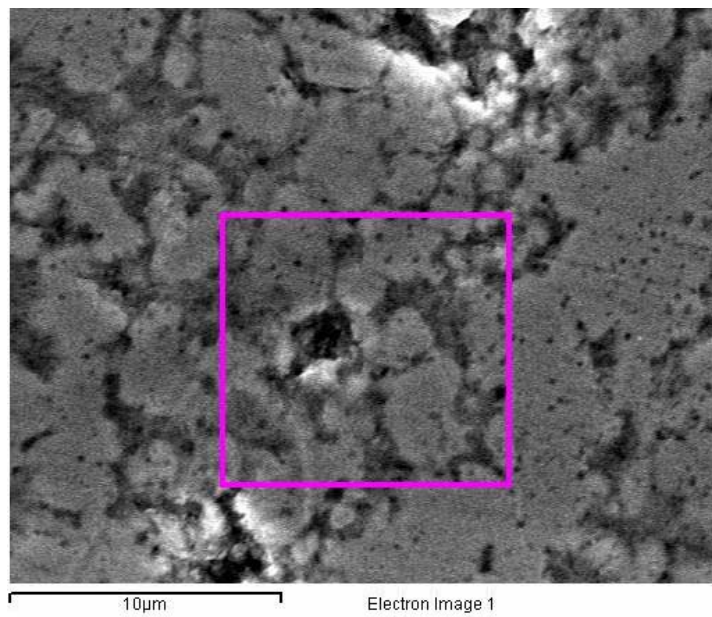


Sl. 71. Spektrogram uzorka sinterovanog Cu-3 tež. % Al<sub>2</sub>O<sub>3</sub> sistema na bazi praha dobijenog termohemijskim postupkom

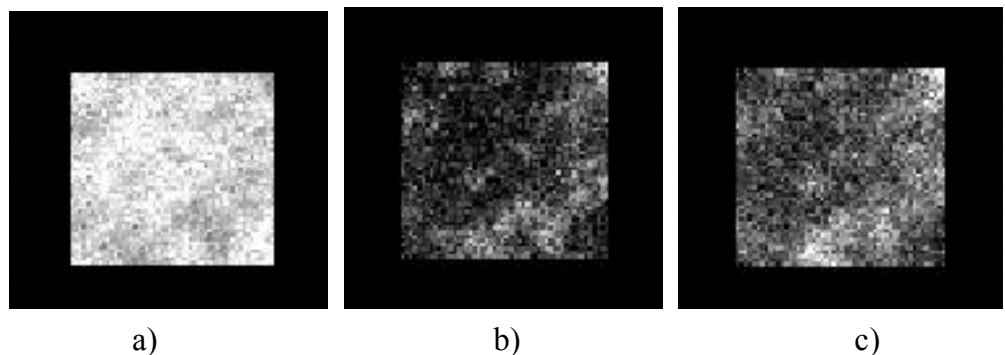


Sl. 72. Kvantitativna analiza za bakar i aluminijum po liniji na uzorku sinterovanog Cu-3 tež. %  $\text{Al}_2\text{O}_3$  sistema

Kao što je rečeno, pored linijske rađena je i EDS analiza površine uzorka u cilju određivanja raspodele elemenata u strukturi. SEM ispitivanog uzorka sa označenom površinom na kojoj je rađeno skeniranje prikazan je na sl. 73, a rezultati ispitivanja uzorka sinterovanog Cu-3 tež. %  $\text{Al}_2\text{O}_3$  sistema energetskom disperzivnom spektroskopijom skeniranjem površine dati su na sl. 74.

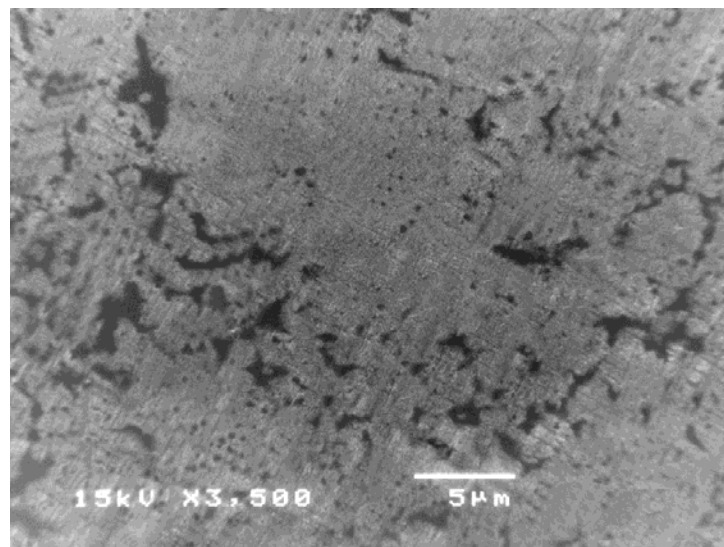


Sl. 73. SEM uzorka sinterovanog Cu-3 tež. %  $\text{Al}_2\text{O}_3$  sistema sa označenim poljem površinskog skeniranja

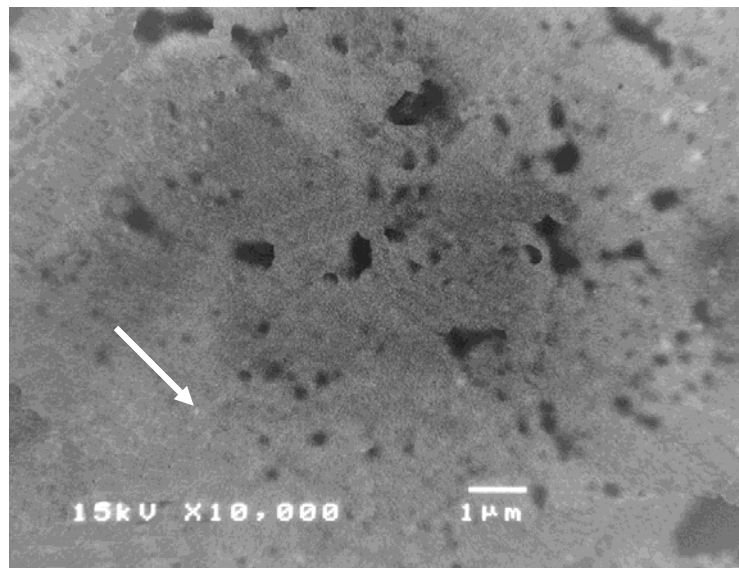


Sl. 74. Rezultati površinskog skeniranja za a) bakar, b) aluminijum i c) kiseonik

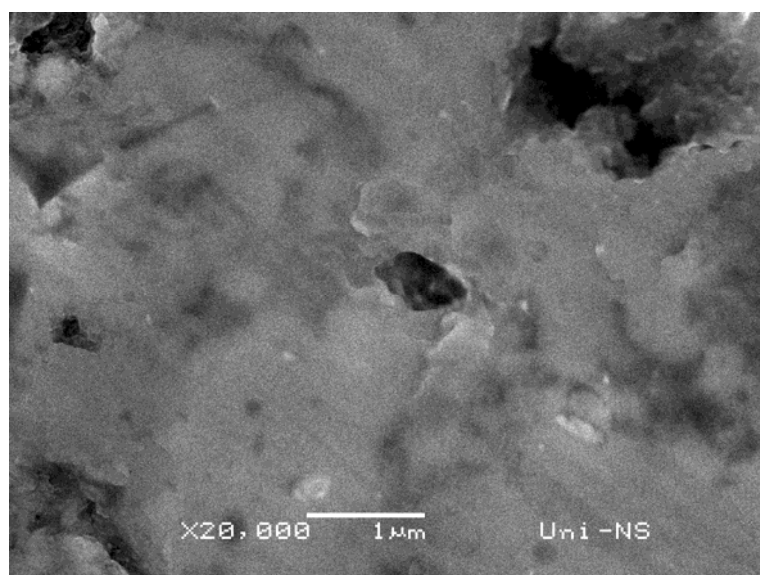
Na sl. 75 - 77. dat je SEM sinterovanog Cu-5 tež. %  $Al_2O_3$  sistema na bazi prahova dobijenih termohemijskim postupkom.



Sl. 75. SEM sinterovanog Cu-5 tež. %  $Al_2O_3$  sistema ( $800^{\circ}C$ , 120min)

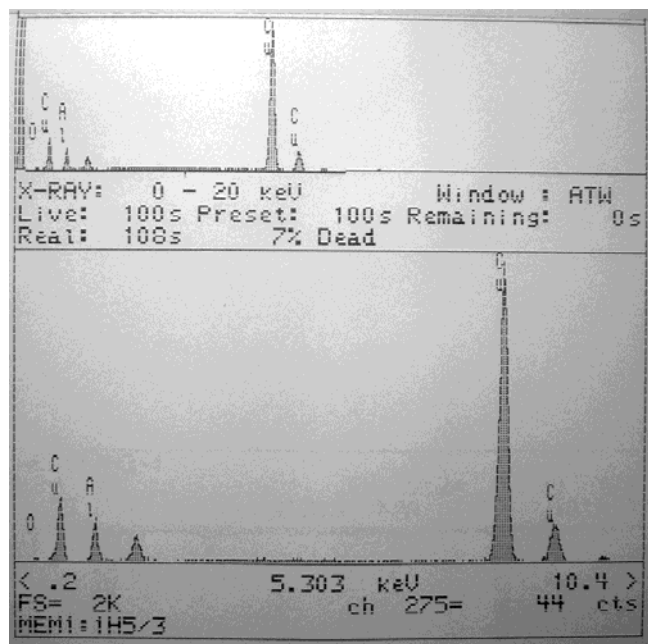


Sl. 76. SEM sinterovanog Cu-5 tež. %  $Al_2O_3$  sistema ( $900^{\circ}C$ , 120min)



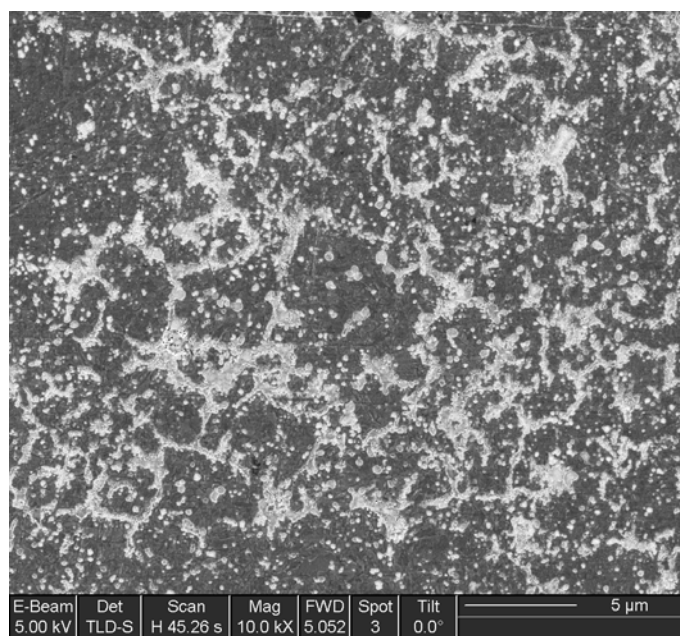
Sl. 77. SEM sinterovanog Cu-5 tež. %  $Al_2O_3$  sistema ( $900^{\circ}C$ , 30min)

Kao i za prethodno opisane sisteme i za ovaj sistem je rađena EDS analiza u tački. Mesto na kome je vršena analiza prikazano je strelicom na sl. 76, a rezultati analize na sl. 78.

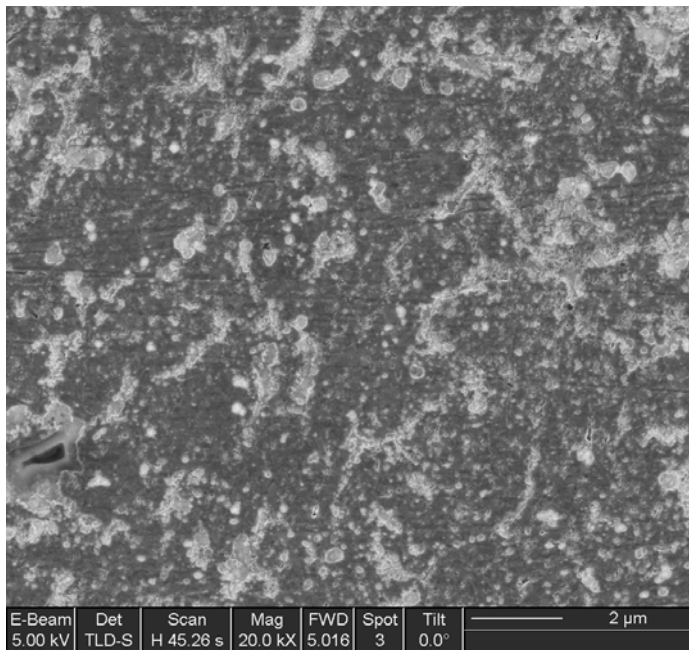


Sl. 78. EDS analiza u tački sinterovanog Cu-5 tež. %  $\text{Al}_2\text{O}_3$  sistema ( $900^\circ\text{C}$ , 120min) na bazi prahova dobijenih termohemijskim postupkom

Na sl. 79-80 dati su rezultati ispitivanja metodom fokusiranja snopa jona (FIB – Focused Ion Beam) za Cu-5 tež. %  $\text{Al}_2\text{O}_3$  sinterovane sisteme na bazi prahova dobijenih termohemijskim postupkom.



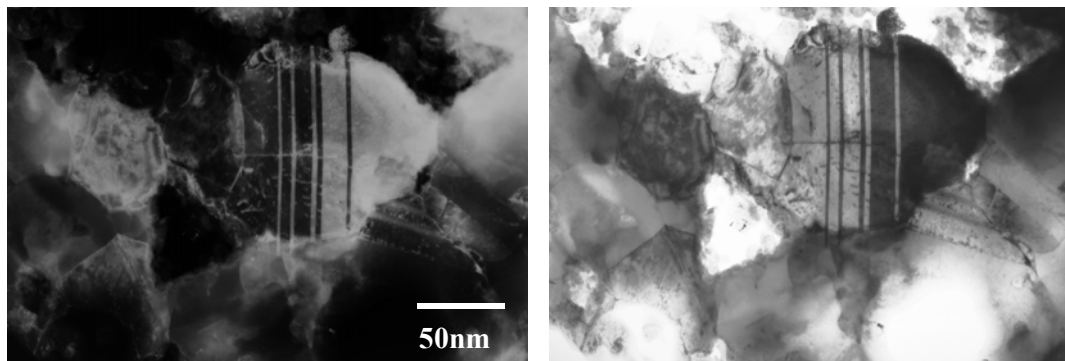
Sl. 79. FIB sinterovanog Cu-5 tež. %  $\text{Al}_2\text{O}_3$  sistema ( $900^\circ\text{C}$ , 120min)



Sl. 80. FIB sinterovanog Cu-5 tež. %  $Al_2O_3$  sistema ( $900^{\circ}C$ , 120min)

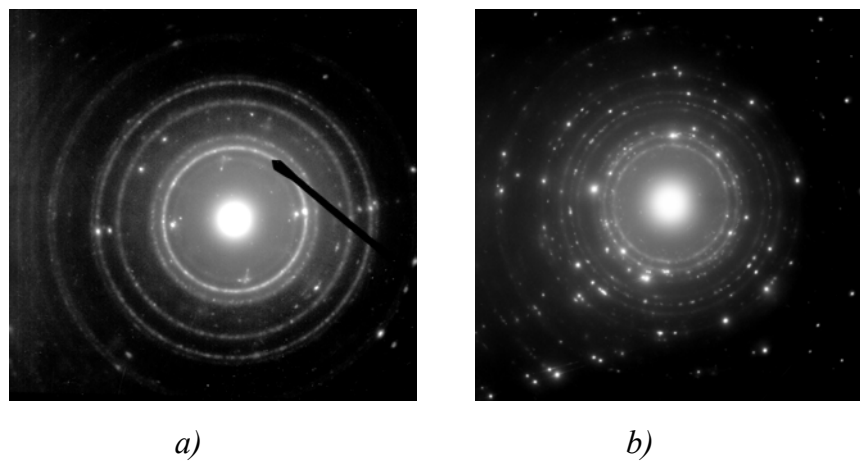
Karakterizacija Cu-Al<sub>2</sub>O<sub>3</sub> sinterovanih sistema na bazi prahova dobijenih termohemijskim postupkom, pored navedenih ispitivanja, obuhvatila je i ispitivanja transmisionom elektronskom mikroskopijom (TEM), ispitivanja selektovanih difrakcionih polja (SADP) i ispitivanja transmisionom elektronskom mikroskopijom visoke rezolucije (HRTEM).

Na sl. 81 prikazan je tipičan TEM par svetlo polje (BF) – centrirano tamno polje (CDF) nanokompozitnog Cu – 5 tež. % Al<sub>2</sub>O<sub>3</sub> sinterovanog sistema na bazi prahova sintetisanih termohemijskim postupkom.



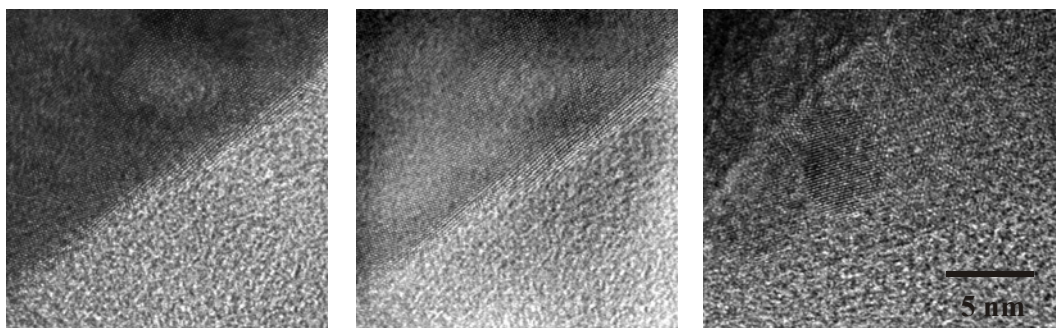
Sl. 81. TEM BF-CDF par nanokompozitnog Cu – 5 tež. %  $\text{Al}_2\text{O}_3$  sinterovanog sistema na bazi prahova sintetisanih termohemijskim postupkom

Tipični modeli selektovanih difrakcionih polja (SADP) ispitivanog nanokompozitnog Cu – 5 tež. %  $\text{Al}_2\text{O}_3$  sinterovanog sistema na bazi prahova sintetisanih termohemijskim postupkom prikazani su na sl. 82.



Sl. 82. Selektovana difrakcionala polja (SADP) nanokompozitnog Cu-5tež.% $\text{Al}_2\text{O}_3$  sinterovanog sistema na bazi prahova sintetisanih termohemijskim postupkom: a) u tački, b) sa cele površine

Na sl. 83 dat je prikaz transmisione elektronske mikroskopije visoke rezolucije (HRTEM) oblasti bogate glinicom.



Sl. 83. HRTEM oblasti bogate glinicom u nanokompozitnom Cu-5tež.% $Al_2O_3$  sinterovanog sistema na bazi prahova sintetisanih termohemijskim postupkom

### 5.2.3. Sistem nanokompozitnog Cu-Ag-Al<sub>2</sub>O<sub>3</sub> praha

Trokomponentni Cu-Ag-Al<sub>2</sub>O<sub>3</sub> sinterovani sistemi dobijeni su sinterovanjem prethodno presovanih uzoraka u atmosferi vodonika u temperaturnom opsegu 600-800°C u toku 15-120 minuta, pri čemu su kao polazni korišćeni prahovi dobijeni na sledeća dva načina:

- mehaničkim legiranjem prethodno sintetisanog nanokompozitnog Cu-Al<sub>2</sub>O<sub>3</sub> praha termohemijskim postupkom i praha srebra dobijenog hemijskim putem,
- mehaničkim legiranjem Cu-Al<sub>2</sub>O<sub>3</sub> i Cu-Ag sistema dobijenih termohemijskim postupkom.

U tabeli XVII prikazane su srednje vrednosti gustine i relativne promene zapremine u zavisnosti od hemijskog sastava, temperature i vremena sinterovanja za uzorce Cu-Ag-Al<sub>2</sub>O<sub>3</sub> sinterovanog sistema na bazi prahova dobijenih mehaničkim legiranjem prethodno sintetisanog nanokompozitnog Cu-Al<sub>2</sub>O<sub>3</sub> praha termohemijskim postupkom i praha srebra dobijenog hemijskim putem.

*Tabela XVII. Srednje vrednosti gustine i  $\Delta V/V_0$  uzoraka sinterovanog Cu-Ag-Al<sub>2</sub>O<sub>3</sub> sistema na bazi prahova dobijenih mehaničkim legiranjem prethodno sintetisanog nanokompozitnog Cu-Al<sub>2</sub>O<sub>3</sub> praha termohemijskim postupkom i praha srebra dobijenog hemijskim putem*

Temperatura, °C	Vreme, min	Gustina $d_s$ , g/cm <sup>3</sup>	$\Delta V/V_0$ (srednja vrednost)
<b>Cu-10tež.%Ag-4,5tež.%Al<sub>2</sub>O<sub>3</sub></b>			
600	15	5,01	0,0482
	30	5,04	0,0628
	60	5,10	0,0692
	120	5,14	0,0801
700	15	5,20	0,0988
	30	5,21	0,1024
	60	5,24	0,1086
	120	5,23	0,1092
800	15	5,28	0,1098
	30	5,48	0,1124
	60	5,41	0,1124
	120	5,42	0,1126
<b>Cu-20 tež.%Ag-4 tež.%Al<sub>2</sub>O<sub>3</sub></b>			
600	15	4,98	0,0321
	30	4,98	0,0324
	60	5,06	0,0412
	120	5,08	0,0416
700	15	5,04	0,0612
	30	5,12	0,0648
	60	5,14	0,0792
	120	5,13	0,0796
800	15	5,09	0,0799
	30	5,12	0,0844
	60	5,16	0,0898
	120	5,17	0,0896

Rezultati ispitivanja specifičnog električnog otpora uzoraka sinterovanog Cu-Ag-Al<sub>2</sub>O<sub>3</sub> sistema na bazi prahova dobijenih mehaničkim legiranjem prethodno sintetisanog nanokompozitnog Cu-Al<sub>2</sub>O<sub>3</sub> praha termohemijskim postupkom i praha srebra dobijenog hemijskim putem u zavisnosti od hemijskog sastava, temperature i vremena prikazani su u tabeli XVIII.

*Tabela XVIII. Srednje vrednosti specifičnog električnog otpora sinterovanog Cu-Ag-Al<sub>2</sub>O<sub>3</sub> sistema na bazi prahova dobijenih mehaničkim legiranjem prethodno sintetisanog nanokompozitnog Cu-Al<sub>2</sub>O<sub>3</sub> praha termohemijskim postupkom i praha srebra dobijenog hemijskim putem*

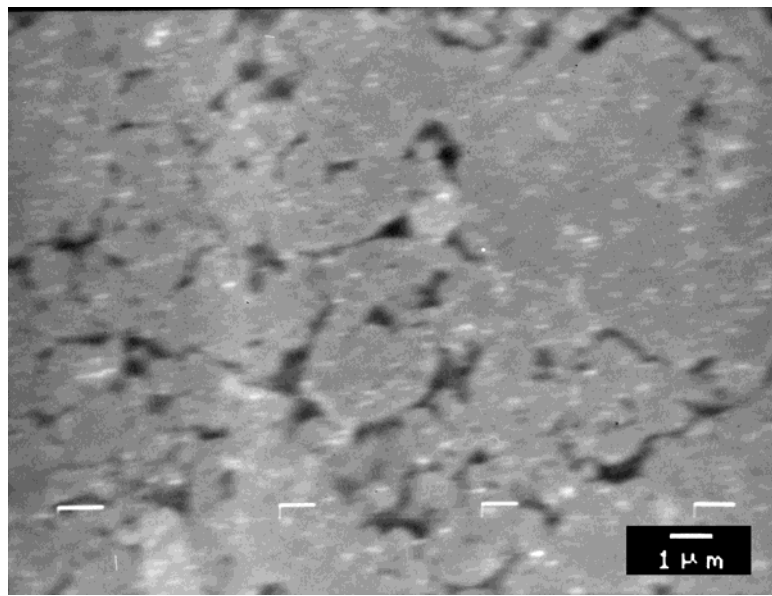
Temperatura, °C	Vreme, min	Specifični električni otpor $\bar{\rho}$ , (10 <sup>-6</sup> Ωm)
<b>Cu-10 tež.%Ag-4,5 tež.%Al<sub>2</sub>O<sub>3</sub></b>		
600	15	0,09988
	30	0,09988
	60	0,09742
	120	0,09744
700	15	0,09822
	30	0,09782
	60	0,09012
	120	0,08968
800	15	0,08928
	30	0,08264
	60	0,07624
	120	0,07626
<b>Cu-20 tež.%Ag-4 tež.%Al<sub>2</sub>O<sub>3</sub></b>		
600	15	0,10244
	30	0,09994
	60	0,09992
	120	0,09889
700	15	0,09492
	30	0,09481
	60	0,09221
	120	0,09228
800	15	0,09244
	30	0,08968
	60	0,08966
	120	0,08967

U tabeli XIX prikazani su rezultati merenja tvrdoće Cu-Ag-Al<sub>2</sub>O<sub>3</sub> sinterovanog sistema na bazi prahova dobijenih mehaničkim legiranjem prethodno sintetisanog nanokompozitnog Cu-Al<sub>2</sub>O<sub>3</sub> praha termohemijskim postupkom i praha srebra dobijenog hemijskim putem u zavisnosti od hemijskog sastava, temperature i vremena sinterovanja.

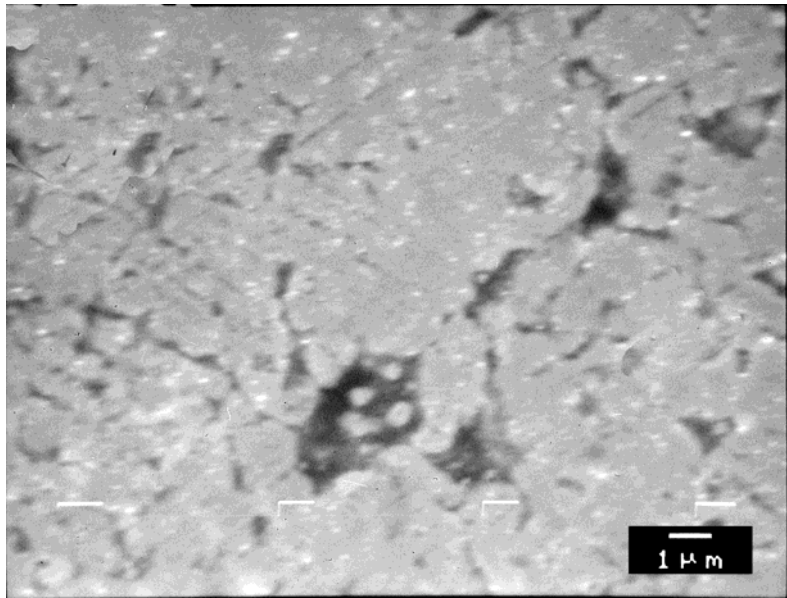
*Tabela XIX. Srednje vrednosti tvrdoće sinterovanog Cu-Ag-Al<sub>2</sub>O<sub>3</sub> sistema na bazi prahova dobijenih mehaničkim legiranjem prethodno sintetisanog nanokompozitnog Cu-Al<sub>2</sub>O<sub>3</sub> praha termohemijskim postupkom i praha srebra dobijenog hemijskim putem*

Temperatura, °C	Vreme, min	Tvrdoća, HRB 10/40 (srednja vrednost)
<b>Cu-10 tež.%Ag-4,5 tež.%Al<sub>2</sub>O<sub>3</sub></b>		
600	15	72,1
	30	72,0
	60	73,0
	120	73,4
700	15	73,1
	30	75,2
	60	75,2
	120	75,4
800	15	74,2
	30	76,4
	60	81,3
	120	81,7
<b>Cu-20 tež.%Ag-4 tež.%Al<sub>2</sub>O<sub>3</sub></b>		
600	15	70,2
	30	70,1
	60	70,4
	120	70,8
700	15	72,1
	30	72,2
	60	72,8
	120	72,2
800	15	72,4
	30	72,9
	60	75,8
	120	75,6

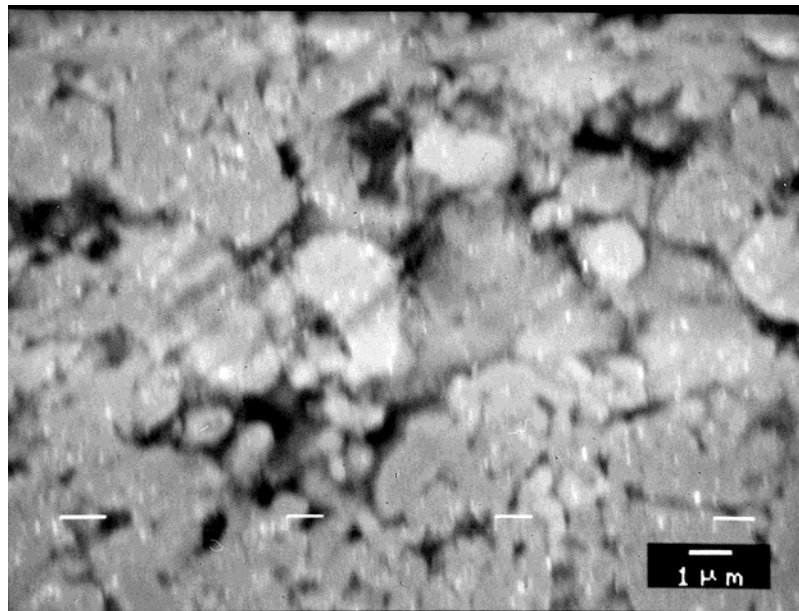
Pored navedenog, karakterizacija dobijenog Cu-Ag-Al<sub>2</sub>O<sub>3</sub> sinterovanog sistema na bazi prahova dobijenih mehaničkim legiranjem prethodno sintetisanog nanokompozitnog Cu-Al<sub>2</sub>O<sub>3</sub> praha termohemijskim putem i praha srebra dobijenog hemijskim putem, obuhvatila je i ispitivanja skanirajućom elektronskom mikroskopijom, što je prikazano na sl. 84-87.



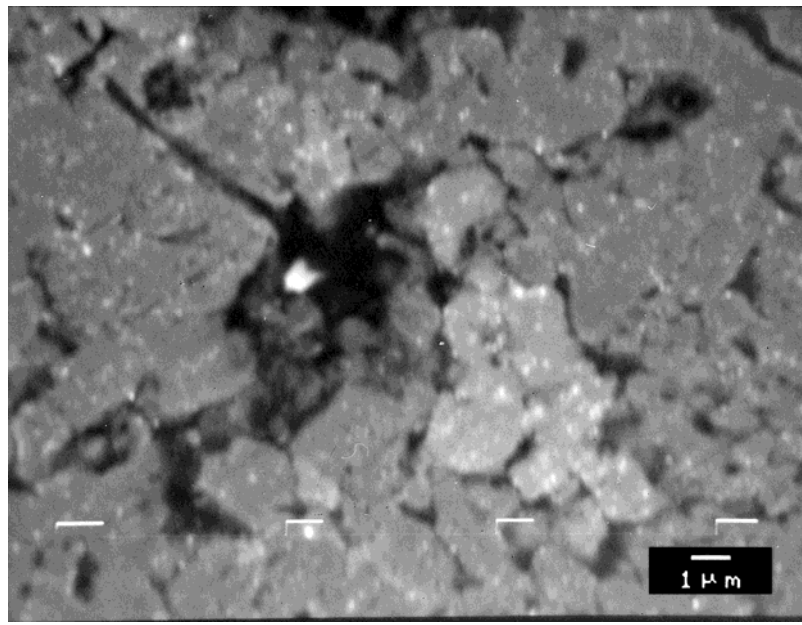
Sl. 84. SEM sinterovanog Cu-10tež.%Ag-4,5tež.% $Al_2O_3$  sistema ( $700^\circ C/60min$ )



Sl. 85. SEM sinterovanog Cu-10tež.%Ag-4,5tež.% $Al_2O_3$  sistema ( $800^\circ C/60min$ )



Sl. 86. SEM sinterovanog Cu-20tež.%Ag-4tež.%Al<sub>2</sub>O<sub>3</sub> sistema (700°C/60min)



Sl. 87. SEM sinterovanog Cu-20tež.%Ag-4tež.%Al<sub>2</sub>O<sub>3</sub> sistema (800°C/60min)

Kao što je rečeno, trokomponentni Cu-Ag-Al<sub>2</sub>O<sub>3</sub> sinterovani sistemi dobijeni su i sinterovanjem prethodno presovanih uzoraka u atmosferi vodonika, pri čemu su kao polazni prahovi korišćeni prahovi dobijeni mehaničkim legiranjem Cu-Al<sub>2</sub>O<sub>3</sub> i Cu-Ag sistema sintetisanih termohemijskim postupkom.

Srednje vrednosti gustine i relativne promene zapremine u zavisnosti od hemijskog sastava, temperature i vremena sinterovanja za uzorce Cu-Ag-Al<sub>2</sub>O<sub>3</sub> sinterovanog sistema na bazi prahova dobijenih mehaničkim legiranjem Cu-Al<sub>2</sub>O<sub>3</sub> i Cu-Ag sistema sintetisanih termohemijskim postupkom prikazane su u tabeli XX.

*Tabela XX. Srednje vrednosti gustine i  $\Delta V/V_0$  uzorka sinterovanog Cu-Ag-Al<sub>2</sub>O<sub>3</sub> sistema na bazi prahova dobijenih mehaničkim legiranjem Cu-Al<sub>2</sub>O<sub>3</sub> i Cu-Ag sistema sintetisanih termohemijskim postupkom*

Temperatura, °C	Vreme, min	Gustina $d_s$ , g/cm <sup>3</sup>	$\Delta V/V_0$ (srednja vrednost)
<b>Cu-25 tež.%Ag-5 tež.%Al<sub>2</sub>O<sub>3</sub></b>			
600	15	5,03	0,0512
	30	5,08	0,0522
	60	5,19	0,0528
	120	5,20	0,0532
700	15	5,15	0,0748
	30	5,68	0,1022
	60	5,66	0,1120
	120	5,70	0,1118

U tabeli XXI prikazani su rezultati ispitivanja specifičnog električnog otpora uzorka sinterovanog Cu-Ag-Al<sub>2</sub>O<sub>3</sub> sistema na bazi prahova dobijenih mehaničkim legiranjem Cu-Al<sub>2</sub>O<sub>3</sub> i Cu-Ag sistema sintetisanih termohemijskim postupkom, u zavisnosti od hemijskog sastava, temperature i vremena.

*Tabela XXI. Srednje vrednosti specifičnog električnog otpora sinterovanog Cu-Ag-Al<sub>2</sub>O<sub>3</sub> sistema na bazi prahova dobijenih mehaničkim legiranjem Cu-Al<sub>2</sub>O<sub>3</sub> i Cu-Ag sistema sintetisanih termohemijskim postupkom*

Temperatura, °C	Vreme, min	Specifični električni otpor $\rho$ , ( $10^{-6}\Omega\text{m}$ )
<b>Cu-25 tež.%Ag-5 tež.%Al<sub>2</sub>O<sub>3</sub></b>		
600	15	0,09524
	30	0,09540
	60	0,08990
	120	0,08984
700	15	0,08992
	30	0,08102
	60	0,07920
	120	0,07916

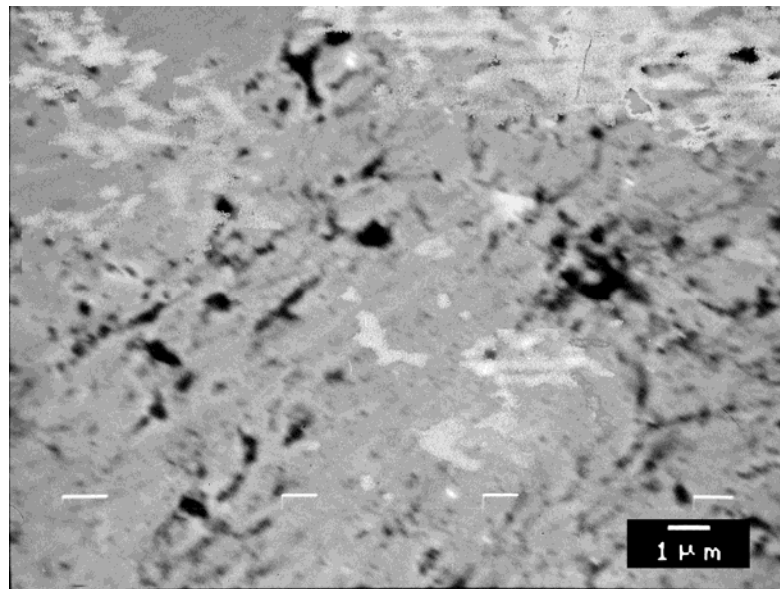
Rezultati merenja tvrdoće Cu-Ag-Al<sub>2</sub>O<sub>3</sub> sinterovanog sistema na bazi prahova dobijenih mehaničkim legiranjem Cu-Al<sub>2</sub>O<sub>3</sub> i Cu-Ag sistema sintetisanih termohemijskim postupkom, u zavisnosti od hemijskog sastava, temperature i vremena sinterovanja prikazani su u tabeli XXII.

*Tabela XXII. Srednje vrednosti tvrdoće sinterovanog Cu-Ag-Al<sub>2</sub>O<sub>3</sub> sistema na bazi prahova dobijenih mehaničkim legiranjem Cu-Al<sub>2</sub>O<sub>3</sub> i Cu-Ag sistema sintetisanih termohemijskim postupkom*

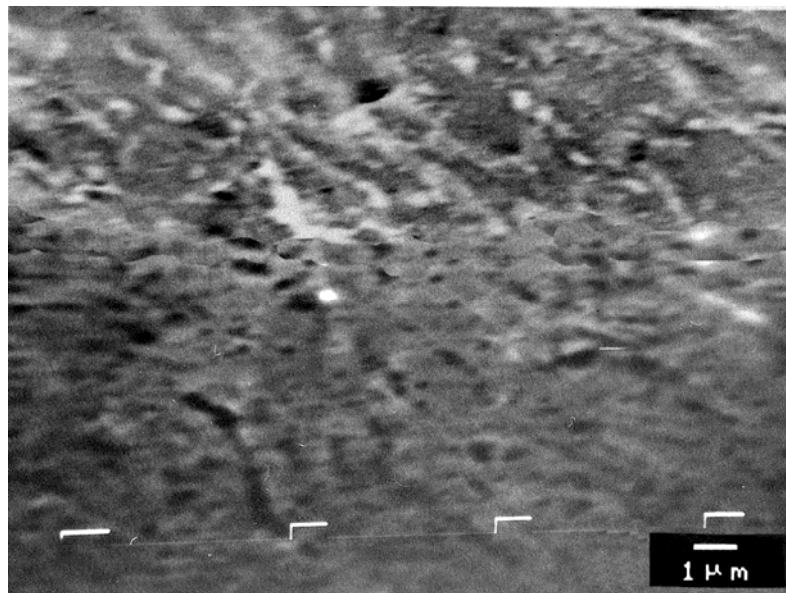
Temperatura, °C	Vreme, min	Tvrdoća, HRB 10/40 (srednja vrednost)
<b>Cu-25 tež.%Ag-5 tež.%Al<sub>2</sub>O<sub>3</sub></b>		
600	15	72,9
	30	73,4
	60	74,8
	120	74,6
700	15	74,2
	30	76,9
	60	84,2
	120	84,1

Karakterizacija dobijenog Cu-Ag-Al<sub>2</sub>O<sub>3</sub> sinterovanog sistema na bazi prahova dobijenih mehaničkim legiranjem Cu-Al<sub>2</sub>O<sub>3</sub> i Cu-Ag sistema

sintetisanih termohemijskim postupkom, obuhvatila je i ispitivanja skanirajućom elektronskom mikroskopijom, što je prikazano na sl. 88-89.



Sl. 88. SEM sinterovanog Cu-25tež.%Ag-5tež.%Al<sub>2</sub>O<sub>3</sub> sistema (600°C/60min)



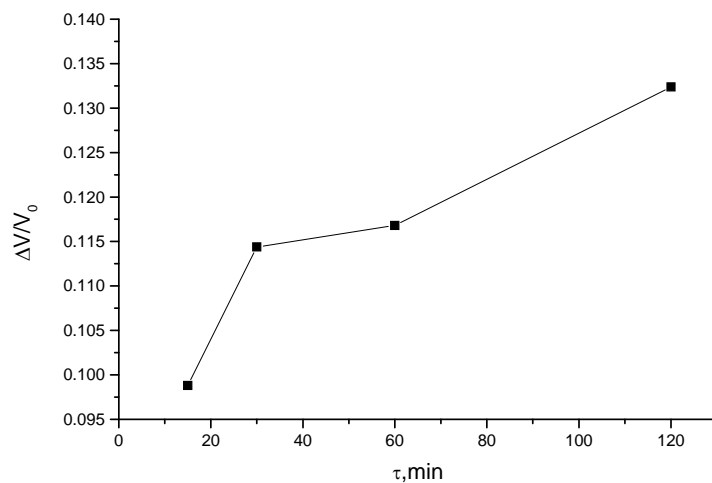
Sl. 89. SEM sinterovanog Cu-25tež.%Ag-5tež.%Al<sub>2</sub>O<sub>3</sub> sistema (700°C/60min)

### 5.3. Kinetička analiza procesa sinterovanja

Kroz analizu vrednosti relativne promene zapremine uzoraka sinterovanih na različitim temperaturama i u toku različitih vremena izučavana je kinetika sinterovanja realnih sistema na bazi ultra finih i nano prahova bakra i glinice, pri čemu su dobijeni rezultati podvrgnuti matematičkoj analizi primenom tri kinetička modela, i to:

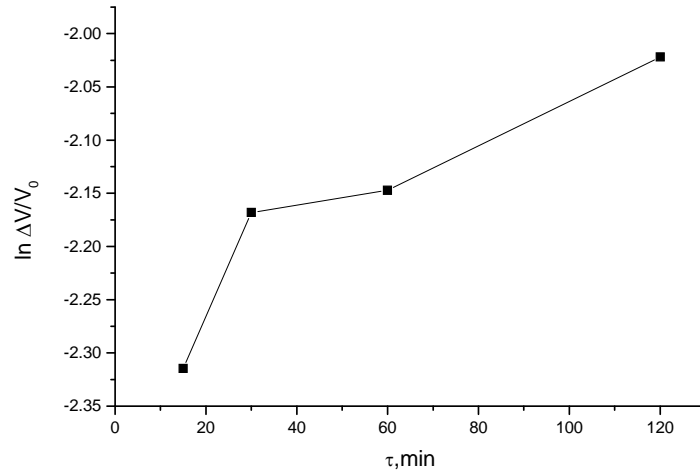
- modela na bazi Arenijus-ove jednačine,
- modela na bazi paraboličnog zakona,
- modela na bazi Johnson-Mehl-ove jednačine.

Zavisnost relativne promene zapremine od vremena za sistem Cu-3tež.%Al<sub>2</sub>O<sub>3</sub> na bazi praha dobijenog mehaničkim legiranjem sinterovan na t=800°C, ima oblik krive prikazan na sledećoj slici.



Sl. 90. Dijagram zavisnosti relativna promena zapremine - vreme za sistem Cu-3tež.%Al<sub>2</sub>O<sub>3</sub> na bazi praha dobijenog postupkom mehaničkog legiranja sinterovan na t=800°C

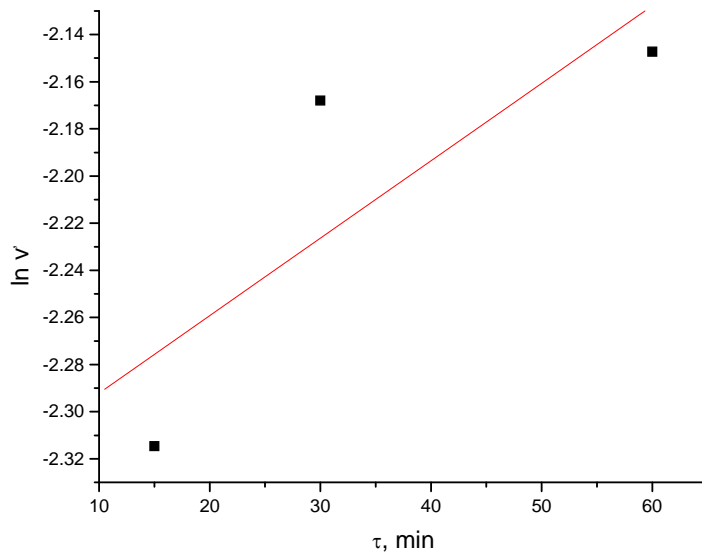
Logaritamska zavisnost relativne promene zapremine od vremena na temperaturi  $t=800^{\circ}\text{C}$  za sistem Cu-3tež.%Al<sub>2</sub>O<sub>3</sub> na bazi prahova dobijenih postupkom mehaničkog legiranja, prikazana je na sl. 91.



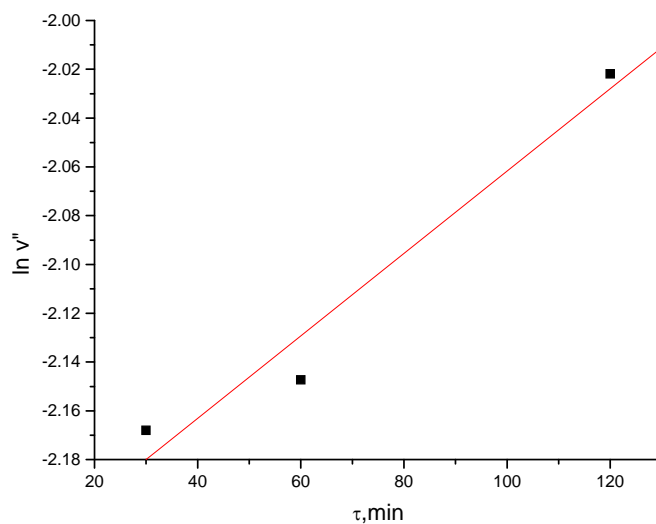
Sl. 91. Logaritamska zavisnost relativne promene zapremine od vremena na temperaturi  $t=800^{\circ}\text{C}$  za sistem Cu-3tež.%Al<sub>2</sub>O<sub>3</sub> na bazi prahova dobijenih postupkom mehaničkog legiranja

Kako  $\ln(\Delta V/V_0)=f(\tau)$  nije linearna zavisnost, to navedenu zavisnost razlažemo na dve komponente,  $\ln v'(\tau)$  i  $\ln v''(\tau)$ , čije su vremenske zavisnosti linearne. Ovo nas navodi na zaključak da zavisnost  $\ln v(\tau)$  predstavlja dva procesa.

Na sl. 92 i 93 prikazane su zavisnosti  $\ln v'(\tau)$  i  $\ln v''(\tau)$  za sistem Cu-3tež.%Al<sub>2</sub>O<sub>3</sub> na bazi prahova dobijenih postupkom mehaničkog legiranja na temperaturi  $800^{\circ}\text{C}$ .



Sl. 92. Zavisnost  $\ln V'(\tau)$  za sistem  $Cu\text{-}3\text{tež.\%}Al_2O_3$  na bazi prahova dobijenih postupkom mehaničkog legiranja na temperaturi  $t=800^\circ C$



Sl. 93. Zavisnost  $\ln V''(\tau)$  za sistem  $Cu\text{-}3\text{tež.\%}Al_2O_3$  na bazi prahova dobijenih postupkom mehaničkog legiranja na temperaturi  $t=800^\circ C$

Iz nagiba  $\Delta \ln V / \Delta \tau$  izračunavaju se konstante brzine odgovarajućih procesa. Tako imamo:

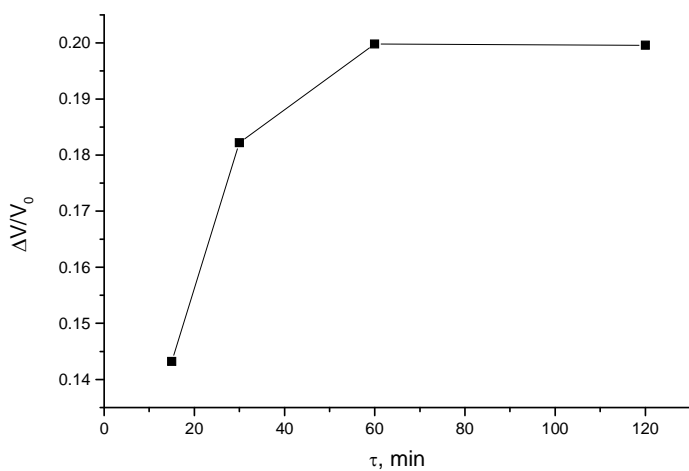
$$k' = \Delta ln v'/\Delta \tau \text{ and } k'' = \Delta ln v''/\Delta \tau \dots \quad (32)$$

gde su:

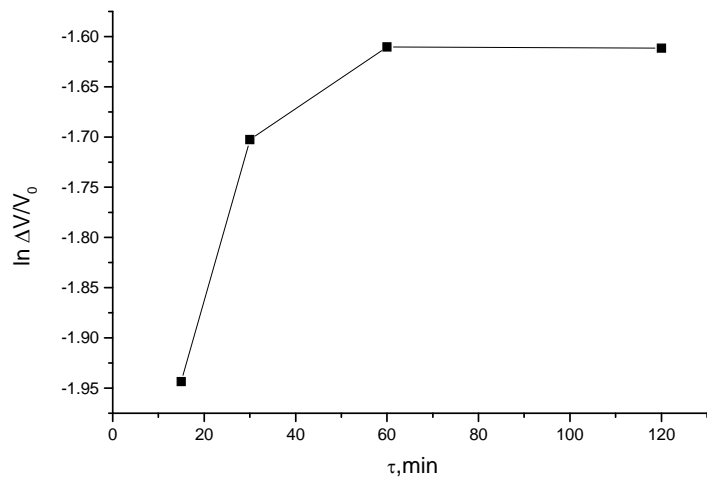
$k'$  – konstanta brzine prvog procesa,

$k''$  – konstanta brzine drugog procesa.

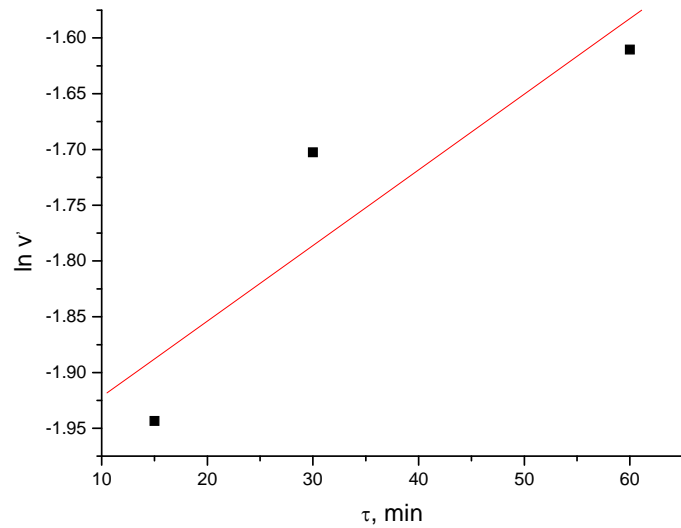
Prethodno opisani postupak određivanja konstanti brzina ponovljen je za isti sistem ( $\text{Cu}-3\text{tež.\%Al}_2\text{O}_3$ ) na temperaturama od  $t=900$  i  $t=1000^\circ\text{C}$ , pri čemu su karakteristične zavisnosti prikazane na sl. 94-97 ( $900^\circ\text{C}$ ), odnosno sl. 98-101 ( $1000^\circ\text{C}$ ).



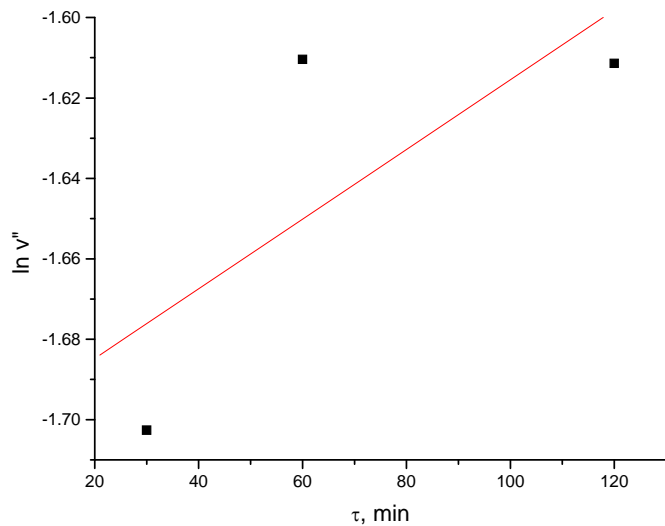
Sl. 94. Dijagram zavisnosti relativna promena zapremine - vreme za sistem Cu-3tež.%Al<sub>2</sub>O<sub>3</sub> na bazi praha dobijenog postupkom mehaničkog legiranja, sinterovan na t=900°C



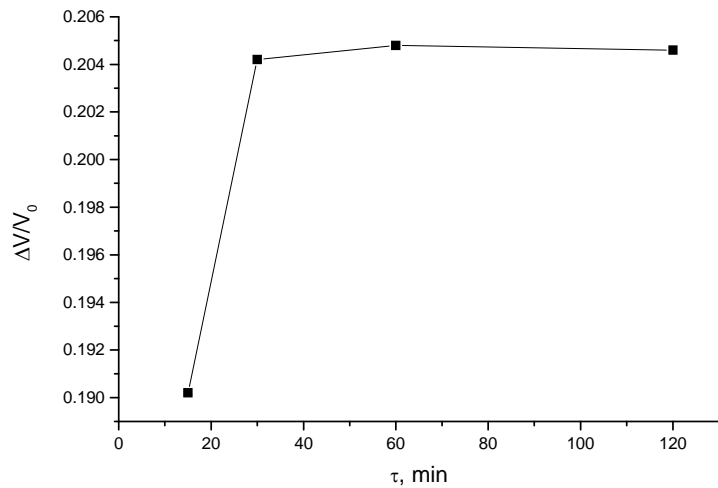
Sl. 95. Logaritamska zavisnost relativne promene zapremine od vremena na temperaturi  $t=900^\circ\text{C}$  za sistem Cu-3tež.% $\text{Al}_2\text{O}_3$  na bazi prahova dobijenih postupkom mehaničkog legiranja



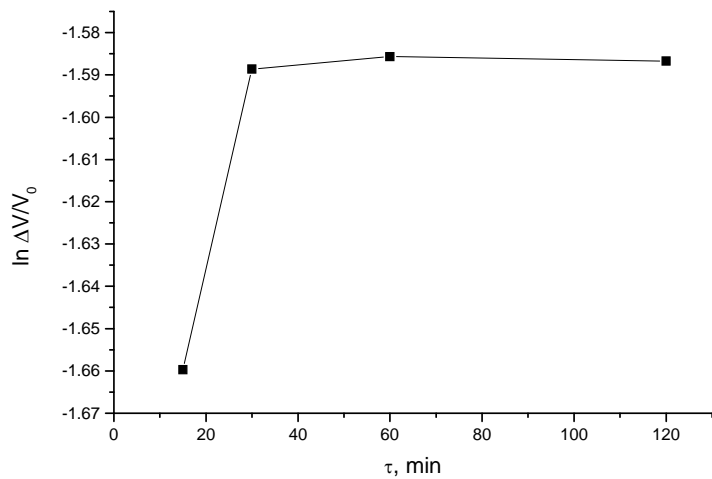
Sl. 96. Zavisnost  $\ln V(\tau)$  za sistem Cu-3tež.% $\text{Al}_2\text{O}_3$  na bazi prahova dobijenih postupkom mehaničkog legiranja na temperaturi  $t=900^\circ\text{C}$



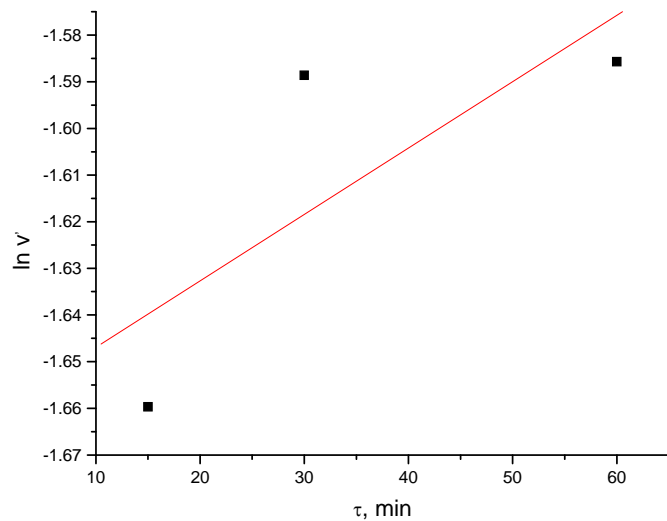
Sl. 97. Zavisnost  $\ln V''(\tau)$  za sistem  $Cu\text{-}3tez.\%Al_2O_3$  na bazi prahova dobijenih postupkom mehaničkog legiranja na temperaturi  $t=900^\circ C$



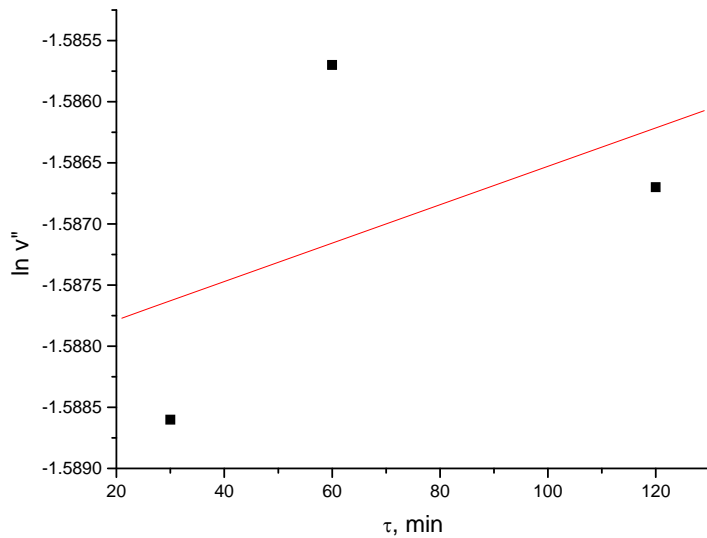
Sl. 98. Dijagram zavisnosti relativna promena zapremine - vreme za sistem  $Cu\text{-}3tez.\%Al_2O_3$  na bazi praha dobijenog postupkom mehaničkog legiranja sinterovan na  $t=1000^\circ C$



Sl. 99. Logaritamska zavisnost relativne promene zapremine od vremena na temperaturi  $t=1000^{\circ}\text{C}$  za sistem Cu-3tež.% $\text{Al}_2\text{O}_3$  na bazi prahova dobijenih postupkom mehaničkog legiranja



Sl. 100. Zavisnost  $\ln V'(\tau)$  za sistem Cu-3tež.% $\text{Al}_2\text{O}_3$  na bazi prahova dobijenih postupkom mehaničkog legiranja na temperaturi  $t=1000^{\circ}\text{C}$



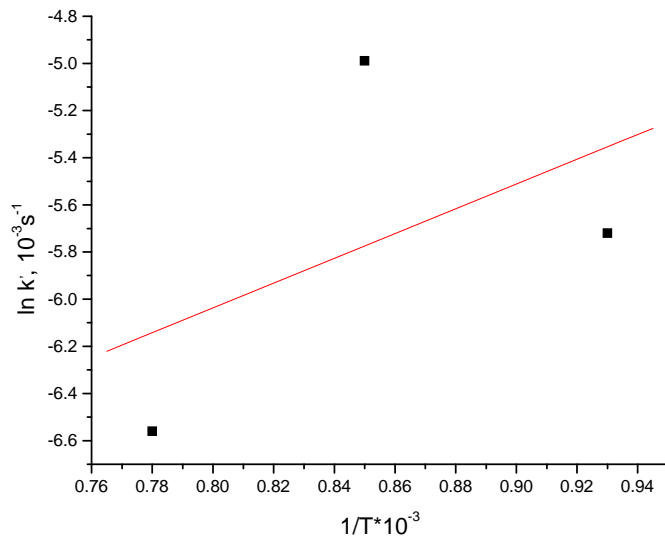
Sl. 101. Zavisnost  $\ln v''(\tau)$  za sistem Cu-3tež.% $Al_2O_3$  na bazi prahova dobijenih postupkom mehaničkog legiranja na temperaturi  $t=1000^\circ C$

U tabeli XXIII prikazane su dobijene vrednosti konstanti brzina.

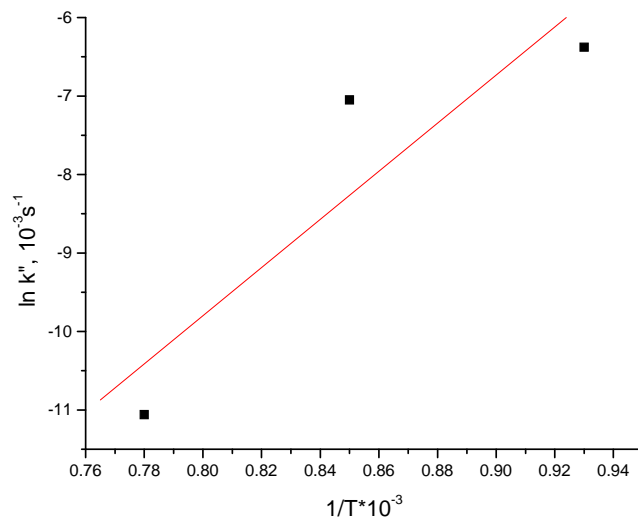
Tabela XXIII. Vrednosti konstanti brzina za sistem Cu- $Al_2O_3$  na bazi prahova dobijenih postupkom mehaničkog legiranja

Temeperatura, $^\circ C$	$k', 10^{-3}s^{-1}$	$k'', 10^{-3}s^{-1}$
800	0,00329	0,00169
900	0,00678	$8,6619 \cdot 10^{-4}$
1000	0,00142	$1,57143 \cdot 10^{-5}$

Na sl. 102 i 103 predstavljene su zavisnosti  $k'=f(1000/T)$  i  $k''=f(1000/T)$ .



Sl. 102. Zavisnost  $\ln k' = f(1000/T)$  za ispitivani sistem  $Cu\text{-}3\text{tež.\%}Al_2O_3$  na bazi prahova dobijenih postupkom mehaničkog legiranja



Sl. 103. Zavisnost  $\ln k'' = f(1000/T)$  za ispitivani sistem  $Cu\text{-}3\text{tež.\%}Al_2O_3$  na bazi prahova dobijenih postupkom mehaničkog legiranja

Iz nagiba  $\Delta \ln k / \Delta (1000/T)$  izračunavaju se energije aktivacije odgovarajućih procesa:

$$E_a = R \frac{\Delta \ln k}{\Delta \left( \frac{I}{T} \right)}$$

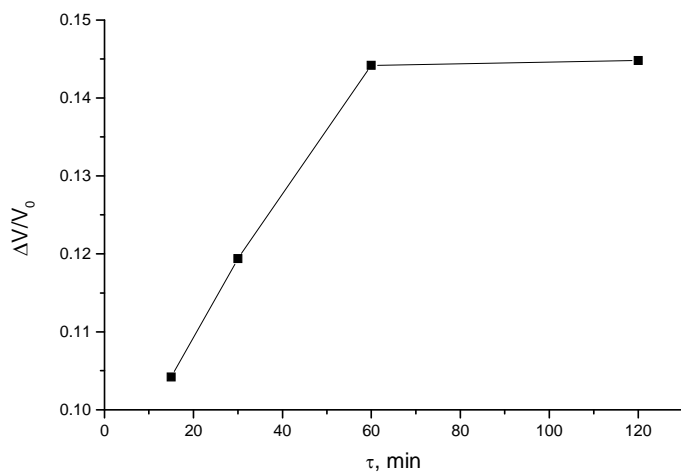
$$E_a'' = R \frac{\Delta \ln k''}{\Delta \left( \frac{I}{T} \right)} \dots \quad (33)$$

gde je  $R$  – gasna konstanta.

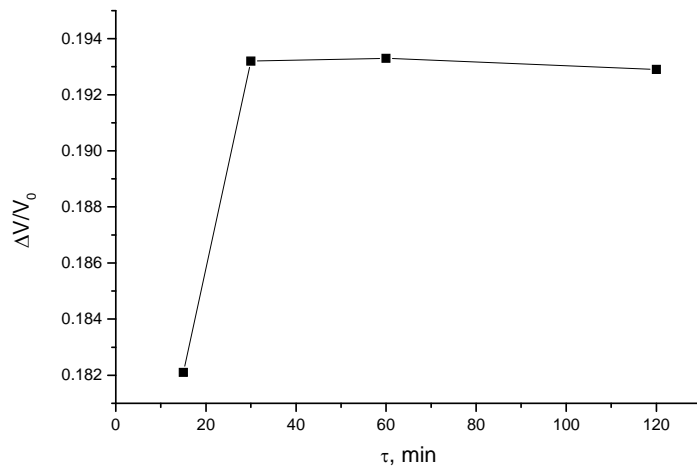
Tabela XXIV. Kinetički parametri procesa za sistem Cu-3tež.%Al<sub>2</sub>O<sub>3</sub> na bazi prahova dobijenih postupkom mehaničkog legiranja

Temperatura, °C	$k', 10^{-3}s^{-1}$	$k'', 10^{-3}s^{-1}$	$E'_{\alpha}, kJ/mol$	$E''_{\alpha}, kJ/mol$
800	0,00329	0,00169	43,6485	254,9052
900	0,00678	$8,6619 \cdot 10^{-4}$		
1000	0,00142	$1,57143 \cdot 10^{-5}$		

Prethodno opisan postupak određivanja kinetičkih parametara procesa ponovljen je za sistem Cu-3tež.%Al<sub>2</sub>O<sub>3</sub> na bazi prahova dobijenih termohemijskim postupkom. Na sl. 104 i 105 prikazani su odgovarajući dijagrami zavisnosti, na osnovu kojih su određeni kinetički parametri procesa.



Sl. 104. Dijagram zavisnosti relativna promena zapremine – vreme za sistem Cu-3tež.%Al<sub>2</sub>O<sub>3</sub> na bazi prahova dobijenih termohemijskim postupkom sinterovan na t= 800°C



Sl. 105. Dijagram zavisnosti relativna promena zapremine – vreme za sistem Cu-3tež.% $Al_2O_3$  na bazi prahova dobijenih termohemijskim postupkom sinterovan na  $t=900^{\circ}C$

U tabeli XXV prikazane su dobijene vrednosti kinetičkih parametara procesa za sistem Cu-3tež.%Al<sub>2</sub>O<sub>3</sub> na bazi prahova dobijenih termohemijskim postupkom, izračunate na prethodno opisan način, a na osnovu odgovarajućih dijagrama zavisnosti relativna promena zapremine – vreme (sl. 104 i 105).

Tabela XXV. Kinetički parametri procesa za sistem Cu-3tež.%Al<sub>2</sub>O<sub>3</sub> na bazi prahova dobijenih termohemijskim postupkom

Temperatura, °C	$k', 10^{-3}s^{-1}$	$k'', 10^{-3}s^{-1}$	$E'_a, kJ/mol$	$E''_a, kJ/mol$
800	0,00695	0,00183	181,86875	504,036
900	0,00115	$1,42857 \cdot 10^{-5}$		

### Primenom paraboličnog zakona

$$\frac{\Delta V}{V_0} = K \cdot D \cdot \tau^{\frac{1}{2}} \quad \dots \dots \dots \quad (34)$$

gde je:

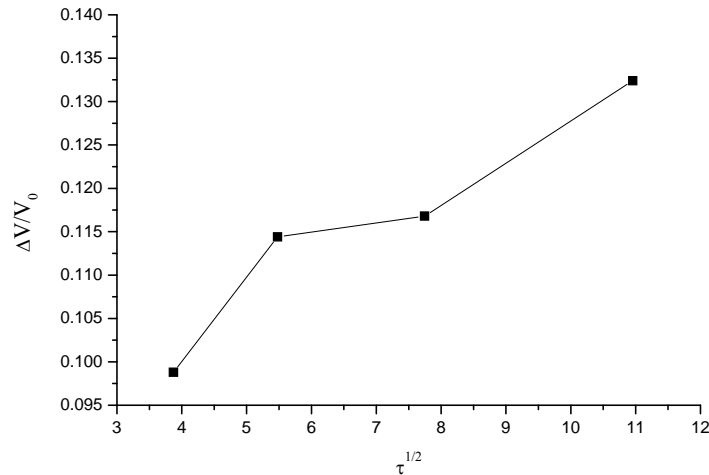
-  $\Delta V/V_0$  – relativna promena zapremine

-  $K$  - konstanta

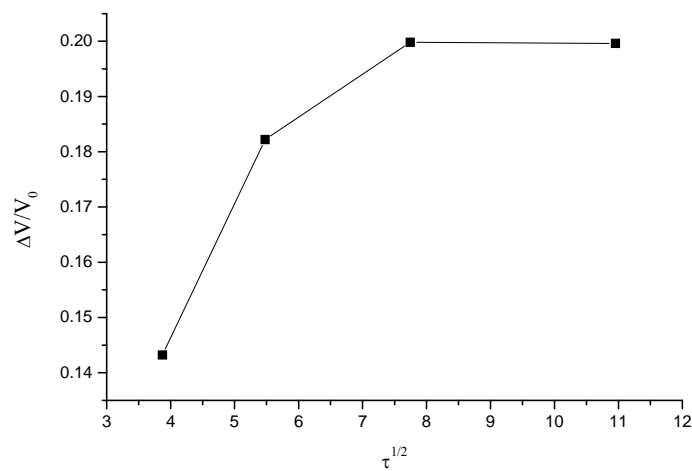
-  $D$  – koeficijent difuzije,

-  $\tau$  – vreme

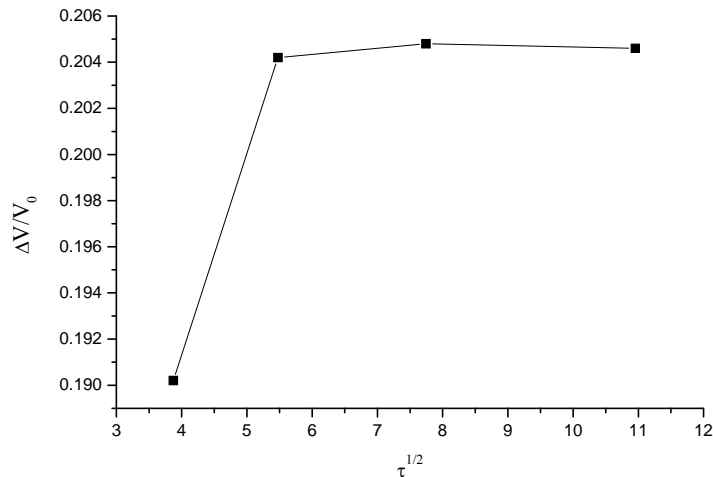
zavisnost  $\Delta V/V_0 = f(\tau^{1/2})$  za sistem Cu-3tež.%Al<sub>2</sub>O<sub>3</sub> na bazi praha dobijenog postupkom mehaničkog legiranja nije linearna i ima oblik krive prikazan na sl. 106-108.



Sl. 106. Zavisnost  $\Delta V/V_0 = f(\tau^{1/2})$  za sistem Cu-3tež.%Al<sub>2</sub>O<sub>3</sub> na bazi praha dobijenog postupkom mehaničkog legiranja, sinterovan na  $t=800^\circ C$

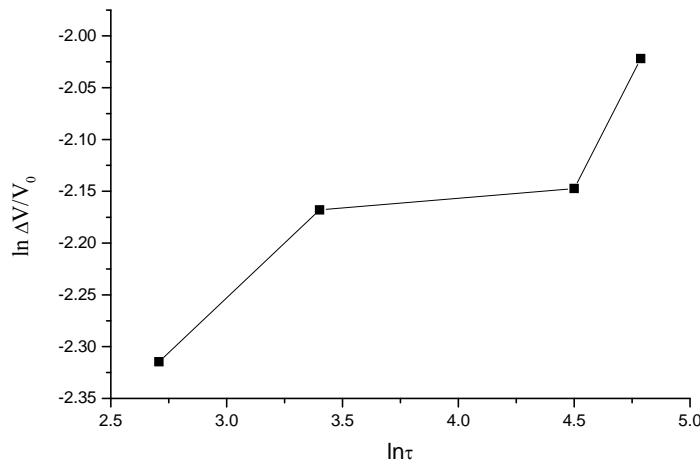


Sl. 107. Zavisnost  $\Delta V/V_0 = f(\tau^{1/2})$  za sistem Cu-3tež.%Al<sub>2</sub>O<sub>3</sub> na bazi praha dobijenog postupkom mehaničkog legiranja, sinterovan na  $t=900^\circ C$

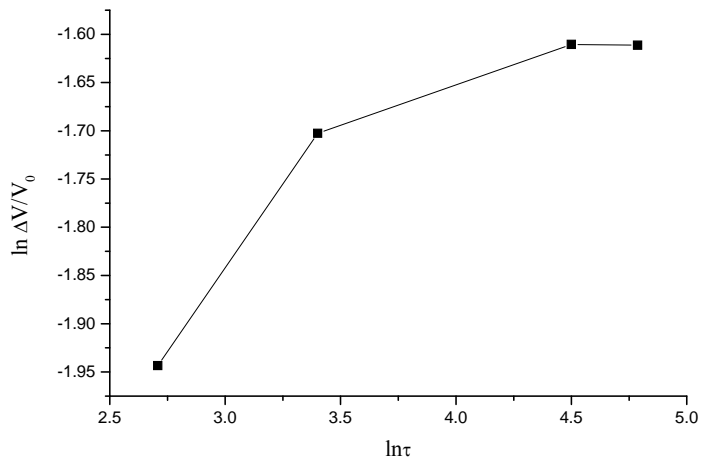


Sl. 108. Zavisnost  $\Delta V/V_0 = f(\tau^{1/2})$  za sistem Cu-3tež.% $Al_2O_3$  na bazi praha dobijenog postupkom mehaničkog legiranja, sinterovan na  $t=1000^\circ C$

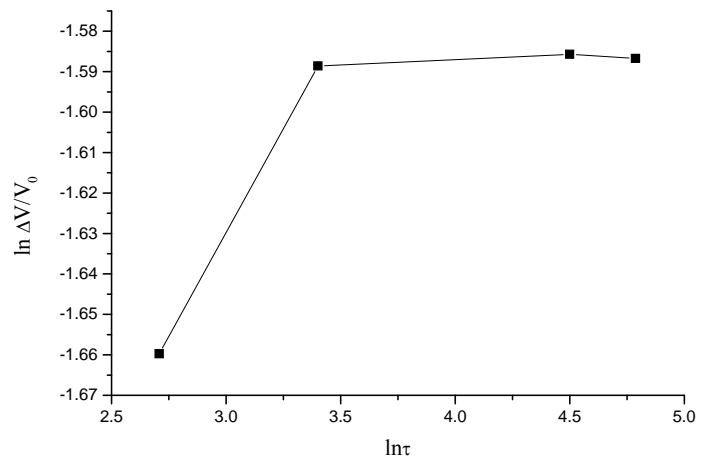
Primenom modela na bazi Johnson-Mehl-ove jednačine, zavisnost  $\ln \Delta V/V_0 = f(\ln \tau)$  za navedene sinterovane sisteme na bazi prahova dobijenih postupkom mehaničkog legiranja, takođe nije linearna i ima oblik krivih prikazan na sl. 109 - 111.



Sl. 109. Zavisnost  $\ln(\Delta V/V_0) = f(\ln \tau)$  za sistem Cu-3tež.% $Al_2O_3$  na bazi praha dobijenog postupkom mehaničkog legiranja, sinterovan na  $t=800^\circ C$



Sl. 110. Zavisnost  $\ln(\Delta V/V_0) = f(\ln \tau)$  za sistem Cu-3tež.% $Al_2O_3$  na bazi praha dobijenog postupkom mehaničkog legiranja, sinterovan na  $t=900^\circ C$



Sl. 111. Zavisnost  $\ln(\Delta V/V_0) = f(\ln \tau)$  za sistem Cu-3tež.% $Al_2O_3$  na bazi praha dobijenog postupkom mehaničkog legiranja, sinterovan na  $t=1000^\circ C$

## **DISKUSIJA**

## **6. DISKUSIJA REZULTATA**

### **6.1. Karakterizacija dobijenih prahova**

#### **6.1.1. Nanokompozitni praha Cu-Al<sub>2</sub>O<sub>3</sub> dobijen postupkom mehaničkog legiranja**

Za dobijanje nanokompozitnog Cu-Al<sub>2</sub>O<sub>3</sub> sistema mehaničkim legiranjem kao polazni prahovi korišćeni su komercijalni prah bakra dobijen elektrolitičkim postupkom (“Pometon” RTB, Bor) i ultra fini i nano prah glinice, sintetisan sol-gel metodom. Mehaničko legiranje navedenih prahova vršeno je u keramičkom mlinu sa kuglama od čiste alumine ( $\geq 99\%$  Al<sub>2</sub>O<sub>3</sub>), pri čemu je odnos smeše i kugli iznosio 1:35. Vreme mehaničkog legiranja u atmosferi vodonika je 300 min, nakon čega je vršena redukcija dobijene smeše prahova vodonikom na temperaturi od 400°C u toku 60 min.

Karakterizacija komercijalnog praha bakra, sintetisanog ultra finog i nano praha glinice i nanokompozitnog praha Cu-Al<sub>2</sub>O<sub>3</sub> obuhvatila je određivanje nasipne gustine, tečljivosti, specifične površine čestica, raspodelu veličine čestica, hemijsku analizu, DTA-TG analizu, kao i analizu mikrostrukture skanirajućom elektronskom mikroskopijom.

Rezultati ispitivanja tečljivosti, nasipne gustine i specifične površine čestica sintetisanih prahova (tabele I i IV) nedvosmisleno potvrđuju ranija istraživanja, odnosno da se sa povećanjem veličine površine prahova povećava intenzitet trenja između čestica, smanjujući njihovo pakovanje i tečljivost.

Na sl. 35 predstavljen je DT-TG dijagram za osušeni gel Al<sub>2</sub>O<sub>3</sub>. Osušeni gel je izabran za DTA-TG analizu u cilju provere odigravanja faznih transformacija u uzorku tokom procesa kalcinacije.

Sa DT krive može se videti da se prvi egzotermni pik pojavljuje na temperaturi od 109°C, što se može pripisati isparavanju vode. Drugi egzotermni pik na temperaturi od 303°C se pripisuje izgaranju PEG-a.

Endotermni pik na temperaturi od  $252^{\circ}\text{C}$  posledica je dehidratacije. Na temperaturi od  $1001^{\circ}\text{C}$  primetan je široki egzotermni pik. Ovaj pik predstavlja faznu transformaciju  $\text{Al}_2\text{O}_3$  od  $\gamma\text{-Al}_2\text{O}_3$  do  $\alpha\text{-Al}_2\text{O}_3$ . Posle ove temperature ne pojavljuju se ni egzotermni ni endotermni pikovi. U literaturi [22] se za faznu transformaciju glinice pojavlju četiri razdvojena pika koji odgovaraju pojedinačnim faznim transformacijama. Međutim, u našem slučaju uočava se samo jedan razvučeni pik, što je posledica aglomeracije sitnih čestica praha.

Termogravimetrijska analiza pokazuje ukupan gubitak mase od 8,33% u intervalu do oko  $200^{\circ}\text{C}$ . Ovo ukazuje na postojanje vode, koja isparava na ovim temperaturama, što je u skladu sa egzoternim pikom na DT krivoj. Veliki procenat gubitka mase od 18,23% se uočava u sledećem temperaturnom intervalu zagrevanja, što predstavlja posledicu dehidratacije. Takođe, u ovom temperaturnom intervalu dolazi do izgaranja PEG-a, što doprinosi gubitku mase. Sledeci interval temperatura se ne odlikuje velikim gubitkom mase (2,33%), što odgovara faznim transformacijama  $\text{Al}_2\text{O}_3$ , odnosno sređivanju kristalne strukture.

Karakterizacija dobijenog praha  $\text{Al}_2\text{O}_3$  obuhvatila je, pored navedenog, i ispitivanja skanirajućom elektronskom mikroskopijom, što je prikazano na sl. 36-38. Analiza mikrostrukture dobijenog praha ukazuje na mogućnost sinteze ultra fine i nano glinice postupkom dobijanja koloidnog gela dodavanjem  $\text{NH}_3 \times \text{H}_2\text{O}$  u rastvor  $\text{Al}(\text{NO}_3)_3 \times 9\text{H}_2\text{O}$ .

Analizom mikrostrukture dobijenog praha jasno je uočljivo prisustvo finih čestica  $\text{Al}_2\text{O}_3$  veličine 50-200nm. Čestice su, u skladu sa ISO standardom 3252, nepravilnog oblika. Pored prisustva pojedinačnih ultra finih i nano čestica glinice, primetno je i prisustvo aglomerata s underastog oblika, veličine 1-4 $\mu\text{m}$ , koji se lako usitnjavaju mlevenjem. Kako se korišćenjem prethodno opisanog sol-gel postupka dobijaju prahovi sa izuzetno sitnim česticama, to je osnovni "uslov" pojave aglomerata ispunjen. Naime, aglomeracija sitnih čestica je posledica njihove velike površine, odnosno velike površinske energije i dejstva privlačnih sila između njih. Na kontaktima površinama usled atomske veze u međupovršini, dolazi do stvaranja naprezanja, čija veličina

zavisi direktno od površinske energije čestica koje se dodiruju. S obzirom da je, u početnoj fazi sinteze  $\text{Al}_2\text{O}_3$ , za deaglomeraciju korišćen polietilen-glikol (PEG), kao površinski aktivana materija, a imajući u vidu odnos aglomerisanih i neaglomerisanih ultra finih i nano čestica glinice, to se može konstatovati da prisustvo aglomerata (sl. 36-38) potiče iz neke od narednih faza postupka. Dodatak  $\text{ZnF}_2$  omogućio je smanjenja temperature transformacije  $\theta$ - u  $\alpha\text{-}\text{Al}_2\text{O}_3$ .

Na sl. 39 dat je prikaz mikrostrukture čestica korišćenog polaznog praha elektrolitičkog bakra. Mikrostruktura čestica praha elektrolitičkog bakra ukazuje na dendritni oblik i hrapavu morfologiju površine čestica. Veličina grana dendrita je  $20\text{-}50\mu\text{m}$ , dok je veličina čestica na njihovim krajevima  $1\text{-}5\mu\text{m}$ . Dendritna morfologija korišćenog praha bakra omogućava smeštanje sitnih čestica glinice između grana dendrita tokom postupka mehaničkog legiranja i dobijanje kompozita sa homogenom raspodelom disperzoida.

Prikaz mikrostrukture (SEM) čestica praha  $\text{Cu-Al}_2\text{O}_3$  dobijenog postupkom mehaničkog legiranja za različite sadržaje disperzoida dat je na sl. 40 i 41. Sa slika se može videti da je veličina čestica dobijenog nanokompozitnog praha od  $100\text{-}300\text{nm}$ , ali da je, kao i u slučaju praha glinice dobijene termohemijskim postupkom, zbog male veličine čestica, odnosno njihove velike površine i dejstva privlačnih sila, došlo je do aglomeracije, pri čemu je veličina formiranih aglomerata  $2\text{-}5\mu\text{m}$ . Inače, u skladu sa ISO standardom 3252, oblik čestica je nepravilan. Morfologija površine je hrapava. Aglomerati imaju sunđerast oblik, pa se kao takvi lako usitnjavaju mlevenjem.

### **6.1.2. Nanokompozitni praha $\text{Cu-Al}_2\text{O}_3$ dobijen termohemijskim postupkom**

Kao što je rečeno, pored konvencionalnih načina dobijanja kompozita na bazi  $\text{Cu-Al}_2\text{O}_3$ , sinteza ovih materijala može biti vršena termohemijskim postupkom, taloženjem iz rastvora soli metala. Za sintezu nanokompozitnog  $\text{Cu-Al}_2\text{O}_3$  praha temohemijskim postupkom, kao polazne komponente korišćeni su nitrati bakra i aluminijuma,  $\text{Cu}(\text{NO}_3)_2 \times 3\text{H}_2\text{O}$  i  $\text{Al}(\text{NO}_3)_3 \times 9\text{H}_2\text{O}$ .

Karakterizacija nanokompozitnog praha Cu-Al<sub>2</sub>O<sub>3</sub> dobijenog termohemijskim postupkom, obuhvatila je određivanje nasipne gustine, tečljivosti, specifične površine čestica, DTA-TG analizu, rendgenostruktturnu analizu, kao i analizu mikrostrukture skanirajućom elektronskom mikroskopijom (SEM) i analitičkom elektronskom mikroskopijom (AEM) povezanom sa energetskom disperzivnom spektroskopijom (EDS).

Rezultati ispitivanja tečljivosti, nasipne gustine i specifične površine čestica prahova sintetisanih termohemijskim postupkom (tabela V) su u saglasnosti sa rezultatima navedenih ispitivanja za prahove dobijene postupkom mehaničkog legiranja (tabela IV) i ukazuju da se pakovanje i tečljivost smanjuju sa povećanjem veličine površine prahova, odnosno intenziteta trenja između čestica.

DT-TG dijagram za nanokompozitni Cu-Al<sub>2</sub>O<sub>3</sub> prah sa sadržajem Al<sub>2</sub>O<sub>3</sub> od 5 tež.%, dobijenog termohemijskim postupkom prikazan je na sl. 42.

Na DT krivoj se uočavaju dva endotermna pika na pribлизно 150°C i 250°C, za koje se može reći da se odnose na isparavanje i dehidrataciju zaostale vlage, a imajući u vidu da se prisutni Al<sub>2</sub>O<sub>3</sub> odlikuje izuzetnom higroskopnošću. Egzotermni pik na 324°C praćen je priraštajem mase od 5,88%, što predstavlja početak procesa oksidacije prisutnog finog praha bakra. Intenzivno povećanje mase na TG krivoj beleži se sve do temperature od pribлизно 550°C, nakon čega se TG kriva ustaljuje, pokazujući neznatno povećanje mase od svega par procenata, pri čemu ukupni priraštaj mase u toku zagrevanja iznosi 28,43%. Dalje zagrevanje uzorka ukazuje na postojanje nekoliko pikova egzoternog karaktera na 684, 820, 885 i 938°C, koji odgovaraju faznim transformacijama Al<sub>2</sub>O<sub>3</sub> koje se odigravaju u ovom sistemu.

Na sl. 43 prikazana je rendgenostruktturna analiza Cu-Al<sub>2</sub>O<sub>3</sub> praha, sa 3% disperzoida, dobijenog sušenjem raspršivanjem vodenog rastvora nitrata bakra i aluminijuma. U skladu sa postavkom eksperimenta u strukturi su pronađeni samo pikovi koji odgovaraju nitratima bakra i aluminijuma.

Rendgenostruktturna analiza nakon žarenja je prikazana na sl. 44. Detektovani pikovi odgovaraju CuO i Al<sub>2</sub>O<sub>3</sub>. Takođe, detektovan je i pik koji

najverovatnije, u skladu sa [28, 112, 113], odgovara trećoj fazi,  $Cu_xAl_yO_z$ , koja se pojavljuje u strukturi usled eutektičke reakcije ( $Cu+Cu_2O$ ) sa  $Al_2O_3$ , a čije je formiranje sa termodynamičkog aspekta moguće na Cu-Al dodirnim površinama. Pri eutektičkom sjedinjavanju bakra i  $Al_2O_3$ , eutektikum obrazovan zagrevanjem do eutektičke temperature se širi i reaguje sa  $Al_2O_3$  stvarajući  $Cu_xAl_yO_z$ , koji je kompatibilan sa obe faze na međupovršini. Formirana treća faza ima uticaj na prirodu doslokacione strukture, a samim tim na poboljšanje mehaničkih svojstava i postizanje dobre kombinacije mehanička svojstva - električna svojstva sinterovanih sistema.

Na sl. 45 prikazan je RDA dijagram Cu-3 tež. %  $Al_2O_3$  praha nakon redukcije pri čemu su detektovani pikovi elementarnog bakra i  $Al_2O_3$ . Pored toga, detektovan je i pik koji odgovara  $CuO$ , što znači da redukcija nije bila potpuna, odnosno da je potrebno vršiti dvostepenu redukciju.

Karakterizacija nanokompozitnog  $Cu-Al_2O_3$  praha, dobijenog termohemijskim postupkom, obuhvatila je, pored navedenog, i ispitivanja skanirajućom elektronskom mikroskopijom (SEM), što je prikazano na sl. 46-49. Analiza mikrostrukture (sl. 46-47) dobijenog praha ukazuje na mogućnost sinteze nanokompozitnog  $Cu-Al_2O_3$  sistema termohemijskim postupkom, polazeći od vodenih rastvora  $Cu(NO_3)_2$  i  $Al(NO_3)_3$ , pri čemu su jasno uočljive čestice veličine od 100-200nm, kao i prisustvo pojedinačnih čestica sa veličinom manjom od 100nm. AEM analiza sintetisanog nanokompozitnog  $Cu-Al_2O_3$  praha prikazana na sl. 48 i 49 ukazuje na prisustvo pojedinačnih čestica veličine 20-50nm. Oblik čestica je nepravilan uz prisustvo pojedinih čestica nodularnog oblika. Morfologija površine je hrapava. Pored toga, primetno je i prisustvo aglomerata veličine >100nm, koje obrazuju pojedinačne čestice navedene veličine. Aglomerati su sunđerastog oblika. Ovome u prilog treba dodati i činjenicu da individualne čestice  $\alpha-Al_2O_3$  nisu detektovane na površini čak ni pri uvećanjima od 30000×.

Energetskom disperzivnom spektroskopijom određen je sastav nanokompozitnog Cu-5tež.% $Al_2O_3$  praha dobijenog termohemijskim postupkom, što je prikazano na sl. 50. Na sl. 49 dat je AEM nanokompozitnog

Cu-5tež.%Al<sub>2</sub>O<sub>3</sub> sa označenim mestom na kome je vršena analiza energetskom disperzivnom spektroskopijom. Dobijeni rezultati ispitivanja statistički su obrađeni i prikazani u tabeli VI. EDS analiza pokazuje da su na ispitivanom mestu, odnosno u strukturi identifikovani pikovi koji odgovaraju Cu, Al i O. Intenzitet pikova odgovara zahtevanom sastavu ispitivanih sistema, tako da je pik koji odgovara bakru znatno veći od pikova koji odgovaraju aluminiju i kiseoniku.

### **6.1.3. Nanokompozitni prah Cu-Ag-Al<sub>2</sub>O<sub>3</sub>**

Sinteza Cu-Ag-Al<sub>2</sub>O<sub>3</sub> nanokompozitnog sistema vršena je na dva načina:

- mehaničkim legiranjem prethodno sintetisanog nanokompozitnog Cu-Al<sub>2</sub>O<sub>3</sub> praha termohemijskim postupkom i praha srebra dobijenog hemijskim putem,
- mehaničkim legiranjem Cu-Al<sub>2</sub>O<sub>3</sub> i Cu-Ag sistema dobijenih termohemijskim postupkom.

Karakterizacija dobijenog nanokompozitnog praha Cu-Ag-Al<sub>2</sub>O<sub>3</sub> obuhvatila je određivanje nasipne gustine, tečljivosti, specifične površine čestica, kao i analizu mikrostrukture skanirajućom elektronskom mikroskopijom.

Rezultati ispitivanja tečljivosti, nasipne gustine i specifične površine čestica (tabele VII i VIII) nanokompozitnog Cu-Ag-Al<sub>2</sub>O<sub>3</sub> praha su u saglasnosti sa rezultatima ispitivanja Cu-Al<sub>2</sub>O<sub>3</sub> praha dobijenog postupkom mehaničkog legiranja (tabela IV) i Cu-Al<sub>2</sub>O<sub>3</sub> praha dobijenog termohemijskim postupkom (tabela V), pri čemu ukazuju da se sa povećanjem intenziteta trenja između čestica, prouzrokovanih povećanjem veličine površine, smanjuju pakovanje i tečljivost prahova.

Na sl. 51 dat je prikaz mikrostrukture (SEM) čestica Cu-Ag-Al<sub>2</sub>O<sub>3</sub> praha dobijenog mehaničkim legiranjem prethodno sintetisanog nanokompozitnog Cu-Al<sub>2</sub>O<sub>3</sub> praha termohemijskim postupkom i praha srebra dobijenog

hemijskim putem. Sa slike se može videti da je veličina čestica dobijenog praha od 150-300nm. Oblik čestica je, u skladu sa ISO standardom 3252, nepravilan. Morfologija površine je hrapava. Takođe, uočljivo je i prisustvo aglomerata veličine 1-3 $\mu$ m, sundjerastog oblika.

Na sl. 52 i 53 prikazane su SEM mikrofotografije nanokompozitnog Cu-Ag-Al<sub>2</sub>O<sub>3</sub> praha dobijenog mehaničkim legiranjem Cu-Al<sub>2</sub>O<sub>3</sub> i Cu-Ag sistema sintetisanih termohemijskim postupkom. Na mikrofotografijama može se uočiti da je veličina čestica dobijenog praha od 100-300nm. Pored pojedinačnih čestica uočeno je i prisustvo aglomerata veličine <5 $\mu$ m.

## 6.2. Karakterizacija sinterovanih sistema

Pripremljeni sistemi polaznih prahova presovani su delovanjem sile pritiska sa obe strane u alatu konstruisanom prema standardu JUS N.G3.090 za dobijanje uzoraka namenjenih za ispitivanje specifičnog električnog otpora otpresovanih i sinterovanih kontaktnih materijala.

Sinterovanje uzoraka Cu-Al<sub>2</sub>O<sub>3</sub> sistema vršeno je u temperaturnom opsegu 800-900°C za sisteme dobijene termohemijskim postupkom, odnosno 800-1000°C za sisteme dobijene mehaničkim legiranjem, u toku 15-120 minuta. Trokomponentni Cu-Ag-Al<sub>2</sub>O<sub>3</sub> sistem sinterovan je u temperaturnom opsegu 600-800°C u toku 15-120 minuta. U cilju spečavanja oksidacije komponenata ispitivanih sistema, proces sinterovanja je vršen u atmosferi vodonika.

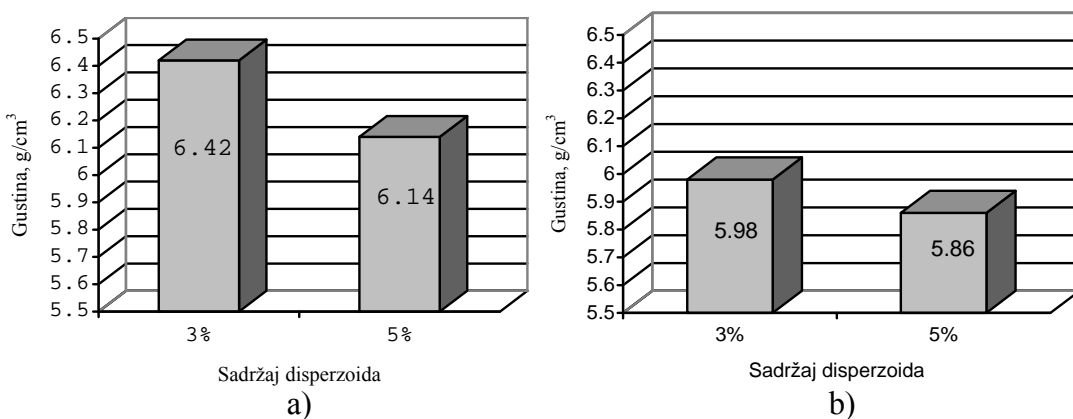
Karakterizacija sinterovanih sistema obuhvatila je ispitivanje gustine, relativne promene zapremine, električnih i mehaničkih svojstava, kao i ispitivanja skanirajućom elektronskom mikroskopijom (SEM), energetskom disperzivnom spektroskopijom (EDS), ispitivanja metodom fokusiranja snopa jona (FIB – Focused Ion Beam), transmisionom elektronskom mikroskopijom (TEM), ispitivanja selektovanih difrakcionih polja (SADP – Selected Area

Diffraction Pattern) i ispitivanja transmisionom elektronskom mikroskopijom visoke rezolucije (HRTEM).

### 6.2.1. Sistem Cu-Al<sub>2</sub>O<sub>3</sub>

Sinterovanje je izuzetno složen proces u toku koga se odvija kompleksno dejstvo više mehanizama prenosa materijala, kao i uređenje i promena oblika čestica, tj. procesi koji su tesno povezani sa neravnotežnim stanjem kristalne rešetke i koji pokazuju značajan uticaj na svojstva dobijenih metalnih materijala. U tabeli X prikazani su rezultati merenja gustine i relativne promene zapremine uzoraka sinterovanog Cu-Al<sub>2</sub>O<sub>3</sub> sistema na bazi prahova dobijenih mehaničkim legiranjem, a u tabeli XIII rezultati merenja gustine i relativne promene zapremine Cu-Al<sub>2</sub>O<sub>3</sub> sinterovanog sistema na bazi prahova dobijenih termohemijskim postupkom.

Rezultati ispitivanja pokazuju da se gustina sinterovanih uzoraka, na određenoj temperaturi i vremenu, sa povećanjem sadržaja Al<sub>2</sub>O<sub>3</sub> smanjuje, što je prikazano na sl. 112.



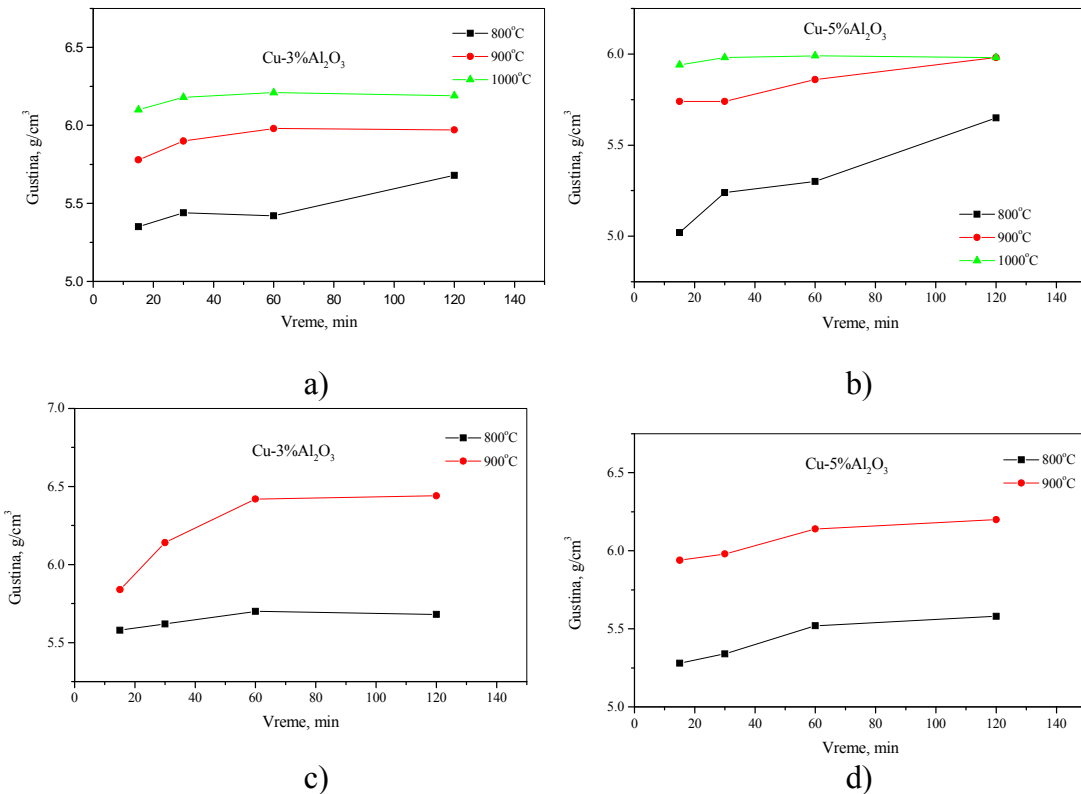
Sl. 112. Zavisnost gustine od sadržaja disperzoida Cu-Al<sub>2</sub>O<sub>3</sub> sistema sinterovanog na 900°C u toku 60 min: a) na bazi prahova dobijenih termohemijskim postupkom, b) na bazi prahova dobijenih mehaničkim legiranjem

Povećanje sadržaja disperznih faza doprinosi nastajanju defekata, povećanju gustine dislokacija, njihovom neravnomernom rasporedu i izraženoj zakriviljenosti rešetke. S obzirom da tokom zagrevanja metalnog materijala dolazi do anihilacije i preraspodele defekata, to je smanjenje sinterovane gustine sa povećanjem sadržaja  $\text{Al}_2\text{O}_3$ , pri određenom temperaturno-vremenskom režimu, posledica navedenih negativnih efekata povećanja sadržaja disperzoida.

Pored ovoga, pore, odnosno praznine između čestica su prisutne već u ispresku, a karakterišu se zapreminskim udelom, veličinom, oblikom i raspodelom u kompaktu. S obzirom da su čestice korišćenih prahova, na osnovu prethodno izložene karakterizacije, izuzetno sitne, to sa povećanjem u dela  $\text{Al}_2\text{O}_3$ , može doći do njihove aglomeracije i smanjenja stepena disperzije, što negativno utiče na poroznost, odnosno prouzrokuje povećanje njenog u dela i smanjenje gustine sinterovanih uzoraka. Prikazana mikrostruktura ispitivanja su potvrdila ovu konstataciju.

Gustina sinterovanih uzoraka raste sa temperaturom sinterovanja, u toku određenog vremena i pri određenom pritisku presovanja (sl. 113).

Sinterovanje je, pre svega osetljivo na temperaturu. Zato je, u cilju dobijanja zahtevane gustine i svođenja na najmanju moguću meru ogrubljavanja mikrostrukture, neophodno strogo kontrolisati temperaturu. Za postizanje što pozitivnijeg uticaja temperature na svojstva dobijenog metalnog materijala, neophodno je posebnu pažnju posvetiti i vremenu sinterovanja. Konačno, stroga kontrola temperaturno-vremenskog režima, u cilju dobijanja zahtevanih svojstava, neophodna je u ovoj fazi tehnološkog procesa dobijanja metalnih materijala postupcima metalurgije praha.



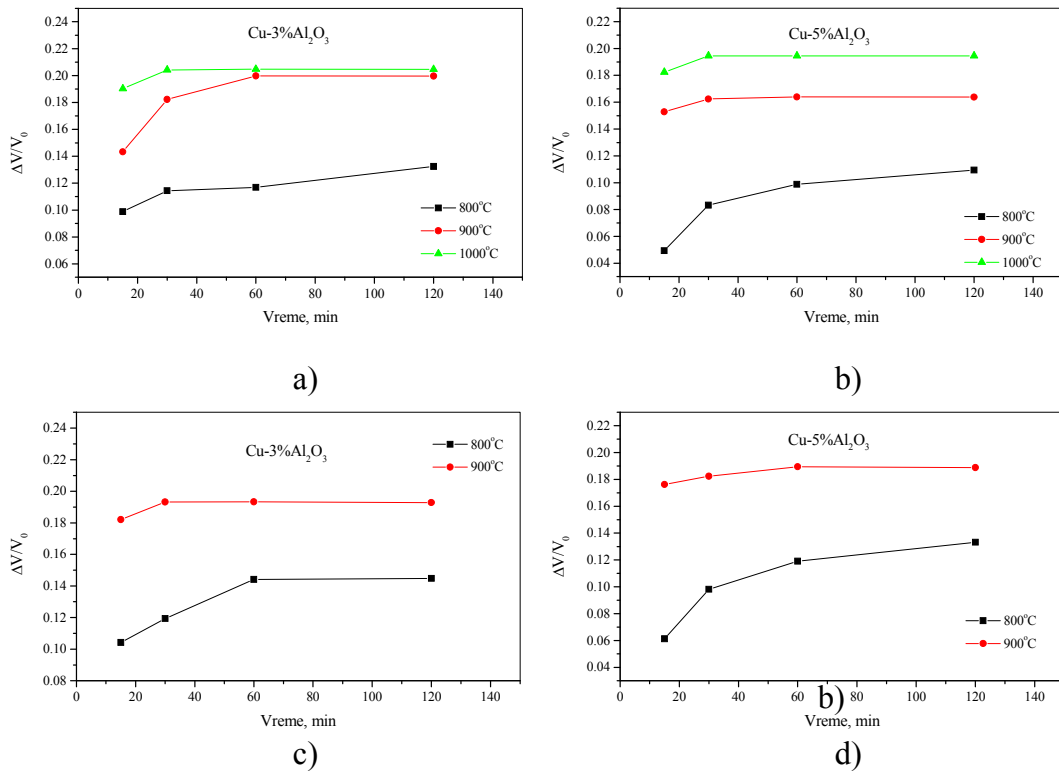
Sl. 113. Zavisnost gustine od temperature i vremena sinterovanja pri određenom sadržaju Al<sub>2</sub>O<sub>3</sub> sinterovanih Cu-Al<sub>2</sub>O<sub>3</sub> sistema: a) i b) na bazi prahova dobijenih mehaničkim legiranjem, c) i d) na bazi prahova dobijenih termohemijskim postupkom

Pokretačku silu sinterovanja predstavlja slobodna energija sistema, koji se sa termodinamičkog aspekta nalazi u neravnotežnom stanju. Ovo je posledica velike razvijenosti slobodne površine čestica praha, prisustva ravnotežnih (tačkastih) i neravnotežnih defekata (dislokacija). Pri deformaciji metalnih materijala koji sadrže disperzne faze, kakav je sistem Cu-Al<sub>2</sub>O<sub>3</sub> dobija se veća gustina dislokacija i veća akumulirana energija nego pri deformaciji jednofaznih sistema. Gustina dislokacija se naročito povećava u blizini čestica oko kojih su procesi klizanja i reakcije dislokacija veoma intenzivni. Pošto se materijal nalazi u termodinamički nestabilnom stanju, on teži da se oporavi, odnosno da se varti u stanje sa nižom slobodnom energijom, tj. stanje koje je bliže ravnotežnom. Tokom zagrevanja deformisanog materijala dolazi do

anihilacije i preraspodele defekata, odnosno do oporavljanja i rekristalizacije. Proces oporavljanja, pre svega, karakteriše poništavanje praznina i samim tim smanjenje njihove koncentracije. Gustina dislokacija se, pri tome, bitnije ne menja, već samo njihov raspored. Proces rekristalizacije karakteriše veoma izraženo smanjenje gustine dislokacija. U okviru navedenih procesa, u oblasti viših temperatura, kada je difuziona pokretljivost atoma dovoljno velika, odigrava se kompleksno delovanje svih difuzionih mehanizama transporta mase, odgovornih za sam proces sinterovanja. Sa porastom temperature sinterovanja delovanje ovih mehanizama je intenzivnije, što direktno utiče na obrazovanje kontakata između pojedinih čestica, rast površine kontakta, obrazovanje zatvorenih pora i rast zrna. Iz ovoga, naravno, sledi da će sa porastom temperature, u toku određenog vremena i pri određenom pritisku presovanja, doći do povećanja sinterovane gustine.

Polazeći od opštih kinetičkih jednačina [39], a u cilju analize kinetike sinterovanja, određena je relativna promena zapremine sinterovanih uzoraka, kao mera aktivnosti sistema.

Na sl. 114 dat je prikaz relativnog zapreminskog skupljanja u zavisnosti od vremena sinterovanja na različitim temperaturama i pri različitim sadržajima disperzoida za Cu-Al<sub>2</sub>O<sub>3</sub> sistem na bazi prahova dobijenih mehaničkim legiranjem (sl. 114 a, b) i Cu-Al<sub>2</sub>O<sub>3</sub> sistem na bazi prahova dobijenih termohemijskim postupkom (sl. 114 c, d).



Sl. 114. Relativna promena zapremine u zavisnosti od vremena na različitim temperaturama sinterovanih Cu-Al<sub>2</sub>O<sub>3</sub> sistema: a) i b) na bazi prahova dobijenih mehaničkim legiranjem, c) i d) na bazi prahova dobijenih termohemijskim postupkom

Pored navedenog, određeni su i kinetički parametri procesa sinterovanja na bazi vrednosti relativne promene zapremine uzoraka sinterovanih na različitim temperaturama i u toku različitih vremena za sisteme sa 3tež.%Al<sub>2</sub>O<sub>3</sub> na bazi prahova dobijenih postupkom mehaničkog legiranja i na bazi prahova dobijenih termohemijskim postupkom. Pri tome se došlo do zaključka da se izdvajaju dva karakteristična stadijuma u toku procesa sinterovanja.

Imajući u vidu da su kinetički parametri određeni na bazi vrednosti relativne promene zapremine uzoraka sinterovanih na 800, 900 i 1000°C u toku 15, 30, 60 i 120 minuta, to se navedeni stadijumi, u skladu sa opštim dijagramom sinterovanja (sl. 8), verovatno odnose na srednji i završni stadijum sinterovanja, pri čemu u srednjem stadijumu počinje obrazovanje zatvorenih

pora i čestice gube svoju individualnost, a završni stadijum karakteriše postojanje zatvorenih pora i rast zrna.

Treba napomenuti da, usled velike složenosti procesa koji se odigravaju tokom sinterovanja realnih sistema i nemogućnosti neposrednog posmatranja kompleksnog delovanja svih mehanizama odgovornih za ovaj proces, u realnim uslovima nije moguće jasno razdvojiti granice između odgovarajućih stadijuma, posebno imajući u vidu činjenicu da srednji stadijum započinje već u periodu zagrevanja, a završava se u periodu izoternskog sinterovanja (sl. 8). Međutim, za detaljnu identifikaciju navedenih procesa neophodna su dodatna istraživanja izvršena za veliki broj temperaturnih stanja neophodnih za tumačenje aktivnosti sistema u toku procesa strukturnih transformacija i ispitivanja temperaturnih i vremenskih zavisnosti strukturno osetljivih karakteristika.

U prilog identifikaciji registrovanih procesa, analizom mikrostrukture skanirajućom elektronskom mikroskopijom, kod uzoraka sinterovanih na višim temperaturama (sl. 67-68 i sl. 76-79) pore su zatvorene, što ukazuje na završni stadijum procesa sinterovanja. Međutim, kod uzoraka sinterovanih na nižim temperaturama (sl. 64, 65 i 75) obrazovane su mreže pora, što, imajući u vidu vrednosti specifičnog električnog otpora, kao mere strukturne stabilizacije sistema (tab. XIV), ukazuje na srednji stadijum, odnosno da proces sinterovanja nije potpuno završen.

Pored ovoga, kod sistema na bazi prahova dobijenih termohemijskim postupkom, rezultati kinetičke analize ukazuju na veće vrednosti energije aktivacije odgovarajućih procesa u odnosu na sistem na bazi prahova dobijenih postupkom mehaničkog legiranja (Tabela XXIV i XXV). Ovo je posledica izuzetno male veličine čestica nanokompozitnog Cu-Al<sub>2</sub>O<sub>3</sub> praha dobijenog termohemijskim postupkom, odnosno njihova velika površina i već u početnom stadijumu ostvarena, geometrijski posmatrano, izuzetno velika kontaktna površina između pojedinih čestica, što se manifestovalo na kasnije stadijume sinterovanja, kroz značajniju aktivnost sistema i ubrzano kompleksno delovanje

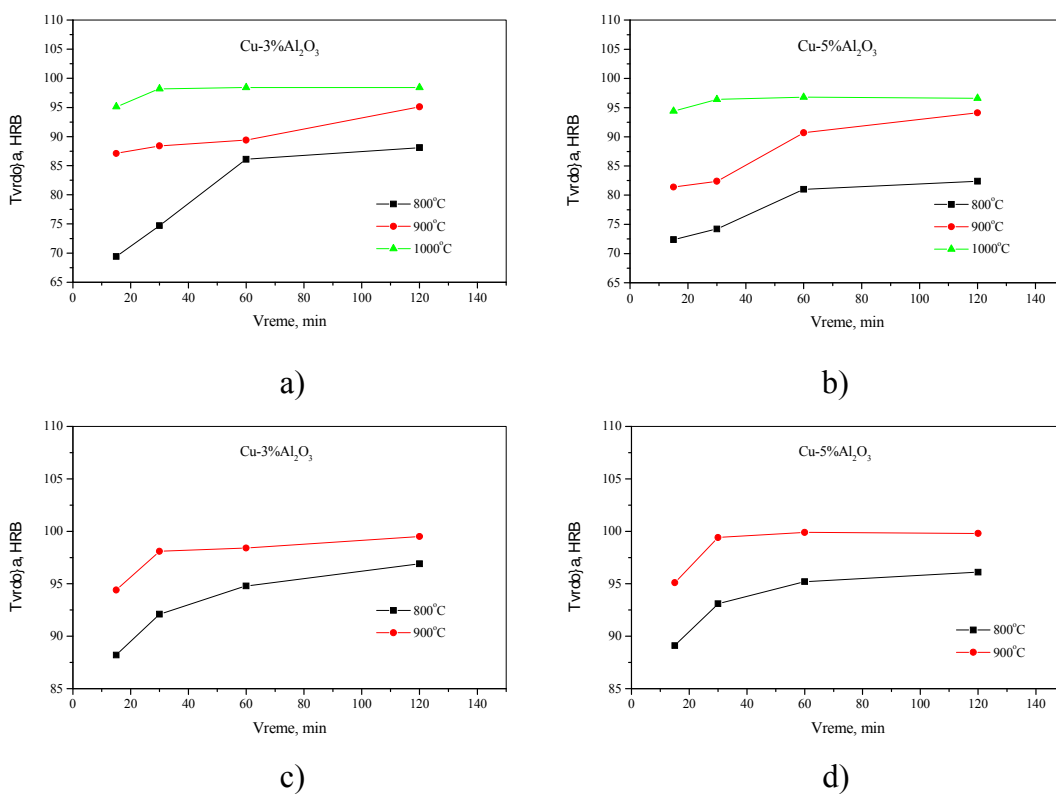
svih difuzionih mehanizama transporta mase, odgovornih za proces sinterovanja.

Kao što je rečeno, na osnovu kinetičke analize, došlo se do zaključka da se proces sinterovanja najverovatnije odigrava u dva stadijuma. Imajući u vidu činjenicu da je za zapreminsку difuziju potrebna veća energija aktivacije, rezultati kinetičke analize ukazuju da se u prvom stadijumu odigrava površinska difuzija i difuzija po granicama zrna, dok se transport mase u drugom stadijumu odigrava zapreminskom difuzijom. Granica između identifikovanih stadijuma je granica između mehanizma transporta materijala površinskom, odnosno difuzijom po granicama zrna i zapreminskom difuzijom, i kao takva predstavlja difuzionu potencijalnu barijeru. Pored ovoga, uporedna analiza kinetike sinterovanja primenom Arenijus-ove jednačine (sl. 90-105), paraboličnog zakona (sl. 106-108) i Johnson-Mehl-ove jednačine (sl. 109-111) potvrđuje da se proces sinterovanja realnih sistema na bazi ultra finih i nano prahova bakra i glinice najverovatnije odigrava u dva stadijuma.

Postojeće fenomenološke jednačine sinterovanja zasnivaju opisivanje kinetike sinterovanja realnih disperznih sistema na analizi relativne promene zapremine, kao mere aktivnosti sistema, u funkciji temperature, vremena i energije aktivacije, nezavisno od polazne poroznosti presovanog uzorka, pri čemu je vrednost relativne promene zapremine direktno proporcionalna sa temperaturom i vremenom, a obrnuto proporcionalna sa energijom aktivacije. U skladu sa navedenim, u radu je ispitivan uticaj temperature, vremena i sadržaja  $\text{Al}_2\text{O}_3$  (sl. 114), kao i energije aktivacije (tab. XXIV i XXV) na vrednosti relativne promene zapremine, pri čemu se došlo do sledećih zaključaka. Relativna promena zapremine, kao mera aktivnosti sistema, se povećava sa porastom temperature sinterovanja u toku određenog vremena i pri određenom sadržaju disperzoida. Takođe, pri određenom sadržaju  $\text{Al}_2\text{O}_3$  i određenoj temperaturi, relativna promena zapremine raste sa vremenom sinterovanja. Vrednosti relativne promene zapremine, pri određenoj temperaturi i vremenu sinterovanja, se smanjuju sa povećanjem sadržaja disperzoida. Sa povećanjem energije aktivacije odgovarajućih procesa vrednost relativne

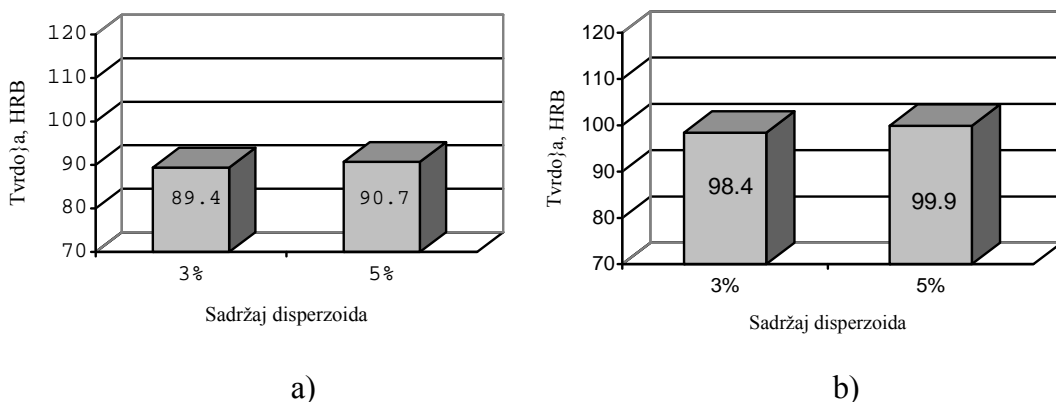
promene zapremine se smanjuje. Na osnovu dobijenih zavisnosti, a imajući u vidu postojeće fenomenološke jednačine sinterovanja i u njima iskazane zavisnosti, došlo se do nedvosmislene potvrde mogućnosti njihovog korišćenja za opisivanje kinetike sinterovanja realnih disperznih sistema. Konačno, dobijeni rezultati ispitivanja su u saglasnosti sa zavisnostima iskazanim u postojećim fenomenološkim jednačinama.

Rezultati ispitivanja tvrdoće sinterovanih uzoraka, kao mere ojačavanja visokoprovodne matrice bakra, pokazuju da je rast vrednosti tvrdoće (sl. 115) u funkciji smanjenja specifičnog električnog otpora (tabela XIV), odnosno strukturne stabilizacije sistema. Takođe, sa porastom temperature sinterovanja, u toku određenog vremena, tvrdoća se povećava (sl. 115).



Sl. 115. Zavisnost tvrdoće od temperature i vremena sinterovanja pri određenom sadržaju  $Al_2O_3$  sinterovanih  $Cu-Al_2O_3$  sistema: a) i b) na bazi prahova dobijenih mehaničkim legiranjem, c) i d) na bazi prahova dobijenih termohemijskim postupkom

Pored navednog, rezultati ispitivanja ukazuju na porast tvrdoće sa povećanjem sadržaja  $\text{Al}_2\text{O}_3$ , pri određenoj temperaturi i vremenu sinterovanja (sl. 116).



Sl. 116. Zavisnost tvrdoće od sadržaja disperzoida  $\text{Cu}-\text{Al}_2\text{O}_3$  sistema sinterovanog na  $900^\circ\text{C}$  u toku 60 min: a) na bazi prahova dobijenih mehaničkim legiranjem, b) na bazi prahova dobijenih termohemijskim postupkom

S obzirom da sa porastom temperature sinterovanja, u toku određenog vremena, zapreminski deo poroznosti opada, kao i da sa porastom sadržaja  $\text{Al}_2\text{O}_3$ , poroznost raste, može se konstatovati da na vrednosti tvrdoće sinterovanih uzoraka značajan uticaj ima efekat poroznosti.

Analiza rezultata ispitivanja tvrdoće, kao mere ojačavanja sistema, odnosi se kako na  $\text{Cu}-\text{Al}_2\text{O}_3$  sinterovane sisteme na bazi prahova dobijenih termohemijskim postupkom, tako i na sinterovane  $\text{Cu}-\text{Al}_2\text{O}_3$  sisteme na bazi prahova dobijenih postupkom mehaničkog legiranja. Međutim, treba istaći da su kod sinterovanog  $\text{Cu}-\text{Al}_2\text{O}_3$  sistema na bazi prahova dobijenih termohemijskim postupkom ostvareni značajniji efekti ojačavanja u odnosu na isti sistem na bazi prahova dobijenih mehaničkim legiranjem, što je posledica relativno ravnomerne raspodele  $\text{Al}_2\text{O}_3$  disperzoida u matrici bakra. Relativno ravnomerna raspodela glinice u nanokompozitnom  $\text{Cu}-\text{Al}_2\text{O}_3$  sistemu, ostvarena tokom sinteze praha taloženjem iz tečne faze, prouzrokuje

stabilizaciju dislokacione substrukture i postizanje značajnih efekata ojačavanja kompleksnim delovanjem više mehanizama.

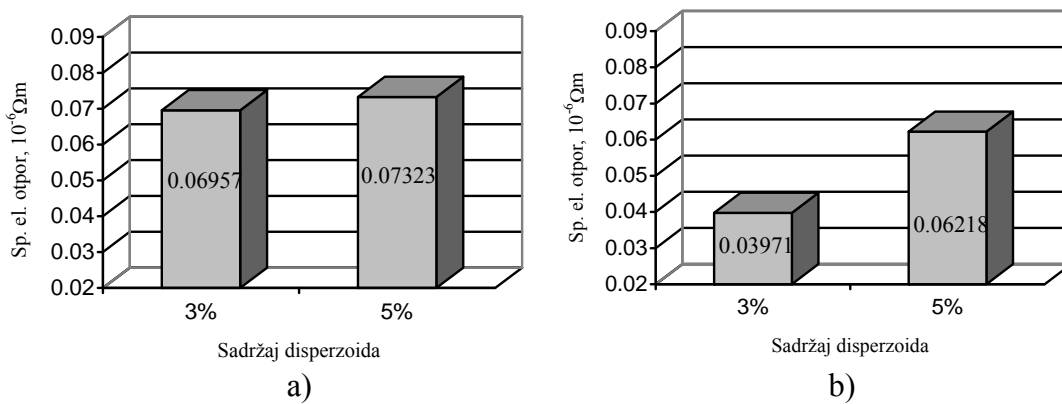
Kada se dislokacija približi granici zrna, javljaju se privlačne sile koje izaziva sama granica i odbojne sile koje izaziva rešetka susednog zrna. Razlika u orientaciji dva susedna zrna predstavlja osnovni razlog zbog koga dislokacije ne mogu da pređu iz jednog u susedno zrno, što predstavlja osnovu ojačavanja granicama zrna. Granica zrna predstavlja nesavladivu prepreku za dislokacije već pri relativno maloj razlici u orientaciji dva susedna zrna [103]. Pored navedenog, kod nanokompozitnih materijala dislokacije mogu da nestanu u granicama zrna ili da prestanu da se umnožavaju jer Frenk-Ridovi izvori dislokacija ne mogu da se aktiviraju u sitnozrnim višefaznim materijalima, što predstavlja dodatni mehanizam ojačavanja [126].

Rastvoreni atomi mogu da stupe u reakciju sa dislokacijama koje miruju, kao i sa dislokacijama koje se pod uticajem naprezanja kreću po kliznim ravnima, što ukazuje da ojačavanje zavisi i od reakcije dislokacija sa rastvorenim atomima, odnosno ukazuje na pojavu rastvarajućeg ojačavanja. Pri ovome, ojačavanje izazivaju atmosfere rastvorenih atoma koje blokiraju dislokacije. Za pokretanje dislokacija oko kojih su se okupili rastvoreni atomi, potrebno je primeniti veće naprezanje nego za pokretanje slobodnih dislokacija oko kojih je koncentracija rastvorenih atoma jednaka prosečnoj koncentraciji [103].

Ojačavanje disperzijom stabilnih sekundarnih faza naziva se disperzno ojačavanje, pri čemu same čestice predstavljaju prepreku koju dislokacije treba da savladaju. U skladu sa ovim, dislokacije mogu da reaguju sa česticama na dva načina: mehanizmom sečenja ili mehanizmom zaobilaženja (Orowan-ov mehanizam). Mehanizam sečenja se najčešće javlja između dislokacija i koherenntih, odnosno delimično koherenntih čestica. Mehanizam zaobilaženja se najčešće javlja između dislokacija i nekoherenntih čestica velike čvrstoće, koje dislokacije ne mogu da preseku. Ukoliko je rastojanje između čestica veće, utoliko je potrebno primeniti manje naprezanje da se dislokacije saviju i zaobiđu čestice [103].

Na osnovu prethodno iznetog, može se predpostaviti da su kod Cu-Al<sub>2</sub>O<sub>3</sub> sistema na bazi prahova dobijenih postupkom mehaničkog legiranja, dominantni Orowan-ov mehanizam ojačavanja i ojačavanje granicama zrna, dok su kod Cu-Al<sub>2</sub>O<sub>3</sub> sistema na bazi prahova dobijenih termohemijskim postupkom, značajni efekti ojačavanja postignuti kompleksnim delovanjem mehanizma sečenja, rastvarajućeg ojačavanja i ojačavanja granicama zrna. Međutim, navedene pretpostavke neophodno je potvrditi dodatnim ispitivanjima korišćenjem uređaja visoke rezolucije.

Rezultati ispitivanja specifičnog električnog otpora sinterovanih uzoraka pokazuju da sa porastom sadržaja disperzoida, pri određenom temperaturno-vremenskom režimu, specifični električni otpor raste (sl. 117).



Sl. 117. Zavisnost specifičnog električnog otpora od sadržaja disperzoida Cu-Al<sub>2</sub>O<sub>3</sub> sistema sinterovanog na 900°C u toku 60 min: a) na bazi prahova dobijenih mehaničkim legiranjem, b) na bazi prahova dobijenih termohemijskim postupkom

Takođe, rezultati ukazuju da, pri određenom sadržaju Al<sub>2</sub>O<sub>3</sub>, sa porastom temperature sinterovanja u toku određenog vremena vrednosti specifičnog električnog otpora opadaju.

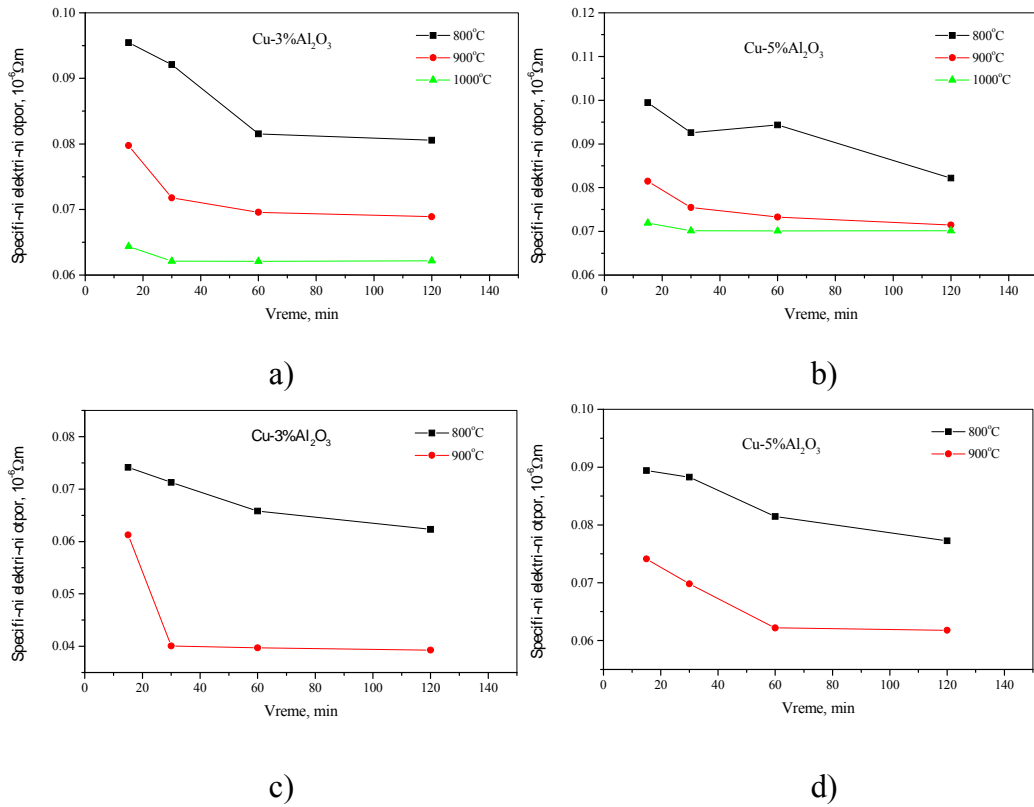
S obzirom da sa porastom temperature sinterovanja, u toku određenog vremena, zapreminski udio poroznosti opada, kao i da sa porastom sadržaja Al<sub>2</sub>O<sub>3</sub> poroznost raste, to se može zaključiti da efekat poroznosti ima značajan uticaj na vrednosti specifičnog električnog otpora sinterovanih sistema.

Kao što smo rekli, sa porastom temperature sinterovanja, u toku određenog vremena, vrednost specifičnog električnog otpora nakon sinterovanja se smanjuje (sl. 118). U skladu sa navedenim, a imajući u vidu da promena specifičnog električnog otpora predstavlja mernu strukturne stabilizacije sistema, može se konstatovati da na određenim temperaturama nije došlo do strukturne stabilizacije sistema, odnosno da proces strukturne stabilizacije nije završen.

Jasno je uočljivo da je maksimalna temperatura sinterovanja Cu-Al<sub>2</sub>O<sub>3</sub> sistema na bazi prahova dobijenih termohemijskim postupkom bila 900°C, odnosno da je za oko 100°C niža od temperature sinterovanja Cu-Al<sub>2</sub>O<sub>3</sub> sistema na bazi prahova dobijenih postupkom mehaničkog legiranja. Ovo je posledica izuzetno male veličine čestica nanokompozitnog Cu-Al<sub>2</sub>O<sub>3</sub> praha dobijenog termohemijskim postupkom, usled čega se u ispitivanom sistemu, kroz odgovarajuće stadijume značajno ubrzava delovanje svih mehanizama transporta mase odgovornih za proces sinterovanja, tako da do strukturne stabilizacije sistema dolazi na znatno nižim temperaturama.

Analiza zavisnosti specifičnog električnog otpora od vremena sinterovanja ukazuje da je za sisteme sa manjim sadržajem Al<sub>2</sub>O<sub>3</sub> potrebno kraće vreme sinterovanja. Sa porastom temperature sinterovanja vreme trajanja procesa sinterovanja se skraćuje (sl. 118). Na osnovu vrednosti specifičnog električnog otpora, kao mere strukturne stabilizacije, za sistem sa 3 tež. % Al<sub>2</sub>O<sub>3</sub> pri sinterovanju na 800°C, proces sinterovanja traje čitavih 120 minuta, dok za isti sistem pri sinterovanju na 900°C proces sinterovanja traje 30 minuta.

Međutim, sa povećanjem sadržaja Al<sub>2</sub>O<sub>3</sub> vreme trajanja procesa sinterovanja se povećava.



Sl. 118. Zavisnost specifičnog električnog otpora od temperature i vremena sinterovanja pri određenom sadržaju  $\text{Al}_2\text{O}_3$  sinterovanih  $\text{Cu}-\text{Al}_2\text{O}_3$  sistema: a) i b) na bazi prahova dobijenih mehaničkim legiranjem, c) i d) na bazi prahova dobijenih termohemijskim postupkom

Karakterizacija dobijenog  $\text{Cu}-\text{Al}_2\text{O}_3$  sistema na bazi prahova dobijenih mehaničkim legiranjem komercijalnog praha bakra dobijenog elektrolitičkim postupkom i praha  $\text{Al}_2\text{O}_3$  dobijenog termohemijskim postupkom, sol-gel metodom obuhvatila je, pored navedenog, i ispitivanja skanirajućom elektronskom mikroskopijom, što je prikazano na sl. 54-57 za sistem sa 3 tež. %  $\text{Al}_2\text{O}_3$ , odnosno na sl. 59-62 za sistem sa 5 tež. %  $\text{Al}_2\text{O}_3$ .

U strukturi sinterovanog  $\text{Cu}-\text{Al}_2\text{O}_3$  sistema na bazi prahova dobijenih mehaničkim legiranjem primetno je prisustvo aglomerata različitog oblika i veličine (sl. 55 i sl. 59).

Problemi povezani sa pojavom i kontrolom poroznosti su redovna pojava pri proizvodnji metalnih materijala postupcima metalurgije praha.

Poroznost u strukturi ispitivanih uzoraka je neravnomerno raspoređena. Oblik pora je nepravilan (sl. 57 i sl. 62), a njihova veličina varira od 100nm do 5 $\mu$ m. Pore su zatvorene, što, imajući u vidu vrednosti specifičnog električnog otpora, kao mere strukturne stabilizacije sistema (tabela XI) i vrednosti tvrdoće, kao mere ojačavanja sistema (tabela XII), ukazuje na završni stadijum procesa sinterovanja. Pored ovoga, jasno je uočljiva znatno izraženija poroznost kod uzoraka sinterovanih na nižim temperaturama, odnosno da sa porastom temperature sinterovanja zapreminske udjeli poroznosti opada i samim tim doprinosi boljoj kombinaciji električna svojstva - mehanička svojstva. Takođe, primetno je da sa povećanjem sadržaja Al<sub>2</sub>O<sub>3</sub> zapreminske udjeli poroznosti raste (sl. 54-55 i sl. 59-60). S obzirom da su čestice Al<sub>2</sub>O<sub>3</sub>, na osnovu prethodno izložene karakterizacije, izuzetno sitne, to je, sa povećanjem njihovog udela, došlo do aglomeracije i smanjenja stepena disperzije (sl. 58-61). Raspored aglomerata kod analiziranih sistema je neravnomernan.

Energetskom disperzivnom spektroskopijom kvalitativno je određen sastav uzorka sinterovanog Cu-Al<sub>2</sub>O<sub>3</sub> sistema na bazi prahova dobijenih mehaničkim legiranjem. Analiza pokazuje da su na ispitivanim mestima detektovani pikovi koji odgovaraju bakru, aluminijumu i kiseoniku. Intenzitet pikova je u skladu sa zahtevanim sastavom ispitivanih sistema, tako da je pik koji odgovara bakru znatno veći od pikova koji odgovaraju aluminijumu i kiseoniku. Struktura detektovanih pikova ukazuje na mogućnost postojanja treće Cu<sub>x</sub>Al<sub>y</sub>O<sub>z</sub> faze, čije je formiranje sa termodinamičkog aspekta moguće. Međutim, njena detaljna karakterizacija zahteva korišćenje uređaja izuzetno visoke rezolucije.

Kao i u slučaju sinterovanih sistema na bazi prahova dobijenih mehaničkim legiranjem, karakterizacija dobijenog Cu-Al<sub>2</sub>O<sub>3</sub> sistema na bazi prahova dobijenih termohemijskim postupkom obuhvatila je, pored navedenog, i ispitivanja skanirajućom elektronskom mikroskopijom i analitičkom elektronskom mikroskopijom, što je prikazano na sl. 64-68 za sistem sa 3 tež. % Al<sub>2</sub>O<sub>3</sub>, odnosno na sl. 75-79 za sistem sa 5 tež. % Al<sub>2</sub>O<sub>3</sub>.

Kod sinterovanih Cu-Al<sub>2</sub>O<sub>3</sub> sistema na bazi prahova dobijenih termohemijskim postupkom uočava se znatno homogenija struktura u odnosu na sinterovane Cu-Al<sub>2</sub>O<sub>3</sub> sisteme na bazi prahova dobijenih mehaničkim legiranjem.

Poroznost u strukturi ispitivanih uzoraka je relativno ravnomerno raspoređena. Oblik pora je nepravilan, a veličina varira od 100nm do 2μm. Treba naglasiti da je evidentno manja veličina pora kod ovih sistema u odnosu na sinterovane Cu-Al<sub>2</sub>O<sub>3</sub> sisteme na bazi prahova dobijenih mehaničkim legiranjem.

Kod uzoraka sinterovanih na višim temperaturama (sl. 67-68 i sl. 76-79) pore su zatvorene, što ukazuje na završni stadijum procesa sinterovanja. Međutim, kod uzoraka sinterovanih na nižim temperaturama (sl. 64, 65 i 75) obrazovane su mreže pora, što, imajući u vidu vrednosti specifičnog električnog otpora, kao mere strukturne stabilizacije sistema (tabela XIV), ukazuje na srednji stadijum, odnosno da proces sinterovanja nije potpuno završen. Konačno, sa porastom temperature sinterovanja, pri određenom sadržaju disperzoida, smanjuje se zapremski udeo poroznosti.

Takođe, sa mikrofotografija (sl. 64-68 i sl. 75-79) je jasno uočljivo da sa povećanjem sadržaja disperzoida, pri određenom temperaturno-vremenskom režimu, zapremski udeo poroznosti raste. Pored toga, primetan je i znatno manji zapremski udeo poroznosti u odnosu na sinterovane Cu-Al<sub>2</sub>O<sub>3</sub> sisteme na bazi prahova dobijenih mehaničkim legiranjem (sl. 54-57 i sl. 59-62). Sa povećanjem zapremskog udela poroznosti povećava se stepen zakriviljenosti kristalne rešetke, što izaziva dodatno rasipanje elektrona i povećava električni otpor. U skladu sa ovim, vrednosti specifičnog električnog otpora uzoraka sinterovanog Cu-Al<sub>2</sub>O<sub>3</sub> sistema na bazi prahova dobijenih termohemijskim postupkom (tabela XIV) su manje u odnosu na vrednosti specifičnog električnog otpora odgovarajućih uzoraka sinterovanog sistema na bazi prahova dobijenih mehaničkim legiranjem (tabela XI).

Rezultati analize poroznosti su u saglasnosti sa prethodno izloženim rezultatima ispitivanja sinterovane gustine, relativne promene zapremine

(tabela XIII), specifičnog električnog otpora (tabela XIV) i tvrdoće (tabela XV), a, u skladu sa ovim, ukazuju da je uticaj poroznosti na svojstva sinterovanog Cu-Al<sub>2</sub>O<sub>3</sub> sistema jedan od odlučujućih faktora.

EDS analiza u tački uzoraka sinterovanog Cu-Al<sub>2</sub>O<sub>3</sub> sistema na bazi prahova dobijenih termohemiskim postupkom pokazuje da u strukturi nisu identifikovani pikovi osim onih koji odgovaraju bakru, aluminijumu i kiseoniku, pri čemu njihov intenzitet odgovara zahtevanom sastavu ispitivanih sistema, tako da je pik koji odgovara bakru znatno veći od pikova koji odgovaraju aluminijumu i kiseoniku. Struktura detektovanih pikova ukazuje na mogućnost postojanja treće Cu<sub>x</sub>Al<sub>y</sub>O<sub>z</sub> faze, ali je za njenu detaljniju karakterizaciju neophodan uređaj izuzetno visoke rezolucije. Pored ovoga, na uzorku sinterovanog Cu-3 tež. % Al<sub>2</sub>O<sub>3</sub> sistema urađene su linijska i površinska EDS analiza. Na sl. 70 prikazan je SEM uzorka ispitivanog sistema sa ucrtanom linijom po kojoj je rađena EDS analiza. Linijski spektrogram (sl. 71), kao što je i očekivano, pokazuje da se u strukturi nalaze bakar, aluminijum i kiseonik, pri čemu njihov intenzitet odgovara zahtevanom sastavu ispitivanog sistema. Sa slike se vidi da se vrednosti za bakra po ispitivanoj liniji kreću od 1,1 do 1,8 keV, dok su vrednosti za aluminijum u granicama 125 do 400 eV. Takođe, sa slike se uočava da se rasporedi bakra i aluminijuma ne preklapaju, što znači da je na delu ispitivane linije gde postoji veći sadržaj bakra sadržaj alumijuma manji i obrnuto. Kao što je rečeno, u cilju određivanja raspodele elemenata u strukturi, pored linijske rađena je i EDS analiza površine (sl. 73). Rezultati površinskog skeniranja pokazuju homogenu raspodelu elemenata u strukturi. Sa sl. 74 vidi se da bakar prekriva skoro čitavu površinu uzorka. Rezultati skeniranja površine na auminijum i kiseonik pokazuju da su ova dva elementa manje zastupljena u strukturi sinterovanog uzorka i da se površine koje oni zauzimaju međusobno preklapaju, što odgovara postojanju Al<sub>2</sub>O<sub>3</sub> disperzoida u strukturi. Osim međusobnog preklapanja aluminijuma i kiseonika, koje je jasno uočljivo, međusobno preklapanje sva tri elementa, odnosno postojanje treće Cu<sub>x</sub>Al<sub>y</sub>O<sub>z</sub> faze je teško identifikovati, mada se njena

zastupljenost ne može ni osporiti. Konačno, za detaljnu karakterizaciju treće  $Cu_xAl_yO_z$  faze neophodan je uređaj izuzetno visoke rezolucije.

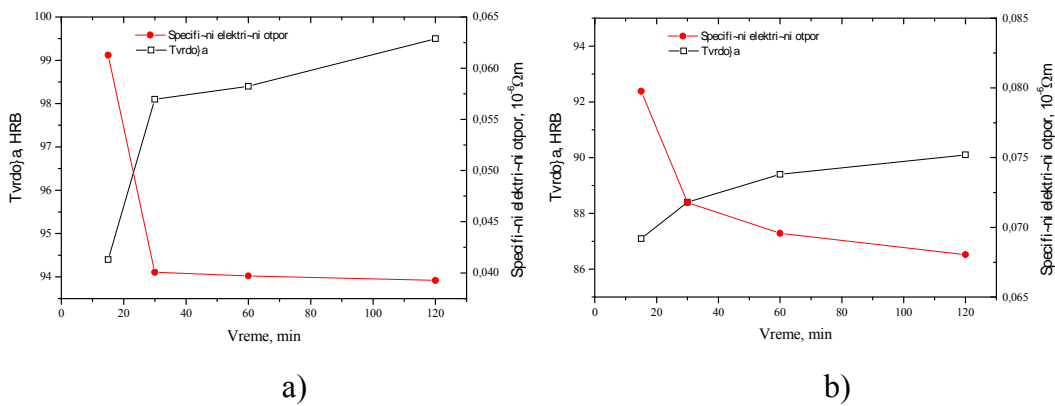
U radovima [26, 28, 112, 113] prikazani su rezultati istraživanja koji ukazuju na značajan uticaj formirane treće faze na prirodu dislokacione strukture, a samim tim na poboljšanje mehaničkih svojstava i dobijanje dobre kombinacije mehanička svojstva – električna svojstva. U cilju identifikacije treće faze, u radu [26], izvršena je karakterizacija dobijenog nanokompozitnog Cu-Al<sub>2</sub>O<sub>3</sub> sistema, koja je obuhvatila, između ostalog, i ispitivanja skanirajućom elektronskom mikroskopijom i energetskom disperzivnom spektroskopijom. Ispitivanja skanirajućom elektronskom mikroskopijom su ukazala na postojanje svetlih, crnih i sivih polja, koja se odnose na Cu, Al<sub>2</sub>O<sub>3</sub> i  $Cu_xAl_yO_z$  faze. EDS analiza površine uzorka je pokazala da su u strukturi identifikovani pikovi koji odgovaraju bakru, aluminijumu i kiseoniku, pri čemu njihov intenzitet odgovara zahtevanom sastavu. Pored toga, EDS analiza je ukazala na homogenu raspodelu elemenata u strukturi.

U našem slučaju, imajući u vidu rezultate istraživanja prikazane u radu [26], FIB analiza sinterovanog Cu-Al<sub>2</sub>O<sub>3</sub> sistema na bazi prahova dobijenih termohemijskim postupkom (sl. 79 i 80) nije ukazala, ni pri znatno većim uvećanjima, na postojanje faze bogate čistom glinicom. U skladu sa [26], identifikovana su svetla polja, odnosno faza bogata bakrom, kao i siva polja, koja nas navode na mogućnost postojanja treće,  $Cu_xAl_yO_z$  faze. U prilog tome, navedena ispitivanja skanirajućom elektronskom mikroskopijom su u skladu sa rezultatima EDS analize u tački (sl. 69), kao i rezultatima linijske (sl. 71 i 72) i površinske (sl. 74) EDS analize, koji pokazuju da su u sistemu identifikovani pikovi koji odgovaraju bakru, aluminijumu i kiseoniku, što, konačno, imajući u vidu da njihov intenzitet odgovara zahtevanom sastavu, dodatno ukazuje na mogućnost postojanja treće  $Cu_xAl_yO_z$  faze. Međutim, zastupljenost  $Cu_xAl_yO_z$  faze zahteva detaljnu karakterizaciju korišćenjem uređaja visoke rezolucije. Pored toga, sa mikrofotografija ispitivanih uzoraka jasno je uočljiva homogena raspodela prisutnih faza (sl. 79) i veličina mikrostrukturnih konstituenata u opsegu 50-250nm (sl. 80).

Poznato je da mikrostruktura direktno određuje kako mehanička, tako i električna svojstva, pa je praćenje razvoja mikrostrukturnih konstituenata kroz sve pojedinačne faze procesa od izuzetnog značaja. Na taj način se dolazi i do dominantnih parametara procesa sinterovanja, koji utiču na odgovarajuće promene u strukturi materijala. Kako vrednosti specifičnog električnog otpora sinterovanih uzoraka predstavljaju mjeru strukturne stabilizacije sistema, a imajući u vidu činjenicu da u trijadi "tehnologija-struktura-svojstva", struktura predstavlja parametar preko koga se definiše međusobna zavisnost "svojstava" i "tehnologije", u cilju proučavanja ove međuzavisnosti na sl. 64-67 dat je prikaz ispitivanja mikrostrukture skanirajućom elektronskom mikroskopijom sinterovanog Cu-3 tež. %  $\text{Al}_2\text{O}_3$  sistema na bazi prahova dobijenih termohemijskim postupkom. Na sl. 64 da je prikaz mikrostrukture uzorka sinterovanog na  $800^\circ\text{C}$  u toku 30 minuta, pri čemu je jasno uočljivo da proces strukturne stabilizacije nije završen. Mikrostrukturu karakteriše obrazovanje zatvorenih pora, što je svojstveno za srednji stadijum sinterovanja, pa čak i, u određenim oblastima, ostvarivanje kontakata između pojedinih čestica, svojstveno za početni stadijum sinterovanja. Na sl. 66 i 67 dat je prikaz mikrostrukture uzorka sinterovanih na  $900^\circ\text{C}$  u toku 15 i 30 minuta. Prikazane mikrostrukture su karakteristične za srednji (sl. 66), odnosno završni (sl. 67) stadijum sinterovanja, što potvrđuje analizu strukturne stabilizacije sistema na osnovu vrednosti specifičnog električnog otpota sinterovanih uzoraka. Pored toga, primetan je i relativno ravnomeran raspored poroznosti kod ispitivanih uzoraka, što, između ostalog, značajno doprinosi ojačavanju visokoprovodne matrice bakra.

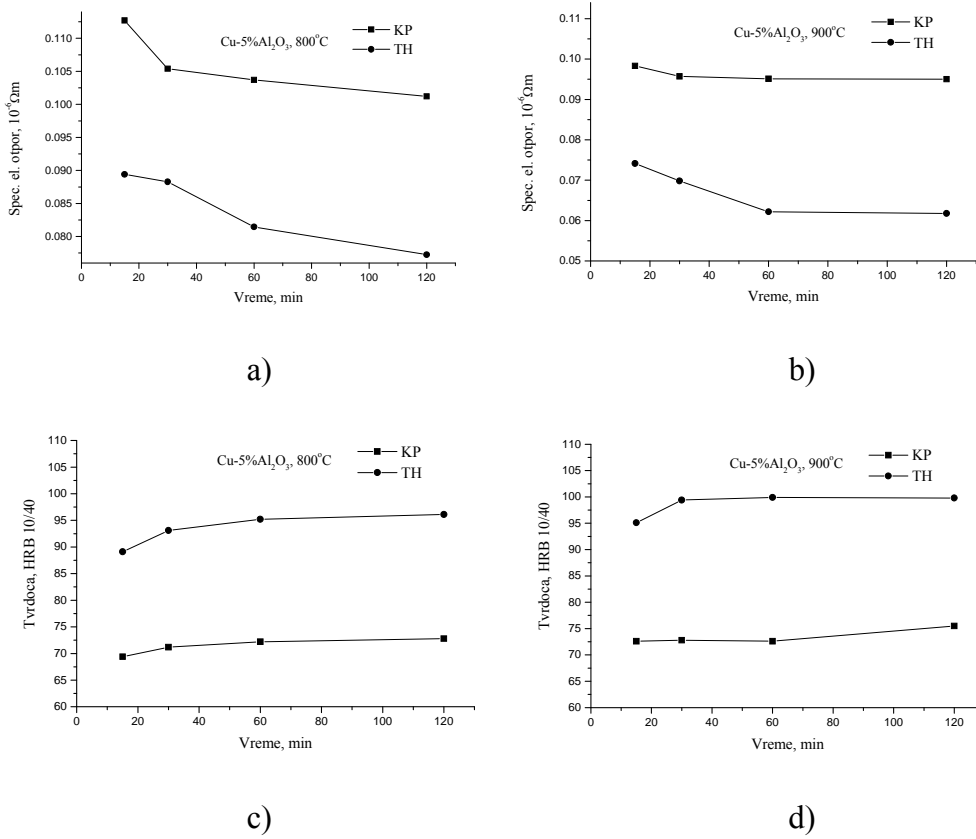
Uporednom analizom mehaničkih i električnih svojstava sinterovanih Cu- $\text{Al}_2\text{O}_3$  sistema na bazi prahova dobijenih mehaničkim legiranjem u odnosu na kombinaciju navedenih svojstava sinterovanog Cu- $\text{Al}_2\text{O}_3$  sistema na bazi prahova dobijenih termohemijskim postupkom, uočljivo je da su kod sistema na bazi prahova dobijenih temohemijskim postupkom postignuti značajniji efekti ojačavanja uz strukturnu stabilizaciju sistema na nižim temperaturama i u toku kraćih vremena sinterovanja (sl. 97). Naime, kod Cu- $\text{Al}_2\text{O}_3$  sistema na

bazi prahova dobijenih termohemijskim postupkom, sinterovanih na 900°C, došlo je do strukturne stabilizacije već nakon 30 minuta uz postignute značajne efekte ojačavanja (sl. 119a). Međutim, kod sistema na bazi prahova dobijenih postupkom mehaničkog legiranja ni posle 120 minuta proces strukturne stabilizacije nije završen, a postignuti efekti ojačavanja su znatno manji (sl. 119 b). Imajući u vidu navedeno, kao optimalno rešenje proizvodnje disperzno ojačanih Cu-Al<sub>2</sub>O<sub>3</sub> sistema nameće se sistem sa 3tež.% disperzoida sinterovan na 900°C u toku 30 minuta.



Sl. 119. Zavisnost specifičnog električnog otpora i tvrdoće od vremena sinterovanog Cu-Al<sub>2</sub>O<sub>3</sub> sistema (900°C): a) na bazi prahova dobijenih termohemijskim postupkom, b) na bazi prahova dobijenih postupkom mehaničkog legiranja

Uporednom analizom električnih i mehaničkih svojstava sinterovanih Cu-Al<sub>2</sub>O<sub>3</sub> sistema na bazi prahova dobijenih termohemijskim postupkom, kao sistema sa najboljim efektima ojačavanja od ispitivanih, i sinterovanih Cu-Al<sub>2</sub>O<sub>3</sub> sistema na bazi smeše prahova dobijene homogenizacijom komercijalnih prahova, takođe su uočljivi značajniji efekti ojačavanja kod sistema na bazi prahova sintetisanih termohemijskim postupkom, što je prikazano na sledećim slikama.



Sl. 120. Uporedna analiza električnih i mehaničkih svojstava sinterovanih Cu-Al<sub>2</sub>O<sub>3</sub> sistema na bazi prahova dobijenih termohemijskim postupkom (TH) i na bazi smeše prahova dobijene homogenizacijom komercijalnih prahova (KP)

Kod sinterovanog Cu-Al<sub>2</sub>O<sub>3</sub> sistema na bazi prahova dobijenih termohemijskim postupkom u odnosu na sinterovani Cu-Al<sub>2</sub>O<sub>3</sub> sistem na bazi smeše komercijalnih prahova dobijene homogenizacijom, postignuti su značajniji efekti ojačavanja kao posledica relativno ravnomerne raspodele glinice u nanokompozitnom Cu-Al<sub>2</sub>O<sub>3</sub> sistema ostvarene već tokom sinteze praha taloženjem iz tečne faze, koja konačno prouzrokuje stabilizaciju dislokacione substrukture i, samim tim, izuzetne efekte ojačavanja. Pored toga, na osnovu vrednosti specifičnog električnog otpora kao mere strukturne stabilizacije sistema (tab. XIV i XVI), jasno je uočljivo da kod sinterovanih Cu-Al<sub>2</sub>O<sub>3</sub> sistema na bazi prahova dobijenih termohemijskim postupkom do strukturne stabilizacije dolazi na nižim temperaturama i u toku kraćih vremena

sinterovanja (sl. 120). Izuzetno mala veličina čestica nanokompozitnog Cu-Al<sub>2</sub>O<sub>3</sub> praha sintetisanog termohemijskim postupkom, odnosno njihova velika površina, prouzrokuju u početnom stadijumu sinterovanja veliku kontaktnu površinu između pojedinih čestica, što, tokom kasnijih stadijuma, povećava aktivnost sistema i ubrzava delovanje difuzionih mehanizama, tako da do strukturne stabilizacije dolazi na nižim temperaturama i u toku kraćih vremena u odnosu na sisteme na bazi smeše komercijalnih prahova dobijene homogenizacijom.

Analizom dobijenih rezultata ispitivanja sinterovanih Cu-Al<sub>2</sub>O<sub>3</sub> sistema na bazi nanokompozitnih prahova dobijenih termohemijskim postupkom jasno je uočljivo da je maksimalna temperatura sinterovanja bila 900°C. Na temperaturama sinterovanja višim od 900°C došlo je do vitoperenja uzoraka i stavaranja mesta sa delimično stopljenim prahom. Razlog ovoj pojavi je izuzetno mala veličina čestica nanokompozitnog Cu-Al<sub>2</sub>O<sub>3</sub> praha dobijenog termohemijskim postupkom, odnosno njihova velika površina i, već u početnom stadijumu, ostvarena, geometrijski posmatrano, izuzetno velika kontaktna površina između pojedinih čestica. Ovo se manifestuje na kasnije stadijume sinterovanja, odnosno ubrzava kompleksno delovanje svih difuzionih mehanizama transporta mase, odgovornih za sam proces sinterovanja, tako da je do strukturne stabilizacije ispitivanog sistema došlo na znatno nižim temperaturama (za oko 100°C) od temperatura sinterovanja istih sistema na bazi komercijalnih prahova.

TEM karakterizacija nanokompozitnog Cu-5tež.%Al<sub>2</sub>O<sub>3</sub> sinterovanog sistema na bazi prahova sintetisanih termohemijskim postupkom otkriva mikrostrukturu sa nekoliko zanimljivih karakteristika. Prethodna tumačenja na osnovu SEM-a i FIB-a već su ukazala da je kompozit formiran sa nano česticama, odnosno upečatljivo je da je metalna matrica polikristalna sa veličinom zrna u opsegu 50-250nm. Takođe, sa mikrofotografijama ispitivanih uzoraka jasno je uočljiva homogena distribucija prisutnih faza. Pored oblasti bogate bakrom i glinicom, pod određenim termodinamičkim uslovima može biti formirana i treća Cu<sub>x</sub>Al<sub>y</sub>O<sub>z</sub> faza, čija identifikacija zahteva detaljna

ispitivanja korišćenjem uređaja visoke rezolucije. Na sl. 81 prikazan je tipičan TEM par svetlo polje (BF) – centrirano tamno polje (CDF) nanokompozitnog Cu-5tež.%Al<sub>2</sub>O<sub>3</sub> sinterovanog sistema, gde su dobro razvijeni kristali bakra veličine 100nm, izloženi dvojnikovanju uprkos njihovoj maloj veličini. Pored toga, detaljna analiza ukazuje i na detekciju finih Al<sub>2</sub>O<sub>3</sub> individualnih čestica ili agregata. Uslovi za dvojnikovanje se postižu onda kada se u kristalu stvorи veliki broj prepreka koje ometaju kretanje dislokacija, dislokacioni spletovi ili već prisutni dvojnici. Pošto se dislokacije nagomilavaju na preprekama, to se u takvim lokalnim područjima povećava unutrašnje naprezanje, koje uz spoljašnje naprezanje izaziva stvaranje dvojnika. Imajući u vidu da smanjenje pokretljivosti dislokacija predstavlja uslov za stvaranje klica dvojnika, to sa sl. 81 jasno uočljivo prisustvo dvojnika ukazuje na smanjenu pokretljivost dislokacija, odnosno stabilizaciju dislokacione substrukture, što je osnovni uslov poboljšanja mehaničkih svojstava, odnosno ojačavanja metalnih materijala. Pored ovoga, pri zagrevanju deformisanog metalnog materijala do dovoljno visoke temperature dolazi do rekristalizacije i rasta zrna, pri čemu je za navedene procese, a naročito rast zrna, kretanje granica zrna osnovni mehanizam, što prouzrokuje olakšano obrazovanje dvojnika.

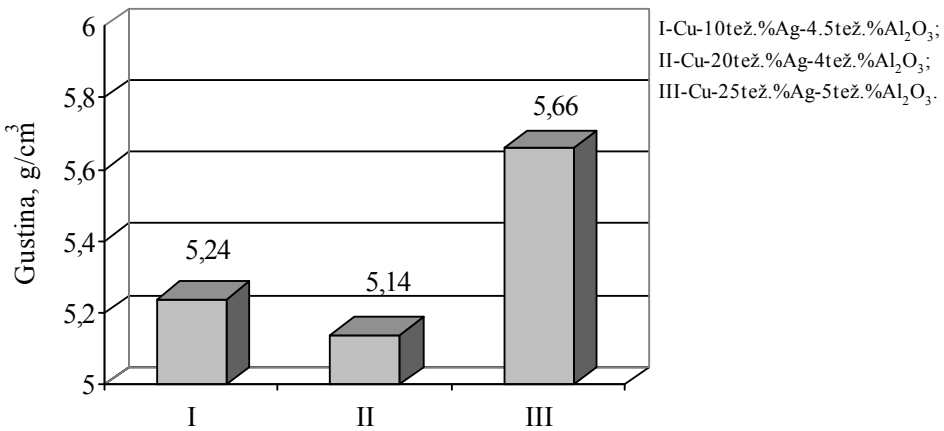
Na sl. 82 prikazan je tipičan model selektovanih difrakcionih polja (SADP) u tački i po celoj površini ispitivanog nanokompozitnog Cu-5tež.%Al<sub>2</sub>O<sub>3</sub> sinterovanog sistema na bazi prahova sintetisanih termohemimskim postupkom. SADP jasno pokazuje tačke i prstenove, pri čemu se tačke odnose na pojedinačne kristale bakra, dok oštiri krugovi (prstenovi) potiču od nanokristala glinice dispergovane u matrici bakra. Osim za bakar i glinicu, nisu identifikovana difrakciona polja karakteristična za neku drugu pojavu (npr. pojavu treće faze). Razlog za ovo može biti uobičajeni limit tehnike, odnosno određena kritična vrednost ispod koje faze ne mogu biti identifikovane. Prisustvo nano dvojnika unutar kristala bakra delimično potvrđuju selektovana difrakciona polja uzeta sa cele površine (sl. 82 b). Konačno, pored navedenog, dobijeni rezultati ispitivanja potvrđuju kristalnu prirodu i bakra i dispergovane glinice.

Na sl. 83 dat je TEM visoke rezolucije (HRTEM) oblasti bogate glinicom. HRTEM analiza ukazuje na prisustvo čestica glinice sa prosečnom veličinom 20nm, dok su kristali matrice bakra reda većih dimenzija. Kao što je rečeno, prikazani HRTEM se odnosi na u celosti izdvojenu oblast bogatu glinicom, pri čemu su detektovane varijacije tipa "rastera" i tipa "otiska prsta", koje ukazuju na mogućnost postojanja treće  $Cu_xAl_yO_z$  faze, što će biti predmet budućih istraživanja kroz precizniji pristup fizičkoj hemiji površine sistema i termodinamička izučavanja uticaja fino dispergovanog  $Al_2O_3$  na formiranje treće faze i povećanje površinske energije sistema.

### **6.2.2. Sistem Cu-Ag-Al<sub>2</sub>O<sub>3</sub>**

Analizom rezultata ispitivanja gustine Cu-Ag-Al<sub>2</sub>O<sub>3</sub> sinterovanih sistema jasno je uočljivo da su najveće vrednosti postignute kod Cu-25tež.%Ag-5tež.%Al<sub>2</sub>O<sub>3</sub> sinterovanih sistema (sl. 121).

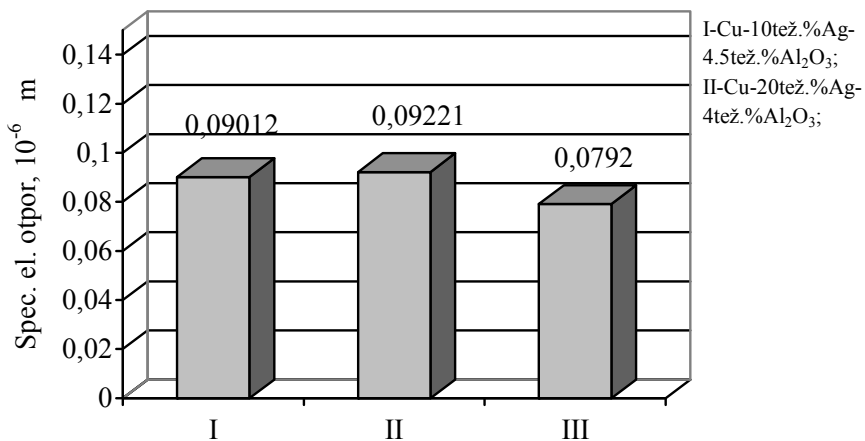
Kao i u slučaju Cu-Al<sub>2</sub>O<sub>3</sub> sistema i kod Cu-Ag-Al<sub>2</sub>O<sub>3</sub> sistema gustina sinterovanih uzoraka raste sa temperaturom sinterovanja, u toku određenog vremena i pri određenom pritisku presovanja (tabele XVII i XX). Međutim, rezultati ispitivanja gustine ukazuju na znatno manje vrednosti gustine Cu-Ag-Al<sub>2</sub>O<sub>3</sub> sinterovanih sistema u odnosu na Cu-Al<sub>2</sub>O<sub>3</sub> sisteme (tabele X i XIII).



*Sl. 121. Zavisnost gustine od hemijskog sastava i načina sinteze polaznih prahova Cu-Ag-Al<sub>2</sub>O<sub>3</sub> sistema sinterovanih na 700°C u toku 60 minuta (I, II – sinterovani sistemi na bazi prahova dobijenih mehaničkim legiranjem prethodno sintetisanog nanokompozitnog Cu-Al<sub>2</sub>O<sub>3</sub> praha termohemijskim postupkom i praha srebra dobijenog hemijskim putem, III – sinterovani sistemi na bazi prahova dobijenih mehaničkim legiranjem Cu-Al<sub>2</sub>O<sub>3</sub> i Cu-Ag sistema sintetisanih termohemijskim postupkom)*

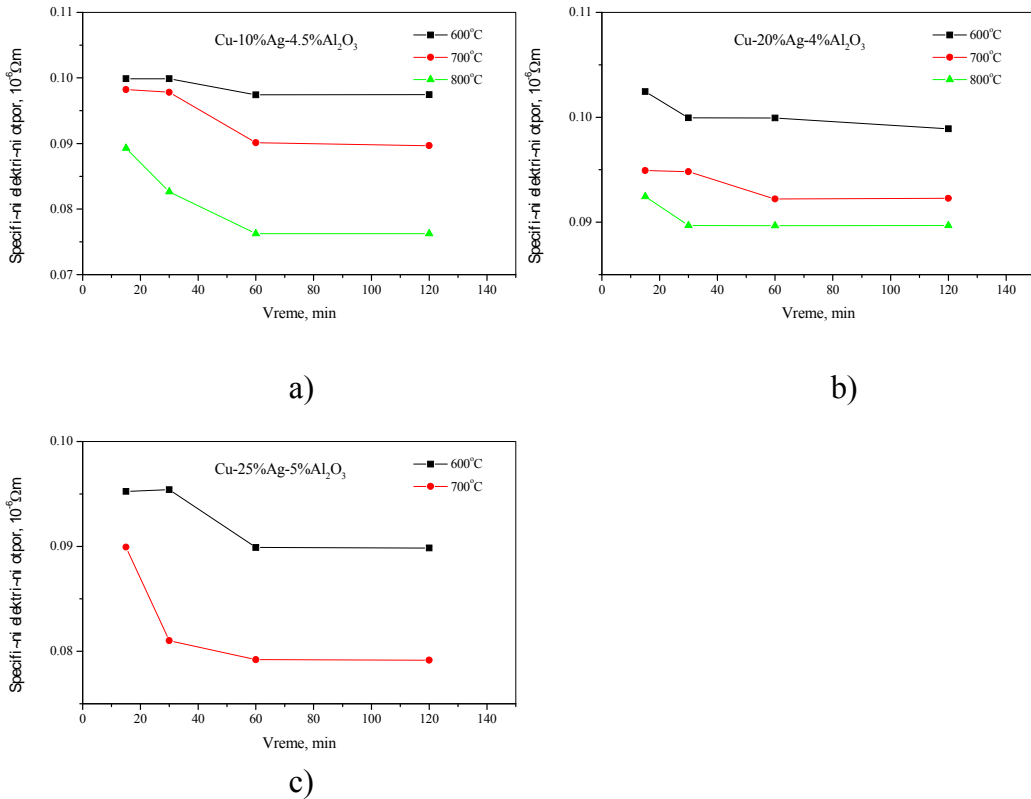
Relativna promena zapremine, kao mera aktivnosti sistema, se povećava sa porastom temperature sinterovanja, u toku određenog vremena. Takođe, sinterovanjem na određenoj temperaturi, relativna promena zapremine se povećava sa povrećanjem vremena sinterovanja.

Analizom rezultata ispitivanja specifičnog električnog otpora sinterovanih Cu-Ag-Al<sub>2</sub>O<sub>3</sub> sistema, kao mere strukturne stabilizacije, uočljivo je da su najmanje vrednosti postignute kod Cu-25tež.%Ag-5tež.%Al<sub>2</sub>O<sub>3</sub> sistema (sl. 122).



*Sl. 122. Zavisnost specifičnog električnog otpora od hemijskog sastava i načina sinteze polaznih prahova Cu-Ag-Al<sub>2</sub>O<sub>3</sub> sistema sinterovanih na 700°C u toku 60 minuta (I, II – sinterovani sistemi na bazi prahova dobijenih mehaničkim legiranjem prethodno sintetisanog nanokompozitnog Cu-Al<sub>2</sub>O<sub>3</sub> praha termohemijskim postupkom i praha srebra dobijenog hemijskim putem, III – sinterovani sistemi na bazi prahova dobijenih mehaničkim legiranjem Cu-Al<sub>2</sub>O<sub>3</sub> i Cu-Ag sistema sintetisanih termohemijskim postupkom)*

Sa porastom temperature sinterovanja u toku određenog vremena, vrednosti specifičnog električnog otpora sinterovanih Cu-Ag-Al<sub>2</sub>O<sub>3</sub> sistema opadaju. U skladu sa navedenim, a imajući u vidu da promena specifičnog električnog otpora predstavlja meru strukturne stabilizacije sistema, može se konstatovati da na određenim temperaturama nije došlo do strukturne stabilizacije sistema, odnosno da proces strukturne stabilizacije nije završen. Sa porastom temperature sinterovanja vreme trajanja procesa sinterovanja se skraćuje (sl. 123).

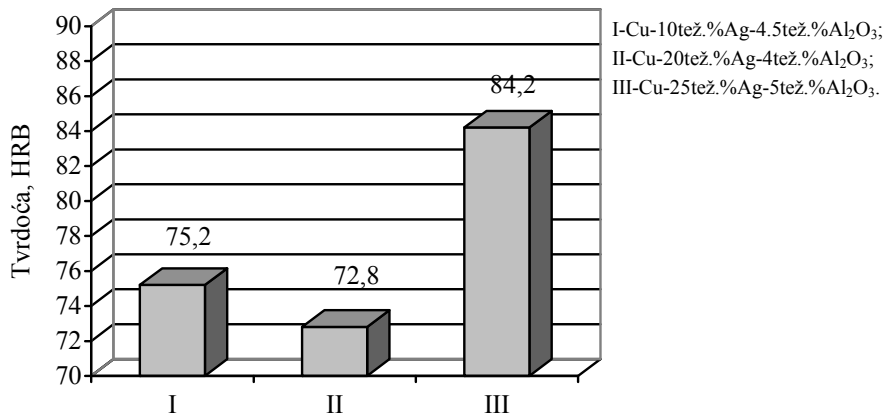


Sl. 123. Zavisnost specifičnog električnog otpora od temperature sinterovanja i vremena: a, b) Cu-Ag-Al<sub>2</sub>O<sub>3</sub> sinterovani sistemi na bazi prahova dobijenih mehaničkim legiranjem prethodno sintetisanog nanokompozitnog Cu-Al<sub>2</sub>O<sub>3</sub> praha termohemijskim postupkom i praha srebra dobijenog hemijskim putem, c) Cu-Ag-Al<sub>2</sub>O<sub>3</sub> sinterovani sistemi na bazi prahova dobijenih mehaničkim legiranjem Cu-Al<sub>2</sub>O<sub>3</sub> i Cu-Ag sistema sintetisanih termohemijskim postupkom

Kako sa porastom temperature sinterovanja, u toku određenog vremena, zapreminski udeo poroznosti opada, to se može zaključiti da efekat poroznosti ima značajan uticaj na vrednosti specifičnog električnog otpora sinterovanih Cu-Ag-Al<sub>2</sub>O<sub>3</sub> sistema.

Rezultati ispitivanja specifičnog električnog otpora ukazuju na znatno manje vrednosti postignute kod Cu-Al<sub>2</sub>O<sub>3</sub> sinterovanih sistema (tabele XI i XIV) u odnosu na Cu-Ag-Al<sub>2</sub>O<sub>3</sub> sinterovane sisteme (tabele XVIII i XXI)

Analiza rezultata ispitivanja tvrdoće Cu-Ag-Al<sub>2</sub>O<sub>3</sub> sinterovanih sistema, kao mere ojačavanja sistema, jasno ukazuje da su najveći efekti ojačavanja postignuti kod Cu-25tež.%Ag-5tež.%Al<sub>2</sub>O<sub>3</sub> sistema (sl. 124).



*Sl. 124. Zavisnost tvrdoće od hemijskog sastava i načina sinteze polaznih prahova Cu-Ag-Al<sub>2</sub>O<sub>3</sub> sistema sinterovanih na 700°C u toku 60 minuta (I, II – sinterovani sistemi na bazi prahova dobijenih mehaničkim legiranjem prethodno sintetisanog nanokompozitnog Cu-Al<sub>2</sub>O<sub>3</sub> praha termohemijskim postupkom i praha srebra dobijenog hemijskim putem, III – sinterovani sistemi na bazi prahova dobijenih mehaničkim legiranjem Cu-Al<sub>2</sub>O<sub>3</sub> i Cu-Ag sistema sintetisanih termohemijskim postupkom)*

Rezultati ispitivanja tvrdoće sinterovanih Cu-Ag-Al<sub>2</sub>O<sub>3</sub> sistema, pokazuju da se sa porastom temperature sinterovanja, u toku određenog vremena, tvrdoća povećava (tabele XVIII i XXI).

Međutim, treba istaći da kod sinterovanih Cu-Ag-Al<sub>2</sub>O<sub>3</sub> sistema (tabele XIX i XXII) nisu ostvareni značajniji efekti ojačavanja u odnosu na Cu-Al<sub>2</sub>O<sub>3</sub> sinterovane sisteme (tabele XII i XV).

Karakterizacija trokomponentnog Cu-Ag-Al<sub>2</sub>O<sub>3</sub> sinterovanog sistema obuhvatila je, pored navedenog, i ispitivanja skanirajućom elektronском mikroskopijom, što je prikazano na sl. 84 i 85 za Cu-10tež.%Ag-4,5tež.%Al<sub>2</sub>O<sub>3</sub> sistem, sl. 86 i 87 za Cu-20tež.%Ag-4tež.%Al<sub>2</sub>O<sub>3</sub> sistem i sl. 88 i 89 za Cu-25tež.%Ag-5tež.%Al<sub>2</sub>O<sub>3</sub> sistem.

Analizom mikrostrukture sinterovanih sistema na bazi prahova dobijenih mehaničkim legiranjem prethodno sintetisanog nanokompozitnog Cu-Al<sub>2</sub>O<sub>3</sub> praha termohemijskim postupkom i praha srebra dobijenog hemijskim putem, kod Cu-10tež.%Ag-4,5tež.%Al<sub>2</sub>O<sub>3</sub> sinterovanih sistema uočava se znatno homogenija struktura u odnosu na sinterovane Cu-20tež.%Ag-4tež.%Al<sub>2</sub>O<sub>3</sub> sisteme. Poroznost u strukturi ispitivanog Cu-10tež.%Ag-4,5tež.%Al<sub>2</sub>O<sub>3</sub> sistema je relativno ravnomerno raspoređena, za razliku od Cu-20tež.%Ag-4tež.%Al<sub>2</sub>O<sub>3</sub> sistema kod koga je poroznost neravnomerno raspoređena. Oblik pora, kod oba ispitivana sistema, je nepravilan. Takođe, sa mikrofotografija (sl. 84-87) je jasno uočljiv znatno veći zapreminski ideo poroznosti kod Cu-20tež.%Ag-4tež.%Al<sub>2</sub>O<sub>3</sub> u odnosu na Cu-10tež.%Ag-4,5tež.%Al<sub>2</sub>O<sub>3</sub> sistem. Pored toga, primetno je smanjenje zapreminskog udela poroznosti sa porastom temperature sinterovanja kod oba ispitivana sistema.

Kod Cu-25tež.%Ag-5tež.%Al<sub>2</sub>O<sub>3</sub> sinterovanih sistema na bazi prahova dobijenih mehaničkim legiranjem Cu-Al<sub>2</sub>O<sub>3</sub> i Cu-Ag sistema sintetisanih termohemijskim postupkom uočljiva su relativno ravnomerno raspoređena svetla Cu-Ag polja u nešto tamnijoj Cu-Ag-Al<sub>2</sub>O<sub>3</sub> osnovi (sl. 88 i 89). Takođe, primetna je ravnomerna raspoređenost poroznosti. Oblik pora je nepravilan. Pored toga, kod uzoraka sinterovanih na višim temperaturama zapreminski ideo poroznosti je manji, a pore su zatvorene, što ukazuje na završni stadijum procesa sinterovanja.

Analizom dobijenih rezultata ispitivanja sinterovanih Cu-Ag-Al<sub>2</sub>O<sub>3</sub> sistema jasno je uočljivo da je maksimalna temperatura sinterovanja bila 800°C za sisteme na bazi prahova dobijenih mehaničkim legiranjem prethodno sintetisanog nanokompozitnog Cu-Al<sub>2</sub>O<sub>3</sub> praha termohemijskim postupkom i praha srebra dobijenog hemijskim putem, odnosno 700°C za sisteme na bazi prahova dobijenih mehaničkim legiranjem Cu-Al<sub>2</sub>O<sub>3</sub> i Cu-Ag sistema sintetisanih termohemijskim postupkom. Na temepraturama većim od navedenih, zbog relativno niske temperature sinterovanja srebra, došlo je do njegovog vidnog zgrušavanja, što je prouzrokovalo značajno smanjenje mehaničkih svojstava ispitivanih sistema.

**ZAKLJUČAK**

Primarni cilj istraživanja u okviru ove doktorske disertacije bio je izučavanje nanokompozitnih sinterovanih sistema sa homogenom raspodelom disperzoida u matrici osnovnog metala ili legure, na bazi ultra finih i nano prahova teških metala (bakra i srebra) i glinice, sintetisanih u funkciji dobijanja dobre kombinacije električna svojstva - mehanička svojstva.

Tokom izvođenja eksperimenta, u skladu sa ciljem istraživanja, izučavani su sledeći sistemi:

- nanokompozitni Cu-Al<sub>2</sub>O<sub>3</sub> sistem sa 3 i 5 tež. % disperzoida (Al<sub>2</sub>O<sub>3</sub>), dobijen mehaničkim legiranjem komercijalnog praha bakra dobijenog elektrolitičkim postupkom i glinice sintetisane sol-gel metodom,
- nanokompozitni Cu-Al<sub>2</sub>O<sub>3</sub> sistem na bazi praha dobijenog termohemijskim postupkom, taloženjem iz tečne faze, sa 3 i 5 tež. % Al<sub>2</sub>O<sub>3</sub>,
- nanokompozitni Cu-Ag-Al<sub>2</sub>O<sub>3</sub> sistem dobijen mehaničkim legiranjem prethodno sintetisanog nanokompozitnog Cu-Al<sub>2</sub>O<sub>3</sub> praha termohemijskim postupkom i praha srebra dobijenog hemijskim putem, odnosno Cu-Ag praha dobijenog termohemijskim postupkom.

Karakterizacija dobijenog praha glinice, sol-gel metodom, ukazuje na mogućnost sinteze ultra fine i nano glinice postupkom dobijanja koloidnog gela dodavanjem NH<sub>3</sub>×H<sub>2</sub>O u rastvor Al(NO<sub>3</sub>)<sub>3</sub>×9H<sub>2</sub>O, pri čemu je jasno uočljivo prisustvo finih čestica Al<sub>2</sub>O<sub>3</sub> veličine 50-200nm, nepravilnog oblika. Pored prisustva pojedinačnih ultra finih i nano čestica glinice, primetno je i prisustvo aglomerata sunđerastog oblika, veličine 1-4µm, koji se lako usitnjavaju mlevenjem.

Rezultati analize praha Cu-Al<sub>2</sub>O<sub>3</sub> dobijenog postupkom mehaničkog legiranja za različite sadržaje disperzoida ukazuju da je veličina čestica dobijenog nanokompozitnog praha od 100-300nm, ali da je, kao i u slučaju praha glinice dobijene termohemijskim postupkom, zbog male veličine čestica,

odnosno njihove velike površine i dejstva privlačnih sila, došlo do aglomeracije, pri čemu je veličina formiranih aglomerata  $2\text{-}5\mu\text{m}$ . Oblik čestica je nepravilan, morfologija površine hrapava. Aglomerati imaju sunđerast oblik, pa se kao takvi lako usitnjavaju mlevenjem.

Karakterizacija nanokompozitnog Cu-Al<sub>2</sub>O<sub>3</sub> praha ukazuje na mogućnost njegove sinteze termohemijskim postupkom, polazeći od vodenih rastvora Cu(NO<sub>3</sub>)<sub>2</sub> i Al(NO<sub>3</sub>)<sub>3</sub>, pri čemu su jasno uočljive čestice veličine 20-50nm. Oblik čestica je nepravilan uz prisustvo pojedinih čestica nodularnog oblika. Morfologija površine je hrapava. Pored toga, primetno je i prisustvo aglomerata veličine  $>100\text{nm}$ . EDS analiza sintetisanog nanokompozitnog Cu-Al<sub>2</sub>O<sub>3</sub> praha termohemijskim postupkom pokazuje da su na ispitivanom mestu, odnosno u strukturi identifikovani pikovi koji odgovaraju Cu, Al i O, pri čemu intenzitet pikova odgovara zahtevanom sastavu ispitivanih sistema.

Karakterizacija Cu-Ag-Al<sub>2</sub>O<sub>3</sub> praha dobijenog mehaničkim legiranjem prethodno sintetisanog nanokompozitnog Cu-Al<sub>2</sub>O<sub>3</sub> praha termohemijskim postupkom i praha srebra dobijenog hemijskim putem ukazuje da je veličina čestica dobijenog praha od 150-300nm. Oblik čestica je nepravilan, a morfologija površine hrapava. Takođe, uočljivo je i prisustvo aglomerata veličine 1-3 $\mu\text{m}$ , sunđerastog oblika. Sa SEM mikrofotografija nanokompozitnog Cu-Ag-Al<sub>2</sub>O<sub>3</sub> praha dobijenog mehaničkim legiranjem Cu-Al<sub>2</sub>O<sub>3</sub> i Cu-Ag sistema sintetisanih termohemijskim postupkom može se uočiti da je veličina čestica dobijenog praha od 100-300nm. Pored pojedinih čestica uočeno je i prisustvo aglomerata veličine  $<5\mu\text{m}$ .

Maksimalna temperatura sinterovanja Cu-Al<sub>2</sub>O<sub>3</sub> sistema na bazi prahova dobijenih termohemijskim postupkom je 900°C, odnosno za oko 100°C niža od temperature sinterovanja Cu-Al<sub>2</sub>O<sub>3</sub> sistema na bazi prahova dobijenih postupkom mehaničkog legiranja. Ovo je posledica izuzetno male veličine čestica nanokompozitnog Cu-Al<sub>2</sub>O<sub>3</sub> praha dobijenog termohemijskim postupkom, usled čega se u ispitivanom sistemu, kroz odgovarajuće stadijume značajno ubrzava delovanje svih mehanizama transporta mase odgovornih za

proces sinterovanja, tako da do strukturne stabilizacije sistema dolazi na znatno nižim temperaturama.

Uporednom analizom mehaničkih i električnih svojstava sinterovanih Cu-Al<sub>2</sub>O<sub>3</sub> sistema na bazi prahova dobijenih mehaničkim legiranjem u odnosu na kombinaciju navedenih svojstava sinterovanog Cu-Al<sub>2</sub>O<sub>3</sub> sistema na bazi prahova dobijenih termohemijskim postupkom, uočljivo je da su kod sistema na bazi prahova dobijenih temohemijskim postupkom postignuti značajniji efekti ojačavanja uz strukturnu stabilizaciju sistema na nižim temperaturama i u toku kraćih vremena sinterovanja. Pored toga, kod sinterovanih Cu-Al<sub>2</sub>O<sub>3</sub> sistema na bazi prahova dobijenih termohemijskim postupkom uočava se znatno homogenija struktura u odnosu na sinterovane Cu-Al<sub>2</sub>O<sub>3</sub> sisteme na bazi prahova dobijenih mehaničkim legiranjem.

Analizom mehaničkih i električnih svojstava sinterovanih Cu-Al<sub>2</sub>O<sub>3</sub> sistema na bazi prahova dobijenih termohemijskim postupkom, uočljivo je da je kod sistema sa 3tež.%Al<sub>2</sub>O<sub>3</sub> sinterovanog na 900°C, već nakon 30 minuta došlo do strukturne stabilizacije sistema uz postignute značajne efekte ojačavanja. Imajući u vidu da kod ostalih sistema ni posle 120 minuta proces strukturne stabilizacije nije završen, to se kao optimalno rešenje proizvodnje disperzno ojačanih Cu-Al<sub>2</sub>O<sub>3</sub> sistema nameće sistem sa 3tež.% disperzoida sinterovan na 900°C u toku 30 minuta. Ovu konstataciju potvrđuje i odgovarajuća analiza mikrostrukture.

EDS analizom u tački, kao i linijskom EDS analizom kvalitativno je određen sastav uzorka sinterovanog Cu-Al<sub>2</sub>O<sub>3</sub> sistema na bazi prahova dobijenih mehaničkim legiranjem. Analiza pokazuje da su na ispitivanim mestima detektovani pikovi koji odgovaraju bakru, aluminijumu i kiseoniku. Intenzitet pikova je u skladu sa zahtevanim sastavom ispitivanih sistema. Struktura detektovanih pikova ukazuje na mogućnost postojanja treće Cu<sub>x</sub>Al<sub>y</sub>O<sub>z</sub> faze, čije je formiranje sa termodinamičkog aspekta moguće. EDS analiza površine pokazuju homogenu raspodelu elemenata u strukturi, pri čemu bakar prekriva skoro čitavu površinu uzorka. Rezultati površinskog skeniranja površine na auminijum i kiseonik pokazuju da su ova dva elementa manje

zastupljena u strukturi sinterovanog uzorka i da se površine koje oni zauzimaju međusobno preklapaju, što odgovara postojanju  $\text{Al}_2\text{O}_3$  disperzoida u strukturi. Osim međusobnog preklapanja aluminijuma i kiseonika, koje je jasno uočljivo, međusobno preklapanje sva tri elementa, odnosno postojanje treće  $\text{Cu}_x\text{Al}_y\text{O}_z$  faze je teško identifikovati, mada se njena zastupljenost ne može ni osporiti.

TEM karakterizacija nanokompozitnog  $\text{Cu}-\text{Al}_2\text{O}_3$  sinterovanog sistema na bazi prahova sintetisanih termohemijskim postupkom otkriva kristale bakra veličine 100nm izložene dvojnikovanju uprkos njihovoj maloj veličini. Jasno uočljivo prisustvo dvojnika ukazuje na smanjenje pokretljivosti dislokacija, odnosno stabilizaciju dislokacione substrukture, što je osnovni uslov poboljšanja mehaničkih svojstava, odnosno ojačavanja metalnih materijala.

Rezultati ispitivanja selektovanih difrakcionih polja (SADP) u tački i po celoj površini nanokompozitnog  $\text{Cu}-\text{Al}_2\text{O}_3$  sinterovanog sistema na bazi prahova sintetisanih termohemijskim postupkom potvrđuju kristalnu prirodu i bakra i dispergovane glinice. SADP jasno pokazuje tačke i prstenove, pri čemu se tačke odnose na pojedinačne kristale bakra, dok oštiri krugovi potiču od nanokristala glinice dispergovane u matrici bakra.

HRTEM analiza u celosti izdvojene oblasti bogate glinicom nanokompozitnog  $\text{Cu}-\text{Al}_2\text{O}_3$  sistema na bazi prahova sintetisanih termohemijskim postupkom ukazuje na prisustvo čestica glinice sa prosečnom veličinom 20nm.

Na osnovu kinetičke analize procesa sinterovanja, došlo se do zaključka da se proces sinterovanja najverovatnije odigrava u dva stadijuma. Imajući u vidu činjenicu da je za zapreminsку difuziju potrebna veća energija aktivacije, rezultati kinetičke analize ukazuju da se u prvom stadijumu odigrava površinska difuzija i difuzija po granicama zrna, dok se transport mase u drugom stadijumu odigrava zapreminskom difuzijom. Granica između identifikovanih stadijuma je granica između mehanizma transporta materijala površinskom, odnosno difuzijom po granicama zrna i zapreminskom difuzijom, i kao takva predstavlja difuzionu potencijalnu barijeru. Uporedna analiza kinetike sinterovanja primenom Arenijus-ove jednačine, paraboličnog zakona i

Johnson-Mehl-ove jednačine potvrđuje da se proces sinterovanja realnih sistema na bazi ultra finih i nano prahova bakra i glinice najverovatnije odigrava u dva stadijuma. Pored ovoga, kod sistema na bazi prahova dobijenih termohemijskim postupkom, rezultati kinetičke analize ukazuju na veće vrednosti energije aktivacije odgovarajućih procesa u odnosu na sistem na bazi prahova dobijenih postupkom mehaničkog legiranja, što je posledica izuzetno male veličine čestica nanokompozitnog Cu-Al<sub>2</sub>O<sub>3</sub> praha dobijenog termohemijskim postupkom, odnosno njihova velika površina i već u početnom stadijumu ostvarena, geometrijski posmatrano, izuzetno velika kontaktna površina između pojedinih čestica.

Analiza rezultata ispitivanja mehaničkih i električnih svojstava Cu-Ag-Al<sub>2</sub>O<sub>3</sub> sinterovanih sistema, jasno ukazuje da su najveći efekti ojačavanja postignuti kod Cu-25tež.%Ag-5tež.%Al<sub>2</sub>O<sub>3</sub> sistema. Međutim, treba istaći da kod sinterovanih Cu-Ag-Al<sub>2</sub>O<sub>3</sub> sistema nisu ostvareni značajniji efekti ojačavanja u odnosu na Cu-Al<sub>2</sub>O<sub>3</sub> sinterovane sisteme.

Konačno, imajući u vidu cilj istraživanja tokom realizacije ove doktorske disertacije, uporednom analizom ispitivanih sistema uočava se da je kod Cu-Al<sub>2</sub>O<sub>3</sub> sistema na bazi prahova sintetisanih termohemijskim postupkom ostvarena značajna strukturna homogenost uz izraženje efekta ojačavanja u odnosu na ostale sisteme, odnosno da je, sa aspekta primene ovih materijala, kontrolisanjem parametara tehnološkog procesa (uslovi i način dobijanja prahova, koncentracija rastvora, temperatura razlaganja, atmosfera okoline, pritisak presovanja, temperatura i vreme sinterovanja, itd.) moguće dobiti nove materijale specifičnih namena na bazi nanokompozitnih prahova sintetisanih termohemijskim postupkom, sa dobrom kombinacijom električna svojstva – mehanička svojstva, koji nalaze široku primenu, pre svega, u oblasti elektrotehnike.

S obzirom da mikrostruktura direktno određuje kako mehanička, tako i električna svojstva, to je praćenje razvoja mikrostrukturnih konstituenata kroz sve pojedinačne faze procesa od izuzetnog značaja. U tom smislu, buduća istraživanja sinterovanih sistema na bazi nano prahova teških metala i glinice

treba usmeriti ka potpunoj identifikaciji treće faze, uslovima pod kojima se ona pojavljuje i njenom uticaju na ojačavanje sistema, odnosno dobijanje sistema sa dobrom kombinacijom električna svojstva – mehanička svojstva. Takođe, dalja istraživanja, u zavisnosti od zahtevanih svojstava i primene materijala, treba usmeriti ka izučavanju mogućnosti apliciranja dobijenih rezultata pri prognoziranoj sintezi novih materijala disperznim ojačavanjem postupcima metalurgije praha.

## **LITERATURA**

1. M.M. Ristić, Fundamentalni problemi nauke o materijalima, TFČ i SANU, Čačak, (2003)
2. O. Milošević, Nanostrukturni materijali i njihov razvoj u svetu trijade "sinteza-struktura-svojstva", Monografije nauke o materijalima, 38, (1999), 55-65
3. Powder Metallurgy Science, 2nd. ed, Roundal M. German, The Pennsylvania State University, (1994)
4. M. Mitkov, D. Božić, Z. Vujović, Metalurgija praha, Beograd, (1993)
5. M.J.Hampden-Smith, T.T.Kodas, Chem.Vap.depos., 1(1), (1995), 8
6. Yu.D.Tretyakov, N.N.Oleynikov, O.A.Shiyakhtin, Cryochemical technology of Advanced materials, Chapman&Hall, London, (1997)
7. H.J.Fissan, J.Schoonman, *Adv. Mater.* 8 (7), (1996), 559-560
8. P. Pramanik, Chemical synthesis of nanosized oxides, *Bull. Mater- Sci.*, (1996), 19, 6, 957-961
9. R. Uyeda, Studies of ultrafine particles in Japan: crystallography, methods of preparation and technological applications, *Prog. Mater. Sci.*, (1991), 35, 1-96
10. Ž. Kamberović, M. Korać, Z. Andić, M. Tasić, Investigation of possibilities of synthesis of fine grain alumina for application in dispersion strengthened systems, II International Symposium Light Metals and Composite Materials, Belgrade, (2004), 61-62
11. S. Ramanathan, S. K. Roy, R. Bhat, D. D. Upadhyaya, R. A. Biswas, Preparation and characterization of boemite precursor and sinterable alumina powder from aq. aluminium chloride-urea reaction, *J. Alloys. Comp.*, (1996), 243, 1-2, 39-44
12. E. Borsella, S. Botti, R. Giorgi, S. Martelli, S. Turtu, G. Zappa, Laser driven synthesis of nano crystalline alumina powders from gas phase precursors, *Appl. Phys. Lett.*, (1993), 63, 10, 1345-1347

13. J. Ding, T. Tsuzuki, P. G. McCormick, Ultrafine alumina particles prepared by mechanochemical/thermal processing, *J. Am. Ceram. Soc.*, (1996), 79, 11, 2956-2958
14. N. Hong, N. Chen, The  $\alpha$ -Al<sub>2</sub>O<sub>3</sub> ultrafine powder synthesized by sol-gel process, *Gong. Cailiao*, (1995), 26, 2, 181
15. K. Hayashi, S. Toyada, K. Nakashima, K. Morinaga, Optimum synthetic conditions of ammonium aluminium carbonate hydroxide (AACH) as starting material for  $\alpha$ -Al<sub>2</sub>O<sub>3</sub> fine powder, *Nippon Seramikkusu Kyokai Gakujutsu Ronbunshi*, (1990), 98, 5, 444-449
16. D. Panias, I. Paspaliaris, Boehmite process- A new approach in alumina production, *Erzmetall* 56, (2003), Nr.2
17. H. Wen, F. Yen, Growth characteristics of boehmite-derived ultra fine theta and alpha-alumina particles during phase transformation, *Journal of Crystal Growth* 208, (2000), 696-708
18. W.D.Kingery, H.K.Bowen, D.R.Uhlmann, *Introduction to Ceramics*, 2<sup>nd</sup> Edition, Wiley, New York, (1976)
19. R.A.Shellman, G.L.Messing, M.Kumagai, *J.Non-Cryst. Solids*, 82, (1986), 277
20. M.Kumagai, G.L.Messing, *J. Amer. Ceram. Soc.*, 68, (1985), 500
21. M.Kumagai, G.L.Messing, *J. Amer. Ceram. Soc.*, 67, (1984), C230
22. Yi-quan Wu, Yu-feng Zhang, Xiao-xian Huang, Jing-kun Guo, Preparation of platelike nano alpha alumina particles, *Ceramics International* 27, (2001), 265-268
23. A. Janbey, Ranjan K. Pati, Saad Tahir, Panchanan Pramanik, A new chemical route for the synthesis of nano-crystalline  $\alpha$ -Al<sub>2</sub>O<sub>3</sub> powder, *Journal of the European Ceramic Society*, 21, (2001), 2285-2289
24. T. Tsuchida, Hidrothermal syntesis of submicrometer crystals of boehmite, *Journal of European Ceramic Society* 20 (2000) 1759-1764
25. P. V. Ananthapadmanabhan, T. K. Thiyagarajan, K. P. Sreekumar, N. Venkatramani, Formation of nano-sized alumina by in-flight oxidation

- of aluminium powder in a thermal plasma reactor, Scripta Materialia 50, (2004), 143-147
26. P. K. Jena, E. A. Brocchi, M. S. Motta, In-situ formation of Cu-Al<sub>2</sub>O<sub>3</sub> nano-scale composites by chemical routes and studies on their microstructures, Materials Science and Engineering, A313m, (2001), 180-186
27. D. W. Lee, G. H. a, B. K. Kim, Synthesis of Cu-Al<sub>2</sub>O<sub>3</sub> nano composite powder, Scripta mater. 44, (2001), 2137-2140
28. P. K. Jena, E. A. Brocchi, I. G. Solórzano, M. S. Motta, Identification of a third phase in Cu-Al<sub>2</sub>O<sub>3</sub> nanocomposites prepared by chemical routes, Materials Science and Engineering, A317, (2004), 72-78
29. C. Skoufadis, D. Panias, I. Paspaliaris, Kinetics of boemite precipitation from supersaturated sodium aluminate solutions, Hidrometallurgy 68, (2003), 57-68
30. AMI Doduco a Technical Company, Silver Based Contact Materials, 07, (2000)
31. D. Majumdar, H. D. Glicksman, T. T. Kodas, Generation and sintering characteristics of silver-copper(II) oxide composite powders made by spray pyrolysis, Powder Technology, 110, (2000), 76-81
32. N. Kieda, Synthesis of oxide nanocomposite particles by reactive spray pyrolysis, K. Engineer. Mater., 264-268, (2004), 3-8
33. S. Zghal, M. J. Hýtch, J.-P. Chevalier, R. Tweten, F. Wu, P. Bellon, Electron microscopy nanoscale characterization of ball-milled Cu-Ag powders. Part I: Solid solution synthesized by cryo-milling, Acta Materialia, 50, (2002), 4695 - 4709
34. S. Zghal, R. Tweten, F. Wu, P. Bellon, Electron microscopy nanoscale characterization of ball-milled Cu-Ag powders. Part I: Nanocomposites synthesized by elevated temperature milling or annealing, Acta Materialia, 50, (2002), 4711 – 4726
35. P. Matteazzi, G.L.Caer, A.Mocellin, *Ceramic International*, 23 (1997), 39-44

36. J. S. Benjamin, T. E. Volin, The Mechanism of Mechanical Alloying, Metall. Trans., Vol. 5, (1974), 1929-1934
37. D. R. Maurice, T. H. Courtney, The Physics and Mechanical Alloying: A First Report, Metall. Trans. Vol. 21A, (1990), 289-303
38. D. Božić, M. Zdujić, M. Mitkov, M. T. Jovanović, Teorija i tehnologija sinterovanja, SANU, Beograd, (1993), 2
39. M. M. Ristić, Principi nauke o materijalima, SANU, Beograd, (1993)
40. G. V. Samsonov, Elektronska teorija sinterovanja keramičkih materijala, Međunarodni institut za nauku o sinterovanju, Beograd, (2003)
41. M. M. Ristić, L. F. Prjadko, Ju. A. Kunicki, Z. S. Nikolić, M. M. Živković, M. V. Nikolić, S. M. Radić, Prognoza fizičkohemijskih svojstava materijala, CMS, Beograd, (1996)
42. R.M.Kadusnikov, V.V.Skorohod et al., Powder Metallurgy, (2001), No. 3/4, 71
43. J.L.Shi, Yourn. Mat. Sci., 34, (1999), 3801
44. M. Subbanna, P.C.Kapur, Peadip, S.G.Malghan, Ceramic International, 27, (2001), 37
45. S.Sivakumar, M.Suvbanna, S.S.Sahay, V.Ramakrishnan, P.C.Kapur, Pradip, S.G.Malghan, Ceramic International, 27 (2001), 63
46. V.T. Golov~an, Poro{kova{ metallurgi{, (2001), No. 9, 10, 41
47. L.A.Perez-Maquedo, J.M.Corado, C.Real, J.Am.Ceram.Soc., 85, (2002), 763
48. V.J.Gansia, C.H.Schilling, Materials Sci. and Eng., A 265 (1999), 42-49
49. T.-T. Fang, J.-T.Shiue, F.-S.Shiau, Materials Chemistry and Physics, 80, (2003), 108
50. P. Roura, J. Costa, J.Farjas, Materials Science and Engineering, A 337, (2002), 248-253
51. B.G.Ravi, R. Chain, Nanostructured Materials, 11, (1999), 853
52. W.Zeng, L. Gao, L. Gui, J. Guo, Cewramic Intern., 25, (1999), 723
53. M. M. Ristić, Savremeno stanje nauke o sinterovanju i problemi njenog daljeg razvoja, SANU, (1980), 156-170

54. M. M. Ristić, Theoretical Studies of the Sintering Process, The Boris Kidrič Institute of Nuclear Sciences, Vinča, (1964)
55. M. M. Ristić, Z. S. Nikolić, Teorija dijagrama sinterovanja sa osnovama fizike sinterovanja, SANU, Posebna izdanja, OTN, knj. 27, Beograd, (1987)
56. Z. S. Nikolić, M. M. Ristić, Matematičko-fizička analiza nekih kinetičkih jednačina sinterovanja, Hem. ind. 34(6), (1987), 143-146
57. M. Mitkov, M. M. Ristić, Rol dislokaciј v obrazovanii kontaktov pri spekanii poročkovih materialov, v "Opisiv, obobennoj teorii spekani®" (pod red. G. V. Samsonova i M. M. Ristića), International Team for Studing Sintering, Beograd, (1973), 84-102
58. S. Bojković, Rol diffuzionnih processov v obrazovanii fizičkih kontaktov pri spekanii, v "Opisiv, obobennoj teorii spekani®" (pod red. G. V. Samsonova i M. M. Ristića), International Team for Studing Sintering, Beograd, (1973), 102-110
59. V. Minić, Dijagrami sinterovanja i njihova primena, u "Sinteza i karakterizacija materijala" (u red. A. M. Maričića i M. M. Ristića), CMS i TFC, Beograd/Čačak, (1997), 59-74
60. Sovremennje problemi poročkovoj metallurgii, izd. "Naukova Dumka", Kiev, (1970)
61. A. E. Geguzin, Fizika spekani®, Fizmatgiz, Moskva, (1967)
62. Physics of Sintering, Special Issue, Second International Round Table Meeting on Sintering, No 1-3, Belgrade, Yugoslavia, September, (1971)
63. V. A. Ivensen, Kinetika uplotnenija metaličkih poročkov pri spekanii, izd. "Metallurgija", Moskva, (1971)
64. V. V. Skorohod, S. M. Solonin, Fizikometallurgičeskie osnovy, spekani® poročkov, Metallurgija®, Moskva, (1984)
65. V. A. Ivensen, Fenomenologija spekani®, Metallurgija®, Moskva, (1985)
66. S. Šovanović, M. M. Ristić, Poročkova metallurgija®, 9, 102, (1956)
67. M. M. Ristić, Spekanie polidispersnih kristalček poročkov, v "Sovremennye problemy poročkovoj metallurgii", Naukova dumka, Kiev, (1970), 73-81

68. R.W.Siegel, Nanostr.Mater., 4 (1994), 121
69. L.Bergstrom, K.Shinozaki, Fourth Euro Ceramics, 2 (1995) 3-14
70. A.V.Ragulya, V.V.Skorokhod, *Nanostructured mater.*, 5(7/8) (1995), 835-4
71. V.V. Skorohod, Nekogorje problemj tehnologii polu~eniÔ i issledovaniÔ strukturj i svoŶstv nanokristalli~eskikh meterialov, v "Nanokristalli~eskie materialj", IPM NANU, Kiev, 1998, 4
72. M.J. Mayo, Intern. Reviews, 41, (1996), 85
73. R.Z.Valiev, Processing of Nanocrystalline Materials by Severe Plastic Deformation Consolidation, in "Synthesis and Processing of Nanocrystalline Powder", Minerals, Metals and Materials Soc., (1996), 153
74. A.P. [pak, Á.A.KunickiŶ, V.L.KarbovskiŶ, Klasternje i nanostrukturnje materialj, Akademperiodika, Kiev, (2001)
75. I.W.Chen, X.H.Wang, Nature, 404, (2000), 168
76. P.L.Chen, I.W.Chen, J.Am.Cer.Soc., 80, (1997), 637
77. I.-G.Li, T.Ikegemi, J.-H.Lee, T.Mori, Acta Mater., 49, (2001), 419
78. L.C.Lim, P.W.Wong, Ma Jan., Acta Mater., 48, (2000), 2263
79. Y.Zhoy, R.J.Philips, J.A.Switzer, J. Am. Ceram. Soc., 78, (1995), 981
80. I.D.Marohov, L.I.Trusov, S.P.^is`nik, Ultradispersnje matalli~eskie sredj, Atomizdat, Moskva, (1977)
81. V. N. Lapovok, V. I. Novikov, Fizika tverdogo tela, 25, (1983), 1848
82. V. I. Novikov, L. I. Trusov, V. N. Lapovok, T. GeleŶ{vili, Poro{kova® metallurgi®, No. 5, (1984), 28
83. V. N. Lapovok, V. I. Novikov, S. V. Svirida, Fizika tverdogo tela, 26, (1983), 1846
84. N.Wang, Z.Wang, K.T.Aust, U.Erb, *Acta metall. mater.*, 43 (2), (1995), 519-28
85. Y.Bruynseraeede, M.Baert, V.Bruyndoncx, C.J.Chien, J.Eom, V.V. Metlushko, G.Neuttiens, T.Puig, E.Rosseel, C. Strunk, K.Temst, M.J.Van Bael, V. Chandrasekhar, C.Van Haesendonck, V.V.Moshchalkov, *Physica Scripta*, T66 (1996), 16-23

86. S. Gangopadhyay, G.C. Hadjipanayis, B. Dale, C.M. Sorensen, K.J. Klabunde, *Nanostructured mater.*, 1 (1992), 77-81
87. Z. Andić, Uticaj  $\text{Al}_2\text{O}_3$  na svojstva sinterovanog sistema Cu-Al $_2$ O $_3$ , Magistarska teza, CMS, Beograd, (2002)
88. D. Božić, Z. Vujović, S. Tadić, M. Mitkov, Prahovi ojačanih legura bakra, Beograd, (1995)
89. P. K. Samall, A. V. Nadkarni, Recent Advances in Dispersion Strengthened Copper base Materials, SCM Metal Products, Cleveland, Ohio, 341-360
90. Anish Upadhyaya, G. S. Upadhyaya, Sintering of copper-alumina composites through blending and mechanical alloying powder metallurgy routes, *Materials & Design*, Volume 16, Number 1, (1995), 41-45
91. D. Božić, V. Rajković, S. Zec, M. Mitkov, M. Tasić, Strukturne i mehaničke karakteristike smeše i kompakata Cu-Al-Al $_2$ O $_3$  dobijenih tehnikama metalurgije praha, ETRAN, (1995)
92. G. A. Libenson, Proizvodstvo spe~ennv, izdelyi, Metallurgi®, Moskva, (1982)
93. F. P. Morral, Dispersion Strengthening of Metals, Metals and Ceramics Information Center, Columbus, (1977), 52
94. V. Rajković, M. Mitkov, Uticaj mlevenja na strukturu i efekte ojačavanja predlegiranih prahova bakra, *Metalurgija*, br. 3, vol. 3, (1997), 211-218
95. A. V. Nadkarni, J. E. Synk, Dispersion Strengthened Copper in “Metals Hand Book”, Powder Metallurgy, 7, (1984), 711
96. V. Rajković, D. Bojović, M. Tasić, Efekti disperznog ojačavanja u sistemu Cu-Al $_2$ O $_3$  izazvani mehaničkim legiranjem i internom oksidacijom, XLI konf. ETRAN-a, Zlatibor, (1997), 524-530
97. B. A. Nadkarni, Dispersion strengthened Copper properties and applications in “High conductivity copper aluminium alloys” (Ed. by E. Ling and W. P. Taubenblat), Los Angeles, (1984), 77

98. D. Božić, Najnovija dostignuća u razvoju legura bakra korišćenjem metalurgije praha, Naučno-tehnički pregled, Vol. XLI, (1991), br. 9, 46-55
99. W. Schatt, Einführung in die Werkstoffwissenschaft, 5. Aufl. Leipzig, VEB Deutscher Verlag für Grundstoffsindustrie, (1984), 336-357
100. W. Schatt, Pulvermetallurgie, Sinter-und Verbundwerkstoffe, Heidelberg, (1986), 400
101. D. Božić, Taložno i disperzno ojačavanje visokoprovodne matrice bakra procesom brzog očvršćavanja, doktorska disertacija, TMF, Beograd (1989)
102. G. Jangg, F. Kutner, G. Korb, Aluminium, 51, (1975), 1014-1019
103. Đ. Drobnjak, Fizička metalurgija, TMF, Beograd, (1981)
104. R. W. Cahn, Physical Metallurgy, North Holland, Amsterdam, (1970)
105. B. Jordović, Rekristalizacija legura, CMS i TFČ, Beograd, (1992)
106. H. H. Hausner, Iron Steel Inst. Special Report, No 58, (1956), 102
107. H. Schreiner, H. Ohman, U. S. Patent 3, 488, 183, Januar 6, (1970)
108. L. M. Mehta, A. K. Ghudban, B. C. M. Eltalhi, N. Elrabin, PMI, Vol. 22, (1990), 15
109. M. Ruehle, Z. Metallkde, Bd. 71, (1980), 1
110. V. Rajović, S. Zec, M. Mitkov, Mechanizam ojačavanja osnove bakra pri mehaničkom legiranju u sistemu Cu-Al<sub>2</sub>O<sub>3</sub>, XXX Oktobarsko savetovanje, D. Milanovac, Zbornik, knj. II, (1998), 374-378
111. V. Rajković, D. Bojović, M. Tasić, Efekti disperznog ojačavanja u sistemu Cu-Al<sub>2</sub>O<sub>3</sub> izazvani mehaničkim legiranjem i internom oksidacijom, XLI konf. ETRAN, Zbornik radova, sv. IV, Zlatibor, (1997), 524-526
112. P. K. Jena, E. A. Brocchi, M. S. Motta, Mater. Sci. Eng. C 15, (2001), 175-177
113. M. Entezarian, R. A. Drew, Mater. Sci. Eng. A212, (1996), 206
114. Y. Yoshino, T. Shibata, J. Am. Ceram. Soc. 75, 10, (1992), 2756

115. A. M. Maričić, Fizika i tehnologija amorfnih materijala, CMS, Beograd, (1994)
116. S. Yi, K. P. Trumble, D. R. Gaskell, Thermodinamic analysis of aluminate stability in the eutectic bonding of copper with alumina, Acta mater., Vol. 47, No. 11, (1999), 3221-3226
117. J. F. Burgess, C. A. Neugebauer, G. Flanagan, J. electrochem. Soc., (1975), 122, 688
118. A. C. D. Chaklader, A. M. Armstrong, S. K. Misra, J. Am. Ceram. Soc., (1968), 51, 630
119. T. E. O'Brien, A.C.D. Chaklader, J. Am. Ceram. Soc., (1974), 57, 329
120. Y. S. Sun, J. C. Driscoll, I.E.E.E. Trans. Electron Devices, (1976), ED-23, 961
121. J. A. Pask, Ceram. Bull., (1987), 66, 1587
122. R. E. Loehman, A. P. Tomsia, Ceram. Bull., (1988), 67, 375
123. Y. Yoshino, J. Am. Ceram. Soc. (1989), 72, 1322
124. S. T. Kim, C. H. Kim, J. Mater. Sci., (1992), 27, 2061
125. S. K. Misra, A. C. D. Chaklader, J. Am. Ceram. Soc., (1963), 46, 509
126. D. G. Morris, M. A. Morris, in Structural Applications of Mechanical Alloying, edited by F. H. Froes and J. J. DeBarbadillo, ASM, Metals Park, Ohio, (1992), 265-273